

连续媒质电动力学(上册)

作者: 朗道 栗弗席兹 出版社: 人民教育出版社 出版日期: 1963年
7月第1版 页数: 292

目 录

序言	v
主要符号	vi
第一章 导体的静电学	1
§ 1. 导体的静电场	1
§ 2. 导体的静电场能量	4
§ 3. 静电学问题的解法	13
§ 4. 导电椭球	29
§ 5. 导体上的力	43
第二章 电介质的静电学	52
§ 6. 电介质内的静电场	52
§ 7. 介电常数	54
§ 8. 介电椭球	60
§ 9. 混合物的介电常数	66
§ 10. 电场内电介质的热力学关系式	68
§ 11. 介电物体的总自电能	74
§ 12. 各向同性电介质的电致伸缩	79
§ 13. 晶体的介电性质	83
§ 14. 介电常数的正值性	90
§ 15. 液态电介质内的电力	92
§ 16. 固体内的电力	99
§ 17. 压电体	105
§ 18. 热力学不等式	114
§ 19. 铁电体	120
第三章 恒定电流	132
§ 20. 电流密度和电导率	132
§ 21. 霍尔效应	137
§ 22. 接触电势差	141
§ 23. 伽伐尼电池	144
§ 24. 电毛细现象	146
§ 25. 温差电现象	148

§ 26. 扩散电现象	155
第四章 恒定磁場	159
§ 27. 恒定磁場	159
§ 28. 晶体的磁对称性	163
§ 29. 恒定电流的磁場	167
§ 30. 磁場內的热力学关系式	176
§ 31. 磁体的总自由能	179
§ 32. 电流系統的能量	182
§ 33. 綫导体的自感	188
§ 34. 磁場內的力	196
§ 35. 迴轉磁現象	200
第五章 铁磁性	203
§ 36. 居里点附近的铁磁体	203
§ 37. 磁各向异性能	207
§ 38. 铁磁体的磁致伸縮	216
§ 39. 铁磁体的磁畴結構	220
§ 40. 反铁磁体的居里点	229
第六章 超导电性	231
§ 41. 超导体的磁性质	231
§ 42. 超导电流	234
§ 43. 临界場	239
§ 44. 中間态	246
第七章 准靜态电磁場	255
§ 45. 傅科电流	255
§ 46. 趋肤效应	268
§ 47. 复数电阻	270
§ 48. 准稳定态电流电路內的电容	277
§ 49. 导体在磁場內的运动	283
§ 50. 加速度对电流的激发	289

第一章 导体的静电学

§ 1 导体的静电场

宏观电动力学的对象是研究被物质所充满的空间内的电磁场。和任何宏观理论一样，在电动力学中所处理的物理量是按照“物理无限小”体积元所求得的平均值，对于这些物理量因物质的分子结构而引起的微观变化，则不感兴趣。例如，不采用电场强度的实际“微观”值 e ，我们将研究它的平均值，这平均值表示为

$$\bar{e} = E \quad (1.1)$$

对真空内的电磁场方程求平均值，就得到连续媒质电动力学的基本方程。这种从微观方程变换到宏观方程的方法，是由 Г. А. 洛伦兹首先提出的。

宏观电动力学方程的形状和所包含的物理量的意义，主要决定于媒质的物理性质以及场随时间变化的特性。因此，分别就每一类物理对象进行推导和研究这些方程，是很合理的。

大家知道，所有的物体按照它们的电学性质，可分成两大类——导体和电介质，前者和后者的区别是：一切电场在导体内引起电荷运动，即产生电流^①。

我们从研究带电导体所产生的恒定电场开始(导体的静电学)，首先从导体的基本性质可知，在静电学的情况下，导体内的电场强度必须等于零。实际上，不为零的电场强度 E 将引起电流的产生；而且电流在导体内流动要引起能量的损耗，因而就不能自己(没有

^① 但是必须说明，这里假定了导体是均匀的(指成分、温度等)。如后文将讲到的，在不均匀的导体内可能存在电场，但不会引起电荷的运动。

外加电源)維持在穩定状态。

由此可知,导体上的全部电荷应该分布于导体表面,因为导体内部如果存在电荷,必然在导体内产生电场^①;电荷沿导体表面的分布可以这样实现,使这些电荷在导体内部产生的电场互相抵銷。

因此,导体的静电学问题,就归结为确定导体以外的真空内的电场和电荷沿导体表面的分布。

在不十分靠近导体表面的各点处,真空内的平均电场 E ,事实上和实在的电场 e 相等。离导体很近的地方必须发生了不规则的分子场的影响,这两个量才有差别。但是,后一情况并不会影响平均场方程的形状。真空内的精确的麦克斯韦微观方程是

$$\operatorname{div} e = 0, \quad (1.2)$$

$$\operatorname{rot} e = -\frac{1}{c} \frac{\partial h}{\partial t} \quad (1.3)$$

(式中 h 是微观磁场强度)。因为假定平均磁场不存在,因而导数 $\frac{\partial h}{\partial t}$ 经过平均后变成零;于是我们得到,真空内的恒定电场满足普通方程:

$$\operatorname{div} E = 0, \quad \operatorname{rot} E = 0, \quad (1.4)$$

这也就是势为 φ 的势场,势和电场强度的关系为

$$E = -\operatorname{grad} \varphi, \quad (1.5)$$

并且满足拉普拉斯方程:

$$\Delta \varphi = 0. \quad (1.6)$$

电场 E 在导体表面上的边界条件,可从方程 $\operatorname{rot} E = 0$ 得出,这个方程[和起始方程(1.3)一样]在导体外和导体内都同样正确。我们选择导体表面某一点的法线方向为 z 轴。于是在导体表面的紧邻近,电场分量 E_z 达到很大的数值(由于在很小距离上存在一

^① 从下面引入的方程(1.8),可明显地看出这一点。

有限的电势差)。这种很大的场是导体表面的一种性质,并且决定于导体表面的物理特性,但和我们所研究的静电学问题没有关系,因为当距离达到原子距离时,它已迅速降落。但是重要的是,导体表面如果是均匀的,那末沿导体表面的导数 $\frac{\partial E_z}{\partial x}$, $\frac{\partial E_z}{\partial y}$ 仍保持有限值,尽管 E_z 本身会变成无穷大。因此,由

$$(\text{rot } \mathbf{E})_x = \frac{\partial E_z}{\partial y} - \frac{\partial E_y}{\partial z} = 0$$

可知, $\frac{\partial E_y}{\partial z}$ 是有限的。这表明,在导体表面上, E_y 是连续的(因为 E_y 的突变表明导数 $\frac{\partial E_y}{\partial z}$ 变为无穷大)。同样 E_x 也是如此,但是在导体内总是 $\mathbf{E}=0$, 所以我们得到结论:在导体表面上,外电场的切向分量必须变为零:

$$\mathbf{E}_t = 0. \quad (1.7)$$

由此可见,在导体表面的每一点处,静电场应垂直于导体表面。因为 $\mathbf{E} = -\text{grad } \varphi$, 因而这表明在任何导体的全部表面上,电场势应为常数。换句话说,均匀导体的表面是静电场的等势面。

垂直于导体表面的电场分量和分布于导体表面的电荷密度之间,存在一个非常简单的关系,这关系可从普遍的电动力学方程 $\text{div } \mathbf{e} = 4\pi\rho$ 得出,这方程经平均后给出

$$\text{div } \mathbf{E} = 4\pi\bar{\rho}, \quad (1.8)$$

式中 $\bar{\rho}$ 是平均电荷密度。大家知道,这方程写成积分形式表明,通过闭合面的电通量等于这闭合面所包围的体积内的总电荷(乘上 4π)。把这定理应用到无限靠近的两个单位面积所包围的体积元上(两单位面积的两侧和导体面接触),并考虑到在内面的面积上 $\mathbf{E}=0$, 于是得到 $E_n = 4\pi\sigma$, 式中 σ 是电荷的面密度,也就是导体表面单位面积上的电荷。因此,导体表面的电荷分布,由下式给出

$$4\pi\sigma = E_n = -\frac{\partial\varphi}{\partial n} \quad (1.9)$$

(場势导数取在导体表面的外法綫方向)。导体上的总电荷为

$$e = -\frac{1}{4\pi} \oint \frac{\partial\varphi}{\partial n} df, \quad (1.10)$$

式中的积分对导体的全部表面进行。

任何靜电場内的电势分布, 具有下面一种奇异性质: 势函数 $\varphi(x, y, z)$ 只在电場区域的边界上有极大值或极小值。这个定理也可表述成这样的說法: 帶到电場内的試驗电荷 e 不可能保持稳定平衡, 因为在电場内, 沒有任何一点处的势能 $e\varphi$ 是极小值。

这个定理的证明是非常简单的。例如, 我們假設在某一点 A 处(不在場的边界上)电势有极大值。于是我們可以用一个很小的封閉面把 A 点包圍起来, 在封閉面上各处的法向导数 $\frac{\partial\varphi}{\partial n} < 0$ 。因而

遍这个面的积分 $\int \frac{\partial\varphi}{\partial n} df < 0$ 。但是由于拉普拉斯方程:

$$\int \frac{\partial\varphi}{\partial n} df = \int \Delta\varphi dV = 0,$$

这是和假設相矛盾的。

§ 2. 导体的靜电場能量

現在我們来計算带电导体的靜电場的总能量 \mathcal{U} ①:

$$\mathcal{U} = \frac{1}{8\pi} \int E^2 dV, \quad (2.1)$$

式中的积分对导体外的全部空間进行。我們把这积分变换如下:

① 平方 E^2 并不和导体表面附近以及导体内(此处 $E=0$, 当然 $E^2 \neq 0$) 的实在場的均方值 \bar{E}^2 相等。在計算积分(2.1)时, 我們略去了不感兴趣的导体的内能和电荷与导体表面的亲和能。

$$\mathcal{U} = -\frac{1}{8\pi} \int \mathbf{E} \operatorname{grad} \varphi \cdot dV = -\frac{1}{8\pi} \int \operatorname{div}(\varphi \mathbf{E}) dV + \\ + \frac{1}{8\pi} \int \varphi \operatorname{div} \mathbf{E} dV.$$

由于(1.4)式, 第二个积分变为零, 而第一个积分可以变换成遍包围场的导体表面和遍无限远表面的积分。但是, 后一积分由于场在无穷远处衰减得相当快, 因而变成零。用下角标 a 表示导体, 并用 φ_a 表示每个导体上的恒定电势值, 于是得到^①

$$\mathcal{U} = \frac{1}{8\pi} \sum_a \oint \varphi E_n df = \frac{1}{8\pi} \sum_a \varphi_a \oint E_n df.$$

末了, 根据(1.10)式引入导体的总电荷 e_a , 于是最后得到下列表达式:

$$\mathcal{U} = \frac{1}{2} \sum_a e_a \varphi_a, \quad (2.2)$$

这个式子和点电荷系统的能量表达式相类似。

导体的电荷和电势不可能同时用任意方式给定; 在它们之间存在一定的关系。由于真空内的场方程是线性和齐次的, 因而这种关系也必须是线性的, 即可用下列的关系式表示:

$$e_a = \sum_b C_{ab} \varphi_b, \quad (2.3)$$

式中的量 C_{aa} 、 C_{ab} 是长度的量纲, 并且取决于导体的形状和它们的相互位置。量 C_{aa} 称为电容系数, 而量 C_{ab} ($a \neq b$) 称为静电感应系数。特别是, 如果只有一个导体, 则 $e = C\varphi$, 其中 C 是电容; 电容的数量级和导体的线度相同。用电荷表示电势的逆式是

^① 在这里和下面, 变换体积分成面积分时, 必须注意, E_n 是导体外法线方向上的电场分量, 这个方向和进行体积分的区域(即导体外的空间)的外法线方向相反。因此, 在变换时积分的正负号改变。

$$\varphi_a = \sum_b C_{ab}^{-1} e_b, \quad (2.4)$$

式中系数 C_{ab}^{-1} 所組成的矩陣是系数 C_{ab} 所組成的矩陣的逆矩陣。

現在來計算导体系統當其電荷或電勢發生無窮小變化時的能量變化。將初始方程(2.1)變分，我們得到

$$\delta\mathcal{U} = \frac{1}{4\pi} \int \mathbf{E} \delta\mathbf{E} dV,$$

這個表达式可以用兩種等效的方法進一步變換。代入 $\mathbf{E} = -\text{grad } \varphi$ ，並注意到變分後的場，和初始場一樣，滿足方程(1.4)（因而 $\text{div } \delta\mathbf{E} = 0$ ），於是我們有

$$\begin{aligned} \delta\mathcal{U} &= -\frac{1}{4\pi} \int \text{grad } \varphi \cdot \delta\mathbf{E} dV = -\frac{1}{4\pi} \int \text{div}(\varphi \delta\mathbf{E}) dV = \\ &= \frac{1}{4\pi} \sum_a \varphi_a \oint \delta E_n df, \end{aligned}$$

或者最後寫成

$$\delta\mathcal{U} = \sum_a \varphi_a \delta e_a, \quad (2.5)$$

也就是我們得到用電荷變化所表示的能量變化。但是，顯而易見，這結果也就是將無窮小電荷 δe_a 從無窮遠處（其電場勢等於零）帶到給定導體上所必須作的功。

另一方面，可以寫出

$$\begin{aligned} \delta\mathcal{U} &= -\frac{1}{4\pi} \int \mathbf{E} \text{grad } \delta\varphi \cdot dV = -\frac{1}{4\pi} \int \text{div}(\mathbf{E} \delta\varphi) dV = \\ &= \frac{1}{4\pi} \sum_a \delta\varphi_a \oint E_n df, \end{aligned}$$

或者寫成

$$\delta\mathcal{U} = \sum_a e_a \delta\varphi_a, \quad (2.6)$$

也就是能量变化可用导体的电势变化来表示。

公式(2.5)和(2.6)指明,将能量 \mathcal{U} 对电荷求微分,我们就得到导体的电势,而 \mathcal{U} 对电势的导数给出电荷值:

$$\frac{\partial \mathcal{U}}{\partial e_a} = \varphi_a, \quad \frac{\partial \mathcal{U}}{\partial \varphi_a} = e_a, \quad (2.7)$$

另一方面,电势和电荷互相为线性函数。利用(2.3)式,我们有

$$\frac{\partial^2 \mathcal{U}}{\partial \varphi_a \partial \varphi_b} = \frac{\partial e_b}{\partial \varphi_a} = C_{ba},$$

改变微分的次序,我们得到 C_{ab} 。由此可见,

$$C_{ab} = C_{ba} \quad (2.8)$$

(同样 $C_{a^{-1}b} = C_{b^{-1}a}$)。于是能量 \mathcal{U} 可以表示成电势或电荷的二次式:

$$\mathcal{U} = \frac{1}{2} \sum_{a, b} C_{ab} \varphi_a \varphi_b = \frac{1}{2} \sum_{a, b} C_{ab}^{-1} e_a e_b. \quad (2.9)$$

这个二次式和初始式子(2.1)一样,必须取有限的正值。从这条件可导出系数 C_{ab} 所满足的不等式。特别是,全部电容系数都是正的:

$$C_{aa} > 0. \quad (2.10)$$

(以及 $C_{a^{-1}a} > 0$)^①

相反地,全部静电感应系数都是负的:

$$C_{ab} < 0, \quad (a \neq b). \quad (2.11)$$

从下面的简单讨论,可以明显地看出这种情况。假设全部导体,除其中第 a 个导体外,一律接地,也就是说,它们的电势都等于零。于是由第 a 个带电导体在某一导体 b 上所感生的电荷等于 $e_b = C_{ba} \varphi_a$ 。十分显然,感生电荷的正负号和感应电势的正负号相反,因而 $C_{ab} < 0$ 。根据静电场的电势在导体外不可能达到极大值和极小值,可以更严格地证明这一点。例如,假设唯一未接地的导

^① 我们也可证明,在(2.3)式为正值的条件下,还出现不等式: $C_{aa} C_{bb} > C_{ab}^2$ 。

体的电势为 $\varphi_a > 0$ 。于是在全部空间内，电势也将是正的，只在接地导体上，电势才达到最小值（零值）。由此得出，在接地导体的表面，电势的法向导数 $\frac{\partial \varphi}{\partial n}$ 是正的，而按照(1.10)式，它们的电荷是负的。

根据相似的考虑，可以证明 $C_{ab}^{-1} > 0$ 。

导体的静电场能量具有某种极值的性质，诚然，这性质与其说是物理的特征，无宁说是一种形式的特征。为了导出这种性质，我们假设导体上的电荷分布发生了一无穷小的变化（但每个导体的总电荷不变），因而电荷也有可能落入导体的内部；这时我们撇开不谈这种电荷分布实际上不可能是稳定的。现在我们来研究相应的积分的变化：

$$\mathcal{U} = \frac{1}{8\pi} \int E^2 dV,$$

这个积分现在必须扩展到全部空间，包括导体本身的体积在内（因为电荷移动以后，电场 E 一般说来在导体内部也不为零）。我们写出

$$\begin{aligned} \delta \mathcal{U} &= -\frac{1}{4\pi} \int \text{grad } \varphi \cdot \delta \mathbf{E} dV = \\ &= -\frac{1}{4\pi} \int \text{div}(\varphi \cdot \delta \mathbf{E}) dV + \frac{1}{4\pi} \int \varphi \text{div} \delta \mathbf{E} dV. \end{aligned}$$

第一个积分变换成对无穷远表面的积分以后变成零。在第二个积分内，由于(1.8)式，我们得到 $\text{div} \delta \mathbf{E} = 4\pi \delta \bar{\rho}$ ，因此，

$$\delta \mathcal{U} = \int \varphi \delta \bar{\rho} dV.$$

但是如果 φ 相应于实在的静电场，这个积分变成零，因为在这种情况下，在每个导体内部， $\varphi = \text{常数}$ ，而积分 $\int \delta \bar{\rho} dV$ 对导体的全部体积进行积分后等于零，因为导体的总电荷保持不变。

由此可見，真实的静电场能量，和电荷沿导体体积作其他任何分布时所产生的电场能量比較，为极小值^①（湯姆逊定理）。

具体地说，从这定理可以得出这样的結果：将不带电的导体带到给定电荷（带电导体）的电场内，則使电场的总能量减小。为了证明这一点，我們只要比較一下未带电导体引入后所建立的真实电场的能量和相应于被引入的导体上不存在感生电荷时的虚电场能量，就足够了。第一种能量因为是可能的极小值，所以小于第二种能量，而后者則和原来电场的能量相等（因为不存在感生电荷，电场“透入”导体内部而无任何变化）。这一結果也能够表述成另一种形式：离电荷系統很远的不带电导体，会受到电荷系統的吸引。

最后可以证明，带到静电场内的导体（带电的或不带电的），只在电力的作用下，一般不可能保持稳定平衡。这个論断推广了前一节末尾所证明的点电荷的相似定理；由結合应用点电荷定理和湯姆逊定理，就可以得出这种論断；我們在这里不准备作相应的討論。

用公式 (2.9) 来計算各个导体彼此分开有限距离的导体系統的能量是非常方便的。但是要計算均匀外电场 \mathcal{E} （可以想像为由无穷远处的电荷所产生的）内未带电导体的能量，則需要作特別的研究。根据 (2.2) 式，这能量等于 $\mathcal{U} = \frac{1}{2} e\varphi$ ，其中 e 是产生电场的远处电荷，而 φ 是所研究的导体在电荷 e 所在的点处所产生的电势（从 \mathcal{U} 内消去了电荷 e 在其本征场内的能量，因为它与我們要計算的导体能量无关）。导体的电荷虽然等于零，但在外电场的作用下，导体得到电偶极矩，我們用 \mathcal{D} 表示它。大家知道，电偶极子在

^① 我們在此处不准备給出簡單的討論，以說明我們所指的是极小值，而一般不是指极值。

很大距离 r 处的場势是 $\varphi = \frac{\mathcal{D}}{r^3}$ 。因此

$$\mathcal{U} = \frac{e\mathcal{D}}{2r^3},$$

但是 $\frac{er}{r^3}$ 是电荷 e 所产生的电场强度 \mathcal{E} 。所以

$$\mathcal{U} = -\frac{1}{2}\mathcal{D}\mathcal{E}. \quad (2.12)$$

因为全部場方程都是线性的,因而十分显然,偶极矩 \mathcal{D} 的分量是电场强度 \mathcal{E} 的分量的线性函数。 \mathcal{D} 和 \mathcal{E} 间的比例系数的量纲是长度的立方,因而和导体的体积成正比:

$$\mathcal{D}_i = V\alpha_{ik}\mathcal{E}_k, \quad (2.13)$$

式中系数 α_{ik} 只与导体的形状有关。全部的 $V\alpha_{ik}$ 量组成一个张量,称为导体的极化率张量。这张量是对称的: $\alpha_{ik} = \alpha_{ki}$ (这一论断的证明见 § 11)。相应地,能量 (2.12) 可以写成下列形式:

$$\mathcal{U} = -\frac{1}{2}V\alpha_{ik}\mathcal{E}_i\mathcal{E}_k. \quad (2.14)$$

例 题

1. 試用系数 C_{ab} 表示由两个导体 (所带的电荷为 $\pm e$) 所组成的系统的互电容 C 。

解. 两个导体的互电容定义为下列关系式中的系数:

$$e = C(\varphi_2 - \varphi_1),$$

于是导体系统的能量用 C 表示为 $\mathcal{U} = \frac{e^2}{2C}$ 。和 (2.9) 式比较,我們得到

$$\frac{1}{C} = C_{11}^{-1} - 2C_{12}^{-1} + C_{22}^{-1} = \frac{C_{11} + 2C_{12} + C_{22}}{C_{11}C_{22} - C_{12}^2}.$$

2. 設点电荷 e 位于接地导体系统附近的 O 点处,并在这些导体上感生出电荷 e_a 。如果电荷 e 不存在,而其中一个导体 (第 a 个) 的电势为 φ'_a (其余导体仍接地),则在 O 点处的場势为 φ'_0 。試用 φ'_a 和 φ'_0 表示电荷 e_a 。

解. 如果导体上的电荷 e_a 使导体的电势为 φ_a , 而电荷 e'_a 使导体的电势为 φ'_a , 则从(2.3)式可知:

$$\sum_a \varphi_a e'_a = \sum_{a,b} \varphi_a C_{ab} \varphi'_b = \sum_a \varphi'_a e_a.$$

我们把这一关系式应用到由全部导体和一点电荷 e (把后者看作小綫度导体的极限情况) 所构成的系统的两种状态。在一种状态中有电荷 e , 导体上的电荷为 e_a , 电势为 $\varphi_a = 0$ 。在另一种状态中, 电荷 $e = 0$, 但有一个导体的电势为 $\varphi'_a \neq 0$ 。于是得到 $e\varphi'_0 + e_a\varphi'_a = 0$, 由此得

$$e_a = -e \frac{\varphi'_0}{\varphi'_a}.$$

例如, 若电荷 e 至半径为 a 的接地导体球的中心的距离为 r ($r > a$), 则 $\varphi'_0 = \varphi'_a \frac{a}{r}$, 而在球上感生的电荷为

$$e_a = -\frac{ea}{r}.$$

試举另一例子, 我們来研究两个接地的半径分别为 a 和 b 的同心球间的电荷 e (电荷在离球心 r 处, 而且 $a < r < b$)。若外面的球接地, 而内面的球充电到电势为 φ_a , 则在距离 r 处的电势等于

$$\varphi'_0 = \varphi'_a \frac{\frac{1}{r} - \frac{1}{b}}{\frac{1}{a} - \frac{1}{b}},$$

因此, 电荷 e 在内面球上所感生的电荷等于

$$e_a = -e \frac{a(b-r)}{r(b-a)},$$

同理, 在外面球上感生的电荷为

$$e_b = -e \frac{b(r-a)}{r(b-a)}.$$

3. 設有电容分别为 C_1 和 C_2 的两个导体, 相隔的距离为 r , 而 r 大于导体本身的綫度。試求系数 C_{ab} 。

解. 若导体 1 带的电荷为 e_1 , 导体 2 不带电, 则在第一近似下, $\varphi_1 = \frac{e_1}{C}$, $\varphi_2 = \frac{e_1}{r}$; 这里我們略去了导体 2 上的电场变化和它的极化强度。于是 $C_{11}^{-1} =$

$= \frac{1}{C_1}$, $C_{12}^{-1} = \frac{1}{r}$, 同理, $C_{22}^{-1} = \frac{1}{C_2}$ 。由此求得系数 C_{ab} 为①

$$C_{11} = C_1 \left(1 + \frac{C_1 C_2}{r^2} \right), \quad C_{12} = -\frac{C_1 C_2}{r},$$

$$C_{22} = C_2 \left(1 + \frac{C_1 C_2}{r^2} \right).$$

4. 試求圓截面的細導綫做成的圓環的电容 C (环半徑为 b , 導綫截面的半徑为 a , 而 $b \gg a$)。

解. 由于圓环很細, 在它表面附近的电场和由相同电荷分布于圓环軸綫上所产生的电场相等(这对于直圓柱体是精确的)。因此圓环的电势为

$$\varphi_a = \frac{e}{2\pi b} \oint \frac{dl}{r},$$

式中, r 是环面上一点至其軸綫元 dl 的距离, 并对这軸綫进行积分。我們把积分分成两个区域: $r < \Delta$ 和 $r > \Delta$, 其中 Δ 是这样一個距离, 即 $a \ll \Delta \ll b$ 。于是在 $r < \Delta$ 时, 可以假設圓环的一段是直綫, 因而

$$\int_{\Delta > r} \frac{dl}{r} = \int_{-\Delta}^{\Delta} \frac{dl}{\sqrt{l^2 + a^2}} \cong 2 \ln \frac{2\Delta}{a}.$$

在区域 $r > \Delta$ 內, 可以略去導綫的粗度不計, 也即是假設 r 简单地是圓环軸綫上两点間的距离。于是

$$\int_{r > \Delta} \frac{dl}{r} = 2 \int_{\varphi_0}^{\pi} \frac{bd\varphi}{2b \sin\left(\frac{\varphi}{2}\right)} = -2 \ln \operatorname{tg} \frac{\varphi_0}{4},$$

式中 φ 是弦 r 所張的中心角, 而积分下限由 $2b \sin\left(\frac{\varphi_0}{2}\right) = \Delta$ 得出, 于是由此得到 $\varphi_0 \cong \frac{\Delta}{b}$ 。将积分的两部分相加起来, 量 Δ 就消去了, 最后得到圓环的电容 $C = \frac{e}{\varphi_a}$ 的式子为

$$C = \frac{\pi b}{\ln\left(\frac{8b}{a}\right)}.$$

① 展开式以下各項, 在普遍情况下, 比上面写出的項高一幂次以上(对 $\frac{1}{r}$ 而言)。但是, 若把 r 看成是两导体的“电荷中心”間的距离(对球为几何中心間的距离), 則以下各項的幂次将高 2 以上。

§ 3. 靜电学問題的解法

在任何表面的給定边界条件下，求解拉普拉斯方程的普遍方法，已在数学物理的有关章节中进行研究；詳細叙述这些方法不屬於我們的目的。在本节中，我們只限于指出一些比較簡單的方法和求解一些有独立意义的典型問題^①。

1. 鏡像法 設有一半空間充滿导电媒质，則推定这媒质以外的点电荷 e 所产生的电場，是应用所謂鏡像法的最簡單例子。这方法的原理是在选择一些附加的虛点电荷，它們和給定的实电荷一起产生电場，使給定导体的表面和电場的一个等势面相合。在現在的情况下，要作到这点，可假想点 e 被导电媒质的边界平面所反射成一个像点，就在这像点处放上虛电荷 $e' = -e$ 。电荷 e 和它的“鏡像” e' 所产生的場势为

$$\varphi = e \left(\frac{1}{r} - \frac{1}{r'} \right), \quad (3.1)$$

式中， r 和 r' 分別为观测点至点电荷 e 和 e' 的距离。在边界平面上， $r = r'$ ，因而电势具有恒定值 $\varphi = 0$ ，于是必要的边界条件实际上已被滿足，而由(3.1)式就可給出所提問題的解。應該注意，电荷 e 被吸向导体的力为 $\frac{e^2}{(2a)^2}$ (鏡像力)，而相互作用能等于 $-\frac{e^2}{4a}$ 。

点电荷 e 所感生的面电荷在边界平面上的分布，由下式得出：

$$\sigma = -\frac{1}{4\pi} \frac{\partial \varphi}{\partial n} \Big|_{r=r'} = -\frac{e}{2\pi} \frac{a}{r^3}, \quad (3.2)$$

式中， a 是电荷至平面的距离。容易证明，在边界平面上的总电荷等于

^① 許多比較复杂問題的解法，參閱 W. R. Smythe: “靜电学和动电学”，(1954)；Г. А. Гринберг: “电磁現象的数学理論問題选集”，(1948)。

$$\int \sigma df = -e,$$

这正是应得到的结果。

旁电荷在原来不带电的被绝缘导体上所感生的总电荷，不言而喻，仍然等于零。因此，在现在的情况下，如果导电媒质（实际上是大的导体）是被绝缘的，则必须假设，除电荷 $-e$ 外，还感生出电荷 $+e$ ，但由于后者分布于很大导体的表面上，因而这电荷的密度为零。

其次，我们来研究一个更为复杂的问题，即球形导体附近的点电荷 e 所产生的电场。要解决这个问题，可利用下面的容易用直接计算证明的结果。两点电荷 e 和 $-e'$ 所产生的场势

$$\varphi = \frac{e}{r} - \frac{e'}{r'}$$

在半径为 R 的球面上变为零，这球面的球心在联接 e 和 e' 的延长线上，球心至这些点电荷的距离为 l 和 l' ，而且 l, l', R 满足下列等式：

$$\frac{l}{l'} = \left(\frac{e}{e'}\right)^2, R^2 = ll'.$$

首先假设，球形导体保持等势状态 $\varphi = 0$ （球接地）。于是距离球心为 l 的点电荷 e （在图 1 中的 A 点处）在球外所产生的电场，将和两个点电荷——实电荷 e 和放在球内（ A' 点）距离球心为 l' 的虚电荷 $-e'$ ——所组成的系统所产生的电场相同，而且

$$l' = \frac{R^2}{l}, e' = e \frac{R}{l}. \quad (3.3)$$

这电场的电势为

$$\varphi = \frac{e}{r} - \frac{eR}{lr'}. \quad (3.4)$$

（ r 和 r' 如图 1 所示）。这时在球面上感生出不为零的总电荷，等

于 $-e'$ 。电荷和球形导体的相互作用能等于

$$\mathcal{U} = -\frac{ee'}{2(l-l')} = -\frac{e^2R}{2(l^2-R^2)}, \quad (3.5)$$

电荷被吸向球的力为

$$F = -\frac{\partial \mathcal{U}}{\partial l} = -\frac{e^2lR}{(l^2-R^2)^2}.$$

如果球形导体所保持的总电荷等于零(球被絕緣,并不带电),則必須再引进一个虚电荷,使球面上所感生的总电荷等于零,而且不能破坏球面上电势不变的条件。这把电荷 $+e'$ 放在球心上就可以做到。

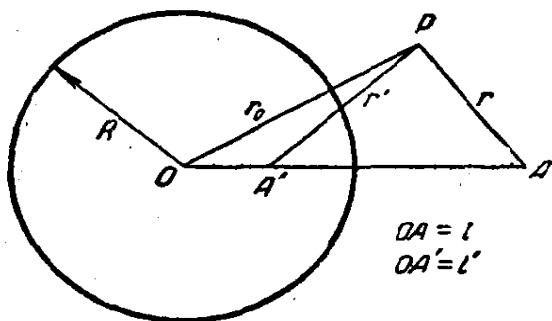


图 1

这样一来,所求的电場势由下式得出:

$$\varphi = \frac{e}{r} - \frac{e'}{r'} + \frac{e'}{r_0}. \quad (3.6)$$

在这种情况下的相互作用能是

$$\mathcal{U} = \frac{ee'}{2} \left(\frac{1}{l} - \frac{1}{l-l'} \right) = -\frac{e^2R^3}{2l^2(l^2-R^2)}. \quad (3.7)$$

最后,若电荷 e 在导电媒质內的球形空腔內(图 1 的 A' 点处),則空腔內的电場将和电荷 e 及其在球外 A 点处的“鏡像”所产生的电場相等(和导体接地或被絕緣无关):

$$\varphi = \frac{e}{r'} - \frac{eR}{l'r}. \quad (3.8)$$

2. 反演法 有一种简单的方法,使我們在許多情况下可以根据一个靜电学問題的已知解答,求出另一个問題的解答。这方法的基础是拉普拉斯方程对一定的变数变换为不变式。

在球面坐标系內,拉普拉斯方程的形式为

$$\frac{1}{r^2} \frac{\partial}{\partial r} \left(r^2 \frac{\partial \varphi}{\partial r} \right) + \frac{1}{r^2} \Delta_{\Omega} \varphi = 0,$$

式中 Δ_{Ω} 表示拉普拉斯算符的角部分。容易证明, 如果按照下式

$$r = \frac{R^2}{r'} \quad (3.9)$$

用新变数 r' 代换原来的变数 r (称为反演变换), 同时用

$$\varphi = \frac{r'}{R} \varphi' \quad (3.10)$$

代换未知的函数 φ (式中 R 为常数, 其量纲与长度的相同, 即反演半径), 则上述拉普拉斯方程的形式仍然不变。因此, 若函数 $\varphi(\mathbf{r})$ 满足拉普拉斯方程, 则函数

$$\varphi'(\mathbf{r}') = \frac{R}{r'} \varphi \left(\frac{R'}{r'^2} \mathbf{r}' \right) \quad (3.11)$$

也是拉普拉斯方程的一个解。

假设我们已知由具有同一电势 φ_0 的导体系统与一点电荷系统所产生的静电场问题的解。场势 $\varphi(\mathbf{r})$ 通常规定为在无穷远处变为零。但是我们现在定义 $\varphi(\mathbf{r})$ 在无穷远处趋近于 $-\varphi_0$; 于是在导体上, $\varphi=0$ 。

现在我们阐明, 怎样的静电学问题可以利用变换后的函数(3.11)来解出。首先, 改变全部导体的形状及其相互位置。于是导体表面上电势不变的边界条件自动得到满足, 因为 $\varphi=0$ 时, φ' 也将等于零。其次, 改变全部点电荷的位置及其数值。于是在 \mathbf{r}_0 点处的电荷移到 $\mathbf{r}'_0 = \left(\frac{R^2}{r_0^2} \right) \mathbf{r}_0$ 的点处, 并得到电荷 e' , 这电量可用下列方式求出。当 $\mathbf{r} \rightarrow \mathbf{r}_0$ 时, 电势 $\varphi(\mathbf{r})$ 按照定律 $\varphi = \frac{e}{|\delta \mathbf{r}|}$ 变成无穷大, 其中 $\delta \mathbf{r} = \mathbf{r} - \mathbf{r}_0$ 。另一方面, 求关系式 $\mathbf{r} = \left(\frac{R^2}{r'^2} \right) \mathbf{r}'$ 的微分, 我们发现, 微小差值 $\delta \mathbf{r}$ 与 $\delta \mathbf{r}' = \mathbf{r}' - \mathbf{r}'_0$ 的绝对值之间存在下列关系:

$$(\delta r)^2 = \frac{R^4}{r_0'^4} (\delta r')^2.$$

因此, 当 $r' \rightarrow r_0'$ 时, 函数 φ' 按定律

$$\varphi' = \frac{R}{r_0'} \frac{e}{|\delta r|} = \frac{e r_0'}{R |\delta r'|}$$

趋近于无穷大, 相应的电荷为

$$e' = \frac{e r_0'}{R} = \frac{e R}{r_0}. \quad (3.12)$$

最后研究函数 $\varphi'(r')$ 在坐标原点附近的行为。 $r'=0$ 的点相应于 $r \rightarrow \infty$ 。但是当 $r \rightarrow \infty$ 时, 函数 $\varphi(r)$ 趋近于 $-\varphi_0$ 。因此, 当 $r' \rightarrow 0$ 时, 函数 φ' 按照定律:

$$\varphi' = \frac{R\varphi_0}{r'}$$

变成无穷大, 这表明在 $r'=0$ 的点处有电荷 $e_0 = -R\varphi_0$ 。

为供参考起见, 我們在这里指出: 某些几何图形在反演变换时的变换方式。半徑为 a 而球心在 r_0 点处的球面方程为

$$(r - r_0)^2 = a^2$$

进行反演变换后, 就得到方程:

$$\left(\frac{R^2}{r'^2} r' - r_0 \right)^2 = a^2,$$

这方程乘上 r'^2 和并項后变成下列形式:

$$(r' - r_0')^2 = a'^2,$$

式中

$$r_0' = -\frac{R^2 r_0}{a^2 - r_0^2}, \quad a' = \frac{a R^2}{|a^2 - r_0^2|}. \quad (3.13)$$

由此可見, 我們重新得到半徑为 a' 而球心在 r_0' 点处的另一球面。如果原来的球通过坐标原点 ($a = r_0$), 則 $a' = \infty$; 在这种情况下, 球面变成垂直于 r_0 方向的平面, 并距离坐标原点为

$$r'_0 - a' = \frac{R^2}{a + r_0} = \frac{R'}{2a}$$

3. 保角映象法 只和两个笛卡儿坐标 (x, y) 有关的场称为平面场。解平面静电学问题的有力工具是复变数函数理论。应用这一理论的根据如下。

真空内的静电场满足两个方程： $\text{rot } \mathbf{E} = 0$ 和 $\text{div } \mathbf{E} = 0$ 。由第一个方程，我们可以按照 $\mathbf{E} = -\text{grad } \varphi$ 引进场势。第二个方程指明，除了 φ 外，我们也可以按照 $\mathbf{E} = \text{rot } \mathbf{A}$ ，引进电场的“矢量势” \mathbf{A} 。在平面场的情况下，矢量 \mathbf{E} 在 xy 平面内，并且只和这两个坐标有关。相应地，可以这样选择矢量 \mathbf{A} ，使它处处与 xy 平面垂直。于是电场强度分量可表示成 φ 或 \mathbf{A} 的导数形式：

$$E_x = -\frac{\partial \varphi}{\partial x} = \frac{\partial A}{\partial y}, \quad E_y = -\frac{\partial \varphi}{\partial y} = -\frac{\partial A}{\partial x}. \quad (3.14)$$

但是函数 φ 和 A 的导数之间的这种关系式，从纯数学的观点看来，和熟知的柯青-黎曼条件相同，这些条件表示的事实是复数表达式：

$$w = \varphi - iA \quad (3.15)$$

是复数宗量 $z = x + iy$ 的解析函数。这表明，函数 $w(z)$ 在每一点处有一定导数，与取导数的方向无关。例如，在 x 轴方向求微分，我们得到

$$\frac{dw}{dz} = \frac{\partial \varphi}{\partial x} - i \frac{\partial A}{\partial x},$$

或者

$$\frac{dw}{dz} = -E_x + iE_y, \quad (3.16)$$

函数 w 就称为复数势。

电力线由下列方程

$$\frac{dx}{E_x} = \frac{dy}{E_y}$$

求出。把 E_x 和 E_y 表示成 A 的导数形式，于是可以把这个方程改写为

$$dx \frac{\partial A}{\partial x} + dy \frac{\partial A}{\partial y} = dA = 0,$$

由此得出， $A(x, y) = \text{常数}$ 。由此可見，函数 $w(z)$ 的虛数部分的等值綫代表电力綫。这函数的实数部分的等值綫就是等势綫。这两族綫互相正交，已由初始关系式(3.14)保证，按照这些关系式，

$$\frac{\partial \varphi}{\partial x} \frac{\partial A}{\partial x} + \frac{\partial \varphi}{\partial y} \frac{\partial A}{\partial y} = 0.$$

無論解析函数 $w(z)$ 的实数部分或虛数部分，都在同样程度上滿足拉普拉斯方程。因此，可以同样地取 $\text{Im } w$ 作为場势。相应地，这时力綫由方程 $\text{Re } w = \text{常数}$ 給出。在这种情况下，代替(3.15)式，我們得到

$$w = A + i\varphi.$$

通过某一段等势綫的电場强度通量由积分

$$\int E_n dl = - \int \frac{\partial \varphi}{\partial n} dl$$

給出，式中 dl 为等势綫元，而 \mathbf{n} 是它的法綫方向。根据关系式(3.14)，我們有 $\frac{\partial \varphi}{\partial n} = - \frac{\partial A}{\partial l}$ ，同时正負号的选择表明，如果从 \mathbf{n} 方向看去，則 l 的正方向指向左方。因此，

$$\int E_n dl = \int \frac{\partial A}{\partial l} dl = A_2 - A_1,$$

式中 A_1 和 A_2 是等势綫段两端的 A 值。特别是通过閉合迴路的电場通量等于 $4\pi e$ ，其中 e 是这迴路所包围的总电荷(属于沿 z 軸方向的导体单位长度)。因此，

$$e = \frac{1}{4\pi} \Delta A, \quad (3.17)$$

式中 ΔA 是 A 沿反时針方向繞閉合等势綫一圈的变化。

复数势的最简单例子，是带电的直导线（和 z 轴相合）的场势。这场的强度由公式

$$E_r = \frac{2e}{r}, \quad E_\theta = 0$$

给出，式中 r, θ 是 xy 平面内的极坐标，而 e 是导线单位长度上的电荷。相应的复数势为

$$w = -2e \ln z = -2e \ln r - 2ie\theta. \quad (3.18)$$

若带电导线不通过坐标原点，而通过 (x_0, y_0) 点，则复数势为

$$w = -2e \ln(z - z_0), \quad (3.19)$$

式中 $z_0 = x_0 + iy_0$ 。

从数学观点看来，函数关系 $w = w(z)$ 组成了复变数 z 的平面在复变数 w 的平面上的保角映象。假定 C 是导体在 xy 平面内的截面迴路，而 φ_0 为这导体的电势。从上面的讨论可知，求出这导体所产生的电场问题，归结为求出一个函数 $w(z)$ ，它把 z 平面内的迴路 C 映象到 w 平面内平行于纵坐标轴的 $w = \varphi_0$ 的线上。于是由实数部分 $\operatorname{Re} w$ 就可得出所研究的电场势（若函数 $w(z)$ 将迴路 C 映象到平行于横坐标轴的线上，则电势由函数 $\operatorname{Im} w$ 得出）。

4. 劈形问题 为了供参考起见，我们在这里写出决定两相交半平面导体间的空间内的点电荷 e 所产生的电场公式。设柱面坐标系 r, θ, z 的 z 轴和交角的缘相合，而 θ 角从交角的一侧算起；并假设电荷 e 在 $(a, \gamma, 0)$ 点处（图 2），则两平面间的张开角 α 可以 $< \pi$ ，也可以 $> \pi$ ，在后一种情况下，电荷位于劈形导体以外。

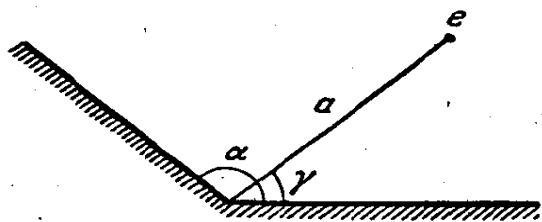


图 2

电场势由下列公式得出：^①

^① 这公式最先由 Г. 马克多纳尔特 (1895) 导出，它的推导见 13 页上提到的 Г. Гринберг 的书。

$$\varphi = \frac{e}{\alpha\sqrt{2ar}} \int_{\eta}^{\infty} \left\{ \frac{\operatorname{sh} \frac{\pi\zeta}{\alpha}}{\operatorname{ch} \frac{\pi\zeta}{\alpha} - \cos \frac{\pi(\theta-\gamma)}{\alpha}} - \frac{\operatorname{sh} \frac{\pi\zeta}{\alpha}}{\operatorname{ch} \frac{\pi\zeta}{\alpha} - \cos \frac{\pi(\theta+\gamma)}{\alpha}} \right\} \times$$

$$\times \frac{d\zeta}{\sqrt{\operatorname{ch}\zeta - \operatorname{ch}\eta}}, \quad (3.20)$$

$$\operatorname{ch}\eta = \frac{a^2 + r^2 + z^2}{2ar}, \quad \eta > 0$$

(在导体表面上, 即当 $\theta=0$ 或 α 时, 电势 $\varphi=0$)。

特别是当 $\alpha=2\pi$ 时, 我們就得到点电荷电場內的半平面导体。在这种情况下, 积分(3.20)可以在有限形式下算出为

$$\varphi = \frac{e}{\pi} \left\{ \frac{1}{R} \arccos \left(-\frac{\cos \frac{\theta-\gamma}{2}}{\operatorname{ch} \frac{\eta}{2}} \right) - \frac{1}{R'} \arccos \left(-\frac{\cos \frac{\theta+\gamma}{2}}{\operatorname{ch} \frac{\eta}{2}} \right) \right\}, \quad (3.21)$$

$$R = \sqrt{a^2 + r^2 + z^2 - 2ar \cos(\gamma - \theta)},$$

$$R' = \sqrt{a^2 + r^2 + z^2 - 2ar \cos(\gamma + \theta)}.$$

在极限情况下, 当电場的观测点趋近于电荷 e 所在的点时, 則电势(3.21)取下列形式:

$$\varphi = \frac{e}{R} + \varphi', \quad \varphi' = -\frac{e}{2\pi a} \left[1 + \frac{\pi - \gamma}{\sin \gamma} \right], \quad (3.22)$$

第一項是純粹的庫倫势, 当 $R \rightarrow 0$ 时变为无穷大, 而 φ' 是在电荷 e 所在的点处由导体所引起的电势变化。于是电荷和半平面导体的相互作用能为

$$\mathcal{U} = \frac{e\varphi'}{2} = -\frac{e^2}{4\pi a} \left[1 + \frac{\pi - \gamma}{\sin \gamma} \right]. \quad (3.23)$$

例 題

試求均匀外电場 \mathcal{E} 內未带电球形导体(半徑 R)周圍的电場。

解. 把电势写为 $\varphi = \varphi_0 + \varphi_1$, 式中 $\varphi_0 = -\mathcal{E}r$ 是外电场的电势, 而 φ_1 是球形导体所引起的电势变化。由于球是对称的, 函数 φ_1 只与一恒定矢量 \mathcal{E} 有关。于是拉普拉斯方程在这种情况下在无穷远处变为零的唯一解为

$$\varphi_1 = -\text{常数} \cdot \mathcal{E} \nabla \frac{1}{r} = \text{常数} \cdot \frac{\mathcal{E} \mathbf{r}}{r^3}$$

(坐标原点取在球心上)。在球表面上, φ 应为常数; 由此得到式中的常数 $= R^3$, 于是

$$\varphi = -\mathcal{E}r \left(1 - \frac{R^3}{r^3}\right) = -\mathcal{E}r \cos\theta \left(1 - \frac{R^3}{r^3}\right)$$

(θ 是 \mathcal{E} 和 \mathbf{r} 间的夹角)。电荷在球表面上的分布由下式给出:

$$\sigma = -\frac{1}{4\pi} \frac{\partial \varphi}{\partial r} \Big|_{r=R} = \frac{3\mathcal{E}}{4\pi} \cos\theta;$$

总电荷 $e=0$ 。

将 φ_1 与电偶极子的场势 $\frac{\mathcal{D} \mathbf{r}}{r^3}$ 比较, 就可极其简单地求得球的偶极矩; 我們得到

$$\mathcal{D} = R^3 \mathcal{E}.$$

2. 与上题相同, 试求在均匀的横向电场内的无限长圆柱体周围的电场。

解. 我們采用垂直于柱体轴的平面内的极坐标。于是只与一个恒定矢量有关的拉普拉斯二维方程的解为

$$\varphi_1 = \text{常数} \cdot \mathcal{E} \nabla \ln r = \text{常数} \cdot \frac{\mathcal{E} \mathbf{r}}{r^2},$$

与 $\varphi_0 = -r\mathcal{E}$ 相加, 并令式中的常数 $= R^2$, 我們得到

$$\varphi = -\mathcal{E}r \cos\theta \left(1 - \frac{R^2}{r^2}\right).$$

面电荷密度为

$$\sigma = \frac{\mathcal{E}}{2\pi} \cos\theta.$$

将 φ 与二维偶极场的电势比较, 就可求得圆柱体单位长度的偶极矩 \mathcal{D} , 即

$$2\mathcal{D} \nabla \ln r = \frac{2\mathcal{D} \mathbf{r}}{r^2},$$

因而 $\mathcal{D} = \mathcal{E} \frac{R^2}{2}$ 。

3. 試求导体上劈形緣附近的电場。

解. 我們选用垂直于劈形緣的平面內的极坐标 r, θ , 原点在劈形角 θ_0 的頂点上。設 θ 角从劈形的一側算起; 导体外的区域相应于 θ 的值为 $0 \leq \theta \leq 2\pi - \theta_0$ 。在角緣附近的电势可以展开为 r 的幂級数, 但我們感兴趣的只是展开式內包含 r 的最低幂的第一項 (常数后面的項)。二維拉普拉斯方程的与 r^n 成比例的解是 $r^n \cos n\theta$ 与 $r^n \sin n\theta$ 。于是当 $\theta = 0$ 或 $\theta = 2\pi - \theta_0$ 时 (在导体表面上), n 最小而且滿足条件 $\varphi = \text{常数}$ 的解是

$$\varphi = \text{常数} \cdot r^n \sin n\theta, \quad n = \frac{\pi}{2\pi - \theta_0}$$

(常数值只可由求整个場的問題的解得出)。于是电場强度按照 r^{n-1} 随 r 而变化。因此, 当 $\theta_0 < \pi$ ($n < 1$) 时, 电場强度在角緣附近变为无穷大。特别是对于很尖的劈形 ($\theta_0 \ll 1, n \simeq \frac{1}{2}$), E 按照 $r^{-\frac{1}{2}}$ 随 r 的减小而增加。在导体表面上的凹劈形緣附近 ($\theta_0 > \pi, n > 1$), 电場趋向于零。

4. 試求导体表面上的細錐形尖端附近的电場。

解. 我們选用球面坐标, 原点在圓錐形尖的頂点上, 极軸为圓錐尖的軸。設圓錐体的張开角为 $2\theta_0 \ll 1$, 于是导体外的区域相应于极角 θ 的值为 $\theta_0 \leq \theta \leq \pi$ 。現在求出场势变化部分对于圓錐軸为对称的解的形式为

$$\varphi = r^n f(\theta), \quad (1)$$

其中 n 为最小值。將上式代入拉普拉斯方程

$$\frac{1}{r^2} \frac{\partial}{\partial r} \left(r^2 \frac{\partial \varphi}{\partial r} \right) + \frac{1}{r^2 \sin \theta} \frac{\partial}{\partial \theta} \left(\sin \theta \frac{\partial \varphi}{\partial \theta} \right) = 0$$

以后, 得出

$$\frac{1}{\sin \theta} \frac{d}{d\theta} \left(\sin \theta \frac{df}{d\theta} \right) + n(n+1)f = 0. \quad (2)$$

圓錐尖面上电势不变的条件表明, 必須 $f(\theta_0) = 0$ 。

我們来求 θ_0 小时的解, 假設 $n \ll 1$, 而 $f(\theta)$ 的形式为 $f = \text{常数} \cdot [1 + \psi(\theta)]$, 式中 $\psi \ll 1$ (当 $\theta_0 \rightarrow 0$, 即对无穷細的尖, 自然可以預料到, 差不多在圓錐尖周圍的全部区域內, φ 趋近于常数)。于是得到 ψ 的方程为

$$\frac{1}{\sin \theta} \frac{d}{d\theta} \left(\sin \theta \frac{d\psi}{d\theta} \right) = -n, \quad (3)$$

在圓錐尖外的区域內 (特別当 $\theta = \pi$ 时), ψ 无奇点的解为

$$\psi(\theta) = 2n \ln \sin \frac{\theta}{2}.$$

当 $\theta \sim \theta_0 \ll 1$ 时, 函数 ψ 不再是小值。虽然如此, 但我们所得到的式子仍然可以应用, 因为在这区域内, 由于 θ 很小, 一般可以略去方程(2)内的第二项。但为了求出第一近似下的常数 n , 必须使上面求得的函数 $f=1+\psi$ 在 $\theta=\theta_0$ 时变为零。于是求得①

$$n = -\frac{1}{2 \ln \theta_0}.$$

在趋近于圆锥尖端时, 电场强度随 $r^{-(1-n)}$, 也即是基本上随 $\frac{1}{r}$ 而无限地增大。

5. 与上题相同, 试求导体面上细圆锥形孔附近的电场。

解. 现在导体外的区域相应于 θ 的值为 $0 \leq \theta \leq \theta_0$ 。和前一问题一样, 把 ψ 写成(1)的形式, 但是在本题中 $n \gg 1$ 。因为在场的整个区域内, 现在是 $\theta \ll 1$, 于是方程(2)可以写成下面的形式:

$$\frac{1}{\theta} \frac{d}{d\theta} \left(\theta \frac{df}{d\theta} \right) + n^2 f = 0.$$

这就是贝塞耳方程, 它在电场区域内无奇点的解为 $J_0(n\theta)$ 。 n 的值定义为方程 $J_0(n\theta_0) = 0$ 的最小根, 由此得到

$$n = \frac{2.4}{\theta_0}.$$

6. 试求电偶极子被吸引向导体平面的能量。

解. 选择 x 轴垂直于导体表面, 并通过偶极子所在的点; 设偶极矩矢量 \mathcal{P} 在 xy 平面内。偶极子的“像”在 $-x$ 点处, 并且其偶极矩为

$$\mathcal{P}'_x = \mathcal{P}_x, \quad \mathcal{P}'_y = -\mathcal{P}_y,$$

于是我们求得电偶极子的吸引能量为偶极子与其“镜像”的相互作用能, 并等于

$$u = -\frac{2\mathcal{P}_x^2 + \mathcal{P}_y^2}{8x^3}.$$

7. 试求两个平行的无限长圆柱形导体单位长度上的互电容(柱体的半径

① 更精确的公式 $n = \frac{1}{2 \ln \left(\frac{2}{\theta_0} \right)}$

包含大自然对数的系数, 实际上不能用上面所指出的简单方法得到。但由更精确的计算, 由于一些偶然的原因, 正好也得到这公式。

分别为 a 和 b , 軸間的距离为 c)^①。

解。两圆柱体所产生的电场, 和通过适当选择的 A 点和 A' 点(图 3)的两条带电导线所产生的场(在柱体外的空间内)相同。导线单位长度上的电荷为 $\pm e'$, 等于柱体上的电荷, 而 A 点和 A' 点必须在 OO' 綫上, 以使柱体面与等势面相合。为此, 距离 OA 和 $O'A'$ 必须满足下列关系式:

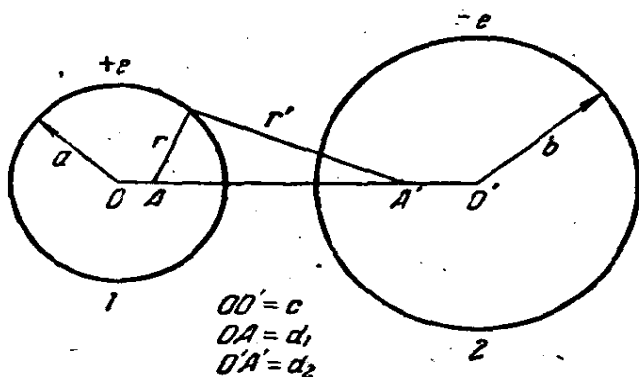


图 3

$$OA \cdot OA' = a^2, \quad O'A' \cdot O'A = b^2,$$

即

$$d_1(c - d_2) = a^2, \quad d_2(c - d_1) = b^2.$$

于是在每一圆周上, 离 A 点和 A' 点的距离之比 $\frac{r'}{r}$ 为常数; 在圆周 1 上,

$$\frac{r}{r'} = \frac{a}{OA'} = \frac{a}{c - d_2} = \frac{d_1}{a},$$

而在圆周 2 上, $\frac{r'}{r} = \frac{d_2}{b}$ 。相应地, 圆柱导体的电势为

$$\varphi_1 = -2e' \ln \frac{r}{r'} = -2e' \ln \frac{d_1}{a}, \quad \varphi_2 = 2e' \ln \frac{d_2}{b},$$

$$\varphi_2 - \varphi_1 = 2e' \ln \frac{d_1 d_2}{ab}.$$

由此求得互电容 $C = \frac{e}{\varphi_2 - \varphi_1}$ 为

$$\frac{1}{C} = 2 \ln \frac{d_1 d_2}{ab} = 2 \operatorname{Arch} \frac{c^2 - a^2 - b^2}{2ab}.$$

特别是对离开导体面的距离为 h ($h > a$) 而半径为 a 的圆柱体来说, 必须令 $c = b + h$, 并过渡到极限值 $b \rightarrow \infty$; 于是得到

$$\frac{1}{C} = 2 \operatorname{Arch} \frac{h}{a}.$$

① 两球形导体的类似问题, 不能在有限形式下解出, 其差别在于: 在两条平行的带电的(电荷相等、符号相反)导线的电场内, 全部的等势面为圆柱形的, 而在两点电荷 $\pm e$ 的场内, 等势面不是球形的。

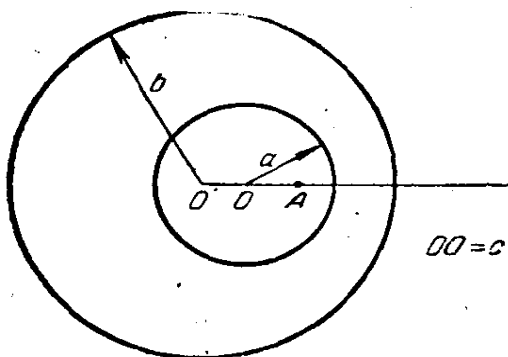


图 4

如果有两空心圆柱体, 一个放在另一个的里面($c < b - a$), 那末导体外没有电场, 而在两个圆柱体间的空隙内的电势, 和通过 A 点和 A' 点(图 4) 并带有电荷 $+e$ 和 $-e$ 的两条导线所产生的电场完全相同。用同样方法, 我们得到下面的结果:

$$\frac{1}{C} = 2 \operatorname{Arch} \frac{a^2 + b^2 - c^2}{2ab}$$

8. 设导体的边界为一无限平面, 它的突出部分为半球形状。试求表面上的电荷分布。

解. 在例题 1 所求出的场内, 场势的形式为

$$\varphi = \text{常数} \cdot z \left(1 - \frac{R^3}{r^3} \right),$$

$z=0$ 的平面(其突出部分为 $r=R$)为一等势面(在这等势面上, $\varphi=0$)。因此, 它也可以是导体面, 由上面的公式可求出导体外的场。在导体表面的平面部分的电荷分布由下式得出:

$$\sigma = -\frac{1}{4\pi} \frac{\partial \varphi}{\partial z} \Big|_{z=0} = \sigma_0 \left(1 - \frac{R^3}{r^3} \right)$$

(我们假定常数 $= -4\pi\sigma_0$, 式中 σ_0 为距突出部分很远处的电荷密度), 在突出部分的表面上,

$$\sigma = -\frac{1}{4\pi} \frac{\partial \varphi}{\partial r} \Big|_{r=R} = 3\sigma_0 \frac{z}{R}$$

9. 试求电场 \mathcal{E} 内导电的细圆柱杆(长为 $2l$, 半径为 a , 而 $a \ll l$) 的电偶极矩, 电场与杆的轴平行。

解. 设 $\tau(z)$ 为杆表面单位长度上所感生的电荷; z 为沿圆柱杆轴的坐标, 并从圆柱杆轴的中点算起, 在导体表面上电势不变的条件为

$$-\mathcal{E}z + \frac{1}{2\pi} \int_0^{2\pi} \int_{-l}^l \frac{\tau(z') dz' d\varphi}{R} = 0,$$

$$R = \sqrt{(z' - z)^2 + 4a^2 \sin^2 \frac{\varphi}{2}},$$

φ 是通过圆柱杆的轴及其表面上相距为 R 的两点的平面间的夹角。分开积分

为两部分, 并令 $\tau(z') = \tau(z) + [\tau(z') - \tau(z)]$ 。注意到 $l \gg a$, 对离杆两端不十分近的点, 我們有

$$\begin{aligned} \frac{\tau(z)}{2\pi} \iint \frac{dz' d\varphi}{R} &\approx \frac{\tau(z)}{2\pi} \int_0^\pi \ln \frac{l^2 - z^2}{a^2 \sin^2 \frac{\varphi}{2}} d\varphi = \\ &= \tau(z) \ln \frac{4(l^2 - z^2)}{a^2}, \end{aligned}$$

(此处利用了已知值 $\int_0^\pi \ln \sin \varphi d\varphi = -\pi \ln 2$)。在包含差值 $\tau(z') - \tau(z)$ 的积分内, 可以略去 R 內含有 a^2 的項, 因为这并不会引起积分的发散。于是

$$\mathcal{E} z = \tau(z) \ln \frac{4(l^2 - z^2)}{a^2} + \int_{-l}^l \frac{\tau(z') - \tau(z)}{|z' - z|} dz'.$$

τ 对 z 的依賴关系, 基本上归结为 z 的比例关系; 在这种近似下, 上式的积分给出 $-2\tau(z)$, 結果得到

$$\tau(z) = \frac{\mathcal{E} z}{\ln \frac{4(l^2 - z^2)}{a^2} - 2}.$$

在杆的两端点附近, 这式子不适用, 但是对計算所求的偶极矩, 这个 z 值的区域是不重要的。符合我們所要求的精确度, 我們得到

$$\begin{aligned} \mathcal{D} &= \int_{-l}^l \tau(z) z dz = \frac{\mathcal{E}}{L} \int_0^l \left\{ z^2 - \frac{z^2}{2L} \ln \left(1 - \frac{z^2}{l^2} \right) \right\} dz = \\ &= \frac{\mathcal{E} l^3}{3L} \left\{ 1 + \frac{1}{L} \left(\frac{4}{3} - \ln 2 \right) \right\} \end{aligned}$$

(式中 $L = \ln \left(\frac{2l}{a} \right) - 1$, 是一个大数), 或者(有同样的精确度)

$$\mathcal{D} = \frac{\mathcal{E} l^3}{3 \left(\ln \frac{4l}{a} - \frac{7}{3} \right)}.$$

10. 試求空心的球截形导体的电容。

解. 选择坐标原点 O 在球截形边缘的某一点处(图 5), 并进行反演变换: $r = \frac{l^2}{r'}$ (l 为球截形主截面內的弦长)。这时球截形变成垂直于球截形的半径 AO 的半平面(图 5 上的虚綫), 这半平面也通过它边缘上的 B 点; 角 $\gamma = \pi - \theta$,

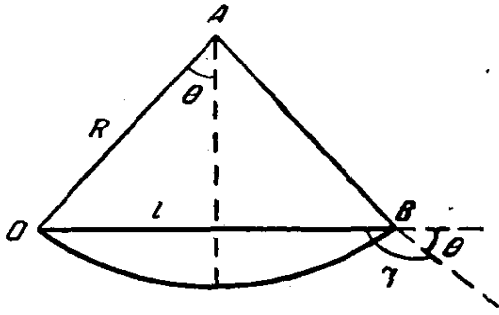


图 5

此处 2θ 为球截形所给的角度。

如果球截形上的电荷为 e , 并取其电势为零, 则 $r \rightarrow \infty$ 时, 场势的形式变为

$$\varphi \cong -\varphi_0 + \frac{e}{r}.$$

相应地, 在变换后的问题内, 当 $r' \rightarrow 0$ 时, 场势的形式变为

$$\varphi' = \frac{l\varphi}{r'} \cong \frac{l\varphi_0}{r'} + \frac{e}{l}$$

(第一项相应于坐标原点处的电荷 $e' = -l\varphi_0$)。

另一方面, 按照(3.23)式, 我们有

$$\varphi' = \frac{e'}{r'} - \frac{e'}{2\pi l} \left(1 + \frac{\theta}{\sin\theta}\right)$$

(这是离电势为零的半平面导体边缘为 l 处的电荷 e' 附近的电势)。比较两个式子, 我们得到所求的电容 $C = \frac{e}{\varphi_0}$ 为

$$C = \frac{l}{2\pi} \left(1 + \frac{\theta}{\sin\theta}\right) = \frac{R}{\pi} (\sin\theta + \theta)$$

(R 为球截形的半径)。

11. 边缘效应使平面电容器的电容 $C = \frac{S}{4\pi d}$ (S 为电容器板的面积, d 为两板间的距离; $d \ll \sqrt{S}$) 有所改正, 试求这改正值。

解. 由于在电容器的两板上存在自由边缘, 因而在电容器两板上电荷的均匀分布遭到破坏。为了求得在第一近似下的改正值, 我们来研究电容器两板上离边缘的距离为 x 的各点; 而 $d \ll x \ll \sqrt{S}$ 。例如, 我们研究电容器上面的板(其电势为 $\varphi = -\frac{\varphi_0}{2}$, 图 6, a), 并略去它至中央平面(等势面 $\varphi = 0$) 的距离

$\frac{d}{2}$, 于是我们的问题就成为求平面中电势不同的两部分交界附近的电场。这问题的解法是很简单的①, 因而我们得到超过的电荷密度(与离边缘很远的 σ 比较)的表达式为

① 参阅 § 22, 在电势公式(22.2)内, 在现在的情况下, 必须令 $\varphi_{ab} = \frac{\varphi_0}{2}$, $\alpha = \pi$ 。

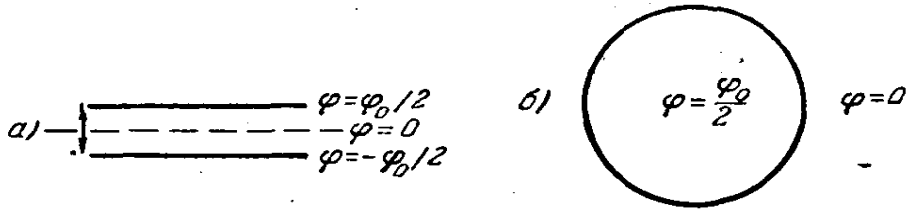


图 6

$$\Delta\sigma = \frac{E_a}{4\pi} = \frac{\varphi_0}{8\pi^2 x^2}$$

于是总超过电荷为

$$L \int \Delta\sigma \cdot dx = \frac{\varphi_0 L}{8\pi^2} \ln \frac{\sqrt{S}}{d}$$

(L 为电容器的一板的周长); 在计算对数性发散积分时, 我们取区域 $d \ll x \ll \sqrt{S}$ 的边界作为积分的上限和下限。由此求得电容为①

$$C = \frac{S}{4\pi d} + \frac{L}{8\pi^2} \ln \frac{\sqrt{S}}{d}$$

§ 4. 导电椭球

利用所谓椭球坐标, 可以解决求带电椭球导体的电场问题和在均匀外场内的椭球问题。

椭球坐标和笛卡儿坐标的关系为

$$\frac{x^2}{a^2+u} + \frac{y^2}{b^2+u} + \frac{z^2}{c^2+u} = 1 \quad (a > b > c). \quad (4.1)$$

这个方程是 u 的三次方程, 有三个不同的实根 ($u = \xi, \eta, \zeta$) 在下列区间内:

$$\xi \geq -c^2, \quad -c^2 \geq \eta \geq -b^2, \quad -b^2 \geq \zeta \geq -a^2. \quad (4.2)$$

这三个根也是点 (x, y, z) 的椭球坐标。它们的几何意义可从下列

① 更精确的计算(求出对数宗量内的系数), 需要应用更复杂的方法, 而且所得到的结果依赖于两板的形状。对于圆形板(半径为 R), 我们得到

$$C = \frac{R^2}{4d} + \frac{R}{4\pi} \left(\ln \frac{16\pi R}{d} - 1 \right)$$

(克希霍夫公式)

事实看出, ξ, η, ζ 为常数的面分别代表椭球面、单叶双曲面和双叶双曲面, 而且它们和椭球面

$$\frac{x^2}{a^2} + \frac{y^2}{b^2} + \frac{z^2}{c^2} = 1 \quad (4.3)$$

具有同一焦点。

三族曲面中每一族有一个面通过空间的每一点, 而且这三个面是相互正交的。由形式(4.1)的三个联立方程的解, 即可得到从椭球坐标变换到笛卡儿坐标的变换公式为^①

$$\begin{aligned} x &= \pm \left[\frac{(\xi + a^2)(\eta + a^2)(\zeta + a^2)}{(b^2 - a^2)(c^2 - a^2)} \right]^{\frac{1}{2}}, \\ y &= \pm \left[\frac{(\xi + b^2)(\eta + b^2)(\zeta + b^2)}{(c^2 - b^2)(a^2 - b^2)} \right]^{\frac{1}{2}}, \\ z &= \pm \left[\frac{(\xi + c^2)(\eta + c^2)(\zeta + c^2)}{(a^2 - c^2)(b^2 - c^2)} \right]^{\frac{1}{2}}. \end{aligned} \quad (4.4)$$

椭球坐标系内的长度元为

$$\begin{aligned} dl^2 &= h_1^2 d\xi^2 + h_2^2 d\eta^2 + h_3^2 d\zeta^2, \\ h_1 &= \frac{\sqrt{(\xi - \eta)(\xi - \zeta)}}{2R_\xi}, \quad h_2 = \frac{\sqrt{(\eta - \zeta)(\eta - \xi)}}{2R_\eta}, \\ h_3 &= \frac{\sqrt{(\zeta - \xi)(\zeta - \eta)}}{2R_\zeta}, \end{aligned} \quad (4.5)$$

这里引入了符号:

$$R_u = \sqrt{(u + a^2)(u + b^2)(u + c^2)}, \quad u = \xi, \eta, \zeta.$$

相应地, 椭球坐标系内的拉普拉斯方程为

$$\Delta\varphi = \frac{4}{(\xi - \eta)(\zeta - \xi)(\eta - \zeta)} \left[(\eta - \zeta) R_\xi \frac{\partial}{\partial \xi} \left(R_\xi \frac{\partial \varphi}{\partial \xi} \right) + \right.$$

^① 严格说来, 椭球坐标不应取为 ξ, η, ζ 本身, 而应取为 $\sqrt{a^2 + \xi}, \sqrt{b^2 + \xi}, \sqrt{c^2 + \xi}$ 。于是(4.4)式中的双号士消去, 而两坐标系的关系成为单对应的, 这正是应该的。

$$\begin{aligned}
 & + (\zeta - \xi) R_{\eta} \frac{\partial}{\partial \eta} \left(R_{\xi} \frac{\partial \varphi}{\partial \eta} \right) + \\
 & \cdot \left. + (\xi - \eta) R_{\zeta} \frac{\partial}{\partial \zeta} \left(R_{\eta} \frac{\partial \varphi}{\partial \zeta} \right) \right] = 0.
 \end{aligned} \tag{4.6}$$

如果半轴 a, b, c 中有两个变成相等, 则椭球坐标系发生退化。设 $a = b > c$; 于是(4.1)的三次方程退化为二次方程:

$$\begin{aligned}
 \frac{\rho^2}{a^2 + u} + \frac{z^2}{c^2 + u} &= 1, \\
 \rho^2 &= x^2 + y^2,
 \end{aligned} \tag{4.7}$$

它有两个根, 其值在下列范围内:

$$\xi \geq -c^2, \quad -c^2 \geq \eta \geq -a^2.$$

ξ 和 η 为常数的坐标面分别变成共焦点的扁迴轉椭球面和单叶迴轉双曲面(图7)。我们可以引进 x, y 平面内的极角 φ 作为第三个坐标($x = \rho \cos \varphi, y = \rho \sin \varphi$)。当 $a = b$ 时, 椭球坐标 ζ 退化为常数 $-a^2$, 它和 φ 角的关系是: 当 b 趋近于 a 时, ζ 趋近于 $-a^2$; 即 $b \rightarrow a$ 时, 我们有

$$\cos \varphi = \sqrt{\frac{a^2 + \zeta}{a^2 - b^2}}, \tag{4.8}$$

从(4.4)式或者直接从(4.1)式, 很容易看出这一点。坐标 z, ρ 和坐标 ξ, η 的关系, 按照(4.4)式, 由下式给出

$$\begin{aligned}
 z &= \pm \left[\frac{(\xi + c^2)(\eta + c^2)}{c^2 - a^2} \right]^{\frac{1}{2}}, \\
 \rho &= \left[\frac{(\xi + a^2)(\eta + a^2)}{a^2 - c^2} \right]^{\frac{1}{2}}.
 \end{aligned} \tag{4.9}$$

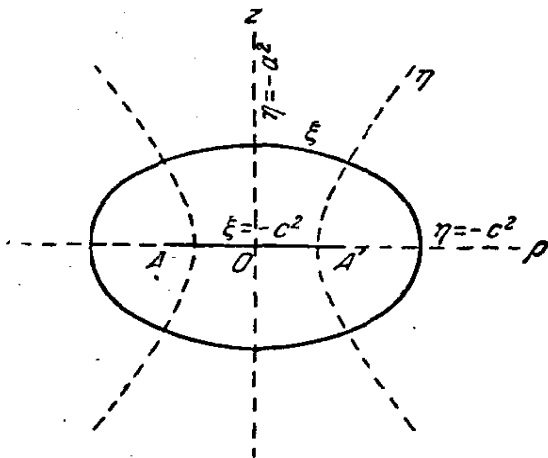


图 7

坐标 ξ, η, φ 称为扁椭球坐标^①。

由类似方式，当 $a > b = c$ 时，椭球坐标退化为所谓长椭球坐标。坐标 ξ 和 ζ 为方程

$$\frac{x^2}{a^2+u} + \frac{\rho^2}{b^2+u} = 1, \quad \rho^2 = y^2 + z^2, \quad (4.10)$$

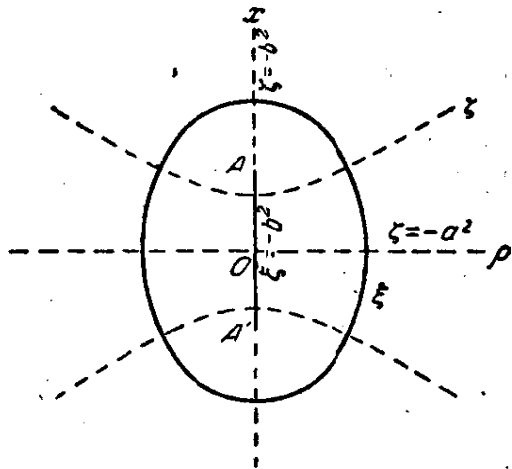


图 8

的根，而且 $\xi \geq -b^2, -b^2 \geq \zeta \geq -a^2$ 。
 ξ 和 ζ 为常数的面代表长椭球面和双叶迴轉双曲面(图 8)。当 $c \rightarrow b$ 时，坐标 η 按下列规律退化为常数 $-b^2$ ：

$$\cos \varphi = \sqrt{\frac{b^2 + \eta}{b^2 - c^2}}, \quad (4.11)$$

式中 φ 是 y, z 平面内的极角。

坐标 ξ, ζ 和坐标 x, ρ 的关系，

由下列公式给出：

$$x = \pm \left[\frac{(\xi + a^2)(\zeta + a^2)}{a^2 - b^2} \right]^{\frac{1}{2}},$$

$$\rho = \left[\frac{(\xi + b^2)(\zeta + b^2)}{b^2 - a^2} \right]^{\frac{1}{2}}. \quad (4.12)$$

在扁椭球坐标系内，坐标面(椭球面和双曲面)的焦点，位于 xy 平面内半径为 $\sqrt{a^2 - c^2}$ 的圆上(图 7 内的 AA' 是这圆的直径)。现在我们通过某一点 P 和 z 轴作一平面。它与同焦点圆相交于两点；设 r_1 和 r_2 分别是这两点至 P 点的距离。如果 ρ, z 是 P 点的坐标，则

$$r_1^2 = (\rho - \sqrt{a^2 - c^2})^2 + z^2,$$

$$r_2^2 = (\rho + \sqrt{a^2 - c^2})^2 + z^2.$$

^① 我们在这里采用的扁椭球坐标的定义是，它们直接是椭球坐标的极限情况，在文献中还采用其他定义，但很容易化到我们的定义。

扁椭球坐标 ξ, η 用 r_1, r_2 表示为

$$\begin{aligned}\xi &= \left(\frac{r_1 + r_2}{2} \right)^2 - a^2, \\ \eta &= \left(\frac{r_2 - r_1}{2} \right)^2 - a^2.\end{aligned}\quad (4.13)$$

在长椭球坐标系内, 其焦点为 x 轴上的两个点: $x = \pm \sqrt{a^2 - b^2}$ (图 7 的 A 和 A' 点)。如果 r_1, r_2 是这两个焦点至 P 点的距离, 则

$$\begin{aligned}r_1^2 &= \rho^2 + (z - \sqrt{a^2 - b^2})^2, \\ r_2^2 &= \rho^2 + (z + \sqrt{a^2 - b^2})^2,\end{aligned}$$

而扁椭球坐标 ξ, ζ 用 r_1 和 r_2 表示 (即以 ζ 代替 η) 的式子和 (4.13) 式相同。

现在回到带电椭球的电场问题, 这椭球面由方程 (4.3) 表示。在椭球坐标内, 这即是坐标面: $\xi = 0$ 。因此, 十分显然, 如果求出的场势仅是 ξ 的函数, 则全部 $\xi = \text{常数}$ 的椭球面 (其中包括导体面), 都自动地成为等势面。于是拉普拉斯方程 (4.6) 变成

$$\frac{d}{d\xi} \left(R_i \frac{d\varphi}{d\xi} \right) = 0,$$

由此得

$$\varphi(\xi) = A \int_{\xi}^{\infty} \frac{d\xi}{R_i}.$$

式中积分的上限这样选择, 使无穷远处的场等于零。常数 A 可以非常简单地从下列条件求出: 在 r 很大时, 电场必须趋近于库仑场: $\varphi \cong \frac{e}{r}$, 式中 e 为导体上的总电荷。 $r \rightarrow \infty$ 相应于 $\xi \rightarrow \infty$; 这时 $r^2 \cong \xi$, 正如从 (4.1) 式中令 $u = \xi$ 所得到的结果。另一方面, ξ 很大时, 我们有 $R_i \cong \xi^{\frac{3}{2}}$ 和 $\varphi \cong \frac{2A}{\sqrt{\xi}} = \frac{2A}{r}$ 。由此得出, $2A = e$, 于是最后得到

$$\varphi(\xi) = \frac{e}{2} \int_{\xi}^{\infty} \frac{d\xi}{R_{\xi}}, \quad (4.14)$$

这里的积分是第一种椭圆积分。导体面相应于 $\xi=0$ ，因此得到椭球的电容为

$$\frac{1}{C} = \frac{1}{2} \int_0^{\infty} \frac{d\xi}{R_{\xi}}. \quad (4.15)$$

椭球面上的电荷密度分布，由电势的法向导数得出：

$$\begin{aligned} \sigma &= -\frac{1}{4\pi} \frac{\partial \varphi}{\partial n} \Big|_{\xi=0} = -\frac{1}{4\pi} \left(\frac{1}{h_1} \frac{d\varphi}{d\xi} \right)_{\xi=0} = \\ &= \frac{e}{4\pi} \frac{1}{\sqrt{\eta\xi}}. \end{aligned}$$

由(4.4)式，容易证明，当 $\xi=0$ 时，

$$\frac{x^2}{a^4} + \frac{y^2}{b^4} + \frac{z^2}{c^4} = \frac{\eta\xi}{a^2b^2c^2}.$$

因此

$$\sigma = \frac{e}{4\pi abc} \left(\frac{x^2}{a^4} + \frac{y^2}{b^4} + \frac{z^2}{c^4} \right)^{-\frac{1}{2}}. \quad (4.16)$$

对双轴椭球而言，积分(4.14)–(4.15)可用基本函数来表示。对于长椭球 ($a > b = c$)，场势由下式给出：

$$\varphi = \frac{e}{\sqrt{a^2 - b^2}} \text{Arth} \sqrt{\frac{a^2 - b^2}{\xi + a^2}}, \quad (4.17)$$

而其电容为

$$C = \frac{\sqrt{a^2 - b^2}}{\text{Arch} \frac{a}{b}}; \quad (4.18)$$

对于扁椭球 ($a = b > c$)，我们有

$$\varphi = \frac{e}{\sqrt{a^2 - c^2}} \text{arctg} \sqrt{\frac{a^2 - c^2}{\xi + c^2}},$$

$$C = \frac{\sqrt{a^2 - c^2}}{\arccos \frac{c}{a}}. \quad (4.19)$$

特别是对圆盘来说 ($a = b, c = 0$)

$$C = \frac{2a}{\pi}. \quad (4.20)$$

现在我们来研究均匀外电场 \mathcal{E} 内未带电椭球导体的问题。对普遍性没有任何限制，只须研究椭球一个轴方向上的外电场 \mathcal{E} 就行了。相反地，可以把 \mathcal{E} 分解为沿椭球轴的三个分量，然后将各分量的场叠加起来，就可得到总电场。

x 轴方向（椭球的 a 轴）上的均匀电场 \mathcal{E} 的场势，在椭球坐标内的形式为

$$\varphi_0 = -\mathcal{E}x = -\frac{\mathcal{E}}{\sqrt{(b^2 - a^2)(c^2 - a^2)}} \sqrt{(\xi + a^2)(\eta + a^2)(\zeta + a^2)}. \quad (4.21)$$

我们将椭球外的场势写成 $\varphi = \varphi_0 + \varphi'$ ，式中 φ' 为由椭球所引起的外场畸变，并且我们求得 φ' 为

$$\varphi' = \varphi_0 F(\xi). \quad (4.22)$$

在这函数内，依赖于 η 和 ζ 的因子和 φ_0 内的相同。这种函数形式满足 $\xi = 0$ 和 η, ζ 为任意值时的边界条件（在椭球面上）。把(4.22)式代入拉普拉斯方程(4.6)，我们得到 $F(\xi)$ 的方程为

$$\frac{d^2 F}{d\xi^2} + \frac{dF}{d\xi} \frac{d}{d\xi} \ln [R_i(\xi + a^2)] = 0.$$

这个方程的一个解为 $F = \text{常数}$ ，而另一解为

$$F(\xi) = A \int_{\xi}^{\infty} \frac{d\xi}{(\xi + a^2) R_i}. \quad (4.23)$$

积分的上限这样选择，使在无穷远处 ($\xi \rightarrow \infty$) 场势 φ' 趋近于零。这里的积分是第二种椭圆积分。

在椭球面上，必須 $\varphi = \text{常数}$ 。为了使这一条件在 $\xi = 0$ 和 η, ζ 为任意值时得到滿足，必須这一常数等于零。适当选择 $F(\xi)$ 内的系数 A [例如使 $F(0) = -1$]，我們最后就得到椭球周圍的場勢的表达式为

$$\varphi = \varphi_0 \left\{ 1 - \int_{\xi}^{\infty} \frac{ds}{(s+a^2)R_s} \sqrt{\int_0^{\infty} \frac{ds}{(s+a^2)R_s}} \right\}. \quad (4.24)$$

現在我們求离椭球很远 r 处的場勢 φ' 。大的 r 值相应于大的坐标值 ξ ，而且 $r^2 \cong \xi$ ，这从(4.1)式可以直接得出。因此，

$$\int_{\xi}^{\infty} \frac{ds}{(s+a^2)R_s} \cong \int_{r^2}^{\infty} \frac{ds}{s^{5/2}} = \frac{2}{3r^3},$$

我們得到場勢 φ' 为

$$\varphi' = \frac{\zeta x}{r^3} \frac{V}{4\pi n^{(x)}},$$

式中 $V = 4\pi abc/3$ 为椭球的体积，而量 $n^{(x)}$ (和下面出現的类似量 $n^{(y)}, n^{(z)}$) 由下式定义：

$$\begin{aligned} n^{(x)} &= \frac{abc}{2} \int_0^{\infty} \frac{ds}{(s+a^2)R_s}, \\ n^{(y)} &= \frac{abc}{2} \int_0^{\infty} \frac{ds}{(s+b^2)R_s}, \\ n^{(z)} &= \frac{abc}{2} \int_0^{\infty} \frac{ds}{(s+c^2)R_s}. \end{aligned} \quad (4.25)$$

φ' 的表达式为电偶极 z 的場勢：

$$\varphi' = \frac{x \mathcal{D}_x}{r^3},$$

这正是所預料的。而且椭球的偶极矩为

$$\mathcal{D}_x = \zeta_x \frac{V}{4\pi n_x} \quad (4.26)$$

由类似的表达式, 可以求出电场 \mathcal{E} 在 y 轴或 z 轴方向时的偶极矩。

正常数 $n^{(x)}, n^{(y)}, n^{(z)}$ 只与椭球的形状有关, 而与它的体积无关, 称它们为退极化系数^①。如果坐标轴和椭球轴相合, 则(4.26)式必须写成张量形式:

$$\frac{4\pi}{V} n_{ik} \mathcal{P}_k = \mathcal{E}_i. \quad (4.27)$$

量 $n^{(x)}, n^{(y)}, n^{(z)}$ 是二秩对称张量 n_{ik} 的主值。

在 a, b, c 为任意值的普遍情况下, 从 $n^{(x)}, n^{(y)}, n^{(z)}$ 的定义, 首先可以得到

$$\text{如果 } a > b > c, \text{ 则 } n^{(x)} < n^{(y)} < n^{(z)}. \quad (4.28)$$

其次, 将积分 $n^{(x)}, n^{(y)}, n^{(z)}$ 相加, 并引进 $u = R_s^2$ 为积分变数, 我们得到

$$n^{(x)} + n^{(y)} + n^{(z)} = \frac{abc}{2} \int_{(abc)^2}^{\infty} \frac{du}{u^{3/2}},$$

由此得到

$$n^{(x)} + n^{(y)} + n^{(z)} = 1. \quad (4.29)$$

三个退极化系数之和等于 1 (写成张量形式, 这表明: $n_{ii} = 1$)。另一方面, 既然这些系数是正的, 因而其中任何一个的值都不能超过 1。

对于球体 ($a = b = c$), 由对称性看出, $n^{(x)} = n^{(y)} = n^{(z)}$, 因而

$$n^{(x)} = n^{(y)} = n^{(z)} = \frac{1}{3}. \quad (4.30)$$

对于圆柱体 (其轴指向 x 轴, $a \rightarrow \infty$), 我们有^②

$$n^{(x)} = 0, \quad n^{(y)} = n^{(z)} = \frac{1}{2}. \quad (4.31)$$

① 在斯托涅的论文内对这些系数编成了一个有用的表 (Phil. Mag, 36, 803, 1945)。

② 球和圆柱体的这些值, 当然和 § 3 内例题 1 和 2 所得到的结果符合一致。

对于一般迴轉橢球, (4.25)的橢圓积分可用基本函数来表示。
对偏心率为 $e = \sqrt{1 - b^2/a^2}$ 的长迴轉橢球 ($a > b = c$),

$$n^{(x)} = \frac{1 - e^2}{2e^3} \left(\ln \frac{1 + e}{1 - e} - 2e \right),$$

$$n^{(y)} = n^{(z)} = \frac{1}{2} (1 - n^{(x)}). \quad (4.32)$$

如果橢球接近球形 ($e \ll 1$), 則近似地有

$$n^{(x)} = \frac{1}{3} - \frac{2}{15} e^2,$$

$$n^{(y)} = n^{(z)} = \frac{1}{3} + \frac{1}{15} e^2. \quad (4.33)$$

对于扁橢球 ($a = b > c$),

$$n^{(x)} = \frac{1 + e^2}{e^3} (e - \operatorname{arctg} e),$$

$$n^{(y)} = n^{(z)} = \frac{1}{2} (1 - n^{(x)}), \quad (4.34)$$

式中 $e = \sqrt{(a/c)^2 - 1}$ 。如果 $e \ll 1$, 則

$$n^{(x)} = \frac{1}{3} + \frac{2e^2}{15},$$

$$n^{(y)} = n^{(z)} = \frac{1}{3} - \frac{e^2}{15}. \quad (4.35)$$

例 題

1. 試求帶電圓盤 (半徑為 a) 的電場用柱面坐標表示的式子; 並求出圓盤上的電荷分布。

解. 在公式(4.16)內過渡到極限值 $c \rightarrow 0, z \rightarrow 0$, 即得到電荷的分布, 而比值 $z/c = \sqrt{1 - r^2/a^2}$ (式中 $r^2 = x^2 + y^2$) 和(4.3)符合一致。由此得出

$$\sigma = \frac{e}{4\pi a^2} \left(1 - \frac{r^2}{a^2} \right)^{-\frac{1}{2}}.$$

整個空間內的場勢由(4.19)式給出 (其中令 $c = 0$), 利用 (4.1)式 (其中令

$c=0, u=\xi, a=b$), 我們將 ξ 用 r 和 z 来表示, 于是場势 φ 为

$$\varphi = \frac{e}{a} \operatorname{arctg} \left[\frac{2a^2}{r^2 + z^2 - a^2 + \sqrt{(r^2 + z^2 - a^2)^2 + 4a^2 z^2}} \right]^{\frac{1}{2}}.$$

在圆盘边缘附近, 代替 r 和 z , 我們按照 $z = \rho \sin \theta, r = a - \rho \cos \theta (\rho \ll a)$ (图 9), 引进坐标 ρ 和 θ , 于是我們得到

$$\varphi \cong \frac{e}{a} \left(\frac{\pi}{2} - \sqrt{\frac{2\rho}{a}} \sin \frac{\theta}{2} \right),$$

这与 § 3 内例题 3 的普遍結果符合一致。

2. 試求带电椭球的四极矩。

解. 带电导体的四极矩張量定义为 $D_{ik} = e (3\overline{x_i x_k} - \overline{r^2} \delta_{ik})$, 式中 e 为它的总电荷, 而橫綫表示按下列定律

$$\overline{x_i x_k} = \frac{1}{e} \oint x_i x_k \sigma df$$

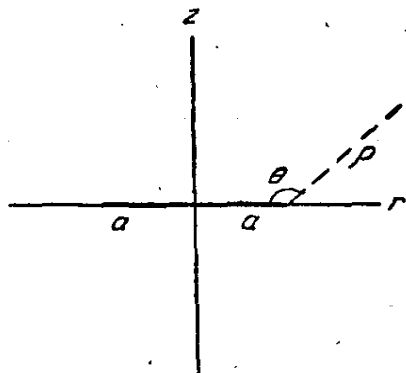


图 9

求得的平均值。十分显然, 椭球軸同时是張量 D_{ik} 的主軸。对于 σ 利用 (4.16) 式, 又对于椭球面元利用下列表达式:

$$df = \frac{dx dy}{v_z} = \frac{dx dy}{z/c^2} \sqrt{\frac{x^2}{a^4} + \frac{y^2}{b^4} + \frac{z^2}{c^4}},$$

于是我們得到

$$\bar{z}^2 = \frac{c}{4\pi ab} \int z dx dy = \frac{c^2}{3}$$

(对 $dx dy$ 的积分是对被 xy 平面所切割出的椭球截面积分两次)。因而

$$D_{xx} = \frac{e}{3} (2a^2 - b^2 - c^2),$$

$$D_{yy} = \frac{e}{3} (2b^2 - a^2 - c^2),$$

$$D_{zz} = \frac{e}{3} (2c^2 - a^2 - b^2).$$

3. 試求均匀的外电场內未带电椭球面上的电荷分布。

解. 按照 (1.9) 式, 我們有

$$\sigma = -\frac{1}{4\pi} \frac{\partial \varphi}{\partial n} \Big|_{\xi=0} = -\left(\frac{1}{4\pi h_1} \frac{\partial \varphi}{\partial \xi} \right) \Big|_{\xi=0}$$

(椭球表面法綫方向的长度元, 按照 (4.5) 式为 $h_1 d\xi$)。代入 (4.24) 式, 并考虑到

$$\nu_x = \frac{1}{h_1} \frac{\partial x}{\partial \xi} \Big|_{\xi=0} = \frac{x}{2a^2 h_1} \Big|_{\xi=0}$$

(ν 为椭球表面法线方向的单位矢量), 我們得到

$$\sigma = \frac{\mathcal{E}}{4\pi n^{(x)} \nu_x}$$

当外电场相对于椭球的 x, y, z 轴取任意方向时,

$$\sigma = \frac{1}{4\pi} \nu_i n_{ik}^{-1} \mathcal{E}_k = \frac{1}{4\pi} \left[\frac{\nu_x}{n^{(x)}} \mathcal{E}_x + \frac{\nu_y}{n^{(y)}} \mathcal{E}_y + \frac{\nu_z}{n^{(z)}} \mathcal{E}_z \right]$$

4. 与上题相同, 試求与场平行的圆盘平面(半径为 a)上的电荷分布①, 并求圆盘的偶极矩。

解. 我們把圆盘看作短半轴 c 趋近于零的迴轉椭球的极限情况。这时, 由(4.34)式, 这轴上(z 轴)的退极化系数趋近于 1, 而在 x 轴和 y 轴上的退极化系数趋近于零:

$$n^{(z)} = 1 - \frac{\pi c}{2a}, \quad n^{(x)} = n^{(y)} = \frac{\pi c}{4a}$$

迴轉椭球面法线方向的单位矢量的分量 ν_x 趋近于零:

$$\nu_x = \frac{x}{a^2} \left(\frac{x^2 + y^2}{a^4} + \frac{z^2}{c^4} \right)^{-\frac{1}{2}} \rightarrow \frac{x}{a^2} \frac{c^2}{z} = \frac{xc}{a^2} \left(1 - \frac{x^2 + y^2}{a^2} \right)^{-\frac{1}{2}}$$

因此, 电荷密度为

$$\sigma = \frac{\mathcal{E}}{4\pi} \frac{\nu_x}{n^{(x)}} = \frac{E_0 \rho \cos \varphi}{\pi^2 \sqrt{a^2 - \rho^2}}$$

式中 ρ, φ 为圆盘平面内的极坐标。

圆盘的偶极矩由公式(4.26)求出, 等于

$$\mathfrak{p} = \frac{4a^3}{3\pi} \mathcal{E}$$

应注意到, 它与 a^3 成正比, 而不是与圆盘的“体积” $a^2 c$ 成正比。

5. 試求迴轉椭球导体外的场势, 椭球的对称轴与外均匀场平行。

解. 对于长迴轉椭球($a > b = c$, 场 \mathcal{E} 在 x 轴方向), 由计算(4.24)式的积分, 我們得到

$$\varphi = -\mathcal{E}x \left\{ 1 - \frac{\text{Arth} \sqrt{\frac{a^2 - b^2}{a^2 + \xi}} - \sqrt{\frac{a^2 - b^2}{a^2 + \xi}}}{\text{Arth} \sqrt{1 - \frac{b^2}{a^2}} - \sqrt{1 - \frac{b^2}{a^2}}} \right\}$$

① 对于与电场垂直的圆盘, 问题不重要, 在整个空间内, 场仍保持均匀, 而在圆盘两侧所感生出的电荷为 $\sigma = \pm \mathcal{E}/4\pi$ 。

坐标 ξ 与坐标 x 和 $\rho = \sqrt{y^2 + z^2}$ 的关系为

$$\frac{\rho^2}{b^2 + \xi} + \frac{x^2}{a^2 + \xi} = 1,$$

在椭球外的空间内, $0 \leq \xi \leq \infty$ 。

对于扁椭球 ($a = b > c$), 场 \mathcal{E} 沿 z 轴方向。由此, 在(4.24)式的积分内, 必须用 $s + c^2$ 代换 $s + a^2$, 而 $\varphi_0 = -\mathcal{E}z$, 结果得到

$$\varphi = -\mathcal{E}z \left\{ 1 - \frac{\sqrt{\frac{a^2 - c^2}{\xi + c^2}} - \operatorname{arctg} \sqrt{\frac{a^2 - c^2}{\xi + c^2}}}{\sqrt{\frac{a^2}{c^2} - 1} - \operatorname{arctg} \sqrt{\frac{a^2}{c^2} - 1}} \right\}$$

而且坐标 ξ 与坐标 z 和 $\rho = \sqrt{x^2 + y^2}$ 的关系为

$$\frac{\rho^2}{a^2 + \xi} + \frac{z^2}{c^2 + \xi} = 1.$$

6. 所求与上题相同, 但椭球的对称轴与外场垂直。

解. 对于长椭球(场在 z 轴方向):

$$\varphi = -\mathcal{E}z \left\{ 1 - \frac{\frac{\sqrt{\xi + a^2}}{\xi + b^2} - \frac{1}{\sqrt{a^2 - b^2}} \operatorname{Arth} \sqrt{\frac{a^2 - b^2}{\xi + a^2}}}{\frac{a}{b^2} - \frac{1}{\sqrt{a^2 - b^2}} \operatorname{Arth} \sqrt{1 - \frac{b^2}{a^2}}} \right\}$$

对于扁椭球(场在 x 轴方向),

$$\varphi = -\mathcal{E}x \left\{ 1 - \frac{\frac{1}{\sqrt{a^2 - c^2}} \operatorname{arctg} \sqrt{\frac{a^2 - c^2}{\xi + c^2}} - \sqrt{\frac{\xi + c^2}{a^2 + \xi}}}{\frac{1}{\sqrt{a^2 - c^2}} \operatorname{arctg} \sqrt{\frac{a^2}{c^2} - 1} - \frac{c}{a^2}} \right\}$$

7. 设均匀电场 \mathcal{E} 沿 z 轴方向(在半空间 $z < 0$ 内), 被一有圆孔的接地导电平面 $z = 0$ 所包围。试求平面上的场和电荷分布。

解. 我们把有一半径为 a , 其圆心在坐标原点处的圆孔的 xy 平面, 视为迴转单叶双曲面族的极限情况:

$$\frac{\rho^2}{a^2 - |\eta|} - \frac{z^2}{|\eta|} = 1, \quad \rho^2 = x^2 + y^2,$$

其中 $|\eta| \rightarrow 0$ 。这些双曲面代表 $c = 0$ 的扁椭球坐标系的坐标平面族中的一族平面, 按照(4.9)式, 笛卡儿坐标 z 可用 ξ 和 η 表示为 $z = \sqrt{\xi|\eta|}/a$, 而 $\sqrt{\xi}$ 的根按照在上半空间或下半空间内取十号或一号。

我们求得解的形式为 $\varphi = -\mathcal{E}z F(\xi)$, 并得到函数 $F(\xi)$ 为

$$F(\xi) = \text{常数} \int \frac{d\xi}{\xi^{3/2}(\xi+a^2)} = \text{常数} \left[\frac{a}{\sqrt{\xi}} - \text{arctg} \frac{a}{\sqrt{\xi}} \right]$$

(按照 $z \rightarrow +\infty$, 即 $\sqrt{-\eta} \rightarrow +\infty$ 时 $\varphi = 0$ 的条件, 我們假定积分常数等于零)。这时, 負宗量的 arctg 必須理解为

$$\text{arctg} \frac{a}{-\sqrt{\xi}} = \pi - \text{arctg} \frac{a}{\sqrt{\xi}},$$

而不是 $-\text{arctg} \left(\frac{a}{\sqrt{\xi}} \right)$ 。相反地, 在圓孔平面上 ($\xi = 0$), 电势的連續性遭到破坏。选择常系数使 $z \rightarrow -\infty$ 时 (即 $\sqrt{-\eta} \rightarrow -\infty$ 时, $\text{arctg} \left(\frac{a}{\sqrt{\xi}} \right) \rightarrow \pi$)。 $\varphi = -\mathcal{E}z$, 最后得到

$$\varphi = -\frac{\mathcal{E}z}{\pi} \left[\text{arctg} \frac{a}{\sqrt{\xi}} - \frac{a}{\sqrt{\xi}} \right] = -\frac{\mathcal{E}}{\pi} \sqrt{|\eta|} \left[\frac{\sqrt{\xi}}{a} \text{arctg} \frac{a}{\sqrt{\xi}} - 1 \right].$$

在导体面上, $\eta = 0$, 电势变为零, 这正是預料的結果。

在离开小孔很大距离 $r = \sqrt{z^2 + \rho^2}$ 处, 我們有 $\xi \cong r^2$, 于是場势的形式 (在上半空間內) 为

$$\varphi \cong \frac{\mathcal{E}a^2 \sqrt{-\eta}}{3\pi \xi} = \frac{\mathcal{E}a^3 z}{3\pi r^3},$$

也即是場是电偶极子型的, 相应的偶极矩为 $\mathcal{D} = \mathcal{E}a^3/3\pi$ 。

場强随 $\frac{1}{r^3}$ 而减小, 因而通过离开无限远表面的电通量 (在半空間 $z > 0$ 內) 变为零, 这表明, 穿过小圓孔的力綫在导体平面的上側閉合起来。

导电平面上的电荷分布算出如下:

$$\sigma = \mp \frac{1}{4\pi} \frac{\partial \varphi}{\partial z} \Big|_{z=0} = \mp \frac{a}{4\pi \sqrt{\xi}} \frac{\partial \varphi}{\partial \sqrt{-\eta}} = \pm \frac{\mathcal{E}}{4\pi^2} \left[\text{arctg} \frac{a}{\sqrt{\xi}} - \frac{a}{\sqrt{\xi}} \right],$$

式中 \mp 号分別指平面的上側和下側。按照联系 ξ 与 ρ, z 的公式:

$$\frac{\rho^2}{a^2 + \xi} + \frac{z^2}{\xi} = 1,$$

在 $z = 0$ 的平面上, 我們有 $\sqrt{\xi} = \pm \sqrt{\rho^2 - a^2}$ 。于是, 在导电平面下側的电荷分布由下式給出:

$$\sigma = -\frac{\mathcal{E}}{4\pi^2} \left(\pi - \text{arc sin} \frac{a}{\rho} + \frac{a}{\sqrt{\rho^2 - a^2}} \right).$$

当 $\rho \rightarrow \infty$ 时, 我們有 $\sigma = -\mathcal{E}/4\pi$, 这正是应当的。在上側

$$\sigma = -\frac{\mathcal{E}}{4\pi^2} \left(\frac{a}{\sqrt{\rho^2 - a^2}} - \arcsin \frac{a}{\rho} \right).$$

8. 所求与上题相同, 但导电平面上的小孔是宽度为 $2b$ 的直缝。

解. 我们把沿 x 轴方向具有狭缝的 xy 平面看作双曲面柱体的极限情况:

$$\frac{y^2}{b^2 - |\eta|} - \frac{z^2}{|\eta|} = 1,$$

这时 $|\eta| \rightarrow 0$ 。这些双曲面柱体代表 $a \rightarrow \infty, c \rightarrow 0$ 时的椭球坐标平面族中的一族平面。笛卡儿坐标为 $z = \sqrt{\xi |\eta| / b}$ 。

和例题 7 一样, 我们求得解的形式为 $\varphi = -\mathcal{E}zF(\xi)$, 并得到函数 F 为

$$F = \text{常数} \int \frac{d\xi}{\xi^{3/2} \sqrt{\xi + b^2}}.$$

这里的系数和积分常数分别由 $z \rightarrow +\infty$ 和 $z \rightarrow -\infty$ (也即是 $\sqrt{\xi} \rightarrow +\infty$ 和 $\sqrt{\xi} \rightarrow -\infty$) 时 $F=0$ 和 $F=1$ 的条件求出, 最后得到

$$\varphi = \frac{\mathcal{E}}{2b} \left[\sqrt{(\xi + b^2)} \mp \sqrt{\xi} \right] \sqrt{|\eta|},$$

在上式中, 我们把根 $\sqrt{\xi}$ 理解为正值, 而“ $-$ ”和“ $+$ ”相应于区域 $z > 0$ 和 $z < 0$ 。

在上半空间内, 离开狭缝很远处, 我们有 $\xi \cong y^2 + z^2 = r^2$, 而场势为

$$\varphi \cong \frac{b\mathcal{E}}{4} \sqrt{\frac{|\eta|}{\xi}} = \frac{\mathcal{E}b^2 z}{4r^2},$$

这即是狭缝单位长度上的偶极矩为 $\mathcal{E}b^2/8$ 的二维偶极子型的场 (参阅 § 3 内例题中的公式)。

导电平面上的电荷分布由下式得出:

$$\sigma = -\frac{\mathcal{E}}{8\pi} \left(\frac{y}{\sqrt{y^2 - b^2}} \pm 1 \right).$$

§ 5. 导体上的力

在电场内, 导体表面从一侧受到电场的一定作用力, 这些力容易算出如下。

真空中电场内的动量流密度, 由熟知的麦克斯韦应力张量给

出①:

$$-\sigma_{ik} = \frac{1}{4\pi} \left(\frac{E^2}{2} \delta_{ik} - E_i E_k \right).$$

作用在导体表面元 df 上的力恰好就是从外面“流入”导体内的动量流,即等于 $\sigma_{ik} df_k = \sigma_{ik} n_k df$ (由于法向矢量 \mathbf{n} 指向导体外面,而不是指向导体内部,所以正负号改变)。因此,量 $\sigma_{ik} n_k$ 为导体表面单位面积上所受的力 $\mathbf{F}_{\text{表面}}$ 。考虑到在金属面上场强 \mathbf{E} 只有法向分量,我們得到

$$\mathbf{F}_{\text{表面}} = \mathbf{n} \frac{E^2}{8\pi}, \quad (5.1)$$

或者引进面电荷密度 σ ,

$$\mathbf{F}_{\text{表面}} = 2\pi\sigma^2 \mathbf{n} = \frac{\sigma \mathbf{E}}{2}.$$

于是,我們得到結論: 导体表面所受的力为“負压力”,它指向导体表面的外法綫方向,其数值等于电场的能量密度。

作用在导体上的总力 \mathbf{F} , 可由将(5.1)式的力对导体的全部表面进行积分而求出:

$$\mathbf{F} = \oint \frac{E^2}{8\pi} d\mathbf{f}, \quad (5.2)$$

但是,通常更方便的是按照力学的普遍原則,对能量 \mathcal{U} 求微分来算出这个量。因此,在坐标轴 q 方向作用在导体上的力为 $-\frac{\partial \mathcal{U}}{\partial q}$,

这里的导数表示导体整个地沿 q 轴方向平行移动时的能量变化。这时能量必須用导体的电荷(場源)来表示,并保持电荷不变进行微分。我們用下角标 e 来表明这种情况,于是可写为

① 参阅“場論”第二版 § 32, 在那里 $-\sigma_{ik}$ 表示为 $T_{\alpha\beta}$ 。在現在的情况下,我們將这公式应用到不完全与导体表面重合、而是略有偏离的表面上,以便消去导体表面附近場結構的影响(与 2 頁比較)。

$$F_q = - \left(\frac{\partial \mathcal{U}}{\partial q} \right)_e. \quad (5.3)$$

类似地，作用在导体上的总力矩在任一坐标轴上的投影等于

$$K = - \left(\frac{\partial \mathcal{U}}{\partial \psi} \right)_e, \quad (5.4)$$

式中 ψ 为导体整个地绕该轴的转动角。

如果将能量表示为场势的函数，而不是表示为导体电荷的函数，则要利用这种函数来算出总力的问题，需要作特别的研究。问题在于，要使运动导体上的电势维持不变，必须求助于局外的物体。例如，把这导体接到另一个电容更大的导体上（电荷储蓄器），可以保持该导体的电势不变。当导体充上电荷 e_a 时，导体即从“储蓄器”内取出这些电荷，而这时电荷储蓄器由于电容较大，它的电势 φ_a 并不会改变。但是，电荷储蓄器的能量减小了 $e_a \varphi_a$ 。当导体系统都充上电荷 e_a 时，与导体系统连接的“储蓄器”的能量总共改变 $-\sum_a e_a \varphi_a$ 。量 \mathcal{U} 内只包含所研究导体的能量，而不包含“储蓄器”的能量。在这种意义上可以说， \mathcal{U} 是指能量上非闭合的系统而言。由此可见，对场势保持不变的导体系统而言，起机械能作用的不是 \mathcal{U} ，而是量

$$\bar{\mathcal{U}} = \mathcal{U} - \sum_a e_a \varphi_a. \quad (5.5)$$

把(2.2)式代入，我们得到， \mathcal{U} 与 $\bar{\mathcal{U}}$ 只相差一个正负号：

$$\bar{\mathcal{U}} = -\mathcal{U}. \quad (5.6)$$

保持场势不变，将 $\bar{\mathcal{U}}$ 对 q 求微分，就得到力 F_q ，也即是

$$F_q = - \left(\frac{\partial \bar{\mathcal{U}}}{\partial q} \right)_\varphi = \left(\frac{\partial \mathcal{U}}{\partial q} \right)_\varphi. \quad (5.7)$$

由此可见，我们保持电荷不变，或保持电势不变对 \mathcal{U} 取微分，都可以得到导体上所受的力，唯一的差别是，在第一种情况下，导数必

須取負号,而在第二种情况下应取正号。

从微分恒等式

$$d\mathcal{U} = \sum_a \varphi_a de_a - F_q dq \quad (5.8)$$

出发,利用更为形式的方法,也可得到相同的結果,上式中的 \mathcal{U} 必須看作是导体的电荷和坐标 q 的函数。这恒等式表明,导数

$\frac{\partial \mathcal{U}}{\partial e_a} = \varphi_a$ 和 $\frac{\partial \mathcal{U}}{\partial q} = -F_q$ 。我們把 e_a 变换到变数 φ_a 后,由此得到

$$d\tilde{\mathcal{U}} = - \sum_a e_a d\varphi_a - F_q dq, \quad (5.9)$$

由此也可得到(5.7)式。

在§2末,我們曾研究了导体在均匀外电场内的能量。不言而喻,在均匀的外电场内,作用于导体上的总力等于零。但是,我們也可以利用(2.14)式的能量表达式,来求出准均匀场 \mathcal{E} 内,也即是在整个导体范围内变化很小的场内导体上所受的力。在这种场内,在第一近似下,还可以从(2.14)式算出导体的能量,而力 F 則定义为这能量的陡度:

$$F = -\text{grad}\mathcal{U} = \frac{1}{2} \alpha_{ik} V \text{grad}\mathcal{E}_i \mathcal{E}_k. \quad (5.10)$$

总力矩 K ,一般說来,甚至在均匀的外电场内也不为零。根据力学的普遍法則,由研究导体的无穷小虚转动,我們可以求出 K 。在这种转动时的能量变化与 K 的关系为 $\delta\mathcal{U} = -K\delta\psi$,式中 $\delta\psi$ 为转动角。在均匀场内,导体转动 $\delta\psi$ 角相当于电场相对于导体转动 $-\delta\psi$ 角。这时场的变化为 $\delta\mathcal{E} = -[\delta\psi \cdot \mathcal{E}]$,而能量变化为

$$\delta\mathcal{U} = \frac{\partial \mathcal{U}}{\partial \mathcal{E}} \delta\mathcal{E} = -\delta\psi \left[\mathcal{E} \frac{\partial \mathcal{U}}{\partial \mathcal{E}} \right].$$

但 $\partial \mathcal{U} / \partial \mathcal{E} = -\mathcal{P}$,这从比較(2.13)式和(2.14)式可以看出。因此 $\delta\mathcal{U} = -[\mathcal{P}\mathcal{E}] \delta\psi$,由此得

$$\mathbf{K} = |\mathcal{E}\mathbf{C}|, \quad (5.11)$$

这个式子和从真空内的场论所得到的普通式子符合一致。

如果作用在导体上的总力和总力矩等于零，则导体在电场内保持静止，于是与导体形变有关的效应(称为电致伸缩)提到首要的地位。作用在导体面上的力(5.1)，引起导体的形状和体积改变。这时由于力具有拉伸的性质，因而导体的体积增大。但要完全求出形变，必须解弹性理论的方程，这时导体表面的力分布如(5.1)式所示。但是，如果只对体积变化感兴趣，则问题的解法就要简单得多。

为此必须考虑到，如果形变很小(实际上电致伸缩就是这种情况)，则形状变化对体积变化所生的影响是二级小效应。因此，在第一近似下，可以把体积的变化看作形状不发生变化的形变，也即是可以把它看成由某种有效剩余压强 Δp 所引起的各向伸长，这种压强均匀分布于物体的表面，而不是像(5.1)式那样的精确分布。将 Δp 乘上物体的各向伸长系数(均匀膨胀系数)，就得到体积的相对变化。按照熟知的公式，压强 Δp 定义为导体的电能 \mathcal{U} 对其体积的导数 $\Delta p = -\frac{\partial \mathcal{U}}{\partial V}$ ①。

假设形变电场是由带电导体本身所产生的。于是，能量为 $\mathcal{U} = e^2/2C$ ，而压强为

$$\Delta p = -\frac{e^2}{2} \frac{\partial}{\partial V} \left(\frac{1}{C} \right).$$

当导体形状不变时，导体的电容(长度量纲的量)与其线度成正比，即与 $V^{\frac{1}{3}}$ 成正比。因此，我们得到

$$\Delta p = \frac{e^2}{6CV} = \frac{e\varphi}{6V}. \quad (5.12)$$

① 这样求出的量为导体本身作用于表面上的压强，由改变正负号，可以得到从外面作用在表面的压强。

如果未带电导体是在均匀的外电场 \mathcal{E} 内, 则导体的能量由 (2.14) 式给出。因此, 在这种情况下, 拉伸压强为

$$\Delta p = \frac{1}{2} \alpha_{ik} \mathcal{E}_i \mathcal{E}_k. \quad (5.13)$$

例 题

1. 设电容为 c (导体线度的数量级) 的小导体距离半径为 a ($a \gg c$) 的球形导体中心为 r 。假定从导体 c 至球面的距离 $r-a$ 只大于 c , 但不大于 a 。两导体用细导线连接后, 于是它们的电势 φ 相同。试求两个导体的相互斥力。

解. 由于导体 c 很小, 可以假设, 导体的电势为在大球在 r 处所产生的电势 $\frac{\varphi a}{r}$ 和导体本身的电荷 e 所产生的电势 $\frac{e}{c}$ 之和。由此, 我们得到 $\varphi = \frac{\varphi a}{r} + \frac{e}{c}$ 或 $e = c\varphi \left(1 - \frac{a}{r}\right)$ 。所求的相互作用力 F 定义为导体 c 的电荷 e 与球的电荷 $a\varphi$ 之间的库伦斥力:

$$F = \frac{ac\varphi^2}{r^2} \left(1 - \frac{a}{r}\right)$$

(这式子的正确程度达到 c 的更高幂次的项)。由此可见, 小导体受到球的斥力, 随趋近球面而减小。

2. 设带电球形导体被切为两半。试求两半球的相互斥力^①。

解. 设两半球被无限狭的小缝分开, 将力 $\left(\frac{E^2}{8\pi}\right) \cos\theta$ [(5.1) 式的力 F 在垂直于半球分界面的方向上的投影] 对它们的表面进行积分, 我们就可求出每一半球上所受的力 F 。在狭缝内, $E=0$, 而在球的外表面上, $E = \frac{e}{a^2}$, 这里 a 为球的半径, 而 e 为球上的总电荷。结果得到

$$F = \frac{e^2}{8a^2}.$$

3. 所求与上题相同, 但未带电球在垂直于分界面的均匀外电场 \mathcal{E} 内。

解. 与例题 2 相似, 所不同的只是在球表面上, $E = 3\mathcal{E} \cos\theta$ (按照 § 3 例

① 在例题 2 和 3 内, 假设两半球的电势相同。

题 1)。于是所求的斥力为

$$F = \frac{9}{16} a^2 \mathcal{E}^2.$$

4. 試求均匀外电场内的导电球的体积变化和形状变化。

解. 体积的变化为 $\frac{\Delta V}{V} = \frac{\Delta p}{K}$, 式中 K 为物质的各向伸长模量, 而 Δp 由

(5.13) 式求出, 对球来说, $\alpha_{ik} = \delta_{ik} \alpha = \frac{3}{4\pi} \delta_{ik} (\alpha$ 从 § 3 例题 1 得出), 于是

$$\frac{\Delta V}{V} = \frac{3\mathcal{E}^2}{8\pi K}.$$

由于形变结果, 球变成长椭球。为了求出这长椭球的偏心率, 可以把形变看作在导体体积内的均匀切变, 如同在求总体积的变化时, 我们会把它看成均匀的各向伸长形变一样。

形变物体的平衡条件, 可以表述成静电能和弹性能之和为极小值的条件。按照 (2.12) 和 (4.26) 式, 其中第一种能量等于

$$\mathcal{U}_{\text{静电}} = -\frac{V}{8\pi n} \mathcal{E}^2 \cong -\frac{3V\mathcal{E}^2}{8\pi} - \frac{3V}{10\pi} \frac{a-b}{R} \mathcal{E}^2,$$

式中 R 为球原来的半径, a 和 b 是椭球的半轴, 而

$$n \cong \frac{1}{3} - \frac{4}{15} \frac{a-b}{R}$$

为退极化系数 [参阅 (4.33) 式]。

由于形变是轴对称的 (对场方向——即 x 轴), 因而不为零的只是形变张量的分量: u_{xx} 和 $u_{yy} = u_{zz}$ 。因为我们所研究的平衡是相对于形状变化而言, 这时我们可以假定体积是不变的, 即 $u_{ij} = 0$ 。因此, 弹性能①可以写成

$$\mathcal{U}_{\text{弹性}} = V \frac{u_{ik} \sigma_{ik}}{2} = \frac{1}{3} (\sigma_{xx} - \sigma_{yy}) (u_{xx} - u_{yy}) V$$

(σ_{ik} 是弹性应力张量)。于是我们有

$$(\sigma_{xx} - \sigma_{yy}) = 2\mu (u_{xx} - u_{yy}),$$

式中 μ 为物质的切变模量, 而 $u_{xx} - u_{yy} = (a-b)/R$ 。因此,

$$\mathcal{U}_{\text{弹性}} = \frac{2\mu}{3} \frac{(a-b)^2}{R^2} V.$$

对 $(a-b)$ 求出 $\mathcal{U}_{\text{弹性}} + \mathcal{U}_{\text{静电}}$ 之和的极小值, 我们得到

① 参阅“连续介质力学”第二版, 第二部分, § 4.

$$\frac{a-b}{R} = \frac{9}{40\pi\mu} \zeta^2.$$

5. 試求沿带电的液态导体平面上傳播的波的頻率和波长之間的关系(在重力場內), 并求出該面的穩定条件(Я. И. 弗兰克耳, 1935)。

解. 設波沿 x 軸方向傳播, z 軸的方向豎直向上。液体表面各点的豎直移动为 $\zeta = ae^{i(kx-\omega t)}$ 。当表面靜止时, 表面上的場强为 $E_z = E = 4\pi\sigma_0$, 而場势为 $\varphi = -4\pi\sigma_0 z$, 式中 σ_0 为面电荷密度。振动面上的場势我們写为

$$\varphi = -4\pi\sigma_0 z + \varphi_1,$$

$$\varphi_1 = \text{常数} \cdot e^{i(kx-\omega t)} e^{-kz},$$

式中 φ_1 为滿足方程 $\Delta\varphi_1 = 0$ 的小修正值, 当 $z \rightarrow \infty$, 它变为零。在导体表面上, 电势必須为恒值, 我們令它为零, 于是由此得到

$$\varphi_1|_{z=0} = 4\pi\sigma_0 \zeta.$$

按照(5.1)式, 作用在带电液体表面的附加負压强, 精确到 φ_1 的一次項, 等于

$$\frac{E^2}{8\pi} \approx \frac{E_0^2}{8\pi} \approx 2\pi\sigma_0^2 + k\sigma_0\varphi_1 \Big|_{z=0} = 2\pi\sigma_0^2 + 4\pi\sigma_0^2 k\zeta.$$

常数項 $2\pi\sigma_0^2$ 是不重要的(可以把它包含在恒定外压强內)。

研究波內的流体力学运动完全与毛細波理論相类似^①, 所不同的只是存在上面所指出的附加压强。在液体表面上, 我們得到边界条件为

$$\rho g\zeta + \rho \frac{\partial\Phi}{\partial t} \Big|_{z=0} - \alpha \frac{\partial^2 \zeta}{\partial x^2} - 4\pi\sigma_0^2 k\zeta = 0,$$

式中 α 为表面張力系数, ρ 为液体的密度, 而 Φ 为它的速度势。 Φ 和 ζ 之間还存在下列的关系式:

$$\frac{\partial\zeta}{\partial t} = \frac{\partial\Phi}{\partial z} \Big|_{z=0}.$$

將 $\zeta = ae^{i(kx-\omega t)}$ 和 $\Phi = Ae^{i(kx-\omega t)} e^{kz}$ 代入上面两个关系式內, 并消去 a 和 A 后, 我們得到所求的 k 与 ω 之間的关系式为

$$\omega^2 = \frac{k}{\rho} (g\rho - 4\pi\sigma_0^2 k + \alpha k^2). \quad (1)$$

为了使液面是穩定的, 頻率 ω 对 k 的任何值必須为实值(否則 ω 将为含有正的虛数部分的复数, 而且因子 $e^{-i\omega t}$ 将无限地增加)。(1)式右側为正值条件为 $(4\pi\sigma_0^2)^2 - 4g\rho\alpha < 0$, 由此得

① 參閱“連續介质力学”第二版, 第一部分 § 61。

$$\sigma_0^2 < \frac{g\rho\alpha}{4\pi^2}.$$

这也就是稳定条件。

6. 試求带电球形滴的稳定条件(瑞利, 1882)。

解. 球滴的靜电能和表面能之和为

$$u = \frac{e^2}{2C} + \alpha S,$$

式中 α 是液体的表面張力系数, C 为球滴的电容, S 是它的表面面积。当球伸长变为椭球时发生不穩定 (e 增加), 并且这种不穩定发生于 u 变成偏心率^的递减函数的时刻(保持球滴体积不变)。球的形状永远相应于极值 u , 因此, 稳定条件为

$$\left. \frac{\partial^2 u}{\partial (a-b)^2} \right|_{a=b} > 0,$$

式中 a 和 b 为椭球的半軸, 而进行微分时 $ab^2 = \text{常数}$ 。利用熟知的椭球表面公式和它的电容公式(4.18), 在經過較為冗长的計算后, 我們得到

$$e^2 < 16\pi a^3 \alpha.$$

第二章 电介质的静电学

§ 6. 电介质内的静电场

我們現在轉到研究另一类物质——电介质——内的恒定电场。

电介质的主要性质是它的内部不可能流过恒定电流。因此,和导体不同,电介质内的恒定电场强度不应等于零,因而我們必須求出描写这种场的方程。由对(1.3)式求平均值,得到其中一个方程,和前面一样,这方程为

$$\operatorname{rot} \mathbf{E} = 0. \quad (6.1)$$

对方程 $\operatorname{div} \mathbf{e} = 4\pi\rho$ 求平均值,得到第二个方程:

$$\operatorname{div} \mathbf{E} = 4\pi\bar{\rho}. \quad (6.2)$$

現在我們假定,沒有任何外电荷被带到电介质的内部;这是一种最普通也是最重要的情况。于是,电介质全部体积内的总电荷,在将电介质带入电场以后,也仍然等于零:

$$\int \bar{\rho} dV = 0,$$

这个积分式对任何形状的电介质都必须满足,它表明平均电荷密度可以写成某一矢量(一般用 $-\mathbf{P}$ 表示)的散度形式:

$$\bar{\rho} = -\operatorname{div} \mathbf{P}, \quad (6.3)$$

在电介质外, $\mathbf{P} = 0$ 。实际上,如果假想,电介质被一个表面所包围,并且这表面处处在电介质以外通过,对这表面所围成的体积进行积分,我們得到

$$\int \bar{\rho} dV = - \int \operatorname{div} \mathbf{P} dV = - \oint \mathbf{P} d\mathbf{f} = 0.$$

量 \mathbf{P} 称为物体的电介质极化矢量(或简单地称为极化矢量); \mathbf{P} 不等于零的电介质称为极化电介质。矢量 \mathbf{P} 不但决定体积密度 (6.3), 而且也决定分布于极化电介质表面的面电荷密度 σ 。如果对两个无限靠近的单位面积(两侧和电介质面相接)所围成的体积元积分(6.3)式, 并考虑到在外面的面积上 $\mathbf{P}=0$, 于是我们得到 [和(1.9)式的推导比较]

$$\sigma = P_n, \quad (6.4)$$

式中 P_n 是矢量 \mathbf{P} 在表面外法线方向上的分量。

为了阐明量 \mathbf{P} 的物理意义, 我们来研究电介质内全部电荷的总偶极矩。与总电荷不同, 总偶极矩不应等于零。按照偶极矩的定义, 这即是积分:

$$\int \mathbf{r} \bar{\rho} dV.$$

把(6.3)式的 $\bar{\rho}$ 代入上式, 再对包围整个物体的体积进行积分, 我们得到

$$\int \mathbf{r} \bar{\rho} dV = \int \mathbf{r} \operatorname{div} \mathbf{P} dV = - \oint \mathbf{r} (d\mathbf{f} \mathbf{P}) + \int (\mathbf{P} \nabla) \mathbf{r} dV.$$

对表面的积分为零, 而在第二个积分内, 我们有 $(\mathbf{P} \nabla) \mathbf{r} = \mathbf{P}$, 于是

$$\int \mathbf{r} \bar{\rho} dV = \int \mathbf{P} dV. \quad (6.5)$$

由此可见, 极化矢量代表电介质单位体积的偶极矩(或如通常所说, 电矩)^①。

把(6.3)代入(6.2)式, 我们得到静电场的第二个方程为

$$\operatorname{div} \mathbf{D} = 0, \quad (6.6)$$

这里引入了一个新的量 \mathbf{D} , 定义为

① 应该注意到, 电介质内的关系式(6.3)和电介质外的条件 $\mathbf{P}=0$ 本身, 不足以唯一地确定 \mathbf{P} ; 在电介质内部区域内, 可以在 \mathbf{P} 上加上一个形式如 $\operatorname{rot} \mathbf{f}$ 的矢量。只有和偶极矩联系起来, 最后才能确定 \mathbf{P} 。

$$\mathbf{D} = \mathbf{E} + 4\pi\mathbf{P}, \quad (6.7)$$

称为电感应强度①。对电介质内的电荷密度求平均值，就可得到(6.6)式。如果在电介质内从外面引入外电荷(我们将称它为旁电荷)，那末，在(6.6)式的右侧还应该添上旁电荷密度：

$$\operatorname{div}\mathbf{D} = 4\pi\rho_{\text{外}}. \quad (6.8)$$

在两种不同的电介质的分界面上，必须满足一定的边界条件。其中一个条件是从方程 $\operatorname{rot}\mathbf{E} = 0$ 得出的结果。如果分界面的物理性质②是均匀的，那末，这个条件要求电场强度的切向分量必须是连续的：

$$E_{1t} = E_{2t} \quad (6.9)$$

[和条件(1.7)的推导比较]。再从方程 $\operatorname{div}\mathbf{D} = 0$ ，可以得到第二个条件，它要求垂直于分界面的感应强度分量必须是连续的：

$$D_{1n} = D_{2n}. \quad (6.10)$$

实际上，法向分量 $D_n = D_z$ 的突变，表明导数 $\frac{\partial D_z}{\partial z}$ 以及 $\operatorname{div}\mathbf{D}$ 变成无穷大。

在电介质和导体的分界面上， $\mathbf{E}_t = 0$ ，又从(6.8)式，得到法向分量的条件为

$$\mathbf{E}_t = 0, \quad D_n = 4\pi\sigma, \quad (6.11)$$

式中 σ 是导体表面上的电荷密度。

§ 7. 介电常数

要使(6.1)和(6.6)式成为确定静电场的完全方程组，我们还

① \mathbf{D} 有时也用麦克斯韦所采用的“电位移”名称，但这个名词应该认为是过时了。

② 也即指接触电介质的成分、温度等而言，如果电介质是晶体，那末表面的晶向应该保持不变。

必須加上一个联系感应强度 \mathbf{D} 和电场强度 \mathbf{E} 的关系式。在絕大多數的情况下，可以假定这种关系是綫性的。这种綫性关系相应于 \mathbf{D} 展开为 \mathbf{E} 的幂級数的头几項，并且是由于外电场小于内部的分子場。

\mathbf{D} 对 \mathbf{E} 的綫性相依关系，在电介质为各向同性的最重要情况下，取特別简单的形式。显然，在各向同性的电介质內，矢量 \mathbf{D} 和 \mathbf{E} 的方向應該相同。因此，它們之間的綫性关系归結为简单的比例关系^①：

$$\mathbf{D} = \varepsilon \mathbf{E}, \quad (7.1)$$

系数 ε 称为物质的介电常数，它是物质的热力学状态的函数。

和电感应强度一样，极化强度也和电场成正比：

$$\mathbf{P} = \kappa \mathbf{E} \equiv \frac{\varepsilon - 1}{4\pi} \mathbf{E}. \quad (7.2)$$

量 κ 称为物质的极化系数(或物质的电介质极化率)。下面 (§ 14) 将证明，介电常数总是大于 1；因而极化率也永远是正的。稀疏媒质(气体)的极化率可以假定与它的密度成正比。

在两种各向同性的电介质的分界面上，边界条件 (6.9) 和 (6.10) 取如下的形式：

$$E_{t1} = E_{t2}, \quad \varepsilon_1 E_{n1} = \varepsilon_2 E_{n2}. \quad (7.3)$$

由此可見，电場强度的法向分量发生突变，它与两种媒质的介电常数成反比地变化。

在均匀的电介质內， $\varepsilon =$ 常数，于是从方程 $\text{div} \mathbf{D} = 0$ 得出：

① 但是，應該說明，这种关系假定了 \mathbf{D} 与 \mathbf{E} 同时变为零，严格說来，只在物理性质(成分、温度等)为均匀的电介质內才是正确的。在非均匀物体內，即使 $\mathbf{E} = 0$ ， \mathbf{D} 的值也可以不为零，并且由沿物体变化的热力学量的陡度来决定。但是，这些項很小，实际上在任何現象中都不起作用。因此，甚至在不均匀物体內，我們以后也将用 (7.1) 式。

$\text{div}\mathbf{P}=0$ 。由(6.3)的定义,这表明,在这种物体內不存在体电荷密度[面电荷密度(6.4),一般說来并不为零]。相反地,如果电介质不是均匀的,那末我們就得到不为零的体电荷密度:

$$\begin{aligned}\bar{\rho} &= -\text{div}\mathbf{P} = -\text{div}\frac{\varepsilon-1}{4\pi\varepsilon}\mathbf{D} = -\frac{\mathbf{D}}{4\pi}\text{grad}\frac{\varepsilon-1}{\varepsilon} \\ &= -\frac{\mathbf{E}}{4\pi\varepsilon}\nabla\varepsilon.\end{aligned}$$

如果按照 $E = -\text{grad}\varphi$ 引入电場势,則(6.1)式自动地得到滿足,而由方程 $\text{div}\mathbf{D} = \text{div}\varepsilon\mathbf{E} = 0$ 得出

$$\text{div}(\varepsilon\nabla\varphi) = 0. \quad (7.4)$$

这个方程只在均匀的介电媒质內才变成通常的拉普拉斯方程。边界条件(7.3)可以改写成如下的場势条件:

$$\begin{aligned}\varphi_1 &= \varphi_2, \\ \varepsilon_1\frac{\partial\varphi_1}{\partial n} &= \varepsilon_2\frac{\partial\varphi_2}{\partial n},\end{aligned} \quad (7.5)$$

(場势的切向导数为連續的条件与 φ 本身的連續性条件完全等效)。

在块状均匀的电介质內,对每一均匀部分,(7.4)式都变成拉普拉斯方程 $\Delta\varphi=0$,于是介电常数只是通过条件(7.5)出现在問題的解內。但是这些条件只包含互相接触的两种媒质的介电常数之比。特别是,对被介电常数为 ε_1 的媒质所包围的介电常数为 ε_2 的介电物体,求这种静电学問題的解因而就归结为求真空內介电常数为 $\varepsilon_2/\varepsilon_1$ 的介电物体的静电学問題的解。

现在来研究一个問題:如果导体不是在真空內,而是在各向同性的均匀介电媒质內,則前一节所得到的关于导体静电場的結果应如何改变。在两种情况下,电势的分布都可用方程 $\Delta\varphi=0$ 来描写,其边界条件是在导体表面 φ 保持不变,所不同的只是代替与面

电荷密度的关系: $E_n = -\frac{\partial\varphi}{\partial n} = 4\pi\sigma$, 现在是

$$D_n = -\varepsilon \frac{\partial \varphi}{\partial n} = 4\pi\sigma. \quad (7.6)$$

由此可見，求真空內带电导体的电場問題的解，可由对电势和电荷作形式代換： $\varphi \rightarrow s\varphi$, $e \rightarrow e$, 或者 $\varphi \rightarrow \varphi$, $e \rightarrow e/s$, 变成求介电媒质內的相同問題的解。当导体的电荷給定时，場势和电場强度与它們在真空內的数值比較，减小 s 倍；場的这种减小，可以直观地解釋为导体上的电荷被邻接的极化电介质上的面电荷所部分“屏蔽”的結果。如果导体的电势保持不变，則电場也保持不变，但导体的电荷增加了 s 倍。

最后應該指出，在靜电学中，可以形式地把导体(未带电的)看作为介电常数无限大的物体，这即是說，导体对外电場的影响，和 $s \rightarrow \infty$ 的电介质(相同形状)所产生的影响相同。实际上，由于感应强度 D 的边界条件是有限的，因此，在物体內部，甚至 $s \rightarrow \infty$ 时，它也必須保持为有限的；但这表明了在这种場內， $E=0$ ，这和导体的性质符合一致。

例 題

1. 設有点电荷 e 距离两种不同的介电媒质的分界面为 h ，試求这点电荷所产生的电場。

解. 設在媒质 1 內电荷 e 所在的点为 O 点，而它在分界面另一側的鏡像(在媒质 2 內)为 O' 点(图 10)。現在求出媒质 1 內的电場是两个点电荷——电荷 e 和 O' 点上的虛电荷 e' ——所产生的电場(參照 § 3 的鏡像法)：

$$\varphi_1 = \frac{e}{\varepsilon_1 r} + \frac{e'}{\varepsilon_1 r'},$$

式中 r , r' 分别是观测点至 O 点和 O' 点的距离。現在求媒质 2 內的場是 O 点的虛电荷 e'' 所产生的場：

$$\varphi_2 = \frac{e''}{\varepsilon_2 r}.$$

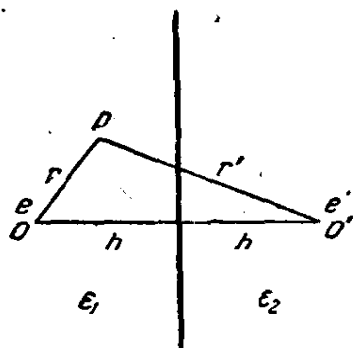


图 10

在分界面上($r=r'$), 必须满足条件(7.5), 从(7.5)式, 我們得到方程:

$$e - e' = e'', \quad \frac{e + e'}{\epsilon_1} = \frac{e''}{\epsilon_2};$$

由此得

$$e' = e \frac{\epsilon_1 - \epsilon_2}{\epsilon_1 + \epsilon_2}, \quad e'' = e \frac{2\epsilon_2}{\epsilon_1 + \epsilon_2}. \quad (1)$$

当 $\epsilon_2 \rightarrow \infty$, 有 $e' = -e$, $\varphi_2 = 0$; 也就是我們又回到 §3 中所得到的对导电平面附近的点电荷所产生的场的結果。

作用在电荷 e 上的力(“鏡像力”)等于

$$F = \frac{ee'}{(2h)^2 \epsilon_1} = \left(\frac{e}{2h}\right)^2 \frac{\epsilon_1 - \epsilon_2}{\epsilon_1(\epsilon_1 + \epsilon_2)};$$

$F > 0$ 相应于斥力。

2. 与上題同, 設有带电的无限长直导綫, 与分界面平行, 并距分界面为 h , 試求这导綫所产生的場。

解. 和前一問題的解法完全相似, 所不同的只是在两种媒质內的場势为

$$\varphi_1 = -\frac{2e}{\epsilon_1} \ln r - \frac{2e'}{\epsilon_2} \ln r', \quad \varphi_2 = -\frac{2e''}{\epsilon_2} \ln r,$$

式中 e, e', e'' 分别是导綫单位长度和它的“鏡像”上的电荷, 而 r, r' 是在与导綫垂直的平面內的距离。对于 e, e' 和 e'' , 我們得到和(1)式相同的式子, 而作用在导綫单位长度上的力为

$$F = \frac{2ee'}{2h\epsilon_1} = \frac{e^2(\epsilon_1 - \epsilon_2)}{h\epsilon_1(\epsilon_1 + \epsilon_2)}.$$

3. 設有带电的无限长直导綫与半徑为 a 的圓柱体($\epsilon = \epsilon_2$) 平行并距离其軸为 b ($b > a$) (导綫在介电常数为 ϵ_1 的媒质內), 試求这导綫所产生的場①。

解. 我們把媒质 1 內的場当作这样三条导綫在均匀电介质 ϵ_1 內所产生的場, 其中一条为实的带电导綫在每单位长度上帶着电荷 e (通过图 11 中的 O 点), 其它两条都为虛的带电导綫, 分别在每单位长度上帶着电荷 e' 和 $-e'$, (分别通过 A 点和 O' 点)。 A 点至圓心的距离为

$$AO' = \frac{a^2}{b};$$

于是, 圓周上的各点分别至 O 点和 A 点的距离 r 和 r' , 保持恒定的比值。

① 介电球附近的点电荷的类似問題, 不能在有限形式下解出。

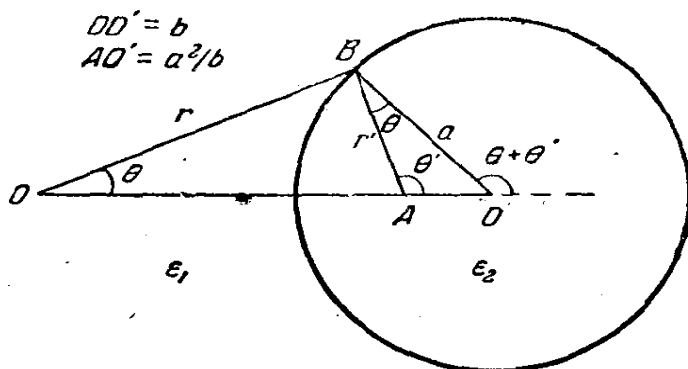


图 11

$\frac{r'}{r} = \frac{a}{b}$, 因而在这圆周上, 边界条件能够满足。同样, 求出媒质 ϵ_2 内的场是通过 O 点的导线上的虚电荷 e'' 在均匀媒质 ϵ_2 内所产生的场。

分界面上的边界条件, 用电势 $\varphi (\mathbf{E} = -\text{grad}\varphi)$ 和由 $\mathbf{D} = \text{rot}\mathbf{A}$ (符合方程 $\text{div}\mathbf{D} = 0$) 所定义的矢势 \mathbf{A} (参阅 § 3) 可以方便地表示出来; 在平面问题中, 矢量 \mathbf{A} 的方向指向 z 轴 (即垂直于图平面)。于是 \mathbf{E} 的切向分量和 \mathbf{D} 的法向分量为连续的条件, 与下列的条件等效:

$$\varphi_1 = \varphi_2, \quad A_1 = A_2.$$

带电导线所产生的场, 用极坐标 r, θ 时, 为 $\varphi = -\frac{2e}{\epsilon} \ln r + \text{常数}$, $A = 2e\theta + \text{常数}$ (与(3.18)式比较)。因此, 边界条件为

$$\frac{2}{\epsilon_1} (-e \ln r - e' \ln r' + e' \ln a) = -\frac{2e''}{\epsilon_2} \ln r + \text{常数},$$

$$2[e\theta + e'\theta' - e'(\theta + \theta')] = 2e''\theta$$

(各角的符号如图 11 所示; 并利用了相似三角形 $OO'B$ 和 $BO'A$)。由此得出: $\epsilon_2(e + e') = \epsilon_1 e''$, $e - e' = e''$, 并且对 e' 和 e'' , 重新得到例题 1 的(1)式。

作用于带电导线单位长度上的力与 OO' 平行, 并等于

$$\begin{aligned} F &= eE = \frac{2ee'}{\epsilon_1} \left(\frac{1}{OA} - \frac{1}{OO'} \right) = \\ &= \frac{2e^2(\epsilon_1 - \epsilon_2)a^2}{\epsilon_1(\epsilon_1 + \epsilon_2)b(b^2 - a^2)} \end{aligned}$$

($F > 0$ 相应于斥力)。

4. 所求与前题一样, 但导线通过介电常数为 ϵ_2 的圆柱体内部 ($b > a$)。

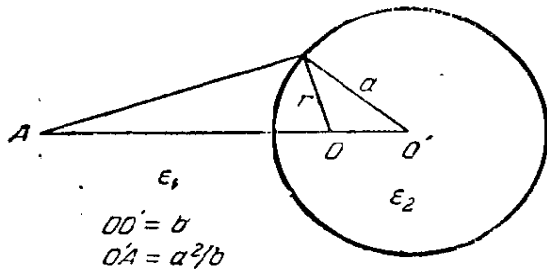


图 12

解. 我們求出媒质 2 內的場是实导綫 e (图 12 中的 O 点) 和通过圓柱外 A 点的虚导綫 e' 所产生的場。求出媒质 1 內的場是分别通过 O 和 O'' 、电荷分别为 e'' 和 $e - e''$ 的导綫所产生的場。利用和前一問題相同的方法, 我們得到

$$e' = -e \frac{\epsilon_1 - \epsilon_2}{\epsilon_1 + \epsilon_2}, \quad e'' = e \frac{2\epsilon_1}{\epsilon_1 + \epsilon_2}.$$

导綫所受到的圓柱体的斥力 (当 $\epsilon_2 > \epsilon_1$ 时) 为

$$F = \frac{2ee'}{\epsilon_2} \frac{1}{OA} = \frac{2e^2(\epsilon_2 - \epsilon_1)b}{\epsilon_2(\epsilon_1 + \epsilon_2)(a^2 - b^2)}.$$

5. 試证明: 由 \mathbf{r}_A 点处的点电荷 e 在任意的非均匀介电媒质內的 \mathbf{r}_B 点处所产生的場势 $\varphi_A(\mathbf{r}_B)$, 等于由 \mathbf{r}_B 点处的相同电荷在 \mathbf{r}_A 点处所产生的場势 $\varphi_B(\mathbf{r}_A)$ 。

解. 場势 $\varphi_A(\mathbf{r})$ 和 $\varphi_B(\mathbf{r})$ 满足下列方程:

$$\operatorname{div}(\epsilon \nabla \varphi_A) = -4\pi e \delta(\mathbf{r} - \mathbf{r}_A),$$

$$\operatorname{div}(\epsilon \nabla \varphi_B) = -4\pi e \delta(\mathbf{r} - \mathbf{r}_B).$$

用 φ_B 乘第一式, φ_A 乘第二式, 然后从第一式减去第二式, 我們得到

$$\begin{aligned} \operatorname{div}(\varphi_B \epsilon \nabla \varphi_A) - \operatorname{div}(\varphi_A \epsilon \nabla \varphi_B) &= \\ &= -4\pi e \delta(\mathbf{r} - \mathbf{r}_A) \varphi_B(\mathbf{r}) + 4\pi e \delta(\mathbf{r} - \mathbf{r}_B) \varphi_A(\mathbf{r}). \end{aligned}$$

把这个等式对全部空間进行积分, 就得到所求的关系式为

$$\varphi_A(\mathbf{r}_B) = \varphi_B(\mathbf{r}_A).$$

§ 8. 介电椭球

在均匀外电場內的介电椭球的极化, 具有一些奇异的特征, 因而引起了特别的兴趣。

我們首先来研究一个简单的特殊情况——外电場 \mathcal{E} 內的介电球。我們用 $\epsilon^{(i)}$ 表示介电球的介电常数, 而用 $\epsilon^{(e)}$ 表示球外的媒质的介电常数。选择球面坐标系的原点为球心 (极角 θ 从 \mathcal{E} 方向算起), 于是求出球外的場势为

$$\varphi^{(e)} = -\mathcal{E}r + A\mathcal{E}\frac{r}{r^3};$$

第一項是外加電場的電勢，而第二項給出球所引起的電勢變化，在無窮遠處變為零（與 § 3 例題 1 的解比較）。於是球內的場勢可以寫為

$$\varphi^{(i)} = -B\mathcal{E}r;$$

這是滿足拉普拉斯方程的唯一函數，它在球心上保持有限，而且只決定於恒矢量 \mathcal{E} ——上述問題中的唯一參數。

常數 A 和 B 從球面上的邊界條件求出。但我們立刻注意到，球內的場 $\mathbf{E}^{(i)} = B\mathcal{E}$ 是均勻的，它和外加場 \mathcal{E} 的差別只是絕對值不同。

電勢為連續的邊界條件給出

$$E^{(i)} = \mathcal{E}\left(1 - \frac{A}{R^3}\right)$$

（ R 是球的半徑），而由感應強度的法向分量的連續性條件得出

$$D^{(i)} = \varepsilon^{(e)}\mathcal{E}\left(1 + \frac{2A}{R^3}\right).$$

從這兩個等式內消去 A ，我們得到

$$\frac{1}{3}(D^{(i)} + 2\varepsilon^{(e)}E^{(i)}) = \varepsilon^{(e)}\mathcal{E}, \quad (8.1)$$

或者代入 $D^{(i)} = \varepsilon^{(i)}E^{(i)}$ ，於是

$$E^{(i)} = \frac{3\varepsilon^{(e)}}{2\varepsilon^{(e)} + \varepsilon^{(i)}}\mathcal{E}. \quad (8.2)$$

無限長的介電圓柱體在與其軸垂直的外電場中的問題，可以用完全相似的方法來解出（與 § 3 的例題 2 比較）。柱體內的場，和前一例子中球內的場一樣，是均勻的。它滿足下列關係式：

$$\frac{1}{2}(D^{(i)} + \varepsilon^{(e)}E^{(i)}) = \varepsilon^{(e)}\mathcal{E} \quad (8.3)$$

或

$$\mathbf{E}^{(i)} = \frac{2s^{(e)}}{s^{(i)} + s^{(e)}} \mathcal{E}. \quad (8.4)$$

关系式(8.1)和(8.3)没有显式地包含球或柱体的介电常数 $s^{(i)}$ ，具有特别重要的意义，这是因为这两个关系式的正确性和物体内 \mathbf{E} 与 \mathbf{D} 间的线性关系无关；在任何形式的关系下（包括各向异性物体），它们都成立。下面的类似关系式具有同样的性质。

对于纵向场内的圆柱体：

$$\mathbf{E}^{(i)} = \mathcal{E}, \quad (8.5)$$

对于与场垂直的平行平板：

$$\mathbf{D}^{(i)} = s^{(e)} \mathcal{E}, \quad (8.6)$$

这些关系式可从边界条件直接看出。

一般说来，任何椭球，不论其半轴 a, b, c 的比值如何，只要放在均匀的外电场内，都具有在其内部产生均匀电场的性质。利用椭球坐标求解介电椭球的极化问题，和 § 4 中解导电椭球的极化问题相似。

现在再求椭球外的场势为(4.22)式： $\varphi' = \varphi_0 F(\xi)$ ，其中函数 $F(\xi)$ 从(4.23)得出。但在椭球内的场势 φ_i 内不可能包含这样的函数，因为它不满足在整个椭球体积内场有限这一条件。实际上，我们来研究表面 $\xi = -c^2$ ，它是椭球体积内 xy 平面上的椭圆面。当 $\xi \rightarrow -c^2$ 时，(4.23)式积分的行为和 $\sqrt{\xi + c^2}$ 一样。因此，场强，也即是电势陡度，将和 $(\xi + c^2)^{-\frac{1}{2}}$ 一样变化，而当 $\xi = -c^2$ 时趋向于无穷大。由此可知，对于椭球内的场，只适合 $F(\xi) = \text{常数}$ 的解，也就是说必须求出 φ_i 的形式为

$$\varphi_i = B\varphi_0$$

我们看出，场势 φ_i 和均匀场势 φ_0 的差别只是多一个常数因子。换句话说，在椭球内的场是均匀的。

我们在这里不去写出椭球外的意义很小的电场公式。无须实

际写出边界条件, 只要利用一些我們已熟知的結果, 就可以求得椭球內的均匀电場。

首先假定, 椭球在真空內 ($\epsilon^{(e)} = 1$)。于是在矢量 $\mathbf{E}^{(i)}$, $\mathbf{D}^{(i)}$ 和 \mathcal{E} (它們的方向都相同, 即沿着 x 軸的方向) 之間, 必須存在下列的綫性关系:

$$aE_x + bD_x = \mathcal{E}_x,$$

式中的系数 a, b 和椭球的介电常数 $\epsilon^{(i)}$ 无关, 只依赖于椭球的形状。这种綫性关系的存在可以从边界条件的形式看出, 从上面球体和圆柱体的例子, 我們已证明这一点。

要确定 a 和 b , 我們必須注意到, 在平常的 $\epsilon^{(i)} = 1$ 的特殊情况下, 简单地有 $\mathbf{E} = \mathbf{D} = \mathcal{E}$, 由此得到 $a + b = 1$ 。另一个我們所熟知的特殊情况是导电椭球。在导体內 $\mathbf{E}^{(i)} = 0$, 而感应强度 $\mathbf{D}^{(i)}$ 沒有直接的物理意义, 但是可以把它看成是一个形式量, 它和椭球的总偶极矩的关系为

$$\mathbf{D} = 4\pi\mathbf{P} = 4\pi\frac{\mathcal{D}}{V}.$$

根据(4.26)式, 这时得到

$$D_x = \mathcal{E}_x \frac{1}{n^{(x)}},$$

也即是系数 $b = n^{(x)}$, 因而 $a = 1 - n^{(x)}$ 。

这样一来, 我們就得到下列的关系式^①:

$$(1 - n^{(x)})E_x^{(i)} + n^{(x)}D_x^{(i)} = \mathcal{E}_x. \quad (8.7)$$

对 y 軸和 z 軸方向的場, 适合相似的关系式, 只是其中的系数

① 也可以把它写成下列形式:

$$E_x^{(i)} = \mathcal{E}_x - 4\pi n^{(x)}P_x.$$

量 $4\pi n^{(x)}P_x$ 有时称为退极化場。对于均匀外磁場中的磁化椭球, 类似的公式也正确 (参看 § 27)。与此相关, 量 $n^{(x)}$, $n^{(y)}$, $n^{(z)}$ 称为退磁系数。

不同。和特殊公式(8.1)与(8.3)一样,不論椭球内 E 和 D 的关系如何,它們都适用。

令 $D_x^{(i)} = \epsilon^{(i)} E_x^{(i)}$, 从(8.7), 我們得到椭球内的电场强度为

$$E_x^{(i)} = \frac{\mathcal{E}_x}{1 + (\epsilon^{(i)} - 1)n^{(x)}} \quad (8.8)$$

而椭球的总偶极矩为

$$\begin{aligned} \mathcal{D}_x &= VP_x = \frac{(\epsilon^{(i)} - 1)}{4\pi} V E_x^{(i)} = \\ &= \frac{abc}{3} \frac{\epsilon^{(i)} - 1}{1 + (\epsilon^{(i)} - 1)n^{(x)}} \mathcal{E}_x \end{aligned} \quad (8.9)$$

如果場 \mathcal{E} 在三个軸上都有分量, 那末椭球内的場仍然是均匀的, 但是, 一般說来, 不与 \mathcal{E} 平行。对任意选择的坐标系, 都可以把关系式(8.7)写成普遍形式:

$$E_i^{(i)} + n_{ik}(D_k^{(i)} - E_k^{(i)}) = \mathcal{E}_i. \quad (8.10)$$

只要用 $\frac{\epsilon^{(i)}}{\epsilon^{(e)}}$ 代替 $\epsilon^{(i)}$, 就可以很简单地变换到媒质的介电常数

不为 1 的情况。这时, (8.7)式取下列形式:

$$(1 - n^{(x)})\epsilon^{(e)} E_x^{(i)} + n^{(x)} D_x^{(i)} = \epsilon^{(e)} \mathcal{E}_x. \quad (8.11)$$

这个式子特别可以应用于无限的介电媒质内椭球形小孔内的电场上, 为此, 必須令 $\epsilon^{(i)} = 1$ 。

例 題①

1. 試求作用于均匀电场內迴轉椭球上的力矩。

解. 根据普遍公式(16.13), 作用在椭球上的力矩等于 $\mathbf{K} = [\mathcal{D}\mathcal{E}]$, 式中 \mathcal{D} 是椭球的偶极矩。在迴轉椭球内, 矢量 \mathcal{D} 位于通过对称軸和 \mathcal{E} 方向的平面内。力矩方向与这个平面垂直, 但利用(8.9)式进行計算, 得到它的绝对值为

① 这一节的例题中假定椭球在真空内。

$$K = \frac{(\varepsilon - 1)^2 |1 - 3n| \mathcal{E}^2 V \sin 2\alpha}{8\pi [n\varepsilon + 1 - n] [(1 - n)\varepsilon + 1 + n]},$$

式中 α 是 \mathcal{E} 的方向和椭球的对称轴之间的夹角, 而 n 是沿这个轴的退极化系数 [于是在与这个轴垂直的方向上, 退极化系数为 $\frac{1}{2}(1 - n)$]. 力矩的方向是, 它力图把长椭球 ($n < \frac{1}{3}$) 和扁椭球 ($n > \frac{1}{3}$) 的对称轴分别转到与场平行和垂直的位置上。

对导电椭球 ($\varepsilon \rightarrow \infty$), 我們得到

$$K = \frac{|1 - 3n|}{8\pi n(1 - n)} V \mathcal{E}^2 \sin 2\alpha.$$

2. 設空心介电球 (介电常数为 ε , 内外半径为 b 和 a) 位于均匀外电场 \mathcal{E} 内, 試求球腔内的场。

解. 和正文中解連續球的场相似, 我們求出球外真空内 (区域 1) 和球腔内 (区域 3) 的场势分别为

$$\varphi_1 = -\mathcal{E} \cos \theta \left(r - \frac{A}{r^2} \right),$$

$$\varphi_3 = -B\mathcal{E} r \cos \theta,$$

而介电层内的场势 (区域 2) 为

$$\varphi_2 = -C\mathcal{E} \cos \theta \left(r - \frac{D}{r^2} \right),$$

式中 A, B, C, D 为常数, 由 φ 和 $\varepsilon \frac{\partial \varphi}{\partial r}$ 在边界 1—2 和 2—3 上的連續性条件定出。由此可見, 在球腔内的场 $\mathbf{E}_3 = B\mathcal{E}$ 是均匀的 (球形层内的场 \mathbf{E}_2 是非均匀的)。由常数的計算, 得到下面的結果:

$$\mathbf{E}_3 = \mathcal{E} \frac{9\varepsilon}{(\varepsilon + 2)(2\varepsilon + 1) - 2(\varepsilon - 1)^2 (b/a)^3}.$$

3. 与上題相同, 試求均匀的橫向场内空心圆柱体内的场①。

解. 与前題一样, 得到下面的結果:

$$\mathbf{E}_3 = \mathcal{E} \frac{4\varepsilon}{(\varepsilon + 1)^2 - (\varepsilon - 1)^2 (b/a)^2}.$$

① 在均匀场内, 答案显然为 $\mathbf{E}_3 = \mathcal{E}$ 。

§ 9. 混合物的介电常数

如果物质是小弥散的混合物(乳胶体、粉状混合物等等),那末我们可以研究对大于不均匀性线度的体积所求得平均电场。对这种平均场来说,混合物是均匀和各向同性的媒质,因而描写这种媒质的特征可以采用介电常数的有效值,我们把它表示为 $\epsilon_{\text{混合}}$ 。如果 $\bar{\mathbf{E}}$ 和 $\bar{\mathbf{D}}$ 是按上述方式而求得平均场强度和平均感应强度,则按照 $\epsilon_{\text{混合}}$ 的定义,得到

$$\bar{\mathbf{D}} = \epsilon_{\text{混合}} \bar{\mathbf{E}}. \quad (9.1)$$

如果混合物的粒子是各向同性的,而它们的介电常数之差小于 ϵ 本身,那末就可以在普遍形式下算出 $\epsilon_{\text{混合}}$ 值,其精确度达到上面差值的二次项。

现在把电场的强度的定域值写成 $E = \bar{E} + \delta E$, 而介电常数的定域值写成 $\epsilon + \delta \epsilon$, 其中

$$\bar{\epsilon} = \frac{1}{V} \int \epsilon dV \quad (9.2)$$

是对整个体积所求得平均值。于是感应强度的平均值为

$$\bar{\mathbf{D}} = (\bar{\epsilon} + \delta \epsilon)(\bar{\mathbf{E}} + \delta \mathbf{E}) = \bar{\epsilon} \bar{\mathbf{E}} + \delta \epsilon \delta \mathbf{E} \quad (9.3)$$

(因为按照 $\delta \epsilon$ 和 $\delta \mathbf{E}$ 的定义,它们的平均值等于零)。在零级近似下, $\epsilon_{\text{混合}} = \bar{\epsilon}$; 于是不为零的第一改正项当然为 $\delta \epsilon$ 的二次量,正如从(9.3)式所看到的一样。

从未平均方程 $\text{div } \mathbf{D} = 0$, 精确到一级小项,我们得到

$$\text{div}(\bar{\epsilon} + \delta \epsilon)(\bar{\mathbf{E}} + \delta \mathbf{E}) = \bar{\epsilon} \text{div } \delta \mathbf{E} + \bar{\mathbf{E}} \nabla \delta \epsilon = 0,$$

或者代入 $\delta \mathbf{E} = -\text{grad } \delta \varphi$ 后,得到

$$\bar{\epsilon} \Delta \delta \varphi = \bar{\mathbf{E}} \nabla \delta \epsilon.$$

把 grad 作用到这个方程上,我们得到

$$\Delta \delta \mathbf{E} = -\frac{1}{\bar{\epsilon}} (\bar{\mathbf{E}} \nabla) \nabla \delta \epsilon \quad (9.4)$$

对(9.3)式的乘积 $\delta s \delta \mathbf{E}$ 求平均值, 可分成两步。首先对同一物质的各粒子的体积求平均值也即是保持 δs 的值不变求平均值。从(9.4)式, 很容易地得到这样的 $\delta \mathbf{E}$ 的平均值。但是由于混合物整个说来是各向同性的, 在对等式(9.4)两边取平均值后, 它右边的算符 $\frac{\partial^2}{\partial x_j \partial x_k}$ 变成

$$\frac{1}{3} \delta_{jk} \Delta,$$

于是得到

$$\Delta \overline{\delta \mathbf{E}} = -\frac{1}{3\bar{s}} \overline{\mathbf{E}} \Delta \delta s,$$

由此得

$$\overline{\delta \mathbf{E}} = -\frac{\overline{\mathbf{E}}}{3\bar{s}} \delta s.$$

将上式两侧乘上 δs , 然后对混合物的各组分求平均值, 得到

$$\overline{\delta s \delta \mathbf{E}} = -\frac{\overline{\mathbf{E}}}{3\bar{s}} \overline{(\delta s)^2}$$

末了, 把上式代入(9.3)式, 并和(9.1)式比较, 就得到所求的结果:

$$s_{\text{混合}} = \bar{s} - \frac{\overline{(\delta s)^2}}{3\bar{s}}. \quad (9.5)$$

这个式子也可以写成另一种形式, 只要我們注意到, 精确到二次项,

$$\bar{s}^{\frac{1}{3}} = \overline{(\bar{s} + \delta s)^{\frac{1}{3}}} = \bar{s}^{\frac{1}{3}} \left(1 - \frac{\overline{(\delta s)^2}}{9\bar{s}^2} \right).$$

因此,

$$s_{\text{混合}}^{\frac{1}{3}} = \bar{s}^{\frac{1}{3}}. \quad (9.6)$$

由此可知, 在所考虑的近似下, s 的立方根是相加的。

例 題

設乳胶体的濃度很小,而媒质(ϵ_1)和弥散相(ϵ_2)的介电常数之差为任意值,試求这乳胶体的介电常数。

解. 在积分

$$\frac{1}{V} \int (\mathbf{D} - \epsilon_1 \mathbf{E}) dV \equiv \overline{\mathbf{D}} - \epsilon_1 \overline{\mathbf{E}}$$

內,被积表达式只在乳胶体的粒子內部不为零。因此,它与乳胶体的体积濃度 c 成正比。在計算这积分时,可以假定乳胶体粒子在平均电場强度为 $\overline{\mathbf{E}}$ 的外电場內。假定粒子是球形的,并利用(8.2)式,于是得到 $\overline{\mathbf{D}}$ 和 $\overline{\mathbf{E}}$ 之間的比例系数为

$$\epsilon_{\text{混合}} = \epsilon_1 + c \frac{3(\epsilon_2 - \epsilon_1)\epsilon_1}{\epsilon_2 + 2\epsilon_1}.$$

这个式子的正确性精确到 c 的一次項。在 ϵ_1 和 ϵ_2 接近的情况下,它与 c 很小时由(9.6)式所求出的結果相等(精确到 c 的一次項和 $\epsilon_2 - \epsilon_1$ 的二次項)。

§ 10. 电場內电介质的热力学关系式

由于电場的存在使热力学性质发生改变的問題,对于导体來說并不发生。因为导体內部沒有电場,因而它的热力学量的全部变化,简单地归結为在总能量上加上一項由导体在周圍空間內所产生的場能^①。这个量一般并不依赖于物体的热力学状态(特别是溫度),因而例如,并不会影响到导体的熵。

相反地,电場透入到电介质內部时,对它的热力学性质发生深远的影响。要研究这些性质,首先必須求出电介质內的电場发生无穷小变化时对被热絕緣的电介质所作的功。

电介质所在的电場,必須設想为由某一带电的外导体所产生的,于是电場的改变可以看成是导体上的电荷改变的結果^②。为簡

① 我們在这里略去了电荷和导体物质的結合能,这种結合能将在 § 22 中討論。

② 我們得到的最后式子,只包括电介质內的場值,因此与电場的起源无关。由于这一原因,我們無須預先說明电場不是由带电导体产生的;而是例如由帶到电介质內的旁电荷或它的热电极化(參看 § 13)所产生的。

单起见, 我们假设只有一个导体, 带的电荷为 e , 电势为 φ 。于是使导体的电荷增加一个无穷小量 δe 所必须作的功等于

$$\delta R = \varphi \delta e; \quad (10.1)$$

这是把电荷 δe 从无穷远处 (该处电势等于零) 移到导体表面并因而通过电势差 φ 时, 电场对电荷 δe 所作的机械功。我们现在把 δR 变换成用导体周围的充满了电介质的空间内的场值来表示的形式。

如果 D_n 是电感应强度矢量在导体表面法线方向上的投影 (对电介质来说为外法线, 对导体说为内法线), 那末, 导体上的面电荷密度等于 $-\frac{D_n}{4\pi}$, 于是

$$e = -\frac{1}{4\pi} \oint D_n df = -\frac{1}{4\pi} \oint \mathbf{D} df.$$

由于在导体的全部表面上电势 φ 不变, 于是我们可以写出

$$\delta R = \varphi \delta e = -\frac{1}{4\pi} \oint \varphi \delta \mathbf{D} \cdot d\mathbf{f} = -\frac{1}{4\pi} \int \operatorname{div}(\varphi \delta \mathbf{D}) dV.$$

右面的最后积分对导体外的全部体积进行。既然变化后的场和初始场一样, 满足场方程, 因此, $\operatorname{div} \delta \mathbf{D} = 0$, 于是

$$\operatorname{div}(\varphi \delta \mathbf{D}) = \varphi \operatorname{div} \delta \mathbf{D} + \delta \mathbf{D} \operatorname{grad} \varphi = -\mathbf{E} \delta \mathbf{D}.$$

这样一来, 最后得到下列的重要公式:

$$\delta R = \int \frac{\mathbf{E} \delta \mathbf{D}}{4\pi} dV. \quad (10.2)$$

应着重指出, 这个式子内的积分对全部场进行, 其中也包括真空区域, 假如电介质没有充满导体外的全部空间的话。

对被热绝缘的物体所作的功, 不外乎是熵不变时物体能量的变化。因此, 在确定物体总能量 (其中也包括电场能) 的无穷小变化的热力学关系式内, 必须添上我们所得到的 (10.2) 式。用 \mathcal{U} 表示这能量, 于是我们得到

$$\delta\mathcal{U} = T\delta\mathcal{S} + \frac{1}{4\pi} \int \mathbf{E}\delta\mathbf{D} dV \quad (10.3)$$

(T 为温度, \mathcal{S} 为物体的熵)^①。相应地, 对于总自由能 $\mathcal{F} = \mathcal{U} - T\mathcal{S}$ ^②, 我們得到

$$\delta\mathcal{F} = -\mathcal{S}\delta T + \frac{1}{4\pi} \int \mathbf{E}\delta\mathbf{D} dV. \quad (10.4)$$

对导体单位体积內的量, 也可以写出相似的热力学关系式。設 U , S 和 ρ 分别为物体单位体积的内能、熵和质量。大家知道, 在单位体积內, 通常的内能的热力学关系式(不存在电场)为

$$dU = TdS + \zeta d\rho,$$

式中 ζ 是物质的化学势^③。如果电介质內存在电场, 則上式必須再添上从(10.3)式的被积式內所取出的一项; 即变成

$$dU = TdS + \zeta d\rho + \frac{1}{4\pi} \mathbf{E}d\mathbf{D}. \quad (10.5)$$

对于电介质单位体积內的自由能: $F = U - TS$, 相应地得到

$$dF = -SdT + \zeta d\rho + \frac{1}{4\pi} \mathbf{E}d\mathbf{D} \quad (10.6)$$

这里求得的关系式构成了电介质热力学的基础。

我們看出, 量 U 和 F 分别是对变数 S, ρ, \mathbf{D} 和 T, ρ, \mathbf{D} 的热力学势。特别是将这些热力学势对矢量 \mathbf{D} 的分量求微分, 可以得到电

① 談到物体的体积(它的微分通常包含在 $\delta\mathcal{U}$ 的表达式內)时, 應該注意到, 在电场內, 一般說来, 物体变成不均匀的, 因此体积不再能表征物体的状态。

② 只有当物体內的温度不变时, 考虑这个量才有意义。

③ 參閱“統計物理学”第三版 § 24。在那里代替质量密度, 我們采用了单位体积內的粒子数 N , 它和密度的关系为 $\rho = Nm$ (m 是分子的质量); 因此, 本书所用的化学势定义和“統計物理学”中的定义相差一个因子(化学势現在是属于单位体积, 而不是属于物质的一个粒子)。

我們在这里采用字母 ζ 表示化学势, 以代替更通常采用的符号 μ ; 表示物质质量密度的字母 ρ 和表示电荷密度的相同, 但这不会引起誤会, 因为这两个量永远不会在一起出現。

场强度为

$$\mathbf{E} = 4\pi \left(\frac{\partial U}{\partial \mathbf{D}} \right)_{S, \rho} = 4\pi \left(\frac{\partial F}{\partial \mathbf{D}} \right)_{T, \rho} \quad (10.7)$$

在这方面采用自由能更为方便，因为对上式微分时必须保持温度不变，而且这时内能要用不大方便的量——熵——来表示。

除了 U 和 F 外，引进热力学势也是很有用的，其中的独立变数为矢量 \mathbf{E} 的分量，而不是矢量 \mathbf{D} 的分量。这些量是

$$\tilde{U} = U - \frac{\mathbf{E}\mathbf{D}}{4\pi}, \quad \tilde{F} = F - \frac{\mathbf{E}\mathbf{D}}{4\pi}, \quad (10.8)$$

对这些量求微分，我们得到

$$\begin{aligned} d\tilde{U} &= TdS + \zeta d\rho - \frac{1}{4\pi} \mathbf{D}d\mathbf{E}, \\ d\tilde{F} &= -SdT + \zeta d\rho - \frac{1}{4\pi} \mathbf{D}d\mathbf{E}. \end{aligned} \quad (10.9)$$

由此特别得到

$$\mathbf{D} = -4\pi \left(\frac{\partial \tilde{U}}{\partial \mathbf{E}} \right)_{S, \rho} = -4\pi \left(\frac{\partial \tilde{F}}{\partial \mathbf{E}} \right)_{T, \rho}. \quad (10.10)$$

我们注意到，带有 \sim 符号的字母所表示的热力学量和没有 \sim 符号的热力学量之间的关系，正好相应于 § 5 内对真空内的导体的静电场能量所引进的关系式。实际上，和我们在 § 3 开头所进行的完全相似，这时我们利用电介质体积内的方程： $\operatorname{div} \mathbf{D} = 0$ ，和导体表面的边界条件： $D_n = 4\pi\sigma$ ，可以将积分 $\int \mathbf{E}\mathbf{D} dV$ 变换成

$$\begin{aligned} \frac{1}{4\pi} \int \mathbf{E}\mathbf{D} dV &= -\frac{1}{4\pi} \int \operatorname{grad} \varphi \cdot \mathbf{D} dV = \\ &= \frac{1}{4\pi} \sum_a \int \varphi_a D_n df = \sum_a \varphi_a e_a. \end{aligned} \quad (10.11)$$

因此，例如得到内能为

$$\tilde{\mathcal{U}} = \mathcal{U} - \int \frac{\mathbf{E}\mathbf{D}}{4\pi} dV = \mathcal{U} - \sum_a \varphi_a e_a, \quad (10.12)$$

这和(5.5)式的定义完全一致。

把用导体(場源)的电荷和电势所表示的这些量的无穷小变化的公式加以比較,也是很有益的。例如,得到自由能的变化(在給定的溫度下)为

$$(\delta \mathcal{F})_T = \delta R = \sum_a \varphi_a \delta e_a. \quad (10.13)$$

得到 $\widetilde{\mathcal{F}}$ 的变化为

$$(\delta \widetilde{\mathcal{F}})_T = (\delta \mathcal{F})_T - \delta \sum_a \varphi_a e_a = - \sum_a e_a \delta \varphi_a. \quad (10.14)$$

可以說,沒有 \sim 符号的量是对于导体电荷而言的热力学势,而帶有 \sim 符号的量是对于导体电势而言的热力学势。

由热力学可知^①,各种不同的热力学势都具有一种性质,即在热平衡状态下,对物体状态的各种变化为极小值。在表述电場內的这些平衡条件时,必須指明,是研究导体(場源)的电荷不变还是电势不变时的状态变化。例如,在平衡状态下,相对于导体的溫度以及电荷或电势不变时所发生的状态变化, \mathcal{F} 或 $\widetilde{\mathcal{F}}$ 具有极小值(物体的熵不变时,同样的对 \mathcal{U} 和 $\widetilde{\mathcal{U}}$ 也正确)。

如果导体內发生了和电場沒有直接关系的某种过程(例如,化学反应),那末,对于这些过程而言的平衡条件是:当物体的密度、溫度和感应强度 \mathbf{D} 不变时 F 为极小值;或当密度、溫度和电場强度 \mathbf{E} 不变时 \widetilde{F} 为极小值。

到此为止,关于 \mathbf{D} 对 \mathbf{E} 的关系,我們并没有作任何假設,因此,不論这种关系的性质如何,所得到的热力学关系式都是适用的。現在把它們应用到具有綫性关系: $\mathbf{D} = \epsilon \mathbf{E}$ 的各向同性的电介质上。在这种情况下,对关系式(10.5)和(10.6)进行积分,得到

① 参考“統計物理学”第三版, § 15, 1951。

$$U = U_0(S, \rho) + \frac{D^2}{8\pi\epsilon}, \quad (10.15)$$

$$F = F_0(T, \rho) + \frac{D^2}{8\pi\epsilon},$$

式中 U_0 和 F_0 是指没有电场时的电介质而言。由此可见，在现在的情况下，量

$$\frac{D^2}{8\pi\epsilon} = \frac{\epsilon E^2}{8\pi} = \frac{ED}{8\pi}$$

是由于电场存在而引起的介电媒质单位体积内的内能变化(保持熵和密度的数值一定)或自由能的变化(保持温度和密度一定)。

对热力学势 \tilde{U} 和 \tilde{F} ，得到类似的关系式：

$$\tilde{U} = U_0(S, \rho) - \frac{\epsilon E^2}{8\pi}, \quad (10.16)$$

$$\tilde{F} = F_0(T, \rho) - \frac{\epsilon E^2}{8\pi}.$$

我们看到，在这种情况下， $U - U_0$ 和 $\tilde{U} - U_0$ 之差只是相差一个正负号，如同对真空内的电场所存在的情况一样 (§5)。但是，在介电媒质内，只当 D 和 E 为线性关系时，这种简单的关系式才适用。

为以后参考起见，我们写出物质的熵密度 S 和化学势 ζ 的公式，从 (10.15) 式得到这些公式如下：

$$S = -\left(\frac{\partial F}{\partial T}\right)_{\rho, D} = S_0(T, \rho) + \frac{D^2}{8\pi\epsilon^2} \left(\frac{\partial \epsilon}{\partial T}\right)_{\rho} =$$

$$= S_0(T, \rho) + \frac{E^2}{8\pi} \left(\frac{\partial \epsilon}{\partial T}\right)_{\rho}, \quad (10.17)$$

$$\zeta = \left(\frac{\partial F}{\partial \rho}\right)_{T, D} = \zeta_0(T, \rho) - \frac{E^2}{8\pi} \left(\frac{\partial \epsilon}{\partial \rho}\right)_T. \quad (10.18)$$

不言而喻，只在电介质内部，这两个量才不为零。

将 (10.15) 式对整个空间进行积分，就得到总自由能。由于 (10.11) 式，我们有

$$\mathcal{F} - \mathcal{F}_0 = \int \frac{\mathbf{E}\mathbf{D}}{8\pi} dV = \frac{1}{2} \sum_a e_a \varphi_a. \quad (10.19)$$

上表达式在形式上和真空内的导体的静电场能量的式子相同。从导体的电荷发生无穷小变化时的变化 $\delta\mathcal{F}$ (10.13) 出发, 也可以直接得到这一结果。在现在的情况下, \mathbf{D} 和 \mathbf{E} 为线性关系, 于是全部场方程以及其边界条件也都是线性的。因此, 导体的电势应为(如同真空内的电场一样)导体电荷的线性函数, 对等式(10.13)进行积分, 就得到(10.19)式。

应该着重指出, 在这些讨论中并没有假设电介质充满导体外的全部空间。如果是后一种情况, 那末利用 § 7 末所得到的结果, 还可以更进一步证明下列的论断: 当导体的电荷不变时, 由于介电媒质的出现, 导体的电势和场能, 与真空内的场的这些量比较, 都减小了 ϵ 倍。如果导体的电势保持不变, 则电场能量和导体的电荷都增加 ϵ 倍。

例 题

试求竖直的平面电容器内液面升高的高度 h 。

解. 当电容器两板的电势保持一定时, \mathcal{F} 必须为极小值, 其中还必须计及液柱在重力场中的能量 $\frac{\rho g h^2}{2}$ 。于是从这条件容易得到

$$h = \frac{\epsilon - 1}{8\pi\rho g} E^2.$$

§ 11. 介电物体的总自由能

如在前一节中所定义的, 总自由能 \mathcal{F} (或总内能 \mathcal{U}) 也包括使电介质极化的外电场的能量在内。除了这个量外, 研究不包括场能在内的总自由能也是有意义的, 而这种场当导体不存在时存在于整个空间内。我们用 \mathcal{E} 表示这种电场的强度。于是, 在上述意

义上的“总”自由能等于积分：

$$\int \left(F - \frac{\mathcal{E}^2}{8\pi} \right) dV, \quad (11.1)$$

式中 F 是自由能的“密度”。我們在这里采用 § 10 中表示积分 $\int F dV$ 的同一字母 \mathcal{F} 来表示这个量。应该着重指出， \mathcal{F} 的这两种定义的差别只是归结为一个不依赖于电介质的热力学状态及其性质的量，因此，一般并不会影响到这个量的基本的热力学微分关系式^①。

现在来计算温度保持不变和媒质的热力学平衡状态没有被破坏时所发生的电场的无穷小变化所引起的 \mathcal{F} 的变化

因为 $\delta F = \frac{1}{4\pi} \mathbf{E} \delta \mathbf{D}$ ，因此得到

$$\delta \mathcal{F} = \frac{1}{4\pi} \int (\mathbf{E} \delta \mathbf{D} - \mathcal{E} \delta \mathcal{E}) dV.$$

这个式子恒可以改写成下面的形式：

$$\begin{aligned} \delta \mathcal{F} = & \frac{1}{4\pi} \int (\mathbf{D} - \mathcal{E}) \delta \mathcal{E} dV + \frac{1}{4\pi} \int \mathbf{E} (\delta \mathbf{D} - \delta \mathcal{E}) dV - \\ & - \frac{1}{4\pi} \int (\mathbf{D} - \mathbf{E}) \delta \mathcal{E} dV. \end{aligned} \quad (11.2)$$

在第一个积分内，写出 $\delta \mathcal{E} = -\text{grad } \delta \varphi_0$ (φ_0 是电场 \mathcal{E} 的电势)，并把它进行分部变换：

$$\begin{aligned} \int \text{grad } \delta \varphi_0 (\mathbf{D} - \mathcal{E}) dV = & \int \delta \varphi_0 (\mathbf{D} - \mathcal{E}) df - \\ & - \int \delta \varphi_0 \text{div} (\mathbf{D} - \mathcal{E}) dV. \end{aligned}$$

^① 应该注意，从 F 内减去 $\frac{E^2}{8\pi}$ 是没有意义的，因为电场 \mathbf{E} 由于电介质的出现发生了变化，因此，不能把差值： $F - \left(\frac{E^2}{8\pi} \right)$ 看作是这种电介质的自由能密度。

容易看出,等式右侧的两个积分变成零。对于体积分,可以从方程 $\text{div } \mathbf{D} = 0$ 和 $\text{div } \mathbf{E} = 0$ 直接得到,电介质内的场和真空内的场都分别满足这些方程。第一个积分对产生场的导体表面和无穷远表面进行。如通常一样,后一积分变成零,而在每一导体上, $\delta\varphi_0 = \text{常数}$, 于是

$$\oint \delta\varphi_0 (\mathbf{D} - \mathbf{E}) d\mathbf{f} = \delta\varphi_0 \oint (\mathbf{D} - \mathbf{E}) d\mathbf{f}.$$

但是,按照定义,场 \mathbf{E} 和感应强度为 \mathbf{D} 的电场 \mathbf{E} 是由同一源产生的(也就是由总电荷为 e 的同一导体所产生的)。因此,两个积分 $\oint D_n d\mathbf{f}$ 和 $\oint E_n d\mathbf{f}$ 都等于同一数值 $4\pi e$, 而它们的差值等于零。

由相似的方式可以证明,(11.2)式的第二项也等于零(为此,在第二项内代入 $\mathbf{E} = -\text{grad } \varphi$, 并进行相同的变换)。最后得到

$$\delta\mathcal{F} = -\frac{1}{4\pi} \int (\mathbf{D} - \mathbf{E}) \delta\mathbf{E} dV = -\int \mathbf{P} \delta\mathbf{E} dV. \quad (11.3)$$

值得注意的是,在这个式子内,积分只对电介质所占据的体积进行,因为在物体外, $\mathbf{P} = 0$ 。

但是应该着重指出,被积式 $\mathbf{P} \delta\mathbf{E}$ 不能解释为物体自由能密度的变化,如同对(10.3)式和(10.4)式所作的解释一样。首先,这个“密度”在物体外也应存在,因为它的存在也使周围空间内的场发生畸变。其次,十分显然,在物体任何一点处的能量密度,只能依赖于该点处实际存在的场,而与物体不存在时的场无关。

如果外电场 \mathbf{E} 是均匀的,则

$$\delta\mathcal{F} = -\delta\mathcal{E} \int \mathbf{P} dV = -\mathcal{P} \delta\mathcal{E}, \quad (11.4)$$

式中 \mathcal{P} 是物体的总电偶极矩。因此,在现在的情况下,自由能的热力学恒等式可以写为

$$d\mathcal{F} = -\mathcal{S} dT - \mathcal{P} d\mathcal{E}. \quad (11.5)$$

所以,对总自由能取微分,就得到物体的总电偶极矩:

$$\mathcal{P} = -\left(\frac{\partial \mathcal{F}}{\partial \mathcal{E}}\right)_T. \quad (11.6)$$

我們注意到,上面的式子也可以从普通的统计力学公式:

$$\frac{\partial \overline{\hat{\mathcal{H}}}}{\partial \lambda} = \left(\frac{\partial \mathcal{F}}{\partial \lambda}\right)_T$$

直接得到,式中 $\hat{\mathcal{H}}$ 是組成物体的粒子系统的哈密顿函数,而 λ 是描写物体外界条件的某一参量^①。在均匀外电场 \mathcal{E} 内的物体,哈密顿函数包含 $-\mathcal{E}\hat{\mathcal{P}}$ 的一项,其中 $\hat{\mathcal{P}}$ 是偶极矩的算符,选择 \mathcal{E} 作为参量 λ ,我们就得到所求的公式。

如果 D 和 E 的关系是线性的,即 $D = sE$,那末由相似的方式,不但可以显式地算出变化 $\delta \mathcal{F}$,而且也可以算出 \mathcal{F} 本身。于是我們得到

$$\mathcal{F} - \mathcal{F}_0 = \int \frac{\mathbf{E} \cdot \mathbf{D} - \mathcal{E}^2}{8\pi} dV.$$

这个式子恒可以改写成下面的形式:

$$\mathcal{F} - \mathcal{F}_0 = \frac{1}{8\pi} \int (\mathbf{E} + \mathcal{E})(\mathbf{D} - \mathcal{E}) dV - \frac{1}{8\pi} \int \mathcal{E}(\mathbf{D} - \mathbf{E}) dV.$$

令等式右边第一项内的 $\mathbf{E} + \mathcal{E} = -\text{grad}(\varphi + \varphi_0)$,并进行和上面完全相同的变换,可以证明,等式右边第一项等于零。因此,我們得到

$$\mathcal{F} - \mathcal{F}_0(V, T) = -\int \frac{\mathcal{E} \mathcal{P}}{2} dV. \quad (11.7)$$

特别是在均匀的外电场内,

$$\mathcal{F} - \mathcal{F}_0(V, T) = -\frac{1}{2} \mathcal{E} \mathcal{P}. \quad (11.8)$$

对关系式(11.3)直接进行积分,也可以得到上面的等式,只要注意到,由于全部场方程是线性的(当 $D = sE$),因而电偶极矩 \mathcal{P}

^① 参阅“统计物理学”第三版, §§11, 15。

也必须是 \mathcal{E} 的线性函数。

\mathcal{D} 和 \mathcal{E} 的分量间的线性关系, 可以写成下面的形式:

$$\mathcal{D}_i = V \alpha_{ik} \mathcal{E}_k, \quad (11.9)$$

如同我们对导体所进行过的一样 (§ 2)。但是, 与导体不同的是, 介电物体的“极化率”不但与它的形状有关, 而且也与它的介电常数有关。从关系式(11.6)可以直接得出张量 α_{ik} 的对称性 (§ 2 中已提到过的); 只要注意到二阶导数

$$\frac{\partial^2 \mathcal{F}}{\partial \mathcal{E}_k \partial \mathcal{E}_i} = -\frac{\partial \mathcal{D}_i}{\partial \mathcal{E}_k} = -V \alpha_{ik}$$

和取微分的顺序无关。

(11.7)式还可以在一种重要的情况下进一步简化, 即当 ϵ 近于 1, 也就是介电常数 $\kappa = (\epsilon - 1)/4\pi$ 很小。在这种情况下, 计算能量时可以略去由介电体的出现所引起的场畸变, 即可令

$$\mathbf{P} = \kappa \mathbf{E} \cong \kappa \mathcal{E}.$$

于是

$$\mathcal{F} - \mathcal{F}_0 = -\frac{\kappa}{2} \int \mathcal{E}^2 dV, \quad (11.10)$$

式中积分对介电物体的体积进行。在均匀电场内, 偶极矩 $\mathcal{D} = V \kappa \mathcal{E}$, 而自由能为

$$\mathcal{F} - \mathcal{F}_0 = -\frac{\kappa V}{2} \mathcal{E}^2. \quad (11.11)$$

在 \mathbf{D} 对 \mathbf{E} 为任意关系的普遍情况下, 不能得到(11.7)和(11.8)的简单式子。于是, 为了算出 \mathcal{F} , 可利用下面的公式:

$$\mathcal{F} = \int \left(F - \frac{\mathcal{E}^2}{8\pi} \right) dV = \int \left(F - \frac{\mathbf{E} \cdot \mathbf{D}}{8\pi} - \frac{1}{2} \mathbf{P} \cdot \mathcal{E} \right) dV, \quad (11.12)$$

这个式子的推导, 在进行了上面的计算以后, 已很明显。在这里, 被积式(在后一积分内的)在介电物体外变为零, 于是只对介电物体的体积进行积分。

例 題

如果物体不是在真空內，而是在介电常数为 $\epsilon^{(0)}$ 的媒质內，試求代替 (11.7) 的公式。

解. 为此重复正文內的变换，我們得到

$$\mathcal{F} - \mathcal{F}_0 = -\frac{1}{8\pi} \int \mathcal{E}(\mathbf{D} - \epsilon^{(0)}\mathbf{E}) dV.$$

§ 12. 各向同性电介质的电致伸縮

对于电場內的固体电介质，不能像对电場不存在时的各向同性物体那样，引入压强的概念，因为这时作用在物体上的力（将在 §§15、16 中求出这些力）沿物体而变化，因而是各向异性的，即使物体本身是各向同性的。要精确求出这种物体的形变（称为电致伸縮），必須解彈性理論的复杂問題。

但是，如果我們只对物体的总体积变化感到兴趣，那末情况可以大为簡化。如在 § 5 中指出的，在这种情况下，可以假定物体的形状不变，也就是把物体的形变看成是均匀的各向压縮或伸展。

我們將忽略物体周圍外部媒质（例如大气）的介电性质，也就是假定媒质的介电常数 $\epsilon = 1$ 。媒质的作用只是在物体表面产生均匀的压强。下面我們用 p 表示这种外压强。如果 \mathcal{F} 是物体的总自由能，那末按照熟知的热力学关系式，

$$p = -\left(\frac{\partial \mathcal{F}}{\partial V}\right)_T,$$

相应地，在 $d\mathcal{F}$ 的微分式中必須加入一項 $-pdV$ 。于是，在均匀的外电場內，代替 (11.5) 式，我們有

$$d\mathcal{F} = -\mathcal{S}dT - pdV - \mathcal{P}d\mathcal{E}.$$

按照通常的热力学定义，引入物体的总热力学势：

$$\mathcal{P} = \mathcal{F} + pV. \quad (12.1)$$

对这个量求微分(在均匀外电场内), 得到关系式:

$$d\mathcal{P} = -\mathcal{P}dT + Vdp - \mathcal{P}d\mathcal{E}. \quad (12.2)$$

热力学量在外电场内的改变通常是一个非常微小的数值。大家知道^①, 自由能的微小变化(T 和 V 保持给定)和热力学势的微小变化(T 和 p 保持给定)彼此相等。因此, 除了(11.8)式, 对于均匀外电场内的物体的热力学势, 我们可以写出类似的关系式:

$$\mathcal{P} = \mathcal{P}_0 - \frac{1}{2}\mathcal{E}\mathcal{P}, \quad (12.3)$$

式中 \mathcal{P}_0 是指 p, T 保持给定和电场不存在时的物体而言[而(11.8)式的 \mathcal{P}_0 是 V 和 T 保持给定值和电场不存在时的物体的自由能]。

按照(11.9)式, 将偶极矩对 V 和 \mathcal{E} 的关系表为显式形式, 于是我们可以把(12.3)改写成:

$$\mathcal{P} = \mathcal{P}_0(p, T) - \frac{1}{2}V\alpha_{ik}\mathcal{E}_i\mathcal{E}_k, \quad (12.4)$$

按照场不存在时的物体的状态方程, 改正项必须表示为温度和压强的函数。特别是在物质的介电常数很小的情况下, 这个式子可以简化为:

$$\mathcal{P} = \mathcal{P}_0(p, T) - \frac{\kappa V}{2}\mathcal{E}^2 \quad (12.5)$$

(参看(11.11)式)。

现在直接将 \mathcal{P} 对压强求微分(T 和 \mathcal{E} 保持不变), 就得到所求的外电场内的体积变化: $V - V_0$ 。例如, 从(12.5)式, 我们得到

$$V - V_0 = -\frac{\mathcal{E}^2}{2} \left(\frac{\partial(\kappa V)}{\partial p} \right)_T, \quad (12.6)$$

这个量可以是正的, 也可以是负的(与导体的电致伸缩相反, 导体的体积在电场内总是增加的)。

用类似方式, 还可以算出等温地加上外电场时电介质所吸收

^① 参阅“统计物理学”第三版, § 15, 1951年。

的热量 Q (同时外压强保持不变)①。

将 $\mathcal{P} - \mathcal{P}_0$ 对温度求微分, 给出物体的熵变化, 再乘上 T 后, 就得到所求的热量。例如, 从(12.5)式, 得到

$$Q = \frac{\mathcal{E}^2 T}{2} \left(\frac{\partial(\kappa V)}{\partial T} \right)_p, \quad (12.7)$$

Q 为正值相应于吸收热量。

例 題

1. 試求均匀电场內介电椭球的体积变化和电热效应, 設电场方向与椭球的一軸平行。

解. 按照公式(12.3)和(8.9), 我們有

$$\mathcal{P} = \mathcal{P}_0 - \frac{V}{8\pi} \frac{\varepsilon - 1}{n\varepsilon + 1 - n} \mathcal{E}^2.$$

于是我們求得体积变化为

$$\frac{V - V_0}{V} = \frac{\mathcal{E}^2}{8\pi} \left[\frac{\varepsilon - 1}{n\varepsilon + 1 - n} \frac{1}{K} - \frac{1}{(n\varepsilon + 1 - n)^2} \left(\frac{\partial \varepsilon}{\partial p} \right)_T \right],$$

而电热效应为

$$Q = \frac{TV\mathcal{E}^2}{8\pi} \left[\frac{\varepsilon - 1}{n\varepsilon + 1 - n} \alpha + \frac{1}{(n\varepsilon + 1 - n)^2} \left(\frac{\partial \varepsilon}{\partial T} \right)_p \right],$$

式中 $\frac{1}{K} = -\frac{1}{V} \left(\frac{\partial V}{\partial p} \right)_T$ 为物体的压缩系数, 而 $\alpha = \frac{1}{V} \left(\frac{\partial V}{\partial T} \right)_p$ 为热膨胀系数。

特别是对垂直于电场的平行平板, $n=1$, 于是

$$\frac{V - V_0}{V} = \frac{\mathcal{E}^2}{8\pi} \left[\frac{\varepsilon - 1}{\varepsilon} \frac{1}{K} - \frac{1}{\varepsilon^2} \left(\frac{\partial \varepsilon}{\partial p} \right)_T \right],$$

$$Q = \frac{TV\mathcal{E}^2}{8\pi} \left[\frac{\varepsilon - 1}{\varepsilon} \alpha + \frac{1}{\varepsilon^2} \left(\frac{\partial \varepsilon}{\partial T} \right)_p \right].$$

对纵向場內的平行平板(或任何柱体), $n=0$, 于是

$$\frac{V - V_0}{V} = \frac{\mathcal{E}^2}{8\pi} \left[\frac{(\varepsilon - 1)}{K} - \left(\frac{\partial \varepsilon}{\partial p} \right)_T \right],$$

① 如果物体是被热絕緣的, 那末加上电场后引起温度改变, 这改变等于 $\Delta T = -\frac{Q}{C_p}$, 式中 C_p 是压强 p 不变时物体的热容量。

$$Q = \frac{TV\mathcal{E}^2}{8\pi} \left[(\varepsilon - 1)\alpha + \left(\frac{\partial \varepsilon}{\partial T} \right)_p \right].$$

2. 設有平行平板垂直于電場，試求兩板間的电勢差保持不變时的热容量 \mathcal{C}_φ 与感应强度保持不變时的热容量 \mathcal{C}_D 之差，在两种情况下，外压强都保持不變①。

解. 根据例題 1 的結果，平行平板的熵为

$$\begin{aligned} \mathcal{S} &= - \left(\frac{\partial \mathcal{S}}{\partial T} \right)_{p, \mathcal{E}} \\ &= \mathcal{S}_0(p, T) + \frac{V\mathcal{E}^2}{8\pi} \left[\frac{\varepsilon - 1}{\varepsilon} \alpha + \frac{1}{\varepsilon^2} \left(\frac{\partial \varepsilon}{\partial T} \right)_p \right]. \end{aligned}$$

板內的場感应强度和外電場相等： $D = \mathcal{E}$ 。因此，要計算热容量 \mathcal{C}_D ，必須保持 \mathcal{E} 不變而对 \mathcal{S} 求微分。平行平板兩面間的电勢差为 $\varphi = El = \frac{\mathcal{E}l}{\varepsilon}$ ，其中 l 是板的厚度。当物体受到均匀压缩或均匀膨胀时， l 与 $V^{\frac{1}{3}}$ 成比例地改变。因此，要計算热容量 \mathcal{C}_φ ，必須保持乘积 $\frac{\mathcal{E}V^{\frac{1}{3}}}{\varepsilon}$ 不變而对 \mathcal{S} 求微分。于是求得热容量之差为

$$\begin{aligned} \mathcal{C}_\varphi - \mathcal{C}_D &= \frac{TV\mathcal{E}^2}{4\pi\varepsilon} \left[(\varepsilon - 1)\alpha + \frac{1}{\varepsilon} \left(\frac{\partial \varepsilon}{\partial T} \right)_p \right] \times \\ &\quad \times \left[\frac{1}{\varepsilon} \left(\frac{\partial \varepsilon}{\partial T} \right)_p - \frac{\alpha}{3} \right]. \end{aligned}$$

3. 試求均匀电介质內的电热效应，电介质的总体积保持不變。

解. 严格說来；在加上外電場后，物体的密度发生变化（沿物体变成不均匀的），即使物体的总体积保持不變。但是在計算总熵的变化时可以忽略这种情况，而把物体每一点处的密度 ρ 看成不變②。

按照(10.17)式，物体的总熵为

$$\mathcal{S} = \mathcal{S}_0(\rho, T) + \frac{1}{8\pi} \left(\frac{\partial \varepsilon}{\partial T} \right)_\rho \int E^2 dV,$$

① \mathcal{C}_φ 是平面电容器兩板間的薄板的热容量，电容器接在有恒定电动势的电路內。在开路的电容器內，兩板上的电荷不變，于是薄板的热容量为 \mathcal{C}_D 。

② 密度变化 $\delta\rho$ 是電場的二次量 ($\sim E^2$)，而場引起的总熵变化是四次量。实际上，总熵的线性变化（对 $\delta\rho$ 來說）是 $\frac{\delta S_0}{\partial \rho} \int \delta\rho dV$ ，但由于物体的总质量不變，积分

$$\int \delta\rho dV = 0$$

式中的积分对物体的全部体积进行。吸收的热量为

$$Q = \frac{T}{8\pi} \left(\frac{\partial \epsilon}{\partial T} \right)_p \int E^2 dV.$$

4. 試求平行平板的总体积不变时的 $\mathcal{E}_\varphi - \mathcal{E}_D$ 之差(參看例題 2)。

解. 若板的总体积(因而厚度)不变, 則电势差不变时的微分等价于电场强度 E 不变时的微分。利用例題 3 所求得的熵的公式, 我們得到

$$\mathcal{E}_E - \mathcal{E}_D = \frac{TVE^2}{4\pi\epsilon} \left(\frac{\partial \epsilon}{\partial T} \right)_p.$$

5. 設电容器由相距 h 的两导电面构成, h 小于电容器板的綫度; 电容器两板間的空间內充滿介电常数为 ϵ_1 的物质。設在电容器內放入半徑为 $a \ll h$ 、介电常数为 ϵ_2 的小球。試求电容器电容的改变。

解. 設小球放入电容器后, 电容器两板間的电势差 φ 仍保持不变。当导体的电势不变时, $\tilde{\mathcal{F}}$ 起着自由能的作用。在沒有小球时, $\tilde{\mathcal{F}} = -\frac{C_0\varphi^2}{2}$, 其中 C_0 是电容器原来的电容。由于小球的体积很小, 可以假定小球系放在强度为 $\mathcal{E} = \frac{\varphi}{h}$ 的均匀电场內, 而 $\tilde{\mathcal{F}}$ 的改变很小。当电势不变时 $\tilde{\mathcal{F}}$ 的微小变化等于場源的电荷不变时 $\tilde{\mathcal{F}}$ 的微小变化。利用 § 11 內例題中所得到的公式和 (8. 2) 式, 我們得到

$$\tilde{\mathcal{F}} = -\frac{C_0\varphi^2}{2} - \frac{a^3 \epsilon^{(0)} (\epsilon^{(1)} - \epsilon^{(0)}) \varphi^2}{2(2\epsilon^{(0)} + \epsilon^{(1)}) h^2},$$

由此求得电容为

$$C = C_0 + \frac{a^3 \epsilon^{(0)} (\epsilon^{(1)} - \epsilon^{(0)})}{h^2 (2\epsilon^{(0)} + \epsilon^{(1)})}.$$

§ 13. 晶体的介电性质

在各向异性的介电媒质(单晶体)內, 感应强度和电场强度之間的綫性关系具有更复杂的形式, 这时不能化为简单的比例关系。

这种相依关系的最普遍形式, 由下列表达式給出:

$$D_i = D_{0i} + \epsilon_{ik} E_k, \quad (13. 1)$$

式中 D_0 是恒定矢量, 而全部的 ϵ_{ik} 量构成一个二秩張量——介电常数張量(或者更简单地說, 介电張量)。但是关系式(13. 1)內的

自由項 D_0 并不是在任何晶体內都存在。大多数的晶軸对称类型不容許存在恒定矢量(参閱下面), 于是简单地有

$$D_i = \varepsilon_{ik} E_k. \quad (13.2)$$

張量 ε_{ik} 是对称的:

$$\varepsilon_{ik} = \varepsilon_{ki}. \quad (13.3)$$

要证明这一点, 只要利用热力学关系式(10.10)就足够了, 并注意二阶导数

$$-4\pi \frac{\partial^2 \tilde{F}}{\partial E_k \partial E_i} = \frac{\partial D_i}{\partial E_k} = \varepsilon_{ik}$$

和求微分的次序无关。

对于量 \tilde{F} 本身, 我們得到表达式(在滿足(13.2)式下)为

$$\tilde{F} = F_0 - \frac{\varepsilon_{ik} E_i E_k}{8\pi}. \quad (13.4)$$

自由能 F 等于

$$F = \tilde{F} + \frac{E_i D_i}{4\pi} = F_0 + \frac{\varepsilon_{ik}^{-1} D_i D_k}{8\pi}. \quad (13.5)$$

和任何二秩的对称張量一样, 由适当选择坐标軸, 可以把張量 ε_{ik} 化成对角綫形式。因此, 在普遍情况下, 張量 ε_{ik} 由三个独立量, 即三个主值 $\varepsilon^{(1)}$ 、 $\varepsilon^{(2)}$ 、 $\varepsilon^{(3)}$ 决定。这些量永远大于 1, 如同在各向同性的物体中 $\varepsilon > 1$ 一样(参閱 § 14)。

根据晶体对称性的不同, 張量 ε_{ik} 的主值数目也可以小于三个^①。

在三斜系、单斜系和菱形系的晶体中, 这三个主值各不相同。这种晶体称为双軸晶体^②。这时, 在三斜系晶体內, 張量 ε_{ik} 的主

① 利用張量代数中一个熟知的結果, 即任何二秩的对称張量相应于一个所謂“張量橢球”(其半軸长度与張量主值成比例), 于是我們可以特別简单地得到下面所描述的張量 ε_{ik} 的明显的对称性质。这时橢球的对称性必須相应于晶体的对称性。

② 这个名詞和晶体的光学性质有关——参閱 §§ 78, 79。

轴方向和任何结晶学方向的关系都不是单值的。在单斜系晶体內，有一个主轴的方向是预先规定的，即它必须和二次的对称轴相合或者垂直于晶体的对称平面。在菱形系晶体內，张量 ϵ_{ik} 的三个主轴在晶向上都是固定的。

其次，在正方系、菱面系和六角形系晶体內，三个主值中有二个相等，于是总共只有两个独立量，这样的晶体称为单轴晶体。这时主轴中有一个主轴和四次、三次或六次的对称晶轴相合，而其他两个主轴方向可以任意选择^①。

最后，在立方系晶体內，张量 ϵ_{ik} 的三个主值相同，而主轴方向完全是任意的^②。这表明，张量 ϵ_{ik} 的形式为 $\epsilon \delta_{ik}$ ，也就是由一个标量 ϵ 来决定。换句话说，就介电性质来说，立方对称晶体和各个向同性物体没有差别。

现在我们讨论(13.1)式中 D_0 项为常数的晶体的介电性质的特征。这一项的存在表明，电介质在没有外加电场时也会自发地极化；这种晶体称为热电晶体。但是，这种自发极化的数值实际上常常是很小的（与分子场比较），这一情况是由于大的 D_0 值将导致晶体內存在强电场，而这在能量上说是很不利的，因而和热力学平衡不相对应。 D_0 很小时同时也保证了将 D 展开为 E 的幂级数的合理性，而展开式的头二项也就是(13.1)式。

对关系式

$$-4\pi \frac{\partial \tilde{F}}{\partial E_i} = D_i = D_{0i} + \epsilon_{ik} E_k$$

进行积分，可以求得热电晶体的热力学量。由此得到

① 张量椭球在这种情况下退化为迴轉椭球，它对横轴是完全对称的。应该着重指出，对于由二阶对称张量决定的晶体的物理性质，三次对称轴的存在，等效于垂直于这轴的平面內的完全各向同性。

② 在这里张量椭球退化为球。

$$\tilde{F} = F_0 - \frac{\varepsilon_{ik} E_i E_k}{8\pi} - \frac{1}{4\pi} E_i D_{0i}, \quad (13.6)$$

于是自由能为

$$\begin{aligned} F &= \tilde{F} + \frac{E_i D_i}{4\pi} = F_0 + \frac{\varepsilon_{ik} E_i E_k}{8\pi} = \\ &= F_0 + \frac{1}{8\pi} \varepsilon_{ik}^{-1} (D_i - D_{0i}) (D_k - D_{0k}). \end{aligned} \quad (13.7)$$

应注意的是, \tilde{F} 内的 E_i 的线性项已从 F 内消去^①。

将(13.7)和(13.1)式代入(11.12)式, 可以求得热电体的总自由能。在沒有外加电场的情况下, $\mathcal{E} = 0$, 于是得到简单的结果为

$$F = \int \left(F_0 - \frac{\mathbf{E} \mathbf{D}_0}{8\pi} \right) dV. \quad (13.8)$$

值得注意的是, 沒有外加电场时, 热电体的自由能 (和电场 \mathbf{E} 一样), 不但依赖于它的体积, 而且也依赖于它的形状。

如上面所指出的, 并不是晶体的任何对称性都有热电现象。因为在任何对称变换中, 晶体的全部性质必须保持不变, 因此, 十分显然, 只有晶体內有一个方向在所有对称变换中都保持不变 (其中也包括不改变为反方向) 的晶体, 才是热电晶体; 在这方向上有一个恒定矢量 \mathbf{D}_0 。

只有由一个轴和通过该轴的对称平面所组成的对称群才满足这一条件。特别是具有对称中心的晶体, 明显地不可能是热电体。我们现在从 32 种晶类中, 列举出那些存在热电性质的晶类:

三斜系: C_1 ,

单斜系: C_s, C_2 ,

菱形系: C_{2v} ,

^① 应该指出, 在这些式子中, 我們实际上略去了压电效应 (也就是内应力对物体电性的影响参阅 § 17), 因此, 严格说来, 这些公式只能应用于物体內不存在应力并且物体的全部体积內电场为均匀的情况)。

正方系: C_4, C_{4v}

菱面系: C_3, C_{3v}

六角系: C_6, C_{6v}

在立方系中, 不言而喻, 一般不存在热电晶体。在 C_1 类晶体中, 热电矢量 D_0 的方向和任何固定的晶向无关, 而在 C_s 类的晶体中, 热电矢量 D_0 的方向必须在对称平面内。在上面所列举的其余晶类中, D_0 的方向和对称轴的方向重合。

应该指出, 在通常的条件下, 热电晶体没有总电偶极矩, 虽然晶体中的极化并不等于零。问题在于在自发极化的电介质内有不为零的电场强度 E 。实际上, 晶体样品通常都具有某种很小但不为零的电导率, 由于这一原因, 电场的存在将引起电流, 这种电流一直维持到晶体面上生成的自由电荷使晶体样品内的电场消失为止。在该方向上有从空气中淀积在样品表面的离子。实验上, 对晶体进行加热以使晶体的自发极化数值发生变化, 并且能观察到这种变化时, 我们就能观察到晶体的热电性质。

例 题

1. 试求热电球体在真空内所产生的电场。

解. 在球内存在均匀电场, 电场强度和感应强度的关系为 $2E = -D$ [如同从(8.1)式当 $\mathcal{C} = 0$, 即没有外加电场时所得到的那样]。把这关系代入(13.1)式, 我们得到方程:

$$2E_i + \varepsilon_{ik} E_k = -D_{0i}$$

选择坐标轴为张量 ε_{ik} 的主轴。于是从这式子得到

$$E_i = -\frac{D_{0i}}{2 + \varepsilon^{(i)}}$$

球的极化为

$$P_i = \frac{D_i - E_i}{4\pi} = \frac{3D_{0i}}{4\pi(2 + \varepsilon^{(i)})}$$

球外的场为电矩为 $\mathcal{D} = PV$ 的电偶极子所产生的场。

2. 試求各向异性的均匀媒质内点电荷所产生的場①。

解. 描写点电荷电場的方程为 $\text{div} \mathbf{D} = 4\pi e \delta(\mathbf{r})$ (点电荷在坐标原点处)。

在各向异性媒质内, $D_i = \varepsilon_{ik} E_k = \varepsilon_{ik} \frac{\partial \varphi}{\partial x_k}$; 选择張量 ε_{ik} 的主軸为 x, y, z 軸,

于是得到电势方程为

$$\begin{aligned} \varepsilon^{(x)} \frac{\partial^2 \varphi}{\partial x^2} + \varepsilon^{(y)} \frac{\partial^2 \varphi}{\partial y^2} + \varepsilon^{(z)} \frac{\partial^2 \varphi}{\partial z^2} &= \\ &= -4\pi e \delta(x) \delta(y) \delta(z). \end{aligned}$$

按照下式引进新变数:

$$x = x' \sqrt{\varepsilon^{(x)}}, \quad y = y' \sqrt{\varepsilon^{(y)}}, \quad z = z' \sqrt{\varepsilon^{(z)}}. \quad (1)$$

于是电势方程变为

$$\begin{aligned} \frac{\partial^2 \varphi}{\partial x'^2} + \frac{\partial^2 \varphi}{\partial y'^2} + \frac{\partial^2 \varphi}{\partial z'^2} &= \\ &= -\frac{4\pi e}{\sqrt{\varepsilon^{(x)} \varepsilon^{(y)} \varepsilon^{(z)}}} \delta(x') \delta(y') \delta(z'), \end{aligned}$$

它在形式上和真空内的場方程的区别只是用 $\frac{e}{\sqrt{\varepsilon^{(x)} \varepsilon^{(y)} \varepsilon^{(z)}}}$ 代替了 e 。因此,

$$\varphi = \frac{e'}{r'} = \frac{e}{\sqrt{\varepsilon^{(x)} \varepsilon^{(y)} \varepsilon^{(z)}}} \left[\frac{x^2}{\varepsilon^{(x)}} + \frac{y^2}{\varepsilon^{(y)}} + \frac{z^2}{\varepsilon^{(z)}} \right]^{-\frac{1}{2}}.$$

采用張量符号, 不依赖于坐标系的选择, 我們有

$$\varphi = \frac{e}{\sqrt{|\varepsilon| \varepsilon_{ik}^{-1} x_i x_k}},$$

式中 $|\varepsilon|$ 是張量 ε_{ik} 的行列式。

3. 試求各向异性的介电媒质内导电球(半径为 a)的电容。

解. 利用前題内所指出的变换, 求出电荷为 e 的导体球在各向异性媒质内所产生的电場, 归结为求出分布于椭球面上的电荷 e' 在真空内所产生的电場:

$$\varepsilon_{ik} x'_i x'_k = \varepsilon^{(x)} x'^2 + \varepsilon^{(y)} y'^2 + \varepsilon^{(z)} z'^2 = a^2.$$

利用椭球的場势公式(4.14), 求得所求的电容为

$$\frac{1}{C} = \frac{1}{2\sqrt{\varepsilon^{(x)} \varepsilon^{(y)} \varepsilon^{(z)}}} \int_0^\infty \left[\left(\xi + \frac{a^2}{\varepsilon^{(x)}} \right) \left(\xi + \frac{a^2}{\varepsilon^{(y)}} \right) \left(\xi + \frac{a^2}{\varepsilon^{(z)}} \right) \right]^{-\frac{1}{2}} d\xi.$$

① 在 2—5 題中, 假定各向异性的介电媒质不是热电性质的。

4. 試求均匀外电场 \mathcal{E} 内的各向异性平行平板内的电场。

解. 从电场强度切向分量的連續性条件得出

$$\mathbf{E} = \mathcal{E} + A\mathbf{n},$$

式中 \mathbf{E} 是板内的均匀电场强度, \mathbf{n} 是与板面垂直的单位矢量, 而 A 是常数. 后者由感应强度的法向分量为連續的条件求出: $\mathbf{nD} = \mathbf{n}\mathcal{E}$, 或 $n_i \varepsilon_{ik} E_k = n_i \varepsilon_{ik} \mathcal{E}_k + A \varepsilon_{ik} n_i n_k = \mathcal{E}_i n_i$, 由此得到

$$A = - \frac{(\varepsilon_{ik} - \delta_{ik}) n_i \mathcal{E}_k}{\varepsilon_{lm} n_l n_m}.$$

5. 試求均匀外电场 \mathcal{E} 内(真空内)的各向异性介电球所受到的力矩。

解. 按照(8.2)式, 得到球内的电场强度为

$$E_x = \frac{3}{\varepsilon^{(x)} + 2} \mathcal{E}_x$$

(E_y, E_z 有相似的式子), 同时选择張量 ε_{ik} 的主軸为 x, y, z 軸. 由此得到球(半徑 a)的偶极矩分量为

$$\mathcal{P}_x = \frac{4\pi}{3} a^3 P_x = \frac{\varepsilon^{(x)} - 1}{\varepsilon^{(x)} + 2} a^3 \mathcal{E}_x.$$

于是, 作用于球上的力矩的分量为

$$K_z = [\mathcal{P} \mathcal{E}]_z = 3a^3 \mathcal{E}_x \mathcal{E}_y \frac{\varepsilon^{(x)} - \varepsilon^{(y)}}{(\varepsilon^{(x)} + 2)(\varepsilon^{(y)} + 2)},$$

K_x 和 K_y 有相似的式子。

6. 設在无限的各向异性媒质内有一球形空腔. 試用媒质内离球腔很远处的均匀电场 $E^{(0)}$ 表示出球腔内的电场。

解. 由例題 2 内的变换式(1), 媒质内的場势方程可以化为真空内电场的拉普拉斯方程. 相反地, 球腔内的場势方程可以化为介电常数为 $\frac{1}{\varepsilon^{(x)}}$,

$\frac{1}{\varepsilon^{(y)}}$, $\frac{1}{\varepsilon^{(z)}}$ 的媒质内的場势方程. 此外, 球(半徑 a) 变成半軸为 $\frac{a}{\sqrt{\varepsilon^{(x)}}}$,

$\frac{a}{\sqrt{\varepsilon^{(y)}}}$, $\frac{a}{\sqrt{\varepsilon^{(z)}}}$ 的橢球. 設 $n^{(x)}, n^{(y)}, n^{(z)}$ 为橢球的退极化系数 [从(4.25)

式得出]. 将(8.7)式应用到这橢球的場上, 我們得到关系式为

$$(1 - n^{(x)}) \frac{\partial \varphi^{(i)}}{\partial x'} + \frac{n^{(x)}}{\varepsilon^{(x)}} \frac{\partial \varphi^{(i)}}{\partial x'} = \frac{\partial \varphi^{(0)}}{\partial x'}$$

(在 y' 和 z' 軸上有相似的关系式). 現在化回到原来的坐标, 得

$$\frac{\partial \varphi}{\partial x'} = \frac{\partial \varphi}{\partial x} \sqrt{\varepsilon^{(x)}} = E_x \sqrt{\varepsilon^{(x)}},$$

于是, 对于球腔内的场, 最后得到

$$E_x^{(i)} = \frac{\varepsilon^{(x)}}{\varepsilon^{(x)} - n^{(x)}(\varepsilon^{(x)} - 1)} E_x^{(e)}.$$

§ 14. 介电常数的正值性

为了阐明电场内电介质的热力学量对介电常数的依赖关系, 我们现在来研究一个形式问题, 就是当 ε 发生无穷小变化时, 物体总自由能内的电能部分如何变化。

对于各向同性的电介质 (但不一定是均匀的), 按照 (10. 19) 式, 有

$$\mathcal{F} - \mathcal{F}_0 = \int \frac{D^2}{8\pi\varepsilon} dV.$$

当 ε 变化时, 电场感应强度也发生变化。因此, 所研究的自由能的变化等于

$$\begin{aligned} \delta\mathcal{F} &= \int \frac{\mathbf{D}\delta\mathbf{D}}{4\pi\varepsilon} dV - \int \frac{D^2}{8\pi\varepsilon^2} \delta\varepsilon dV = \\ &= \int \frac{\mathbf{E}\delta\mathbf{D}}{4\pi} dV - \int \frac{E^2}{8\pi} \delta\varepsilon dV. \end{aligned}$$

等式右边第一项, 和场源 (导体的电荷) 发生无穷小变化时所完成的功的表达式 (10. 2) 相同。但是, 在现在的情况下, 我们所研究的是场源不变时的场变化; 因此, 这一项变为零, 于是我们得到

$$\delta\mathcal{F} = - \int \delta\varepsilon \frac{E^2}{8\pi} dV. \quad (14. 1)$$

从这个公式首先可得出下面一个重要结果: 媒质的介电常数的任何增加, 即使只在媒质的某一部分内 (场源保持不变), 也会使媒质的总自由能减小。特别是可以断言, 未带电的导体移到介电媒质内时, 自由能总是减少, 因为可以把导体看作 (在静电学中) ε

为无限大的物体。这种論断推广了 § 2 中所提出的一个定理: 将不带电的导体移到真空内时, 使真空内的静电場能量减小。

另一方面, 利用(14. 1)式, 可以证明 § 7 所提到的一种情况, 即任何物体的介电常数都大于 1 (也就是电极化率 $\frac{\epsilon-1}{4\pi}$ 是正的)。

为此, 必須首先单独证明: 当介电物体移到电場内时, 介电物体的自由能的总变化为負值^①。这利用热力学的扰动理論就能证明, 只要把物体自由能的变化看成是它的量子能級受到电場扰动的結果。按照这一理論, 我們得到^②

$$\begin{aligned} \mathcal{F} - \mathcal{F}_0 = \bar{V}_{nn} - \frac{1}{2} \sum_n \sum_m' \frac{|V_{nm}|^2 (w_m - w_n)}{E_n^{(0)} - E_m^{(0)}} - \\ - \frac{1}{2kT} (\overline{V_{nn}} - \bar{V}_{nn})^2. \end{aligned} \quad (14. 2)$$

式中 $E_n^{(0)}$ 是未受扰动的能級, V_{mn} 是扰动能的矩陣元, 而短划表示用吉布斯分布

$$w_n = \exp \left\{ \frac{\mathcal{F}_0 - E_n^{(0)}}{kT} \right\}$$

所得到的統計平均值。

(14. 2)式內的 \bar{V}_{nn} 項是場的綫性項, 只在热电体内才不为零。但我們所感兴趣的是对場为二次的自由能变化, 它由(14. 2)式中其余的項得出。从这里所写出的形式可以明显地看出: 它們是負的。

如果将自由能的变化形式地看作是物体的介电常数逐渐地从 1 变化至 ϵ 值的結果, 那末从(14. 1)式得出, 只当 $\epsilon > 1$ 时, $\mathcal{F} - \mathcal{F}_0$

① 所指的变化与場的平方成正比。但是要記住的是, 在热电体内, 自由能的变化也包含場的綫性項, 但在这里我們对这一項不感兴趣。

② 参阅“統計物理学”第三版, § 32, 公式(32.5)和(32.6); 上面写出的公式和这些式子的区别只是写法不同。

才是負的, 由此就证明了所作的論断。

由同样的方式可以证明, 对各向异性的介电媒质的張量 ϵ_{ik} 的主值, 有不等式 $\epsilon^{(i)} > 1$ 。为此, 十分明显, 只要研究三个主軸中每一主軸上的場能就够了。

特别是, 把某一电荷从无穷远处移到介电物体附近时, 使总自由能减少(这可以看成在电荷周圍的电場的某一区域内 ϵ 增加)。为了由此得出結論: 任何电荷都被吸向电介质, 严格地說来, 我們还必须认为: 在电荷与电介质間的有限距离內, F 不能达到极小值。我們在这里不去詳細证明这一論断, 因为在电荷和电介质之間所出現的吸力, 可以极其明显地看成是这电荷与由电荷所引起的极化电介质的偶极距相互作用的結果。

从(14.1)式可以直接得出, 在准均匀电場內(也即是在物体的全部体积內可視為不变的电場內)介电物体的运动方向。在这种情况下, E^2 可以从积分号下移出来, 而差值 $\mathcal{F} - \mathcal{F}_0$ 为負值, 并与 E^2 成正比。因而, 当介电物体趋向于占据自由能为极小值的位置时, 物体向 E 增加的方向移动。

§ 15. 液态电介质內的电力

計算任意的不均匀电場內电介质上所受的力(有时称为有质动力)的問題, 是相当复杂的, 并且对液体(或气体)和固体, 必須分別进行研究。我們首先来研究比較簡單的液体电介质的情况。

我們用 $\mathbf{f}dV$ 表示媒质的体积元 dV 所受的力; 矢量 \mathbf{f} 可以称为力的体密度。

大家知道, 作用在物体某有限体积上的力, 可以化为作用于該体积表面上的力^①。这一情况是动量守恒定律的結果。体积 dV

① 参閱“連續介质力学”第二版, 第二册, § 2。

内的物质所受到的力是单位时间内它的动量变化。这动量变化必须等于相同时间内经过表面进入体积内的动量。如果用 $-\sigma_{ik}$ 表示动量流张量, 则

$$\int f_i dV = \oint \sigma_{ik} df_k, \quad (15.1)$$

等式右边的积分对体积 V 的表面进行。张量 σ_{ik} 称为应力张量。显然地,

$$\sigma_{ik} df_k = \sigma_{ik} n_k df$$

是作用于面积元 df 上的力的 i 分量 (n 是表面法线方向的单位矢量, 指向体积外)。

相似地, 作用于该体积上的总力矩也可以化成面积分, 由此就保证了动量守恒定律得到满足。大家知道, 这样作所以可能是因为应力张量的对称性 ($\sigma_{ik} = \sigma_{ki}$); 由此可知, 后者正是动量矩守恒定律的表达式。

把(15.1)式的面积分变换为体积分, 我们得到

$$\int f_i dV = \int \frac{\partial \sigma_{ik}}{\partial x_k} dV,$$

由于积分的体积是任意的, 由此得到

$$f_i = \frac{\partial \sigma_{ik}}{\partial x_k}. \quad (15.2)$$

这是体积力用应力张量表示的熟知公式。

现在我们来计算应力张量。表面上的每一小段可以视为平面, 而物体的性质及其附近的电场, 也可以看成是均匀的。因此, 为了使推导简化, 但并不限制其普遍性, 我们来研究在任意方向的均匀电场内均匀物质(指成分、密度和温度而言)的平行平面层(层厚 h)^①。这个电场可以设想为由加在层面上具有相应电荷分布的

① 同时在应力张量内, 我们抛去了与温度梯度、电场等有关的项。但是这些项比起未包含导数的项, 无穷地小, 如同在 \mathbf{D} 与 \mathbf{E} 的关系中出现的含有导数的项很小一样。

导电平面所产生的。

仿照计算力的普遍方法，我們使其中一个导电面（“上面的”）受到一无穷小的虚平行位移 ξ ， ξ 的方向是任意的，不一定和法线 \mathbf{n} 的方向相合。我們假定导体的电势（在导体每一点处）在位移过程中保持不变，而由位移所引起的电介质层的均匀形变是等温的。

表面单位面积上所受到平行平面层的作用力为 $-\sigma_{ik}n_k$ 。在虚位移过程中，这个力所作的功为 $-\sigma_{ik}n_k\xi_i$ 。另一方面，导体发生等温形变和电势不变时所作的功，等于 $\int \tilde{F}dV$ 的减小，或者等于层单位表面积上的 $h\tilde{F}$ 的减小。于是

$$\sigma_{ik}\xi_i n_k = \delta(h\tilde{F}) = h\delta\tilde{F} + \tilde{F}\delta h. \quad (15.3)$$

液体的热力学量只与它的密度有关（保持温度和电场强度一定）；不改变密度的形变（位移形变）不会影响热力学状态。因此，我們得到液体内的等温变化 $\delta\tilde{F}$ 为

$$\begin{aligned} \delta\tilde{F} &= \left(\frac{\partial\tilde{F}}{\partial\mathbf{E}}\right)_{T,\rho} \delta\mathbf{E} + \left(\frac{\partial\tilde{F}}{\partial\rho}\right)_{\mathbf{E},T} \delta\rho = \\ &= -\frac{\mathbf{D}\delta\mathbf{E}}{4\pi} + \left(\frac{\partial\tilde{F}}{\partial\rho}\right)_{\mathbf{E},T} \delta\rho. \end{aligned} \quad (15.4)$$

物质层的密度变化与其厚度变化的关系式为 $\delta\rho = -\rho\frac{\delta h}{h}$ 。场的变化可计算如下。

設在位移时，有 $(\mathbf{r}-\mathbf{u})$ 点的物质落在空间（半径矢量为 \mathbf{r} ）的某一点处，这里 \mathbf{u} 为层体积内的质点的位移矢量。因为在我們所研究的条件下（均匀形变和导电面的电势不变），每一质点位移时都带有场势，因此，在空间的一给定点处场势的变化为

$$\delta\varphi = \varphi(\mathbf{r}-\mathbf{u}) - \varphi(\mathbf{r}) = -\mathbf{u}\nabla\varphi = \mathbf{u}\mathbf{E},$$

式中 \mathbf{E} 为未形变层内的均匀电场。但是由于形变是均匀的，我們有

$$\mathbf{u} = \frac{z}{h} \boldsymbol{\xi}, \quad (15.5)$$

式中 z 是至下面表面的距离。因此, 电场强度的变化为

$$\delta \mathbf{E} = -\frac{1}{h} \mathbf{n}(\mathbf{E}\boldsymbol{\xi}). \quad (15.6)$$

把上面得到的全部式子代入(15.4)式, 并考虑到 $\delta h = \xi_z = \boldsymbol{\xi} \mathbf{n}$, 我們得到

$$\begin{aligned} \sigma_{ik} \xi_i n_k &= \frac{1}{4\pi} (\mathbf{nD})(\boldsymbol{\xi}\mathbf{E}) - (\boldsymbol{\xi}\mathbf{n}) \rho \frac{\partial \tilde{F}}{\partial \rho} + (\boldsymbol{\xi}\mathbf{n}) \tilde{F} = \\ &= \left\{ \frac{E_i D_k}{4\pi} - \rho \frac{\partial \tilde{F}}{\partial \rho} \delta_{ik} + \tilde{F} \delta_{ik} \right\} \xi_i n_k. \end{aligned}$$

由此最后得到应力张量的表达式为

$$\sigma_{ik} = \left[\tilde{F} - \rho \left(\frac{\partial \tilde{F}}{\partial \rho} \right)_{\mathbf{E}, T} \right] \delta_{ik} + \frac{\dot{E}_i D_k}{4\pi}. \quad (15.7)$$

在各向同性媒质内(即本节研究的情况), \mathbf{E} 和 \mathbf{D} 的方向相合。因此, $E_i D_k = E_k D_i$, 张量(15.7)是对称的, 这正是当然的。

在 $\mathbf{D} = \varepsilon \mathbf{E}$ 的线性关系下, 我們有

$$\tilde{F} = F_0(\rho, T) - \frac{\varepsilon E^2}{8\pi} \quad (15.8)$$

[参看(10.16)]。 F_0 是电场不存在时物质单位体积内的自由能。按照熟知的热力学关系式, 一克物质的自由能对体积度的导数等于压强:

$$\left(\frac{\partial}{\partial \frac{1}{\rho}} \frac{F_0}{\rho} \right)_T = F_0 - \rho \left(\frac{\partial F_0}{\partial \rho} \right)_T = -p_0;$$

$p_0 = p_0(\rho, T)$ 是 ρ 和 T 值保持给定值和电场不存在时媒质内的压强。因此, 把(15.8)式代入(15.7)式后, 我們得到

$$\sigma_{ik} = -p_0(\rho, T) \delta_{ik} - \frac{E^2}{8\pi} \left[\varepsilon - \rho \left(\frac{\partial \varepsilon}{\partial \rho} \right)_T \right] \delta_{ik} + \frac{\varepsilon E_i E_k}{4\pi}. \quad (15.9)$$

在真空内, 这个式子变成大家所熟知的电场的麦克斯韦应力张

量①:

$$\sigma_{ik} = \frac{1}{4\pi} \left(E_i E_k - \frac{E^2}{2} \delta_{ik} \right).$$

两种互相接触的不同媒质作用于分界面上的力，必須大小相等，方向相反，即 $\sigma_{ik} n_k = -\sigma'_{ik} n'_k$ ，式中带撇的量和不带撇的量，分别属于两种媒质。法向矢量 \mathbf{n} 和 \mathbf{n}' 的方向相反，于是可以写成

$$\sigma_{ik} n_k = \sigma'_{ik} n'_k. \quad (15.10)$$

在两种各向同性媒质的交界面上，力的切向分量相等的条件恒被满足。实际上，把(15.7)式代入(15.10)式，并取出切向分量，我們得到

$$\mathbf{E}_t D_n = \mathbf{E}'_t D'_n.$$

但是，由于 \mathbf{E}_t 和 D_n 为連續的边界条件，这个等式已被满足。由力的法向分量相等的条件，可以得到加在两种媒质內的压强差上的非平庸条件。

例如，我們来研究液体和大气間的交界面（可以假定后者的 $\epsilon=1$ ）。我們用撇来标示大气中的量，并利用(15.9)式的 σ_{ik} ，我們得到

$$\begin{aligned} -p_0(\rho, T) + \frac{E^2}{8\pi} \rho \left(\frac{\partial \epsilon}{\partial \rho} \right)_T + \frac{\epsilon}{8\pi} (E_n^2 - E_t^2) = \\ = -p_{\text{vac}} + \frac{1}{8\pi} (E_n'^2 - E_t'^2). \end{aligned}$$

考虑到边界条件： $E_t = E'_t$ ， $D_n = \epsilon E_n = D'_n = E'_n$ ，可以将上述等式写成

$$\begin{aligned} p_0(\rho, T) - p_{\text{vac}} = \frac{\rho E^2}{8\pi} \left(\frac{\partial \epsilon}{\partial \rho} \right)_T - \\ - \frac{\epsilon - 1}{8\pi} (\epsilon E_n^2 + E_t^2). \end{aligned} \quad (15.11)$$

① 参阅“場論”，第二版，§ 32.

这个关系式必须理解为从液体内的电场强度来确定液面附近的液体密度 ρ 的式子。

现在我们来求出作用于介电媒质内的体积力, 按照(15.2)式, 对(15.9)式求微分, 我们得到

$$f_i = \frac{\partial}{\partial x_i} \left[-p_0 + \frac{E^2}{8\pi} \rho \left(\frac{\partial s}{\partial \rho} \right)_T \right] - \frac{E^2}{8\pi} \frac{\partial s}{\partial x_i} + \frac{1}{4\pi} \left[-\frac{s}{2} \frac{\partial}{\partial x_i} E^2 + \frac{\partial}{\partial x_k} (E_i D_k) \right].$$

考虑到方程 $\text{div } \mathbf{D} \equiv \frac{\partial D_k}{\partial x_k} = 0$, 最后一项括号内的表达式变为下列

二项之和:

$$-s E_k \frac{\partial E_k}{\partial x_i} + D_k \frac{\partial E_i}{\partial x_k} = -D_k \left(\frac{\partial E_k}{\partial x_i} - \frac{\partial E_i}{\partial x_k} \right),$$

但由于 $\text{rot } \mathbf{E} = 0$, 这个式子变为零。于是得到

$$\mathbf{f} = -\text{grad } p_0(\rho, T) + \frac{1}{8\pi} \text{grad} \left[E^2 \rho \left(\frac{\partial s}{\partial \rho} \right)_T \right] - \frac{E^2}{8\pi} \text{grad } s. \quad (15.12)$$

如果电介质内有体密度为 $\rho_{\text{外}}$ 的旁电荷, 那末, 在 \mathbf{f} 力上还必须加上一项 $\mathbf{E} \text{ div } \mathbf{D} / 4\pi$, 因为 $\text{div } \mathbf{D} = 4\pi \rho_{\text{外}}$, 因而这一项等于

$$\rho_{\text{外}} \mathbf{E}; \quad (15.13)$$

但是不能认为这一结果是不证自明的(参阅 § 16 例题 3)。

如在 § 7 中所提到的, 在气体中可假定 $s-1$ 之差与密度成正比。于是 $\rho \frac{\partial s}{\partial \rho} = s-1$, 而(15.12)式取更简单的形式:

$$\mathbf{f} = -\nabla p_0 + \frac{s-1}{8\pi} \text{grad } E^2. \quad (15.14)$$

无论是组分均匀的或非均匀的媒质, (15.12)式都适用。在非均匀媒质内, s 不仅是 ρ 和 T 的函数, 而且也是沿媒质而变化的混

合物浓度的函数。但在组分均匀的媒质内， ϵ 只是 ρ 和 T 的函数，而 $\text{grad } \epsilon$ 可以展开为

$$\nabla \epsilon = \left(\frac{\partial \epsilon}{\partial T} \right)_{\rho} \nabla T + \left(\frac{\partial \epsilon}{\partial \rho} \right)_{T} \nabla \rho.$$

于是(15.12)式取下列形式:

$$\mathbf{f} = -\nabla p_0(\rho, T) + \frac{\rho}{8\pi} \nabla \left[E^2 \left(\frac{\partial \epsilon}{\partial \rho} \right)_{T} \right] - \frac{E^2}{8\pi} \left(\frac{\partial \epsilon}{\partial T} \right)_{\rho} \nabla T. \quad (15.15)$$

如果物体内的温度保持不变，那末第三项变为零，而在第一项内，可以用 $\rho \nabla \zeta_0$ 代替 ∇p_0 (按照没有电场时的熟知的化学势热力学恒等式: $\rho d\zeta_0 = dp_0 - S_0 dT$) 和

$$\mathbf{f} = -\rho \nabla \left[\zeta_0 - \frac{E^2}{8\pi} \left(\frac{\partial \epsilon}{\partial \rho} \right)_{T} \right]. \quad (15.16)$$

但是，方括内的表达式不是别的，是电场内的物质的化学势 ζ [参阅(10.18)式]，于是 $\mathbf{f} = -\rho \nabla \zeta$ 。

特别是当温度不变时，力学平衡条件 $\mathbf{f} = 0$ 为

$$\zeta = \zeta_0 - \frac{E^2}{8\pi} \left(\frac{\partial \epsilon}{\partial \rho} \right)_{T} = \text{常数}, \quad (15.17)$$

这与普遍的热力学平衡条件符合一致^①。这个条件通常可写为更简单的形式。在电场作用下，媒质密度的变化与 E^2 成正比。因此，如果没有电场时媒质的密度是均匀的，那末在存在电场的情况下，在(15.15)式后面的二项内，应令 $\rho = \text{常数}$ ；在上面假定线性关系 $\mathbf{D} = \epsilon \mathbf{E}$ 成立的公式内，计算 ρ 的变化超出了这些公式的精确度。于是，令(15.15)式的 \mathbf{f} 等于零，当温度不变时，得到平衡条件为

$$p_0(\rho, T) - \frac{\rho E^2}{8\pi} \left(\frac{\partial \epsilon}{\partial \rho} \right)_{T} = \text{常数}, \quad (15.18)$$

这个式子和(15.17)式的差别，是用 $\frac{p_0}{\rho}$ 代替了 ζ 。

^① 参阅“统计物理学”第三版，§ 26, 1951。

§ 16. 固体内的电力

固体的介电性质不但随其密度的改变而改变(和液体一样),而且也随着不改变密度的形变(位移)而改变。首先我们来研究没有电场时为各向同性的物体。一般说来,物体的形变会破坏它的各向同性;因而它的介电性质也变成是各向异性的,于是标量介电常数 ϵ 必须用介电张量 ϵ_{ik} 来代替。

大家知道,描写弱形变物体的状态是利用形变张量:

$$u_{ik} = \frac{1}{2} \left(\frac{\partial u_i}{\partial x_k} + \frac{\partial u_k}{\partial x_i} \right),$$

式中 $\mathbf{u}(x, y, z)$ 为物体各点的位移矢量。由于这些量很小,因此在分量 ϵ_{ik} 的变化内,只要取 u_{ik} 的一次项就够了。与此相应,我们把形变物体的介电张量写成下面的形式:

$$\epsilon_{ik} = \epsilon_0 \delta_{ik} + a_1 u_{ik} + a_2 u_{ll} \delta_{ik}. \quad (16.1)$$

式中 ϵ_0 为未形变物体的介电常数,而后面二项(含有两个标量常数 a_1 和 a_2)代表最普遍形式的二秩张量,这张量可以利用线性方式由张量 u_{ik} 的分量组成。

现在来看一看,前一节所给出的推导必须作那些修正。因为在固体内 \tilde{F} 与形变张量的全部分量有关,因而代替(15.4)式,必须写为

$$\delta \tilde{F} = -\frac{1}{4\pi} \mathbf{D} \delta \mathbf{E} + \frac{\partial \tilde{F}}{\partial u_{ik}} \delta u_{ik}.$$

在所研究的虚位移情况下,矢量 \mathbf{u} 由(15.5)式得出,于是形变张量为

$$u_{ik} = \frac{1}{2h} (\xi_i n_k + \xi_k n_i).$$

把上式代入 $\delta \tilde{F}$ 内,并考虑到张量的对称性(因而也是导数 $\frac{\partial \tilde{F}}{\partial u_{ik}}$ 的

对称性), 我們得到

$$\delta \tilde{F} = -\frac{1}{4\pi} \mathbf{D} \delta \mathbf{E} + \frac{\xi_i n_k}{h} \frac{\partial \tilde{F}}{\partial u_{ik}}. \quad (16.2)$$

現在, 十分显然, 对于应力張量, 代替(15.7)式, 我們得到表达式为①:

$$\sigma_{ik} = \tilde{F} \varepsilon_{ik} + \left(\frac{\partial \tilde{F}}{\partial u_{ik}} \right)_{T, E} + \frac{E_i D_k}{4\pi}. \quad (16.3)$$

不論 \mathbf{D} 对 \mathbf{E} 的关系如何, (16.3)式都适用。对于非热电物体和非压电物体(其中 $D_i = \varepsilon_{ik} E_k$), \tilde{F} 由(13.4)式得出, 于是我們得到所求的导数为

$$\frac{\partial \tilde{F}}{\partial u_{ik}} = \frac{\partial F_0}{\partial u_{ik}} - \frac{1}{8\pi} (a_1 E_i E_k + a_2 E^2 \delta_{ik}).$$

然后, 在(16.3)式中, 令 $\varepsilon_{ik} = \varepsilon^{(0)} \delta_{ik}$, 因此求得应力張量的公式为

$$\sigma_{ik} = \sigma_{ik}^{(0)} + \frac{2\varepsilon_0 - a_1}{8\pi} E_i E_k - \frac{\varepsilon_0 + a_2}{8\pi} E^2 \delta_{ik}. \quad (16.4)$$

$\sigma_{ik}^{(0)}$ 是沒有电场时的应力張量, 按照彈性理論中的普通公式, 它由剛性模量和压缩模量决定。

現在我們来对各向异性固体进行类似的計算②。这时应对上面的推論作如下的改变: 当物质层发生虚形变时, 它的晶軸也发生轉动, 这样一来, 晶軸相对于外电場的取向也发生改变。由于晶体的介电性质是各向异性的, 因而导致 \tilde{F} 有一附加的改变, 而这在

① 在这公式內的量 \tilde{F} , 和上面一样, 是物体单位体积的自由能。但是, 在彈性理論中, 通常采用稍为不同的定义: 热力学量是屬於未形变物体单位体积內的物质质量的, 而在形变以后, 这物质可以占据另一体积。很容易从一定义过渡到另一定义, 只要用張量 u_{ik} 来表示形变时的相对体积改变[由于(16.3)式內有 u_{ik} 的导数, 必須精确到二次項]。結果(16.3)式的头两项变成一項: $\frac{\partial \tilde{F}}{\partial u_{ik}}$, 这与彈性理論的一般公式符合。

② 在 § 17 中, 我們將看到, 晶体的电致伸縮現象, 在一定的对称类型下, 和各向同性物体的电致伸縮差別很大。这种晶体称为压电晶体。这里所指的是非压电晶体內的电致伸縮。

(16.2)式内沒有考虑在内。在計算这一改变时，不論假定晶軸相对于电場 \mathbf{E} 旋轉了一角度 $\delta\varphi$ ，还是假定电場相对于晶軸旋轉了一角度 $-\delta\varphi$ ，都是一样的，但第二种方法更为方便。

由此可見，在我們前面所研究过的場变化(15.6)内，还必须加上轉动一角度 $-\delta\varphi$ 时的电場 \mathbf{E} 的变化：

$$\delta\mathbf{E} = -\frac{1}{h}\mathbf{n}(\mathbf{E}\xi) - [\delta\varphi \cdot \mathbf{E}].$$

角 $\delta\varphi$ 和形变时的位移矢量 \mathbf{u} 的关系为 $\delta\varphi = \frac{1}{2}\text{rot } \mathbf{u}$ (我們注意到，在物体轉动 $\delta\varphi$ 角时，它各点的位移为 $\mathbf{u} = [\delta\varphi \cdot \mathbf{r}]$ ，因而很容易地得到上面的等式)。把(15.5)式内的 \mathbf{u} 代入，我們得到

$$\delta\varphi = \frac{1}{2h} [\nabla \times \xi] = \frac{1}{2h} [\mathbf{n}\xi],$$

和

$$\delta\mathbf{E} = -\frac{1}{h}\mathbf{n}(\mathbf{E}\xi) + \frac{1}{2h} [\mathbf{E}[\mathbf{n} \cdot \xi]] = -\frac{1}{2h} \{ \mathbf{n}(\mathbf{E}\xi) + \xi(\mathbf{nE}) \}.$$

(16.2)式内的第一項变为

$$\begin{aligned} -\frac{1}{4\pi}\mathbf{D}\delta\mathbf{E} &= \frac{1}{8\pi h} \{ (\mathbf{nD})(\xi\mathbf{E}) + (\xi\mathbf{D})(\mathbf{nE}) \} \\ &= \frac{1}{4\pi h} \xi_{ik} \left(\frac{E_i D_k + E_k D_i}{2} \right). \end{aligned}$$

由此可見，(16.3)式内的乘积 $E_i D_k$ 必須用上式括号内的半和来代替：

$$\sigma_{ik} = \tilde{F} \delta_{ik} + \frac{\partial \tilde{F}}{\partial u_{ik}} + \frac{1}{8\pi} (E_i D_k + E_k D_i). \quad (16.5)$$

我們注意到，所求得的式子自动地对下角标 i 和 k 是对称的，这正是应当的。

至于形变晶体的介电張量，代替含有两个标量常数的表达式(16.1)，在普遍情况下，我們有下列的表达式：

$$\sigma_{ik} = \sigma_{ik}^{(0)} + a_{iklm} u_{lm}, \quad (16.6)$$

式中 a_{iklm} 为四秩的恒定张量，它对两对下角标 i, k 和 l, m 是对称的（但对两对下角标 i, k 和 l, m 的换位不对称）。这个张量的不为零的独立分量数目，取决于晶体的对称性，也即是取决于晶体的类型。

我们在这里不准备写出应力张量的公式 [它与 (16.4) 式类似]，这利用 (16.6) 式即可得到。

由上面得到的公式，可以求出固体电介质内的应力。但是，如果我们只是希望求出外电场作用于物体上的总力 F 或总力矩 K ，那末并不需要求出这些公式。现在我们来研究在液体（或气体）媒质内保持静止的物体。作用于物体上的总力等于对物体表面所取的积分 $\oint \sigma_{ik} n_k df$ 。由于力 $\sigma_{ik} n_k$ 是连续的，因此，无论从 (16.4) 式的 σ_{ik} 值来计算这积分，或者按适用于物体周围媒质的 (15.9) 式来计算这积分，结果都是一样。假定媒质处于力学和热平衡下，于是，如果考虑到平衡条件 (15.18) 式，则计算工作还可进一步简化。由于这个条件，在应力张量 (15.9) 内有一部分表示媒质内的恒定均匀压缩或拉伸压强，它们对作用于物体上的总力 F 和总力矩 K 没有贡献。因此计算后者时可以把 σ_{ik} 简单地写成

$$\sigma_{ik} = \frac{s}{4\pi} \left(E_i E_k - \frac{E^2}{2} \delta_{ik} \right), \quad (16.7)$$

式中 E 为液体内的电场，而 s 是液体的介电常数。这个式子和真空内电场的麦克斯韦应力张量不同的地方是多了个因子 s 而已。于是

$$F = \frac{s}{4\pi} \oint \left\{ \mathbf{E}(\mathbf{nE}) - \frac{1}{2} E^2 \mathbf{n} \right\} df, \quad (16.8)$$

$$K = \frac{s}{4\pi} \oint \left\{ [\mathbf{rE}](\mathbf{nE}) - \frac{1}{2} E^2 [\mathbf{rn}] \right\} df. \quad (16.9)$$

我們还注意到，因为液体处于平衡状态下，因此在这些公式内，可以对包围待研究物体的任何封闭面进行积分（但是，当然不包括作为场源的带电体）。

我們也可以从另一角度来计算作用于电场内电介质上的总力问题（在真空内），也就是不采用实际存在的电场，而采用电介质不存在时给定场源所产生的电场 \mathcal{E} 来表示总力，这也就是物体被带入的“外电场”。此处假定了当物体带入电场时产生电场的电荷分布并不起变化。这一条件实际上不可能得到满足，例如，如果电荷分布于伸长导体的表面和电介质被带至离导体有限距离的话。

当整个物体虚平移了一无穷小距离 \mathbf{u} 时，物体的总自由能变化按照(11.3)式为

$$\delta \mathcal{F} = - \int \mathbf{P} \delta \mathcal{E} dV,$$

式中

$$\delta \mathcal{E} = \mathcal{E}(\mathbf{r} + \mathbf{u}) - \mathcal{E}(\mathbf{r}) = (\mathbf{u} \nabla) \mathcal{E}$$

是物体某一给定点处场 \mathcal{E} 的变化。由于 $\mathbf{u} = \text{常数}$ 和 $\text{rot } \mathcal{E} = 0$ ，我們有

$$\mathbf{P}(\mathbf{u} \nabla) \mathcal{E} = (\mathbf{P} \nabla)(\mathbf{u} \mathcal{E}) = \mathbf{u}(\mathbf{P} \nabla) \mathcal{E},$$

于是

$$\delta \mathcal{F} = - \mathbf{u} \int (\mathbf{P} \nabla) \mathcal{E} dV.$$

另一方面， $\delta \mathcal{F} = - \mathbf{u} \mathbf{F}$ ，于是我們得到所求的力的公式为^①

$$\mathbf{F} = \int (\mathbf{P} \nabla) \mathcal{E} dV. \quad (16.10)$$

由类似方法，可以求出作用于物体上的总力矩。但这里不准备进行相应的计算，只是给出它的结果：

① 但是应着重指出，这积分内的被积式不能解释为力的体密度。问题在于，电介质内的定域力，不但和场 \mathcal{E} 有关，而且也和他内部的本征场有关，由于动量守恒定律，后者对总力没有贡献，但它影响力在物体体积内的分布。

$$\mathbf{K} = \int [\mathbf{P}\mathcal{E}]dV + \int [\mathbf{r}, (\mathbf{P}\nabla)\mathcal{E}]dV. \quad (16.11)$$

在整个物体范围内可以假定为不变的准均匀场内, (16.10)式在第一近似下给出

$$\mathbf{F} = \left(\int \mathbf{P}dV \nabla \right) \mathcal{E} = (\mathcal{D}\nabla)\mathcal{E}, \quad (16.12)$$

式中 \mathcal{D} 为极化电介质的总偶极矩, 当然, 把(11.8)式的 \mathcal{D} 直接取微分, 也可以得到这一结果。在(16.11)式内, 在第一近似下, 与第一项比较, 一般地可以略去第二项, 因而得到下面的自然结果:

$$\mathbf{K} = [\mathcal{D}\mathcal{E}]. \quad (16.13)$$

例 题

1. 设一介电球(半径为 a)位于均匀的外电场 \mathcal{E} 内, 由垂直于场方向的平面切为两半。试求两个半球之间的吸力。

解. 设想两个半球被一无穷小的狭缝分隔开, 并将(16.8)式(其中 $\varepsilon=1$)对半球表面积分, 就可以求出这力, 这时 \mathbf{E} 是球面附近真空内的电场强度。根据(8.2)式, 球内的场是均匀的, 并且等于 $\mathbf{E}^{(i)} = 3\mathcal{E}(2+\varepsilon)$ (ε 是球的介电常数)。狭缝内的场垂直于表面, 并等于

$$\mathbf{E} = \mathbf{D}^{(i)} = \frac{3\varepsilon}{2+\varepsilon}\mathcal{E}.$$

在球的外表面上,

$$E_r = D_r^{(i)} = \frac{3\varepsilon}{2+\varepsilon}\mathcal{E} \cos\theta,$$

$$E_\theta = E_\theta^{(i)} = -\frac{3}{\varepsilon+2}\mathcal{E} \sin\theta,$$

式中 θ 是半径矢量和 \mathcal{E} 方向之间的夹角。

算出积分后得到吸力为①

① 这个表达式在 $\varepsilon \rightarrow \infty$ 时的极限值和§5中例题3导电球的结果相同, 只是偶然的(实际上这些力的符号是不同的)。这两种情况在物理上并不是等效的, 可以从下面一点明显看出, 即在两导电半球(电势相同)的狭缝内没有电场, 而前面的例题则有电场存在。

$$F = \frac{9(\varepsilon - 1)^2}{16(\varepsilon + 2)^2} a^2 \mathcal{E}^2.$$

2. 試求均匀的外电场內介电球形状的改变。

解. 和 § 5 中例题 4 的解完全相似。在求球的形状的改变时, 我們假定球的体积不变化^①。对于自由能的彈性能部分, 我們得到和 § 5 中例题 4 完全相同的式子。电能部分由下式得出

$$-\frac{\varphi \mathcal{E}}{2} = -\frac{V}{8\pi} \frac{\varepsilon^{(x)} - 1}{1 + n(\varepsilon^{(x)} - 1)} \mathcal{E}^2,$$

而且, 按照(16.1)式, x 軸上的介电常数为

$$\varepsilon^{(x)} = \varepsilon_0 + a_1 u_{xx} = \varepsilon_0 + \frac{2}{3} a_1 (u_{xx} - u_{yy}) = \varepsilon_0 + \frac{2}{3} a_1 \frac{a-b}{R}.$$

从总自由能为最小值的条件得到

$$\frac{a-b}{R} = \frac{9\mathcal{E}^2 (\varepsilon_0 - 1) + 5a_1}{40\pi\mu_0 (\varepsilon_0 + 2)^2}.$$

当 $\varepsilon_0 \rightarrow \infty$ 时, 这个式子过渡到为球导体的結果。

3. 試求各向同性的固体电介质內存在旁电荷时电介质內的体积力, 假定电介质是均匀的。

解. 假定 ε_0, a_1, a_2 为常数, 并利用方程 $\text{rot } \mathbf{E} = 0$ 和 $\text{div } \mathbf{D} \cong \varepsilon_0 \text{div } \mathbf{E} = 4\pi\rho_{\text{外}}$, 于是从(16.4)式我們得到

$$f_i = \frac{\partial \sigma_{ik}}{\partial x_k} = \frac{\partial \sigma_{ik}^{(0)}}{\partial x_k} - \frac{1}{8\pi} \left(\frac{a_1}{2} + a_2 \right) \frac{\partial}{\partial x_i} E^2 + \left(1 - \frac{a_1}{2\varepsilon_0} \right) \rho_{\text{外}} E_i.$$

§ 17. 压电体

电场中各向同性的电介质內所出現的內应力, 是电场二次的效应。这种效应也存在于一系列晶类的晶体內。但是, 在一定的对称类型下, 晶体的电致伸縮性质具有完全不同的特征。在这些物体(称为压电体)內, 电场所产生的內应力与場的一次幂成正比。相应地也存在相反的效应——压电体的形变引起压电体内出現电场, 这电场与形变的大小成正比。

在压电体中, 我們感兴趣的是基本的綫性效应, 因而在普遍公

① 求体积的改变見 § 12 例题 1。

式(16.5)内, 我們可以略去場的二次項。于是

$$\sigma_{ik} = \tilde{F} \delta_{ik} + \left(\frac{\partial \tilde{F}}{\partial u_{ik}} \right)_{T, \mathbf{E}}$$

在下一节中, 我們將采用未形变物体单位体积内物质的热力学量(参閱100頁上的底注)。这样理解 \tilde{F} 的意义时, 我們就简单地得到

$$\sigma_{ik} = \left(\frac{\sigma \tilde{F}}{\partial u_{ik}} \right)_{T, \mathbf{E}} \quad (17.1)$$

相应地微分 $d\tilde{F}$ 的热力学关系式为

$$d\tilde{F} = -SdT + \sigma_{ik} du_{ik} - \frac{1}{4\pi} \mathbf{D}d\mathbf{E}. \quad (17.2)$$

对其中最后一項, 我們必須作下列說明: 严格說来, 在这种形式下, 这一項[从(10.9)式移来]是屬於变形物体的单位体积的。不考虑到这一点, 我們就会有誤差, 但是, 在現在的情况下(对压电体而言), 这种誤差是比(17.2)式其余各項更高次的小量。

在(17.2)中, 張量分量 u_{ik} 起着自变数的作用。有时取 σ_{ik} 的分量作为这种变数, 也是很便利的。为此, 必須引进热力学势, 并定义为

$$\tilde{\Phi} = \tilde{F} - u_{ik} \sigma_{ik}. \quad (17.3)$$

这个量的微分为

$$d\tilde{\Phi} = -SdT - u_{ik} d\sigma_{ik} - \frac{1}{4\pi} \mathbf{D}d\mathbf{E}. \quad (17.4)$$

應該着重指出, 按照(17.3)和(17.4)式, 在电动力学中引入热力学势 $\tilde{\Phi}$ 与(17.1)式的正确性有关, 因此, 这只对压电体是可能的。

在这样定义了我們所需要的热力学量以后, 現在我們来描述晶体的压电性质。选择 σ_{ik} 和 E_k 为自变数, 我們必須把感应强度 \mathbf{D} 看作为它們的函数, 而在这函数的展开式内必須只保存它們的一次項。在矢量分量展开为二秩張量分量的幂級数内, 在最普遍情况下, 綫性項可以写为 $4\pi \gamma_{i,kl} \sigma_{kl}$, 其中常数 $\gamma_{i,kl}$ 的总和构成一

个三秩張量(引入因子 4π 是为了方便)。既然張量 σ_{ik} 对它的下角标是对称的, 因而十分显然, 也可以假定張量 $\gamma_{i,kl}$ 对相应的两个下角标也是对称的:

$$\gamma_{i,kl} = \gamma_{i,lk}; \quad (17.5)$$

为了明显起见, 我們用逗号将对称的下角标 k, l 与第三个下角标分开。我們把張量 $\gamma_{i,kl}$ 称为压电張量, 晶体的压电性质即完全由它决定。

把描写压电性质的項加到晶体中的电感应强度的表达式(13.1)内, 我們有

$$D_i = D_{i0} + s_{ik} E_k + 4\pi \gamma_{i,kl} \sigma_{kl}. \quad (17.6)$$

在热力学量内, 也会出现相应的附加項。电场不存在时, 非压电晶体内的热力学势为

$$\tilde{\Phi} = \Phi = \Phi_0 - \frac{1}{2} \mu_{iklm} \sigma_{ik} \sigma_{lm},$$

式中 Φ_0 是属于未变形物体的, 而第二項代表普通的彈性能量, 由彈性恒定張量 μ_{iklm} 决定^①。对压电体而言, 我們有

$$\tilde{\Phi} = \Phi_0 - \frac{1}{2} \mu_{iklm} \sigma_{ik} \sigma_{lm} - \frac{1}{8\pi} s_{ik} E_i E_k -$$

① 張量 μ_{iklm} 确定应力和形变的关系为

$$u_{ik} = -\frac{\partial \Phi}{\partial \sigma_{ik}} = \mu_{iklm} \sigma_{lm}.$$

在“連續介质力学”中(第二部分, § 10), 我們曾写出逆关系式:

$$\sigma_{ik} = \lambda_{iklm} u_{lm}.$$

显然, 張量 μ_{iklm} 的所有对称性质完全和張量 λ_{iklm} 的对称性质相同。

在自由能 F 内, 彈性能为正号:

$$F_{弹性} = \frac{1}{2} \lambda_{iklm} u_{ik} u_{lm}.$$

从 F 内减去 $\sigma_{ik} u_{ik}$, 即得到热力学势, 因此

$$\Phi_{弹性} = F_{弹性} - \sigma_{ik} u_{ik} = -\frac{1}{2} \lambda_{iklm} u_{ik} u_{lm} = -\frac{1}{2} \mu_{iklm} \sigma_{ik} \sigma_{lm}.$$

$$\text{第 1 節} \quad \text{的} \quad -\frac{1}{4\pi} E_i D_{i0} - \gamma_{i,kl} E_i \sigma_{kl}. \quad (17.7)$$

后面三项的形式是这样决定的, 由关系式

$$D_i = -4\pi \frac{\partial \tilde{\Phi}}{\partial E_i}$$

所求得的 $\tilde{\Phi}$ 对 E_i 的导数(保持内能和温度不变) 必须与(17.6)式相同。

知道了 $\tilde{\Phi}$, 就可以从(17.4)式得到形变张量用应力 σ_{ik} 和电场 E 所表示的公式为

$$u_{ik} = -\left(\frac{\partial \tilde{\Phi}}{\partial \sigma_{ik}}\right)_{T, E} = \mu_{iklm} \sigma_{lm} + \gamma_{i,ik} E_l. \quad (17.8)$$

应该注意到, 在压电晶体内, 把量 μ_{iklm} 和 ϵ_{ik} 作为弹性常数和介电常数, 在一定的意义上是有条件的。在我们所选择的定义下, 它们分别给出电场强度不变时形变对弹性应力的依赖关系和应力不变时感应强度对电场强度的依赖关系。如果发生形变时电感应强度不变, 或者我们所研究的是形变不变时感应强度对电场强度的依赖关系, 那末, 起着弹性系数和介电常数的作用的将是其他的量, 这些量可由张量 μ , ϵ 和 γ 的分量表示出来(虽然形式相当复杂)。

求出压电物体内的场, 必须和求它的形变同时进行, 因而这是静力学和弹性理论的共同问题。也即是必须求出静力学方程

$$\text{div } \mathbf{D} = 0, \quad \text{rot } \mathbf{E} = 0 \quad (17.9)$$

(D 从(17.6)式得出)和弹性平衡方程

$$\frac{\partial \sigma_{ik}}{\partial x_k} = 0 \quad (17.10)$$

的共同解, 并且满足物体表面上相应的边界条件, 以及考虑到由(17.8)式所给出的 σ_{ik} 和形变之间的关系。在普遍情况下, 这样来提出问题是很复杂的。

对于具有自由表面(即没有加上任何机械外力)的压电椭球体,问题可以进一步简化。在这种情况下(§ 8),压电体内的场,因而以及它的形变,都是均匀的,而全部弹性应力 $\sigma_{ik}=0$ 。

最后,我们提出这样一个问题,哪一些晶体对称类型容许存在压电性质。换句话说,必须考虑对称条件对张量 $\gamma_{i,kl}$ 的分量所加上的约束条件。在普遍情况下,这个张量(对下角标 k 和 l 是对称的)有 18 个不为零的独立分量,但实际上,独立分量的数目通常要比这少得多。

在给定晶体的全部对称变换中,张量 $\gamma_{i,kl}$ 的全分量必须保持数值不变。由此立即得到,在任何情况下,具有对称中心的物体(当然其中也包括一切各向同性物体),不可能是压电体。实际上,在中心反射时(三个坐标都改变正负号),三秩张量的全分量都会变号。

在 32 种晶类中,容许有压电性质的总共有 20 种。这首先是 §13 中所举出的具有热电性质的 10 种(热电体同时也是压电体)。此外,下列 10 类晶体也是压电晶体:

菱形系: D_2 ,

正方系: D_4, D_{2d}, S_4 ,

菱面系: D_3 ,

六角系: D_6, C_{3h}, D_{3h} ,

立方系: T, T_d 。

全部晶类的压电张量的不为零的分量,都列入本节的例题内。

例 题

1. 试对容许有压电性质的非热电晶类,求出张量 $\gamma_{i,kl}$ 的不为零的各分量。

解. 晶类 D_2 包含三个互相垂直的二次对称轴,我们选择它们为 x, y, z 轴。绕这些轴旋转 180° , 三个坐标有二个变号。因为 $\gamma_{i,kl}$ 的分量和乘积

x, y, z 一样变换, 因而只是三个下角标都不相同的分量才不为零:

$$\gamma_{x,yz}, \gamma_{z,xy}, \gamma_{y,zx};$$

其余不为零的分量, 由于 $\gamma_{i,kl} = \gamma_{l,ik}$ 都等于这些分量。相应地, 热力学势的压电部分为 \textcircled{D}

$$\tilde{\Phi}_{\text{电}} = -2(\gamma_{x,yz} E_x \sigma_{yz} + \gamma_{y,zx} E_y \sigma_{xz} + \gamma_{z,xy} E_z \sigma_{xy}). \quad (1)$$

在晶类 D_2 的坐标轴上, 再加上二个对称平面, 就得到晶类 D_{2d} , 这二个对称平面通过其中一轴(设为 z 轴), 并把 x 轴和 y 轴之间的夹角分为两半。在其中一对称平面上的反射表示下列变换: $x \rightarrow y, y \rightarrow x, z \rightarrow z$ 。因此, 由交换下角标 x 和 y 而得到的 $\gamma_{i,kl}$ 的不同的各分量应该相等, 于是(1)式的三个系数中, 只有二个是独立的:

$$\gamma_{z,xy}, \gamma_{x,yz} = \gamma_{y,zx}.$$

在晶类 D_2 上加上四个三次的对角对称轴, 就得到晶类 T 。绕这些对称轴旋转时 x, y, z 轴循环换位, 例如 $x \rightarrow z, y \rightarrow x, z \rightarrow y$ 。因此, (1)式中的三个系数变成相等:

$$\gamma_{x,yz} = \gamma_{z,xy} = \gamma_{y,zx}.$$

对于立方晶类 T_d , 得到相同的结果。

晶类 D_4 包含一个四次对称轴(z 轴)和在 xy 平面内的四个二次对称轴。除了晶类 D_2 的对称要素外, 我们在这里只须再研究绕 z 轴旋转 90° 的情况, 也即是只须再研究下列变换: $x \rightarrow y, y \rightarrow -x, z \rightarrow z$ 。由于这种变换, (1)式的系数有一个变成零($\gamma_{z,xy} = -\gamma_{z,yx} = -\gamma_{z,xy}$, 由此得 $\gamma_{z,xy} = 0$), 而其他二个系数只相差一个正负号:

$$\gamma_{x,yz} = -\gamma_{y,xz}$$

对于晶类 D_6 得到同样的结果。

晶类 S_4 包含下列变换: $x \rightarrow y, y \rightarrow -x, z \rightarrow -z$ 和 $x \rightarrow -x, y \rightarrow -y, z \rightarrow z$ 。不为零的各分量为

$$\gamma_{z,xy}, \gamma_{x,yz} = \gamma_{y,xz}, \gamma_{z,xy} = -\gamma_{z,yx}, \gamma_{x,zx} = -\gamma_{y,zy}.$$

适当地选择 x, y 轴的方向, 这些量中有一个可能变为零。

晶类 D_3 包含一个三次对称轴(z 轴)和在 xy 平面内的三个二次对称轴,

\textcircled{D} 为了避免误解起见, 我们记住, 如果将 Φ 的具体表达式对 σ_{ik} 直接求微分, 来算出形变张量 u_{ik} 的分量, 则对 σ_{ik} (其中 $i \neq k$) 分量的导数给出 u_{ik} 的相应分量的二倍值(参照“连续介质力学”第二版, 第二部分, § 10 末的底注)。

設其中一个对称軸为 x 軸。为了求出由于三次对称軸的出現所加上的限制，我們先引进复数“坐标”：

$$\xi = x + iy, \quad \eta = x - iy,$$

然后再进行形式变换是很方便的；我們令 z 坐标保持不变。也可以把張量 $\gamma_{i,k,l}$ 变换为新坐标。这时各分量的下角标值变为 ξ, η, z 。繞軸旋轉 120° 后，这些“坐标”变换为

$$\xi \rightarrow \xi e^{\frac{2\pi i}{3}}, \quad \eta \rightarrow \eta e^{-\frac{2\pi i}{3}}, \quad z \rightarrow z.$$

这时，張量 $\gamma_{i,k,l}$ 中保持不变因而可以不为零的各分量为 $\gamma_{z,\eta\xi}, \gamma_{\eta,z\xi}, \gamma_{\xi\xi\xi}, \gamma_{\eta,\eta\eta}, \gamma_{z,zz}$ 。繞 x 軸轉 180° 的变换为 $x \rightarrow x, y \rightarrow -y, z \rightarrow -z$ ，或者在“坐标系” ξ, η, z 中，为 $\xi \rightarrow \eta, \eta \rightarrow \xi, z \rightarrow -z$ 。这时 $\gamma_{z,\eta\xi}$ 和 $\gamma_{z,zz}$ 改变正負号，因而必須变为零，而上面列出的其余各分量则可以互相轉換，这样就得到下列等式：
 $\gamma_{\eta,z\xi} = -\gamma_{\xi,z\eta}, \gamma_{\xi\xi\xi} = \gamma_{\eta,\eta\eta}$ 要写出 $\tilde{\Phi}_{压电}$ 的表达式，必須組成其下角标取值为 ξ, η, z 时之总和 $-\gamma_{i,k,l} E_i \sigma_{kl}$ ：

$$\tilde{\Phi}_{压电} = -2\gamma_{\eta,z\xi} (E_\eta \sigma_{z\xi} - E_\xi \sigma_{z\eta}) - \gamma_{\xi\xi\xi} (E_\xi \sigma_{\xi\xi} + E_\eta \sigma_{\eta\eta}).$$

这里还必须將“坐标系” ξ, η, z 中的分量 E_i 和 σ_{ik} ，用原来的坐标系 x, y, z 中的分量来表示。这利用張量的分量和相应的坐标乘积一样变换，是很容易做到的，因此，例如，从

$$\xi\xi = xx - yy + 2ixy,$$

得到

$$\sigma_{\xi\xi} = \sigma_{xx} - \sigma_{yy} + 2i\sigma_{xy}.$$

于是得到

$$\tilde{\Phi}_{压电} = 2a(E_y \sigma_{zx} - E_x \sigma_{zy}) + b[2E_y \sigma_{xy} - E_x(\sigma_{xx} - \sigma_{yy})], \quad (2)$$

式中 $a = 2i\gamma_{\eta,z\xi}$, $b = 2\gamma_{\xi\xi\xi}$ 为实常数。如从(2)式看出的①，在坐标 x, y, z 中 $\gamma_{i,k,l}$ 的各分量間的关系式为：

$$\gamma_{y,zx} = -\gamma_{x,zy} \equiv 2a,$$

$$\gamma_{y,xy} = -\gamma_{x,xx} = \gamma_{x,yy} \equiv b.$$

在晶类 D_3 上加上一个与三次軸垂直的对称平面 (xy 平面)，就得到晶类

① 在非正交坐标系中 (ξ, η, z 就是这种坐标系)，大家知道，必須区别張量的协变分量和抗变分量。在变换到原来坐标系 x, y, z 时，也必须考虑到这种情况。但是，我們这样来繞过这个问题，就是直接根据(2)式的标量組合形式，求出 x, y, z 坐标系中 $\gamma_{i,k,l}$ 的各分量間的关系式。

D_{3h} 。在这平面上的反射是 z 变号, 因而 $\gamma_{\eta, z\epsilon} = 0$, 于是在(2)式中只剩下系数为 b 的项。

晶类 C_{3h} 除了包含一个三次的对称轴外, 还包含一个垂直于三次轴的对称平面。在这平面上的反射是 z 变号, 因而下角标内 z 出现为奇数次的 $\gamma_{i, kl}$ 的各分量必须等于零。再考虑到上面所提到的由三次对称轴所加上的限制, 我们发现, 只有两个分量 $\gamma_{\eta, \eta\eta}$ 和 $\gamma_{\epsilon, \epsilon\epsilon}$ 不为零。为了使 $\tilde{\Phi}$ 为实数, 这些量必须为复数共轭。引进符号 $2\gamma_{\eta, \eta\eta} = a + ib$, $2\gamma_{\epsilon, \epsilon\epsilon} = a - ib$ 后, 我们得到

$$\begin{aligned} \tilde{\Phi}_{\text{压电}} = & a[2E_y\sigma_{xy} - E_x(\sigma_{xx} - \sigma_{yy})] + \\ & + b[2E_x\sigma_{xy} + E_y(\sigma_{xx} - \sigma_{yy})]. \end{aligned} \quad (3)$$

适当选择 x, y 轴的方向, 可以使 a 或 b 变为零。

2. 所求与上题相同, 但晶类容许有热电性质。

解. 设 z 轴与二次、三次、四次或六次的对称轴相合, 而在晶类 C_s 内, 则垂直于对称平面。在晶类 C_{nv} 中, xz 平面和一个对称平面相合。适当选择晶类 C_1 内的轴方向, 还可使三个分量为零, 而在晶类 C_s, C_n 中, 由适当选择 x, y 轴, 可使一个分量为零。

下面对每种晶类, 列出 $\gamma_{i, kl}$ 中不为零的各分量。

C_1 类: 全部的 $\gamma_{i, kl}$ 。

C_s 类: 包含下角标 z 为零或为两次的全部分量。

C_{2v} 类: $\gamma_{z, xx}, \gamma_{z, yy}, \gamma_{z, zz}, \gamma_{x, xz}, \gamma_{y, yz}$ 。

C_2 类: 和 C_{2v} 中相同, 还有 $\gamma_{x, yz}, \gamma_{y, xz}, \gamma_{z, xy}$ 。

C_{4v} 类: $\gamma_{z, xx} = \gamma_{z, yy}, \gamma_{z, zz}, \gamma_{x, xz} = \gamma_{y, yz}$ 。

C_4 类: 和 C_{4v} 中相同, 还有 $\gamma_{x, yz} = -\gamma_{y, xz}$ 。

C_{3v} 类: $\gamma_{z, zz}, \gamma_{x, xz} = \gamma_{y, yz}, \gamma_{x, xx} = -\gamma_{x, yy} = -\gamma_{y, xy}, \gamma_{z, xx} = \gamma_{z, yy}$ 。

C_3 类: 和 C_{3v} 中相同, 还有 $\gamma_{x, yz} = -\gamma_{y, xz}, \gamma_{y, xx} = -\gamma_{y, yy} = \gamma_{x, xy}$ 。

C_{6v} 类: $\gamma_{z, zz}, \gamma_{x, xz} = \gamma_{y, yz}, \gamma_{z, xx} = \gamma_{z, yy}$ 。

C_6 类: 和 C_{6v} 中的相同, 还有 $\gamma_{x, yz} = -\gamma_{y, xz}$ 。

3. 试求下列情况下非热电性质的压电晶体平行平面薄板的杨氏模量(拉应力和相对伸长之间的比例系数): (1)薄板受到短路电容器两板的拉伸; (2)薄板受到未带电的电容器两板的拉伸; (3)没有外电场时, 薄板受到与其平面平行的拉伸。

解. (1)在这种情况下, 薄板内的电场强度 $\mathbf{E} = 0$ 。张量 σ_{ik} 的唯一不为

零的分量是拉应力 σ_{zz} (z 轴垂直于薄板平面^①)。从(17.8)式，我們有 $u_{zz} = u_{zzzz}\sigma_{zz}$ ，由此得到楊氏模量 E 为

$$\frac{1}{E} = \mu_{zzzz}.$$

(2) 在这种情况下，在薄板内 $E_x = E_y = 0, D_z = 0$ ，从(17.6)和(17.8)，我們有

$$D_z = \epsilon_{zz}E_z + 4\pi\gamma_{z,zz}\sigma_{zz} = 0,$$

$$u_{zz} = \mu_{zzzz}\sigma_{zz} + \gamma_{z,zz}E_z.$$

从这两个等式中消去 E_z 后，我們得到

$$\frac{1}{E} = \mu_{zzzz} - \frac{4\pi\gamma_{z,zz}^2}{\epsilon_{zz}}.$$

(3) 在这种情况下，也是 $E_x = E_y = 0, D_z = 0$ ，設拉伸发生在 x 轴方向。我們有

$$D_z = \epsilon_{zz}E_z + 4\pi\gamma_{z,xx}\sigma_{xx} = 0,$$

$$u_{xx} = \mu_{xxxx}\sigma_{xx} + \gamma_{z,xx}E_z.$$

消去 E_z ，我們得到

$$\frac{1}{E} = \mu_{xxxx} - \frac{4\pi\gamma_{z,xx}^2}{\epsilon_{zz}}.$$

4. 試求压电媒质内声速的表达式。

解. 在本問題內較为方便的是不用 σ_{ik} ，而采用 u_{ik} 作为自变量。把 \tilde{F} 写为

$$\tilde{F} = F_0 + \frac{1}{2}\lambda_{iklm}u_{ik}u_{lm} - \frac{1}{8\pi}\epsilon_{ik}E_iE_k - \frac{1}{4\pi}E_iD_{i0} + \beta_{i,ki}E_iu_{kb}$$

由此得

$$\sigma_{ik} = \frac{\partial \tilde{F}}{\partial u_{ik}} = \lambda_{iklm}u_{lm} + \beta_{i,ik}E_i.$$

彈性理論的运动方程为

$$\ddot{u}_i = \frac{\partial \sigma_{ik}}{\partial x_k} = \lambda_{iklm} \frac{\partial u_{lm}}{\partial x_k} + \beta_{i,ik} \frac{\partial E_i}{\partial x_k},$$

式中 u 是位移矢量，它和 u_{ik} 的关系为

$$u_{ik} = \frac{1}{2} \left(\frac{\partial u_i}{\partial x_k} + \frac{\partial u_k}{\partial x_i} \right).$$

^① 沒有假定它和任何选定的晶轴方向相合。

由方程 $\text{div} \mathbf{D} = Q$ 得出

$$\varepsilon_{ik} \frac{\partial E_k}{\partial x_i} - 4\pi \beta_{i,kl} \frac{\partial u_{kl}}{\partial x_i} = 0,$$

我們用場勢来表示电場强度:

$$E_i = - \frac{\partial \varphi}{\partial x_i},$$

由此方程 $\text{rot} \mathbf{E} = 0$ 被滿足。

在平面声波的情况下, \mathbf{u} 和 φ 都与 $e^{i(\mathbf{k}\mathbf{r} - \omega t)}$ 成正比, 于是从上面写出的方程, 得到

$$\begin{aligned} \omega^2 u_i &= \lambda_{iklm} k_k k_l u_m - \beta_{i,kl} k_k k_l \varphi, \\ \varepsilon_{ik} k_i k_k \varphi + 4\pi \beta_{i,kl} k_i k_k u_l &= 0. \end{aligned}$$

由此消去 φ 后, 得到 u_i 方程的相容条件为

$$\left| \omega^2 \delta_{ik} - \lambda_{iklm} k_l k_m - 4\pi \frac{(\beta_{l,mi} k_l k_m)(\beta_{p,ql} k_p k_q)}{\varepsilon_{rs} k_r k_s} \right| = 0.$$

在波矢量 \mathbf{k} 的任一給定方向上, 这方程一般說来定出声音的三个不同的相速度 $\frac{\omega}{k}$ 。压电媒质的特征是速度依赖于波方向的复杂关系。

§ 18. 热力学不等式

按照 § 10 的公式, 总自由能可以表示成积分的形式:

$$\mathcal{F} = \int F(T, \rho, \mathbf{D}) dV, \quad (18.1)$$

式中积分对全部空間进行。我們假定被积式內的函数 $\mathbf{D}(x, y, z)$ 只滿足电介质內的方程:

$$\text{div} \mathbf{D} = 0, \quad (18.2)$$

和在帶有給定电荷的导体表面上滿足条件:

$$\int \mathbf{D} d\mathbf{f} = 4\pi e; \quad (18.3)$$

由这些等式可以建立場和場源之間的关系式。此外, 假定函数 $\mathbf{D}(x, y, z)$ 是任意的, 特别是, 不必預先要求它滿足第二个場方程 $\text{rot} \mathbf{E} = 0$ (式中 $\mathbf{E} = 4\pi \frac{\partial F}{\partial \mathbf{D}}$) 和在导体表面上滿足 $\varphi = \text{常数}$ 的边界条

件。我們現在证明,从积分(18.1)相对于函数 $D(x, y, z)$ 的变化为极小值的条件,也可以得到这些不充分的方程,而函数 $D(x, y, z)$ 的变化满足方程(18.2)和(18.3)。应该着重指出,这种推导的可能性先驗地是不明显的,因为求积分(18.1)的极小值时所要計及的場分布,并不相应于物理上可能的状态(因为它们并不滿足全部場方程);但是,在自由能为极小值的热力学条件下,只有各种物理上可能的状态才可以相互比較。

在(18.2)式和(18.3)式的附加条件下,求积分(18.1)的极小值的问题,可利用拉格朗日因子方法得到解决。仿照这种方法,我們將条件(18.2)的变分乘上某一个尚未确定的坐标函数(我們用 $\frac{\varphi}{4\pi}$ 表示它),而将条件(18.3)的变分乘上一个未定的常数因子(表示为 $\frac{\varphi_0}{4\pi}$),然后令变分之和等于零:

$$\int \delta F dV - \frac{1}{4\pi} \int \varphi \operatorname{div} \delta \mathbf{D} dV + \frac{\varphi_0}{4\pi} \oint \delta \mathbf{D} df = 0.$$

第一項我們写为①

$$\delta F = \left(\frac{\partial F}{\partial \mathbf{D}} \right)_{T, \rho} \delta \mathbf{D} = \frac{1}{4\pi} \mathbf{E} \delta \mathbf{D},$$

第二項进行分部变换:

$$\int \varphi \operatorname{div} \delta \mathbf{D} dV = \oint \varphi \delta \mathbf{D} df - \int \delta \mathbf{D} \operatorname{grad} \varphi dV.$$

結果得到

$$\int (\mathbf{E} + \operatorname{grad} \varphi) \delta \mathbf{D} dV + \oint (\varphi_0 - \varphi) \delta \mathbf{D} df = 0.$$

① 在給定的温度下,自由能为极小值。变分应该对二个自变量—— \mathbf{D} 和 ρ ——进行,但在这里我們感兴趣的只是对 \mathbf{D} 的变分結果。对密度求积分(18.1)的变分(在物体总质量不变的附加条件下,即积分 $\int \rho dV$ 不变条件下)給出通常的热平衡条件之一——化学势了不变。

由此得出結論：在全部体积內，必須 $\mathbf{E} = -\text{grad } \varphi$ (因此 $\text{rot } \mathbf{E} = 0$)，而在导体面上， $\varphi = \varphi_0 = \text{常数}$ 。这也就是表示电場强度的正确方程，而拉格朗日因子 φ 就是它的場势。

由类似方式，可以证明，从积分

$$\bar{F} = \int \bar{F}(T, \rho, \mathbf{E}) dV$$

为极小值的条件，我們可得到电感应强度方程，其中求 $\mathbf{E}(x, y, z)$ 的变分时的附加条件是 $\mathbf{E} = -\text{grad } \varphi$ ，而在导体表面上 $\varphi = \text{常数}$ 。实际上，我們有

$$\begin{aligned} \delta \bar{F} &= \int \frac{\partial \bar{F}}{\partial \mathbf{E}} \delta \mathbf{E} dV - \frac{1}{4\pi} \int \mathbf{D} \nabla \delta \varphi dV = \\ &= \frac{1}{4\pi} \oint \delta \varphi \mathbf{D} df - \frac{1}{4\pi} \int \delta \varphi \text{div } \mathbf{D} dV = 0. \end{aligned}$$

因为在导体表面上 $\delta \varphi = 0$ ，故第一积分等于零；由于在导体的体积內， $\delta \varphi$ 是任意的，因而从第二积分，就得到所求的方程： $\text{div } \mathbf{D} = 0$ 。

如果导体不在外电場內(特別是不存在带电的导体)，那末可以把热力学平衡条件表述为总自由能(18.1)取绝对(即无任何条件的)极小值的条件。这条件归结为自由能密度 F 作为自变数 \mathbf{D} 的函数取极小值的条件：

$$\frac{\partial F}{\partial \mathbf{D}} = \frac{\mathbf{E}}{4\pi} = 0,$$

也即是在全部空間內，电場强度必須等于零。如果这时能够求出感应强度的分布滿足条件 $\text{div } \mathbf{D} = 0$ ，則所得到的状态就相应于热力学平衡态^①。

令自由能的一阶变分等于零，我們只能得到自由能取极小值的必要条件，而不是充分的条件。要得到充分条件，必須研究二阶

^① 这里所指的导体是当 $\mathbf{E} = 0$ 时其中可能有 $\mathbf{D} \neq 0$ (参阅下一节)。在相反的情况下，在全部空間內，我們得到平庸結果： $\mathbf{E} = 0, \mathbf{D} = 0$ 。

变分。这些条件具有某种不等式的形式（称为热力学不等式），大家知道，这也即是使物体保持稳定状态的条件^①。

当 D 和 E 的关系为线性时，全部关系式可以大为简化，而我们感兴趣的热力学不等式（它与物体的介电性质有关）变成明显形式。于是总自由能为

$$F_0 + \int \frac{D^2}{8\pi s} dV.$$

显然，只有 $s > 0$ ，它才有极小值；否则，使感应强度 D 取任意大的值，可以使积分无限制地减小。由此可见，在这种情况下，我们实质上没有得到任何新的东西，因为我们已经知道，介电常数实际上不但必须是正值，而且还应该大于 1（参阅 § 14）。

在 D 和 E 的关系为任意的这类普遍情况下，必须考虑积分 (18.1) 的二阶变分，而且必须同时把 D 和 ρ 变分（只保持温度不变）。在各向同性物体内部， $F(T, \rho, D)$ 只与矢量 D 的绝对值有关，因而它的三个分量可以独立变分。选择未变分的矢量 D 的方向为 z 轴。于是矢量 D 的绝对值的变化可用它的分量的变化表示为（精确到二次项）

$$\delta D = \delta D_z + \frac{1}{2D} (\delta D_x)^2 + \frac{1}{2D} (\delta D_y)^2.$$

积分 (18.1) 的一阶和二阶变分都包含在下面的式子内：

$$\int \left\{ \frac{\partial F}{\partial D} \delta D + \frac{\partial F}{\partial \rho} \delta \rho + \frac{1}{2} \frac{\partial^2 F}{\partial D^2} \delta D^2 + \frac{\partial^2 F}{\partial D \partial \rho} \delta D \delta \rho + \frac{1}{2} \frac{\partial^2 F}{\partial \rho^2} \delta \rho^2 \right\} dV.$$

把 δD 代入，归并二次项后，得到二阶变分为

$$\int \frac{1}{2D} \frac{\partial F}{\partial D} (\delta D_x^2 + \delta D_y^2) dV +$$

^① 参阅“统计物理学”第 3 版，§ 21。

$$+ \int \left\{ \frac{1}{2} \frac{\partial^2 F}{\partial D^2} \delta D_z^2 + \frac{\partial^2 F}{\partial D \partial \rho} \delta D_z \delta \rho + \frac{1}{2} \frac{\partial^2 F}{\partial \rho^2} \delta \rho^2 \right\} dV. \quad (18.4)$$

这里写出的二项是各自独立的。如果 $\frac{1}{D} \frac{\partial F}{\partial D} > 0$, 则第一项为正值。但 $\frac{\partial F}{\partial D} = \frac{E}{4\pi}$, 于是视矢量 D 与矢量 E 为同向或反向, 导数 $\frac{\partial F}{\partial D}$ 取正值或取负值。由此可知, 矢量 D 和 E 必须是同向的。

(18.4)式第二项为正值的条件为

$$\frac{\partial^2 F}{\partial \rho^2} > 0, \quad (18.5)$$

$$\frac{\partial^2 F}{\partial \rho^2} \frac{\partial^2 F}{\partial D^2} - \left(\frac{\partial^2 F}{\partial \rho \partial D} \right)^2 > 0. \quad (18.6)$$

既然 $\frac{\partial F}{\partial \rho} = \zeta$, $\frac{\partial F}{\partial D} = \frac{E}{4\pi}$, 因而由其中第一式得出

$$\left(\frac{\partial \zeta}{\partial \rho} \right)_{D,T} > 0, \quad (18.7)$$

而第二式可写成雅可裨形式:

$$\frac{\partial \left(\frac{\partial F}{\partial D}, \frac{\partial F}{\partial \rho} \right)}{\partial (D, \rho)} = \frac{1}{4\pi} \frac{\partial (E, \zeta)}{\partial (D, \rho)} > 0.$$

从变数 D, ρ 变换到变数 D, ζ , 我们有

$$\frac{\partial (E, \zeta)}{\partial (D, \rho)} = \frac{\partial (E, \zeta)}{\partial (D, \zeta)} \frac{\partial (D, \zeta)}{\partial (D, \rho)} = \left(\frac{\partial E}{\partial D} \right)_\zeta \left(\frac{\partial \zeta}{\partial \rho} \right)_D > 0;$$

由于(18.7)式, 这个不等式等效于条件:

$$\left(\frac{\partial E}{\partial D} \right)_{\zeta,T} > 0. \quad (18.8)$$

这样一来, 我们就得到了所求的热力学不等式。在电场不存在时, 不等式(18.7)变成为等温压缩取正值的普通条件 $\left(\frac{\partial p}{\partial \rho} \right)_T > 0$ ①。由

① 我们记住, 当电场不存在时, ζ 是物质单位质量的热力学势, 而按照通常的热力学关系, 它的微分 $d\zeta = \frac{1}{\rho} dp - \frac{S}{\rho} dT$, 于是 $\left(\frac{\partial \zeta}{\partial \rho} \right)_T = \frac{1}{\rho} \left(\frac{\partial p}{\partial \rho} \right)_T$ 。在上面叙述的推导中, 并未考虑到通常的热力学不等式中的第二个式子, 即热容量为正的条件下。

不等式(18.8)得出 $s > 0$, 因为 $E \rightarrow 0$ 时, 感应强度 $D \rightarrow sE$ 。

在不等式(18.5)和(18.6)中, 第二式是更强的条件: 因为它比第一个不等式更早地被破坏, 而相反的情况则不可能。等式

$$\frac{\partial^2 F}{\partial \rho^2} \frac{\partial^2 F}{\partial D^2} - \left(\frac{\partial^2 F}{\partial \rho \partial D} \right)^2 = \frac{\partial(E, \zeta)}{\partial(D, \rho)} = 0$$

相应于所谓临界态^①。乘上异于零的因子 $\frac{\partial(D, \rho)}{\partial(E, \rho)}$ 后, 这一条件可

以更方便地写成另一种形式:

$$\frac{\partial(E, \zeta)}{\partial(E, \rho)} = \left(\frac{\partial \zeta}{\partial \rho} \right)_{E, T} = 0. \quad (18.9)$$

要求出物质的临界态保持稳定的附加条件, 必须研究三阶和四阶变分, 这里我们准备详细讨论。只是指出, 由它得到下列的结果:

$$\left(\frac{\partial^2 \zeta}{\partial \rho^2} \right)_{E, T} = 0, \quad (18.10)$$

$$\left(\frac{\partial^3 \zeta}{\partial \rho^3} \right)_{E, T} > 0, \quad (18.11)$$

这和电场不存在的式子相似。

例 題

試求电场内介电物质的临界点的移动

解. 把(10.18)的 ζ 的表达式代入(18.9)式, 我們得到

$$\left(\frac{\partial \zeta_0}{\partial \rho} \right)_T - \frac{E^2}{8\pi} \left(\frac{\partial^2 \varepsilon}{\partial \rho^2} \right)_T = 0.$$

当 $E = 0$ 时的化学势为 $\left(\frac{\partial \zeta_0}{\partial \rho} \right)_T = \frac{1}{\rho} \left(\frac{\partial p}{\partial \rho} \right)_T$ (参阅 118 頁上的底注), 式中的 $p = p(\rho, T)$ 必须理解为电场不存在时物质的状态方程。由此可见,

$$\left(\frac{\partial p}{\partial \rho} \right)_T = \frac{\rho E^2}{8\pi} \left(\frac{\partial^2 \varepsilon}{\partial \rho^2} \right)_T.$$

① 参阅“统计物理学”第三版, § 80。

当电场不存在时, 临界点由等式 $\left(\frac{\partial p}{\partial \rho}\right)_T = 0$ 求出, 而且对于它的稳定条件, 必须同时是 $\left(\frac{\partial^2 p}{\partial \rho^2}\right)_T = 0$ 。因此, 我们有

$$\left(\frac{\partial p}{\partial \rho}\right)_T \cong \frac{\partial^2 p}{\partial \rho^2} \Delta \rho + \frac{\partial^2 p}{\partial \rho \partial T} \Delta T \cong \frac{\partial^2 p}{\partial \rho \partial T} \Delta T,$$

式中 $\Delta T, \Delta \rho$ 分别为临界温度和密度的移动(如最后的结果所证实的, 这些移动是同一级小量), 最后, 对于温度的移动, 我们得到

$$\Delta T = \frac{\frac{\rho E^2}{8\pi} \left(\frac{\partial^2 \epsilon}{\partial \rho^2}\right)_T}{\frac{\partial^2 p}{\partial \rho \partial T}}$$

临界压强的移动, 按照

$$\Delta p = \left(\frac{\partial p}{\partial T}\right)_\rho \Delta T$$

由 ΔT 决定。为了求出 $\Delta \rho$, 必须同样地利用等式(18.10)。

§ 19. 铁电体

同一物质的不同晶体异构体, 有热电的, 也有非热电的。如果这两种异构体的转变是由于第二种相变, 则在转变点附近, 物质表现出一系列奇异的特性, 使它不同于通常的热电体。这些性质称为铁电性质。

在通常的热电晶体内, 自发极化方向的改变, 要求晶体点阵也作重大的改变。即使这种改变的最后结果在能量上是有利的, 但不可能实现它, 因为这要求克服很高的“能量势垒”。

在铁电体内, 情况迥然不同, 这是因为在第二种相变点附近(居里点处), 在热电相晶体点阵内的原子排列, 和在非热电相晶体点阵内的原子排列差别很小(由于这一点, 自发极化也很小)。由于这一原因, 自发极化方向的改变, 只要求晶体点阵作很小的改变(原子发生很小的位移), 因而比较容易发生。

物体的铁电性质的具体特征, 主要依赖于它的晶体对称性。热电相的自发极化方向(我们称它为铁电轴), 决定于居里点另一

边的非热电相的结构。在某些情况下,这种决定是唯一的,即铁电轴只能在完全一定的晶向上;在这种情况下,自发极化方向的确定,可精确到仅差一个正负号,因为在非热电相内,平行于铁电轴的两个相反方向,这时必须是完全等效的(否则,这种晶体异构体具有热电性质)。在另一些情况下,非热电相的对称性表现为在几个等价的晶向上容许发生自发极化^①。

根据第二种相变的普遍理论,发展了铁电体的定量理论,这是由 B. J. 金兹堡提出的(1945)^②。

作为进一步讨论的基础,我们提出下列一个与状态的热力学稳定性有关的思考。从这一观点看来,相变的特征是,在相变点的一边, $D=0$ 的状态是稳定的,而在另一边,在任何情况下,这种状态都不会是稳定的,结果产生不为零的感应强度(即使电场 E 等于零)。为了明确起见,我们下面将假定非热电相($D \neq 0$)相应于温度 $T < \Theta$ (Θ 为相变点),但是应着重指出,这种相分布虽然是比较常发生的,但却不是必然发生的,自然界也存在相反的情况。

首先,我们感兴趣的是物质的介电性质,开始我们假定,物体内不存在内应力。为了求出稳定条件,可以从物体的总热力学势为极小值(保持温度不变和电压等于零)的条件出发。如我们在 § 18 中所看到的,这条件归结为单位体积内的热力学势 Φ 的二阶变分为正值的条件。对于感应强度接近零的状态, Φ 的二阶变分简单地为下列的表达式:

① 第一种类型的例子是酒石酸钾钠,它的非热电相具有菱形对称性,其中(居里点上)铁电轴发生在完全一定的晶轴方向(二次轴之一),而且晶体点阵为单斜形的。

第二种例子是钛酸钡。它的非热电异构体具有立方点阵,而三个立方轴的任何一個都可以成为铁电轴。但在居里点上发生自发极化以后,这三个方向当然就不再等效了:只有铁电轴仍然是四次轴,而点阵变成正方形的。

② 参阅“统计物理学”第三版第十四章。但是下面的阐述与通常的形式不同。

$$\Phi - \Phi_0 = \frac{1}{8\pi} \varepsilon_{ik}^{-1} D_i D_k.$$

如果选择坐标轴为张量 ε_{ik} 的主轴, 那末

$$\Phi - \Phi_0 = \frac{1}{8\pi} \left(\frac{1}{\varepsilon^{(x)}} D_x^2 + \frac{1}{\varepsilon^{(y)}} D_y^2 + \frac{1}{\varepsilon^{(z)}} D_z^2 \right). \quad (19.1)$$

只要三个系数 $\frac{1}{\varepsilon^{(i)}}$ 都是正的, 则 $D=0$ 的状态总是满足稳定条件 (即相应于 Φ 为极小值)。因此, 只要这些系数有一个变号, 就可能产生热电相。第二种相变点相应地由这系数变为零的条件求出。

这时, $\frac{1}{\varepsilon^{(i)}}$ 变为零的轴成为铁电轴。根据非热电相的对称性, 在这里可能有各种不同的情况。如果这种对称性为 $\varepsilon^{(x)} \neq \varepsilon^{(y)} \neq \varepsilon^{(z)}$; 则(19.1)式的系数只有一个变为零, 于是铁电轴的位置是唯一的。如果 $\varepsilon^{(x)} = \varepsilon^{(y)} = \varepsilon^{(z)}$ (于此要求立方对称), 则三个系数同时为零, 于是铁电轴可发生于任一方向上 (见后面)。最后, 如果对称性为 $\varepsilon^{(x)} = \varepsilon^{(y)} \neq \varepsilon^{(z)}$, 则(19.1)式内的系数或者一个为零, 或者二个都为零。

我们首先来研究取铁电轴为 z 轴的单一位置的情况。这时在 x 和 y 轴方向, 晶体的介电性质不表现出任何异常现象, 而要研究 z 轴方向的介电性质, 只要考虑热力学势中含 D_z 的项就够了。

(19.1) 式实质上是 Φ 展开为 D 的幂级数的头几项。因为在相变点附近, $\frac{1}{\varepsilon^{(z)}}$ 很小, 因而除了二次项外, 在这一区域内, 还必须考虑对 D_z 的展开式内以下的一项。展开式内的奇次幂项不可能存在, 因为以 $-D_z$ 代换 D_z 时, 这些项变号 (同时 Φ 值改变), 而且沿 z 轴的两个方向在这种情况下是等效的。因此, 二次项以后的一项是含有 D_z^4 的项:

$$\Phi = \Phi_0 + \frac{1}{8\pi\epsilon^{(z)}} D_z^2 + \frac{B}{16\pi} D_z^4.$$

为了使 $D_z = 0$ 的状态在 $T = \Theta$ 的点处是稳定的, 十分显然, 必须使系数 B 在这一点及其周围取正值。在相变点附近, $\frac{1}{\epsilon^{(z)}}$ 可以展开为 $T - \Theta$ 之差的幂级数; 展开式的第一项为 $\alpha(T - \Theta)$, 其中系数 α 为正值(例如, $T > \Theta$ 时, 必须 $\frac{1}{\epsilon^{(z)}} > 0$)。于是,

$$\epsilon^{(z)} = \frac{1}{\alpha(T - \Theta)}, \quad (19.2)$$

而热力学势为

$$\Phi = \Phi_0 + \frac{\alpha(T - \Theta)}{8\pi} D_z^2 + \frac{B}{16\pi} D_z^4. \quad (19.3)$$

由上面写出的全部公式, 已足以阐明转变点附近我们所感兴趣的铁电体的全部性质。首先, 按照公式 $E_z = 4\pi \frac{\partial \Phi}{\partial D_z}$, 得到

$$E_z = \alpha(T - \Theta) D_z + B D_z^3. \quad (19.4)$$

这是确定铁电体的内应力和感应强度的关系的基本公式。

当 $T > \Theta$ (在非热电相内) 时, D_z 和 E_z 一起变为零。当 E_z 增大时 (保持 $T - \Theta$ 的值不变), 感应强度在开始时按线性定律 $\left[D_z = \frac{E_z}{\alpha(T - \Theta)} \right]$ 增加, 在 E_z 达到相当大值后, 则按定律 $D_z = \left(\frac{E_z}{B} \right)^{\frac{1}{3}}$ 而增加。线性定律内的比例系数 $\epsilon^{(z)}$ 是非热电相的介电常数。在 $T \rightarrow \Theta$ 时, 它与差值 $T - \Theta$ 成反比而无限地增加; 但是与此同时, 服从线性定律的区域逐渐缩小。

在 $T < \Theta$ (热电相) 时, $D_z = 0$ 一般地不相应于稳定状态。当 $E_z = 0$ 时, 感应强度具有不为零的值, 按照(19.4)式, 它等于

$$D_z = D_{z0} = \pm \sqrt{\frac{\alpha(\Theta - T)}{B}}. \quad (19.5)$$

由此可見,铁电体的自发极化 $P_{z0} = \frac{D_{z0}}{4\pi}$ 在趋近于居里点时与 $\sqrt{\Theta - T}$ 成正比地减少。

热电相的“介电常数”可以定义为 $E_z = 0$ 时导数 $\frac{dD_z}{dE_z}$ 所取的值。从(19.4)式,我們有

$$1 = [-\alpha(\Theta - T) + 3BD_z^2] \frac{dD_z}{dE_z},$$

把(19.5)代入上式,我們得到

$$\left. \frac{dD_z}{dE_z} \right|_{E_z=0} = \frac{1}{2\alpha(\Theta - T)}.$$

在 E_z 充分小时, D_z 和 E_z 的关系为

$$D_z - D_{z0} = \frac{1}{2\alpha(\Theta - T)} E_z. \quad (19.6)$$

由比較(19.2)和(19.6)得出,在离开居里点的相同距离上,热电相的“介电常数”比非热电相的介电常数小二倍。

将(19.3)式的 Φ 对温度求微分,得到熵为

$$S = - \left(\frac{\partial \Phi}{\partial T} \right)_D = S_0 - \frac{\alpha}{8\pi} D_z^2$$

(这里略去了四次項,因为二次項不为零)。在非热电相内, $E_z = 0$ 时 D_z 也等于零,于是 $S = S_0$ 。对于热电相,代入(19.5)式的 D_z , 得到

$$S = S_0 - \frac{\alpha^2}{8\pi B} (\Theta - T).$$

由此求得轉变点处热电相的热容量为

$$C_p = T \frac{\partial S}{\partial T} = C_{p0} + \frac{\alpha^2}{8\pi B} \Theta, \quad (19.7)$$

式中 C_{p0} 为同一点处非热电相的热容量。由此可知,如果 $E_z = 0$ 时铁电体从一种相轉变为另一种相,則和通常的第二种相变一样,伴随有热容量的突变。于是 $C_p > C_{p0}$, 也即是轉变为热电体时热

容量增大。

现在回到研究热电相内 (即 $T < \Theta$ 时) 的 (19.4) 式。图 13 所示是由这方程所得出的函数 $D_z(E_z)$ 的示例图。首先我们看到, 曲线 CC' 段 (图 13 上的虚线) 一般并不相应于自然界可能存在的稳定态。在这一段上,

$$\frac{\partial E_z}{\partial D_z} = 4\pi \frac{\partial^2 \Phi}{\partial D_z^2} < 0,$$

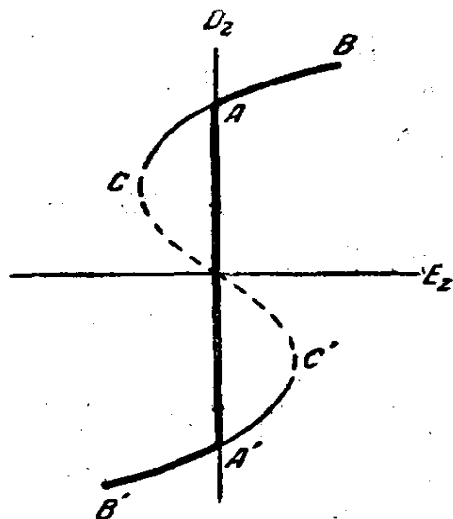


图 13

而且由热力学势的二阶变分应取正值的条件, 要求这个导数的正负号必须相反。 C 点和 C' 点的纵坐标由等式 $\frac{\partial E_z}{\partial D_z} = 0$ 求出, 于是我们得到结论, 在热电相内, $|D_z|$ 的可能值的下限为条件:

$$D_z^2 > \frac{\alpha(\Theta - T)}{3B}. \quad (19.8)$$

如果研究 E_z 为给定值时的铁电体状态, 则在 C 点和 C' 点的横坐标间的区域内, D_z 的可能值仍具有双值, 于是就产生了这两个可能值有什么物理意义的问题。在这里我们假设铁电体为均匀的平行平板 (铁电轴垂直于板面), 放在电容器的两板之间, 电容器两板上的电势保持不变, 也即是产生给定场强为 $E = E_z$ 的均匀电场。

当导体的电势不变时, 保持稳定的条件要求热力学势 $\tilde{\Phi} = \Phi - \frac{1}{4\pi} \mathbf{E} \mathbf{D}$ 为极小值。特别是 $\mathbf{E} = 0$ 时存在两种状态, 它们只相差 D_z 的正负号 (图 13 曲线上的 A 点和 A' 点), 但相应于同一个 $\tilde{\Phi}$ 值 ($= \Phi$)。因此, 这两个状态的稳定程度相同, 也即是它们代表两种同时存在的“相”, 并且互相接触。

由此可見，与曲綫上的 AC 和 $A'C'$ 段相应的状态不是絕对的稳定态，而只是亚稳定态。但是不难直接证明， AC 和 $A'C'$ 段上的 $\tilde{\Phi}$ 值，在相同的 E_z 值下，实际上要大于 $A'B'$ 和 AB 分支上相应的 $\tilde{\Phi}$ 值。 A 点和 A' 点的纵坐标由(19.5)式得出。由此可見，亚稳区域在下列間隔內：

$$\frac{\alpha(\Theta - T)}{3B} < D_z^2 < \frac{\alpha(\Theta - T)}{B}. \quad (19.9)$$

$E=0$ 的两“相”的存在是很重要的，因为这使铁电体可以分解为許多单个的区域(或“磁畴”)，它們的差別只是极化方向不同。在这些区域的分界面上， D 的法向分量和 E 的切向分量应滿足連續条件。其中第二个条件恒被滿足(因为一般地 $E=0$)。从第一个条件得出，磁畴壁必須平行于 z 軸。

磁畴的具体形状和大小，由物体的总热力学势为极小值的条件得出^①。

如果我們不討論这种结构的細节，而只研究物体內大于磁畴綫度的小段，則可以引入对这些段的体积求平均而得到的平均感应强度 \bar{D} 。显然，其分量 \bar{D}_z 可以取图 13 中 A 点和 A' 点的纵坐标間的一切值，也即是下列区域內的一切值：

$$-\sqrt{\frac{\alpha(\Theta - T)}{B}} < \bar{D}_z < \sqrt{\frac{\alpha(\Theta - T)}{B}}. \quad (19.10)$$

換句話說，如果在图 13 上把 D_z 理解为按上述意义平均得到的平均感应强度，則磁畴结构区域相应于豎直綫段 AA' ，而粗綫表示的曲綫 $BAA'B'$ ，則相应于物体所得到的全部稳定态。

铁电体必須具有磁畴结构，特别是当它不在外电場內时。实际上，在 § 18 內我們已見到，在沒有外加电場时，热力学平衡条件归結为 Φ 为 D 的函数取絕对极小值的条件；这时处处應該是 $E=$

① 对于铁电体，这个問題在現在几乎还未进行研究。

$=0$ ①。

现在研究立方系的铁电体（在非热电相内）。立方对称要求 $s^{(x)} = s^{(y)} = s^{(z)} \equiv s$ ，并容许有两个独立的四次不变式，它们由矢量 \mathbf{D} 的分量组成，例如两个不变式可以选择为

$$(D_x^4 + D_y^4 + D_z^4) \text{ 和 } (D_x^2 D_y^2 + D_x^2 D_z^2 + D_y^2 D_z^2).$$

因此，热力学势的展开式为

$$\begin{aligned} \Phi = \Phi_0 + \frac{\alpha(T - \Theta)}{8\pi} (D_x^2 + D_y^2 + D_z^2) + \frac{B}{16\pi} (D_x^4 + D_y^4 + D_z^4) \\ + \frac{C}{8\pi} (D_x^2 D_y^2 + D_x^2 D_z^2 + D_y^2 D_z^2), \end{aligned} \quad (19.11)$$

根据和上面相同的原因，我们假定了 $\frac{1}{8} = \alpha(T - \Theta)$ ； α, B, C 是常数。

然而，应该注意到，立方对称也容许有三次的不变式 $D_x D_y D_z$ （对不包含对称中心的立方晶类 T 和 T_d 而言）。在这种情况下， $\mathbf{D} = 0$ 的状态显然不满足稳定条件（不相应于 Φ 的极小值），于是居里点一般不存在。因此，铁电体的转变只在立方系的晶类 O, T_h 和 O_h 内存在，这也就是在(19.11)的展开式所作的假定。

(19.11)式内四次项之和必须是实在正值。为此，必须

$$B > 0, \quad C > -B. \quad (19.12)$$

如上面已指出的，没有外加电场时，铁电体的自发极化取决于 Φ 为 \mathbf{D} 的函数取绝对极小值的条件。特别是，因为(19.11)式内的二次项和 \mathbf{D} 的方向无关，因而自发极化方向决定于 D 的绝对值不变时四次项取极小值的条件。这时可能有两种情况。如果 $C > B$ ，则 Φ 的极小值相应于 \mathbf{D} 的方向在 x, y, z 轴的任一个轴上，

① 应着重指出，这里所指的是总热力学平衡，它们存在于铁电体内，但不可能存在于通常的热电体内，这是由于上面提到的极化重新改变取向是很困难的（因而形成磁畴也很困难）。

也即是在立方体三个棱的任何一棱上(晶轴方向为 $[001]$, $[010]$, $[100]$)。如果 $C < B$, 则当 D 的方向沿立方体四条空间对角线的任何一条时[晶轴方向为 $[111]$, $[\bar{1}11]$ 等等], 也即是当

$$D_x^2 = D_y^2 = D_z^2 = \frac{1}{3}D^2$$

时, Φ 达到极小值。在第一种情况下, 铁电体有自发极化的热电相是立方对称的, 而在第二种情况下, 为菱面对称。

例如, 我们更详细地来研究第一种情况($C > B$), 并且取居里点以下的自发极化方向为 z 轴。自发极化数值由下列式子的极小值求出

$$-\frac{\alpha(\Theta - T)}{8\pi}D^2 + \frac{B}{16\pi}D^4,$$

由此得

$$D_0^2 = \frac{\alpha(\Theta - T)}{B}. \quad (19.13)$$

当然, 在居里点以下, “介电常数”在 z 轴和在 x, y 轴上各不相同。如果电场 E 很小, 则 D_x, D_y 和 $D_z - D_0$ 也很小。微分(19.11)式, 这时我们得到

$$E_z = 4\pi \frac{\partial \Phi}{\partial D_z} = -\alpha(\Theta - T)D_z + BD_z^3 \cong 2BD_0^2(D_z - D_0),$$

$$E_x = 4\pi \frac{\partial \Phi}{\partial D_x} \cong [CD_0^2 - \alpha(\Theta - T)]D_x,$$

由此得

$$D_z - D_0 = \frac{1}{2\alpha(\Theta - T)}E_z,$$

$$D_x = \frac{1}{\alpha(\Theta - T)\left(\frac{C}{B} - 1\right)}E_x. \quad (19.14)$$

在居里点以上, 立方铁电体的介电常数在各方向均相同, 即等于

$$s = \frac{1}{\alpha(T - \Theta)}. \quad (19.15)$$

最后,扼要地讨论一下铁电体的弹性性质。

根据晶类的不同,铁电体的非热电相可以具有或不具有压电性质^①。在这种情况下,特别有趣的是那种压电晶体,它们的对称性容许在形变和沿铁电轴的极化之间有压电关系存在。属于这一类的为晶类 D_2, D_{2d}, S_4 ; 在这三种情况下,铁电轴上的感应强度 D_z 包含在热力学势的压电部分内,其形式为^②

$$-\lambda_{z,xy} D_z \sigma_{xy}$$

具有上述对称性的晶体,其在弹性性能内的 σ_{xy} 分量,包含在下列形式的项内:

$$-\mu_{xyxy} \sigma_{xy}^2$$

这样一来,我们得到居里点附近的热力学势为(为简单起见,采用符号 $\lambda_{z,xy} = \lambda, \mu_{xyxy} = \mu$)

$$\Phi = \Phi_0 + \frac{\alpha(T - T_0)}{8\pi} D_z^2 + \frac{B}{16\pi} D_z^4 - \lambda D_z \sigma_{xy} - \mu \sigma_{xy}^2. \quad (19.16)$$

包含其余分量的项,我们不感兴趣,因为它们不会导致居里点附近的压电性质有任何异常现象。

将 Φ 对 D_z 和 σ_{xy} 求微分,我们得到电场 E_z 和形变 u_{xy} 为^③

$$E_z = 4\pi \frac{\partial \Phi}{\partial D_z} = \alpha(T - T_0) D_z + BD_z^3 - 4\pi \lambda \sigma_{xy}, \quad (19.17)$$

$$u_{xy} = \frac{1}{2} \lambda D_z + \mu \sigma_{xy}. \quad (19.18)$$

① 具有压电性质的铁电体的非热电相属于 109 页上所列十种晶类中的八类: $D_2, D_4, D_{2d}, S_4, D_3, D_6, C_{3h}, D_{3h}$ 。

② 因为我们在这里利用了势 Φ , 而没有如 § 17 中一样采用 $\tilde{\Phi}$, 因而压电张量 λ_i, k_l 也不和前面引入的张量 λ_i, k_l 相同。当然,这些张量的对称性是一样的。

③ 关于对分量 u_{ik} 的微分,参阅 110 页上的底注。

当电场 E 很弱时, 在非热电区域内, 可以略去(19.17)式内含有 D_z^3 的项:

$$E_z = \alpha(T - T_0)D_z - 4\pi\lambda\sigma_{xy}.$$

把(19.18)的 D_z 代入上式, 我们得到

$$u_{xy} = \frac{\lambda}{2\alpha(T - T_0)}E_z + \left[\mu + \frac{2\pi\lambda^2}{\alpha(T - T_0)} \right] \sigma_{xy}.$$

这个式子内 σ_{xy} 前面的系数, 在电场强度 E_z 保持不变时, 起着形变的弹性模量的作用, 而(19.18)式中的 μ 是感应强度 D_z 不变时的形变的弹性模量。因此, 可以写出

$$\mu^{(E)} = \mu^{(D)} + \frac{2\pi\lambda^2}{\alpha(T - T_0)}, \quad (19.19)$$

式中的上角标表示形变特征。我们看到, 这两个系数在居里点附近的行为完全不同: 在趋近居里点时 $\mu^{(D)}$ 成为有限的常数值, 而模量 $\mu^{(E)}$ 则无限制地增大。

在热电区域内, (19.18)式指明, 自发极化引起物体发生一定的形变。当内应力不存在和场强 E 为零时, 形变 u_{xy} 和 D_{z0} 成正比, 也即是按照(19.5)式, 与 $\sqrt{\Theta - T}$ 成正比。

如果铁电体的非热电相的对称性(例如立方对称)不容许存在线性(对 D 来说)的压电效应, 则在热力学势展开为 σ_{ik} 和 D 的幂级数内, 不为零的头几项是 D_i 分量的二次项, 也即是其形式为

$$-\gamma_{iklm}D_iD_k\sigma_{lm}, \quad (19.20)$$

式中 γ_{iklm} 是四秩张量, 它对两对下角标 i, k 和 l, m 都是对称的。

对热力学势采用(19.20)式的合理性, 可能会引起怀疑, 因为在 § 17 中曾经指出过, 只有在略去二次效应的条件下, 才能利用(19.20)式。但是, 由于电场强度 E 比感应强度 D ^① 小得多(在居

① 例如, 从(19.4)式看出, 等式右边的第一项包含小量 $T - \Theta$, 而第二项包含 D 的三次项。

里点附近), 因此, 铁电体在这种意义上是一个例外。热力学势的引进, 是由于忽略了与 EDu_{ik} 同数量级的量(或者与 $ED\sigma_{ik}$ 同数量级的量); 而(19. 20)式是与 $D^2\sigma_{ik}$ 同数量级的量。

第三章 恒定电流

§ 20. 电流密度和电导率

上面已經討論过了靜电荷所产生的电場，現在我們来研究导体內电荷的穩定运动(恒定电流)。

我們用 \mathbf{j} 表示电荷通量的平均密度，称它为电流密度^①。在恒定电流內， \mathbf{j} 的空間分布与時間无关，而且遵从下列方程：

$$\operatorname{div} \mathbf{j} = 0, \quad (20.1)$$

这个式子表明在导体任何一部分体积內的总平均电荷不变。

恒定电流流过的导体內的电場，也是不变的，因此，滿足下列方程：

$$\operatorname{rot} \mathbf{E} = 0, \quad (20.2)$$

也即是它具有电势。

除了(20.1)和(20.2)式以外，还应该加上一个联系量 \mathbf{j} 和 \mathbf{E} 的方程。这种关系与导体的性质有关。在大多数的情况下，可以假定它是綫性关系(欧姆定律)。

如果导体是均匀和各向同性的，則这种綫性的依賴关系变成为简单的比例关系：

$$\mathbf{j} = \sigma \mathbf{E}. \quad (20.3)$$

系数 σ 依赖于导体的性质和状态，称为电导系数，或簡称为导体的电导率。

在均匀导体內， $\sigma = \text{常数}$ ；把(20.3)式代入(20.1)式，得到

① 在这一章內，我們不討論电流所产生的磁場，因而也不考虑磁場对电流的反作用。要考虑这种影响，必須使电流密度的定义精确化，这将在 § 29 內进行。

$\operatorname{div} \mathbf{E} = 0$ 。因此，在这种情况下，电场的势满足拉普拉斯方程 $\Delta\varphi = 0$ 。

在两种导电媒质的分界面上，电荷密度的法向分量显然必须为连续的。此外，按照电场强度的切向分量为连续的普遍条件[由 $\operatorname{rot} \mathbf{E} = 0$ 得出，试比较(1.7)和(6.9)式]，比值 $\frac{j}{\sigma}$ 也应为连续的。于是，电流密度的边界条件为

$$j_{n1} = j_{n2}, \quad \frac{j_{t1}}{\sigma_1} = \frac{j_{t2}}{\sigma_2} \quad (20.4)$$

或者电场强度的边界条件为

$$\sigma_1 E_{n1} = \sigma_2 E_{n2}, \quad \mathbf{E}_{t1} = \mathbf{E}_{t2} \quad (20.5)$$

在导体和非导电媒质的分界面上，简单地有 $j_n = 0$ 或 $E_n = 0$ ①。

维持电流的电场对在导体内运动的电荷(载流子)作机械功，1秒内在单位体积内所作的功，显然等于 \mathbf{jE} 的乘积。这功在导体的物质内转变成热而消失掉。因此，在均匀导体的单位体积内，在1秒内所放出的热量等于

$$\mathbf{jE} = \sigma E^2 = \frac{j^2}{\sigma} \quad (20.6)$$

(即焦耳-楞茨定律)。

热的放出使导体的熵增加，如果放出的热量为 $dQ = \mathbf{jE}dV$ ，则体积元的熵增加 $\frac{dQ}{T}$ 。因此，物体总熵的变化速度等于

$$\frac{d\mathcal{S}}{dt} = \int \frac{\mathbf{jE}}{T} dV. \quad (20.7)$$

① 我们注意到方程 $\operatorname{rot} \mathbf{E} = 0$, $\operatorname{div}(\sigma \mathbf{E}) = 0$ ，并注意到它们的边界条件(20.5)，在形式上和电介质内的静电场方程相似，所不同的地方只是用 σ 代替了 ϵ 。根据这些情况，可以由直接解相似的静电学问题，求出无限导电媒质内电流分布问题的解。但存在导体和非导电媒质的分界面时，由这种相似性达不到上述的目的，因为在静电学问题中，不存在 $\epsilon = 0$ 的媒质。

由于熵增加原理, 这个导数必须为正值。把 $\mathbf{j} = \sigma \mathbf{E}$ 代入上式, 我們看到, 从这个要求可以得出电导率 σ 为正值的结果。

在各向异性物体(单晶体)内, 矢量 \mathbf{j} 和 \mathbf{E} 的方向, 一般說来不是相合的, 它們之間的綫性关系可用下式表示为

$$j_i = \sigma_{ik} E_k, \quad (20.8)$$

式中量 σ_{ik} 构成二秩的对称張量(見后)(电导率張量)。

这里还必须作下列說明。晶体的对称性容許在 \mathbf{j} 和 \mathbf{E} 的綫性关系中存在一自由項, 也即是有下列形状的式子

$$j_i = \sigma_{ik} E_k + j_i^{(0)}$$

而矢量 $\mathbf{j}^{(0)}$ 为常数。这一項的存在表明导体具有压电性质——即沒有电流通过($\mathbf{j} = 0$)时导体内存在不为零的电場。但是, 实际上, 由于熵增加原理, 这是不可能的, 因为在(20.7)的被积式内, $\mathbf{j}^{(0)} \mathbf{E}$ 項显然有两个正負号, 因而, \mathcal{P} 不可能为实在正值。

在各向同性媒质内, 从 $\mathcal{P} > 0$ 的条件, 可得到 σ 为正值, 与此相似, 在各向异性物体内, 从这个条件也可以得到張量 σ_{ik} 的主值为正值的结果。

独立的張量分量的数目与晶体对称性的依賴关系, 和任何二秩的对称張量完全一样(参閱 § 13): 在双軸晶体中, 三个主值各不相同, 在单軸晶体内, 二个主值相同, 而在立方晶体内, 三个主值全同, 也即是立方晶体的导电性质和各向同性物体完全一样。

电导率張量的对称性

$$\sigma_{ik} = \sigma_{ki} \quad (20.9)$$

是从所謂动力系数对称原理得出的必然结果。这个普遍原理是由 J. 昂塞格提出的, 为了便于本节和下面各节 (§§ 25, 26) 应用, 表述如下^①。

① 参閱“統計物理学”, 第 3 版 § 118, 1951; “連續介质力学”, 第 2 版, § 58, 1953。

設 x_1, x_2, \dots 是表征物体每一点的状态的量。除此之外，我們引入量

$$X_a = -\frac{\partial S}{\partial x_a}, \quad (20.10)$$

式中 S 为物体单位体积的熵，取导数时假設这体积内的能量不变。在接近于平衡的状态下，量 x_a 接近于其平衡状态的值，而 X_a 則很小。这时物体內发生一种过程，趋向于使物体回到平衡状态。量 x_a 在这些过程中的变化速度，通常可以这样来推断：即在物体內的每一点处，它們只是这些点处的量 x_a (或 X_a) 的函数。把这些函数展开成 X_a 的幂級数，并限于取展开式內的綫性項，于是得到下面的关系式：

$$\frac{\partial x_a}{\partial t} = -\sum_b \gamma_{ab} X_b. \quad (20.11)$$

因而，可以断言，系数 γ_{ab} (称为动力系数) 对下角标 a 和 b 是对称的：

$$\gamma_{ab} = \gamma_{ba}. \quad (20.12)$$

要实际应用这一原理，必須用某种方法选定量 x_a (或它們的导数 \dot{x}_a)，然后求出相应的 X_a 。我們利用物体总熵随時間变化的速度公式，通常可以很简单地解决这一問題：

$$\frac{dS}{dt} = -\int \sum_a X_a \frac{\partial x_a}{\partial t} dV, \quad (20.13)$$

式中的积分对物体的全部体积进行。

在現在的情况下，导体內有电流流过，因此我們得到这一速度公式为(20.7)式。把这式子和(20.13)式比較，我們看到，如果取电流密度矢量 \mathbf{j} 的分量作为 \dot{x}_a 量，則量 X_a 为矢量 $-\frac{\mathbf{E}}{T}$ 的分量。比較(20.8)和(20.11)式指出，这时动力系数就是电导率張量分量乘上 T ，于是这一張量的对称性可从普遍关系式(20.12)直接得出。

例 題

1. 設在导电媒质內有一电极系, 其电势保持为 φ_0 。每一电极通过电流 J_0 , 試求 1 秒內媒质所放出的总焦耳热。

解. 所求的焦耳热 Q 由下列积分得出

$$Q = \int \mathbf{j} \cdot \mathbf{E} dV = - \int \mathbf{j} \cdot \nabla \varphi dV = - \int \operatorname{div}(\varphi \mathbf{j}) dV,$$

式中的积分对媒质的整个体积进行。把这积分变换成面积分, 并考虑到在媒质的外边界上, $j_n = 0$, 而在电极的表面, $\varphi = \text{常数} \equiv \varphi_0$ 。于是得到

$$Q = \sum_0 \varphi_0 J_0.$$

2. 設有电流 J 从导电球的一极流入, 从另一极流出, 試求导电球內的电势分布。

解. 在极点 O 和 O' 附近(图 14), 电势分別为

$$\varphi = \frac{J}{2\pi\sigma} \frac{1}{R_1} \text{ 和 } \varphi = -\frac{J}{2\pi\sigma} \frac{1}{R_2},$$

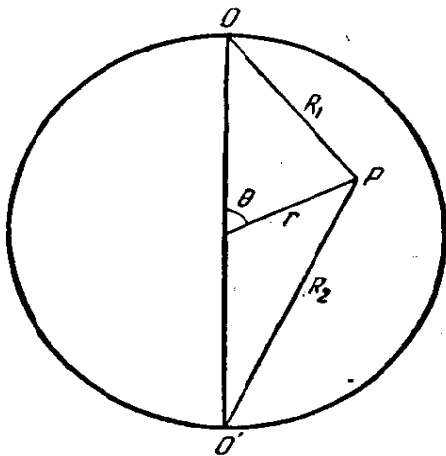


图 14

式中 R_1, R_2 是至两极点的距离。这些函数满足拉普拉斯方程, 而积分 $-\sigma \int \nabla \varphi \cdot d\mathbf{f}$ 对包围 O 和 O' 点的无限小的半球积分, 等于 $\pm J$ 。在球內任意点 P 处的电势为

$$\varphi = \frac{J}{2\pi\sigma} \left\{ \frac{1}{R_1} - \frac{1}{R_2} + \psi \right\},$$

式中 ψ 是拉普拉斯方程的解, 它在球內和球面上沒有极点。从对称性看出, ψ (和 φ 一样) 只是球面坐标 r 和 θ 的函数。

在球面上 ($r = a$), 必須 $\frac{\partial \varphi}{\partial r} = 0$ 。

取微分后, 由此求得 ψ 的边界条件为

$$\frac{\partial \psi}{\partial r} = \frac{1}{2a} \left(\frac{1}{R_1} - \frac{1}{R_2} \right), \text{ 当 } r = a.$$

如果 $f(r, \theta)$ 是拉普拉斯方程的某一个解, 則函数 $\int_0^r \frac{f(r, \theta)}{r} dr$ 也是它的一个

解①。与上述的边界条件比较,容易得出,满足它的解为

$$\psi = \frac{1}{2} \int_0^r \left(\frac{1}{R_1} - \frac{1}{R_2} \right) \frac{dr}{r}.$$

代入 $R_{1,2} = \sqrt{a^2 + r^2 \mp 2ar \cos \theta}$, 并进行积分后,最后得到

$$\varphi = \frac{J}{2\pi\sigma} \left\{ \frac{1}{R_1} - \frac{1}{R_2} + \frac{1}{2a} \left(\text{Arsh} \frac{a+r \cos \theta}{r \sin \theta} - \text{Arsh} \frac{a-r \cos \theta}{r \sin \theta} \right) \right\}.$$

3. 试证明,导电媒质内的电流分布相应于能量的极小弥散。

解. 这里所指的是在表示电荷守恒的附加条件 $\text{div } \mathbf{j} = 0$ 下求出积分

$\int \mathbf{j} \mathbf{E} \, dV = \int \frac{\mathbf{j}^2}{\sigma} \, dV$ 的极小值。将下列积分对 \mathbf{j} 取变分:

$$\int \left(\frac{\mathbf{j}^2}{\sigma} - 2\varphi \text{div } \mathbf{j} \right) dV$$

(2φ 是拉格朗日未定因子), 并令这变分等于零, 于是得到方程 $\mathbf{j} = -\sigma \nabla \varphi$, 或者

$$\text{rot } \frac{\mathbf{j}}{\sigma} = 0,$$

这个式子与(20.2)和(20.3)式相同。

§ 21. 霍耳效应

如果导体在外磁场 \mathbf{H} 内, 则电流密度和电场强度之间的关系, 和前面一样, 由下列关系式给出:

$$j_i = \sigma_{ik} E_k,$$

但是电导率张量 σ_{ik} 的分量是 \mathbf{H} 的函数, 而且尤其重要的是, 它对下角标 i 和 k 已经不是对称的。在 § 20 中, 我们曾从动力系数的对称性原理出发, 证明了这个张量的对称性质。但是大家知道, 在磁场内, 这个原理的表述形式稍有改变: 当动力系数的下角标交换

① 这一点是很容易证明的, 无论利用直接验算, 或者根据下列情况, 即拉普拉斯方程任何只与变数 r 和 θ 有关的解 $f(r, \theta)$ 都可写成下列形式:

$$f = \sum_n c_n r^n P_n(\cos \theta),$$

式中 c_n 为常数, 而 P_n 为勒上特多项式。

位置时, 磁場方向也必須改变为反方向^①。因此, 对于張量 $\sigma_{ik}(\mathbf{H})$ 的分量, 我們現在得到关系式:

$$\sigma_{ik}(\mathbf{H}) = \sigma_{ki}(-\mathbf{H}). \quad (21.1)$$

量 $\sigma_{ik}(\mathbf{H})$ 和 $\sigma_{ki}(\mathbf{H})$ 互不相等。

和普通的二秩張量一样, 張量 σ_{ik} 也可以分成对称的和反对称的两部分, 我們分別用 s_{ik} 和 a_{ik} 来表示:

$$\sigma_{ik} = s_{ik} + a_{ik}. \quad (21.2)$$

按照定义,

$$\left. \begin{aligned} s_{ik}(\mathbf{H}) &= s_{ki}(\mathbf{H}), \\ a_{ik}(\mathbf{H}) &= -a_{ki}(\mathbf{H}), \end{aligned} \right\} \quad (21.3)$$

但从(21.1)得出,

$$\left. \begin{aligned} s_{ik}(\mathbf{H}) &= s_{ki}(-\mathbf{H}) = s_{ik}(-\mathbf{H}), \\ a_{ik}(\mathbf{H}) &= a_{ki}(-\mathbf{H}) = -a_{ik}(-\mathbf{H}). \end{aligned} \right\} \quad (21.4)$$

由此可見, 張量 s_{ik} 的分量是磁場的偶函数, 而張量 a_{ik} 的分量則是磁場的奇函数。

大家知道, 任何二秩的反对称張量 a_{ik} , 等效于某一軸矢量, 这軸矢量和它的分量的关系式为

$$a_{xy} = a_z, \quad a_{xz} = -a_y, \quad a_{yz} = a_x, \quad (21.5)$$

利用这个矢量, 可以把乘积 $a_{ik} E_k$ 的分量写成矢积 $[\mathbf{Ea}]$ 的分量:

$$j_i = \sigma_{ik} E_k = s_{ik} E_k + [\mathbf{Ea}]_i. \quad (21.6)$$

电流流过时所放出的焦耳热, 由乘积 \mathbf{jE} 得出。由于矢量 $[\mathbf{Ea}]$ 和 \mathbf{E} 是相互正交的, 因而它們的乘积恒为零, 于是

$$\mathbf{jE} = s_{ik} E_i E_k \quad (21.7)$$

也即是焦耳热只决定于导电率張量的对称部分 (\mathbf{E} 的强度保持不变)。

^① 参閱“統計物理学”第三版, § 118。

外磁場大半可以假定为弱場；于是电导率張量分量可以展开为H的幂級数。由于函数 $\alpha(H)$ 是奇次的，因此在这个張量的展开式內只包含奇次幂的項。展开式的头几項是磁場的綫性項，即具有下列形式：

$$\alpha_i = \alpha_{ik} H_k. \quad (21.8)$$

矢量 \mathbf{a} 和 \mathbf{H} 都是軸矢量；因此常数 α_{ik} 构成一个普通(极)張量。在偶函数 $s_{ik}(H)$ 的展开式內，只包含偶次幂的項。展开式的第一項是磁場不存在时的电导率 $\sigma_{ik}^{(0)}$ ，而头几个修正項是場的二次項：

$$s_{ik} = \sigma_{ik}^{(0)} + \beta_{iklm} H_l H_m. \quad (21.9)$$

張量 β_{iklm} 無論对下角标 i, k 或下角标 l, m 而言，都是对称的。

因此，磁場的主要效应是場的綫性項 $[\mathbf{E}\mathbf{a}]$ (称为霍耳效应)。如我們看到的，这一效应是在与电場垂直的方向上产生电流，其数值与磁場强度成正比。但是应该注意的是，在任意的各向异性媒质的普遍情况下，霍耳电流并不是唯一与 \mathbf{E} 垂直的电流，非霍耳电流 $s_{ik} E_k$ 也可能有这种方向的分量。

对霍耳电流还可以有另一个看法，这是从用电流密度表示电場 \mathbf{E} 的逆公式而得出的：

$$E_i = \sigma_{ik}^{-1} j_k.$$

逆張量 σ_{ik}^{-1} 和張量 σ_{ik} 一样，可以分为对称部分(我們用 ρ_{ik} 表示)和反对称部分，后者与一軸矢量 \mathbf{b} 等效：

$$E_i = \rho_{ik} j_k + [\mathbf{j}\mathbf{b}]_i. \quad (21.10)$$

張量 ρ_{ik} 和矢量 \mathbf{b} 的性质与 s_{ik} 和 \mathbf{a} 的相同。特别是在弱場的情况下，矢量 \mathbf{b} 对磁場而言是綫性的。在(21.10)式內，霍耳效应由 $[\mathbf{j}\mathbf{b}]$ 項表示，也即是产生和电流垂直的电場，其数值与磁場(和电流 \mathbf{j})成正比。

如果导体是各向同性的，則上面得到的全部关系式可以大大

地简化。在这种情况下，根据对称性可明显地看出，矢量 \mathbf{b} (或 \mathbf{a}) 的方向必须平行于磁场方向。张量 ρ_{ik} 的唯一不为零的分量是 $\rho_{xx} = \rho_{yy}$ 和 ρ_{zz} ，此处选择 z 轴方向为磁场方向。我们用 ρ_{\perp} 和 ρ_{\parallel} 来表示这两个分量，并选择 xz 平面通过电流方向，于是得到

$$E_x = \rho_{\perp} j_x, \quad E_y = -b j_x, \quad E_z = \rho_{\parallel} j_z. \quad (21.11)$$

由此看出，在各向同性导体内，霍尔电场是唯一的同时垂直于电流和磁场的电场。

在弱磁场内，矢量 \mathbf{b} 和 \mathbf{H} 的关系 (在各向同性导体内) 简单地由下式给出：

$$\mathbf{b} = -R\mathbf{H}. \quad (21.12)$$

常数 R 称为霍尔常数，既可以为正值，也可以为负值。在 \mathbf{E} 和 \mathbf{j} 的关系式内的 \mathbf{H} 的二次项形式 (通过张量 ρ_{ik} 包含在关系式内)，可以从 \mathbf{j} 和 \mathbf{H} 所组成的唯一矢量是 $\mathbf{H}(\mathbf{jH})$ 和 \mathbf{jH}^2 (对 \mathbf{j} 为线性的和对 \mathbf{H} 为二次的) 明显地看出。因此，在各向同性导体内，考虑到 \mathbf{H} 的二次项， \mathbf{E} 和 \mathbf{j} 的普遍关系式为

$$\mathbf{E} = \rho^{(0)}\mathbf{j} + R[\mathbf{Hj}] + \beta_1\mathbf{jH}^2 + \beta_2\mathbf{H}(\mathbf{Hj}). \quad (21.13)$$

例 题

试用 s_{ik} 和 \mathbf{a} 的分量来表示逆张量 σ_{ik}^{-1} 的分量。

解. 最简单的是选择坐标系 x, y, z 进行计算，其中坐标轴为张量 s_{ik} 的主轴，然后根据所得到的表达式的形式，很容易得到它们在任何坐标系内的普遍形式。张量的行列式为

$$|\sigma| = \begin{vmatrix} s_{xx} & a_z & -a_y \\ -a_z & s_{yy} & a_x \\ a_y & -a_x & s_{zz} \end{vmatrix} = s_{xx}s_{yy}s_{zz} + s_{xx}a_x^2 + s_{yy}a_y^2 + s_{zz}a_z^2.$$

显然，在普遍情况下，

$$|\sigma| = |s| + s_{ik}a_i a_k.$$

组成这个行列式的子式，于是得到逆张量的分量为

$$\sigma_{xx}^{-1} = \rho_{xx} = \frac{s_{yy}s_{zz} + a_x^2}{|\sigma|},$$

$$\sigma_{xy}^{-1} = \rho_{xy} + b_z = \frac{a_x a_y - a_z s_{zz}}{|\sigma|}, \dots$$

变换到我們所选择的坐标系的普遍表达式为

$$\rho_{ik} = \frac{1}{|\sigma|} \left\{ s_{ik}^{-1} |\sigma| + a_i a_k \right\},$$

$$b_i = -\frac{1}{|\sigma|} s_{ik} a_k,$$

由此即可以解出所提出的問題。

§ 22. 接触电势差

为了使带电粒子从导体表面脱离出来，必須对它作一定的功。如果带电粒子是用热力学可逆方式脱出的，則必須对粒子做功，这功称为脱出功。这个量总是正值，我們从点电荷被吸向一切中性物体，其中也包括导体，可以直接得出这一点（参閱 §14）。下面把这功化为单位（正）电荷的功更为方便。由这样定出的“脱出势” W 的正負号，和被脱出粒子的电荷的正負号相同。

脱出功既依赖于导体的种类（及其热力学状态——温度、密度），也依赖于带电粒子的种类。例如，在同一种金属内，传导电子或离子从金属表面脱出时，脱出功各不相同。还必须着重指出，脱出功是表征导体表面特性的一个量，而不是表征导体体积性质的量。因此，脱出功例如也与加工方式和沾染程度有关。如果导体是单晶体，則在不同的棱上脱出功也不相同。

为了闡明脱出功依赖于导体表面特性的物理性质，我們来研究脱出功与物质表面层的电结构的关系。把 $\rho(x)$ 了解为未对 x 轴方向的物理无限小长度元取平均值的电荷密度（ x 轴垂直于层面），于是我們可以写出表面层内的泊松方程为

$$\frac{d^2\phi}{dx^2} = -4\pi\rho.$$

設导体的区域相应于 $x < 0$ 。积分一次，得到

$$\frac{d\varphi}{dx} = -4\pi \int_{-\infty}^x \rho dx,$$

然后进行分部积分：

$$\varphi - \varphi_{-\infty} = -4\pi x \int_{-\infty}^x \rho dx + 4\pi \int_{-\infty}^x x \rho dx.$$

当 $x \rightarrow \infty$ 时，积分 $\int_{-\infty}^x \rho dx$ 迅速趋向于零（由于未带电导体表面是电中性的）。因此，

$$\varphi(+\infty) - \varphi(-\infty) = 4\pi \int_{-\infty}^{+\infty} x \rho dx.$$

等式右边的积分代表分布于导体表面附近的电荷的偶极矩。这种分布具有“双层”的特征，其中正负号相反的电荷分开，使电荷系的偶极矩不为零。当然，双层的结构与表面的性质（它的晶轴方向、污染程度等）有关。给定导体的不同表面上的脱出势之差，决定于它们的偶极矩之差。

如果使两种不同的导体互相接触，则它们之间发生带电粒子的交换。这时电荷将从脱出功小的导体转移到脱出功大的导体上，一直到两导体之间建立了电势差阻止电荷的转移为止——这种电势差称为接触电势差。

图 15 所示是两种互相接触的导体 (a 和 b) 在其自由表面 AO 和 OB 附近的横剖面图。两表面上的电势分别用 φ_a 和 φ_b 表示；接触电势差为 $\varphi_{ab} = \varphi_b - \varphi_a$ 。由热力学平衡条件，可以求出电势差和脱出功之间的定量关系。假设把一个电荷为 e 的粒子，从导体 a 内通过表面 AO 取出，然后又把它移到表面 OB 上，最后带到导体 b 内，我们来研究这时对该粒子所作的功；在热力学平衡状态下，

这功应等于零^①。在上面所指出的三个步骤中，对粒子所作的功分别等于 eW_a ， $e(\varphi_b - \varphi_a)$ 和 $-eW_b$ 。令它们的总和等于零，我们得到所求的关系式为

$$\varphi_{ab} = W_b - W_a. \quad (22.1)$$

由此可见，两个导体互相接触时，相邻两自由面间的接触电势差，等于它们的脱出电势差。

接触电势差的存在，使在导体外的空间内出现电场。求出接触点附近的电场值并不困难。在交线附近的小区域内(图 15 内的 O 点)，可以把两个导体的相交面看作平面。于是导体外的场势满足方程：

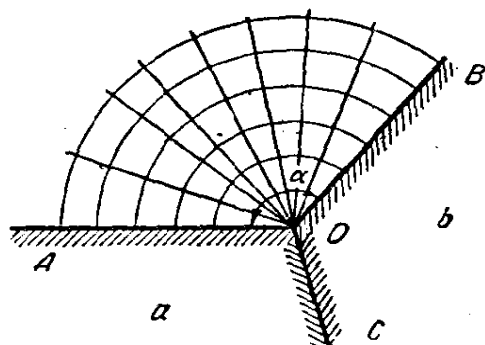


图 15

$$\Delta\varphi = \frac{1}{r} \frac{\partial}{\partial r} \left(r \frac{\partial \varphi}{\partial r} \right) + \frac{1}{r^2} \frac{\partial^2 \varphi}{\partial \theta^2} = 0$$

(r, θ 为极坐标，其原点在 O 点)，而在 AO 和 OB 面上，场势必须取给定的恒定值。这时我们感兴趣的解是包括 r 的最低幂的解，它代表场势展开成小距离 r 的幂级数内的主要项。于是这解为 $\varphi = \text{常数} \cdot \theta$ 。 θ 角从 AO 边算起，并令场势等于零，于是得到

$$\varphi = \frac{\varphi_{ab}}{\alpha} \theta, \quad (22.2)$$

式中 α 为 $\angle AOB$ 。由此可见，等势线(在图平面内)是从 O 点发出的直线，相应地，电力线是以 O 点为中心的一族圆弧。电场强度等于

$$E = -\frac{1}{r} \frac{\partial \varphi}{\partial \theta} = -\frac{\varphi_{ab}}{\alpha} \frac{1}{r}, \quad (22.3)$$

^① 不言而喻，实际上，粒子只是通过它们的接触面，而不是通过它们周围的空间从一导体过渡到另一导体内。但是，我们在这里利用了这过渡功和路程无关这一点。

也即是电场强度随至 O 点的距离成反比地减小。

如上面所指出的，在金属单晶体的各面之间也存在“接触”电势差。因此，在晶棱附近，也必须存在上面所指出的性质的电场^①。

如果把许多金属导体(在相同温度下)依次连结起来，则在最边缘的导体之间的电势差，简单地等于它们的脱出电势差[这根据(22.1)式很容易得出]，和两种直接接触的导体的情况完全一样。特别是，如果电路两端是相同的金属，则它们之间的电势差等于零。这种情况是很明显的，因为如果在相同导体之间存在电势差，那末当电路接通时就会有电流产生，这是和热力学第二定律矛盾的。

§ 23. 伽伐尼电池

如果电路内是载流子的种类不相同的导体(金属和电解溶液)，则上节末所作的说明就失去意义。由于同一种导体对于不同带电粒子的(电子和离子)脱出功也是不同，因此，即使电路两端是相同的导体，这时电路内的总接触电势差也不为零。这种总电势差称为电路内的电动势，它不外是闭合电路两端两相同导体间的电势差。当这种电路接通时就会有电流流过。伽伐尼电池的工作，就是根据这一原理。这时维持电路内电流的能量源，是电池内发生的化学变化。

绕通过闭合电路内的任何闭合回路一周，当然，电场势应回到它的起始值，也即是它的总变化等于零。例如，我们来研究导体面上的某一回路。当从一种导体过渡到另一种导体时，电势发生突变 φ_{ab} 。若导体内有电流 J (通过截面的总电流) 流过，则每一导体上的电势降等于 RJ ， R 是导体的电阻。因此，电路内电势的总变

^① 在实际条件下，由于从大气内“聚集”在表面的离子所产生的电场，抵消了这些场。

化等于

$$\Sigma \varphi_{ab} - \Sigma JR.$$

令这个表达式等于零,并注意到在全电路内的电流 J 不变,而总和 $\Sigma \varphi_{ab}$ 为电动势 \mathcal{E} , 我們得到

$$J \Sigma R = \mathcal{E}, \quad (23. 1)$$

因此,接有伽伐尼电池的电路内的电流,等于电动势除以电路内全部导体的总电阻(当然也包括电池本身的内电阻)。

虽然,伽伐尼电池的电动势也可以表示为接触电势差之和,但要着重指出的是,实际上,这是一个完全由导体的体积状态所确定的热力学量,并且和导体分界面的性质完全无关。这是很明显的,因为 \mathcal{E} 恰好是将带电粒子反向沿全部闭合电路移动所作的功(属于单位电荷)。

为了举例说明这种情况,我们来研究由两个金属电极(金属 A 和 B)浸在电解溶液 AX 和 BX (X^- 为某种负离子)内所构成的伽伐尼电池。设 ζ_A 和 ζ_B 是金属 A 和 B 的化学势,而 ζ_{AX} 和 ζ_{BX} 是溶液内电解质的化学势^①。元电荷 e 绕闭合电路运动,表示离子 A^+ 从电极 A 进入溶液内,而离子 B^+ 从溶液进入电极 B 内,而且电极上的电荷变化,由沿外电路部分从电极 A 进入电极 B 的电子来补偿。这些过程的结果是:电极 A 失去一个中性原子,电极 B 得到一个中性原子,而在电解溶液内, BX 的一个分子为 AX 的一个分子所取代。因为可逆过程中所作的功(温度、压强保持不变)等于系统的热力学势的变化,因此我們得到下列关系式:

$$e\mathcal{E}_{AB} = (\zeta_B - \zeta_{BX}) - (\zeta_A - \zeta_{AX}), \quad (23. 2)$$

伽伐尼电池的电动势可用电极材料和电解溶液的体积性质来表示。

^① 这一节内采用了对一个粒子的通常的化学势定义。

由(23.2)的形式也可得到下面的推論。如果溶液內有三种电解质(AX 、 BX 、 CX),其中浸有三种金屬电极 A 、 B 、 C ,則在它們每两种电极之間的电动势,由下列关系式联系起来:

$$\mathcal{E}_{AB} + \mathcal{E}_{BC} = \mathcal{E}_{AC}. \quad (23.3)$$

利用普遍的热力学关系式,可以把伽伐尼电池的电动势和电路內电流流过时所发生的热效应联系起来,不言而喻,在实际条件下,电流的流过是不可逆的。設 Q 为单位电荷通过时所放出的热量(在电池內和外电路內);这热量不外是当电流流过时在伽伐尼电池內所发生的热化学反应热。按照熟知的热力学公式^①,它和功 \mathcal{E} 的关系为

$$Q = -T^2 \frac{\partial}{\partial T} \left(\frac{\mathcal{E}}{T} \right). \quad (23.4)$$

上式內对溫度的偏导数的求法,取决于在何种条件下发生这种过程,例如,如果压强不变时流过电流(如通常的情况),則保持压强不变进行微分。

§ 24. 电毛細現象

在两种导电媒质的交界面上所存在的电荷,影响到交界面上的表面張力;这种現象称为电毛細現象,实际上,这里所指的是两种液态媒质——通常是指液体金屬(水銀)与电解质溶液的界面而言。

我們用 φ_1 和 φ_2 表示两种导体的电势,用 e_1 和 e_2 表示分布于它們的分界面上的电荷。这些电荷数值相等而正負号相反。这样一来,就在交界面上形成所謂“双层”。

假設保持压强和溫度不变,并考虑到两种导体的分界面,于是得到这种系統的电势 \mathcal{P} 的微分为

^① 參閱“統計物理学”,第三版,§ 89。

$$d\tilde{\mathcal{F}} = \alpha dS - e_1 d\varphi_1 - e_2 d\varphi_2. \quad (24.1)$$

αdS 这一项代表分界面的面积 S 上的可逆变化 dS 所作的功 (α 为表面张力系数)①。

在(24.1)式中, 代替热力学势 $\tilde{\mathcal{F}}$, 我们可以只写下它的“表面部分” $\tilde{\mathcal{F}}_s$, 因为当压强和温度不变时, 体积部分保持不变, 因而我们不感兴趣。令 $e_1 = -e_2 \equiv e$, 并引进电势差 $\varphi = \varphi_1 - \varphi_2$, 于是可以把(24.1)式改写为

$$d\tilde{\mathcal{F}}_s = \alpha dS - e d\varphi. \quad (24.2)$$

由此得到

$$\left(\frac{\partial \tilde{\mathcal{F}}_s}{\partial S}\right)_\varphi = \alpha, \quad (24.3)$$

同时 α 可表示为 φ 的函数。对上式积分, 我们得到 $\tilde{\mathcal{F}}_s = \alpha S$ 。把这个式子再代入(24.2)式, 得到 $d(\alpha S) = \alpha dS - e d\varphi$ 或 $S d\alpha = -e d\varphi$, 由此得

$$\sigma = -\left(\frac{\partial \alpha}{\partial \varphi}\right)_{p,T}, \quad (24.4)$$

式中 $\sigma = \frac{e}{S}$, 为单位面上的电荷。(24.4)式(由李普曼和吉布斯最先得到的)是电毛细管现象理论的基本方程。

在平衡状态下, 当导体的电势保持给定值时, 热力学势 $\tilde{\mathcal{F}}$ 必须为极小值。把热力学势看作表面电荷 e 的函数, 于是 $\tilde{\mathcal{F}}$ 取极小值的必要条件为

$$\frac{\partial \tilde{\mathcal{F}}_s}{\partial e} = 0, \quad \frac{\partial^2 \tilde{\mathcal{F}}_s}{\partial e^2} > 0, \quad (24.5)$$

式中求导数时保持面积 S 不变。为了算出导数值, 我们用热力学势 $\mathcal{F}_s = \mathcal{F}_s(e)$ 表示 $\tilde{\mathcal{F}}_s$:

$$\tilde{\mathcal{F}}_s = \mathcal{F}_s(e) - e_1 \varphi_1 - e_2 \varphi_2 = \mathcal{F}_s(e) - e\varphi. \quad (24.6)$$

① 参阅“统计物理学”第三版, § 135。

由一次导数等于零的条件给出

$$\frac{\partial \tilde{\mathcal{F}}_s}{\partial e} = \frac{\partial \mathcal{F}_s'}{\partial e} - \varphi = 0,$$

然后二次导数为正值的条件为

$$\frac{\partial^2 \tilde{\mathcal{F}}_s}{\partial e^2} = \frac{\partial^2 \mathcal{F}_s'}{\partial e^2} = \frac{\partial \varphi}{\partial e} = \frac{1}{S} \frac{\partial \varphi}{\partial \sigma} > 0,$$

或者

$$\frac{\partial \sigma}{\partial \varphi} > 0. \quad (24.7)$$

如果把表面上的“双层”看成电容为 $\frac{\partial e}{\partial \varphi}$ 的“电容器”，则这条件正是所预期的。

将等式(24.4)对 φ 取微分，并利用(24.7)式，我们得到

$$\frac{\partial^2 \alpha}{\partial \varphi^2} < 0. \quad (24.8)$$

这表明，在 $\frac{\partial \alpha}{\partial \varphi} = -\sigma = 0$ 的点处， α 和 φ 的关系曲线有极大值。

§ 25. 温差电现象

金属内不存在电流的条件是对传导电子存在热力学平衡。大家知道，这一条件除了要求温度不变外(在整个导体上)，还要求 $e\varphi + \zeta_0$ 也保持不变，式中 ζ_0 是金属内传导电子的化学势(保持 $\varphi = 0$)^①。如果导体是组分不均匀的金属，那末，即使温度保持不变， ζ_0 也会沿导体发生变化。因此，在这种情况下，电势 φ 不变不会使金属内的电流为零，虽然场强 $E = -\text{grad}\varphi$ 也等于零。如果我们希望把不均匀导体也考虑进去，那末这种情况使得通常的 φ 的定义感到不便(把它作为对点源平均的结果)。

^① 参阅“统计物理学”第三版，§ 25，我们在这里把 ζ 理解为通常属于一个粒子(电子)的化学势。

因此取 $\varphi + \frac{\zeta_0}{e}$ 之和作为电势的新定义, 是很自然的事, 下面我们简单地把它表示为 φ ①。在均匀金属内, 这种定义的改变导致在电势上添上一个不重要的常数。与此相应, “场强” $\mathbf{E} = -\text{grad}\varphi$ (我们下面也将用它) 只在均匀金属内才和实在的平均场强相等, 而在一般情况下, 它们之间相差某一状态函数的陡度。

根据这一定义, 在热力学平衡状态下, 对传导电子而言, 场强和电流都变为零, 而 \mathbf{j} 和 \mathbf{E} 的关系将为 $\mathbf{j} = \sigma \mathbf{E}$ ($j_i = \sigma_{ik} E_k$), 即使金属的组分是不均匀的。

现在, 我们来研究金属受到不均匀加热的情况, 这在任何情况下都不会有(电子的)热力学平衡。于是, 即使没有电流, 电场强度 \mathbf{E} 也不为零。在电流密度 \mathbf{j} 和温度陡度 ∇T 不为零的普遍情况下, 这些量和场强的关系可以写为

$$\mathbf{E} = \frac{1}{\sigma} \mathbf{j} + \alpha \nabla T, \quad (25.1)$$

式中 σ 为通常的电导率, 而 α 是表征金属电性质的一个量。为简单起见, 我们假定物质是各向同性的(或具有立方对称), 为此, 我们把比例系数写成标量形式。 \mathbf{E} 和 ∇T 的线性关系, 不言而喻, 只代表展开式的第一项, 但由于温度陡度很小, 这一项是完全足够的(实际上经常如此)。

把(25.1)式写成下面的形式:

$$\mathbf{j} = \sigma (\mathbf{E} - \alpha \nabla T), \quad (25.2)$$

这表明, 在不均匀受热的金属内, 即使场强 \mathbf{E} 为零, 也可以有电流流过。

除了电流密度 \mathbf{j} 外, 我们也可以研究能流密度, 我们用 \mathbf{q} 表示

① 这定义也可表达成另一种形式, 即 $e\varphi$ 的新数值为把一个电子等温地引入金属所引起的自由能的变化; 换句话说, $\varphi = \frac{\partial F}{\partial e}$, 式中 F 为金属的自由能, 而 ρ 为单位体积内导电电子的电荷。

它。首先,从能流内分出 $\varphi\mathbf{j}$,这是因为每一带电粒子(电子)本身携带能量 $e\varphi$ 。但是 $\mathbf{q}-\varphi\mathbf{j}$ 之差却与电势本身无关,因此,在普遍情况下,可以把它表示成陡度 $\nabla\varphi=-\mathbf{E}$ 和 ∇T 的线性函数,和电流密度的公式(25.2)相似。现在把这个式子写成

$$\mathbf{q}-\varphi\mathbf{j}=\beta\mathbf{E}-\gamma\nabla T.$$

由动力学系数的对称性原理,可以得到系数 β 和(25.2)式内的系数 α 的关系式。

为此,我们计算导体的总熵的变化速度。在单位时间内导体单位体积内放出的热量为 $-\operatorname{div}\mathbf{q}$,因此可以写成

$$\frac{d\mathcal{S}}{dt}=-\int\frac{\operatorname{div}\mathbf{q}}{T}dV.$$

其次,利用方程 $\operatorname{div}\mathbf{j}=0$,我们写出

$$\begin{aligned}\frac{1}{T}\operatorname{div}\mathbf{q}&=\frac{1}{T}\{\operatorname{div}(\mathbf{q}-\varphi\mathbf{j})+\operatorname{div}\varphi\mathbf{j}\}= \\ &=\frac{1}{T}\operatorname{div}(\mathbf{q}-\varphi\mathbf{j})-\frac{\mathbf{E}\mathbf{j}}{T}.\end{aligned}$$

第一项经过分部积分后,我们得到

$$\frac{d\mathcal{S}}{dt}=\int\frac{\mathbf{E}\mathbf{j}}{T}dV-\int\frac{(\mathbf{q}-\varphi\mathbf{j})\nabla T}{T^2}dV. \quad (25.3)$$

这个式子指明,如果选择矢量 \mathbf{j} 和 $\mathbf{q}-\varphi\mathbf{j}$ 的分量作为量 $\frac{\partial x_a}{\partial t}$ (参阅§20),则相应的量 X_a 即为矢量 $-\frac{\mathbf{E}}{T}$ 和 $\frac{\nabla T}{T^2}$ 的分量。与此相应,在下列关系式

$$\begin{aligned}\mathbf{j}&=\sigma T\frac{\mathbf{E}}{T}-\sigma\alpha T^2\frac{\nabla T}{T^2}, \\ \mathbf{q}-\varphi\mathbf{j}&=\beta T\frac{\mathbf{E}}{T}-\gamma T^2\frac{\nabla T}{T^2}\end{aligned}$$

内,系数 $\sigma\alpha T^2$ 和 βT 必须相等。

由此可见, $\beta=\sigma\alpha T$,于是我们得到

$$\mathbf{q}-\varphi\mathbf{j}=\sigma\alpha T\mathbf{E}-\gamma\nabla T.$$

最后,按照(25.1)式,用 \mathbf{j} 和 ∇T 表示这里的 \mathbf{E} , 于是最后得到下面的表达式:

$$\mathbf{q} = (\varphi + \alpha T)\mathbf{j} - \kappa \nabla T, \quad (25.4)$$

这里引进了符号 $\kappa = \gamma - T\alpha^2\sigma$ 。量 κ 不外是通常的热导系数, 它定出电流不存在时的热流量。

应该指出, 导数 $\frac{d\mathcal{S}}{dt}$ 为正值的条件, 对于温差电系数并不加上任何新的限制。把(25.1)和(25.4)式代入(25.3)式, 得到

$$\frac{d\mathcal{S}}{dt} = \int \left(\frac{j^2}{\sigma T} + \frac{\kappa(\nabla T)^2}{T^2} \right) dV > 0, \quad (25.5)$$

由此只得到热导系数和电导系数为正的條件。

在上面写出的式子中, 暗中假定了当温度不变时压强 (或密度) 的不均匀不会引起导体内产生电场 (或电流); 基于这一点, 在(25.2)和(25.4)式内, 没有写下与 ∇p 成比例的项。实际上, 这些项的存在与熵增加定律相矛盾, 因为在(25.5)式中被积式内的项包含乘积 $\mathbf{j}\nabla p$ 和 $\nabla T\nabla p$, 它们可以有两个正负号, 因而积分不一定为实在正值。

(25.1)和(25.4)的关系式本身包含了各种温差电效应。我们来研究每秒内从导体单位体积内放出的热量 $-\operatorname{div} \mathbf{q}$ 。由(25.4)式取微分, 我们得到

$$Q = -\operatorname{div} \mathbf{q} = \operatorname{div}(\kappa \nabla T) + \mathbf{E}\mathbf{j} - \mathbf{j}\nabla(\alpha T),$$

或者把(25.1)式代入上式, 得到

$$Q = \operatorname{div}(\kappa \nabla T) + \frac{j^2}{\sigma} - T\mathbf{j}\nabla\alpha. \quad (25.6)$$

这式子右侧的第一项与纯热导率有关, 而第二项与电流的平方成正比, 可以称为焦耳热。在这里, 我们感兴趣的是第三项, 它包含特殊的温差电效应。

现在假定导体的组分是均匀的。于是量 α 的改变只与温度陡

度有关,因而可以写为 $\nabla\alpha = \frac{d\alpha}{dT}\nabla T$; 如果和通常的情况一样, 导体上的压强不变, 则 $\frac{d\alpha}{dT}$ 必须理解为导数 $\left(\frac{\partial\alpha}{\partial T}\right)_p$ 。由此可见, 我们感兴趣的热量放出(称为汤姆逊效应)等于

$$\rho j \nabla T, \text{ 其中 } \rho = -T \frac{d\alpha}{dT}. \quad (25.7)$$

量 ρ 称为汤姆逊系数。应该注意的是, 这种效应和电流的一次幂成正比, 而不是和电流的二次幂成正比, 和焦耳热一样。因此, 当电流反向时, 它也变号。系数 ρ 既可以是正的, 也可以是负的。如果 $\rho > 0$, 则在温度上升方向有电流流过时, 汤姆逊热取正值(放出热量), 而在反方向流过电流时, 则吸收热量; 如果 $\rho < 0$, 则关系倒过来。

如果电流通过两种不同金属的接触点(接头), 则发生另一种热效应, 称为帕耳帖效应。在接触面上, 温度、电势以及电流密度和能流密度矢量的法向分量都是连续的。我们用下角标 1 和 2 分别表示属于两种金属的量, 并令接触面两侧的 q (25.4) 的法向分量相等, 由于 φ, T 和 j_x 的连续性, 我们得到

$$\left(-\kappa \frac{\partial T}{\partial x}\right)\Big|_1^2 = -j_x T(\alpha_2 - \alpha_1);$$

这里取 x 轴为接触面的法线方向。如果取 x 轴的正方向为从金属 1 到金属 2 的方向, 则等式左边的表达式就是 1 秒内以热传导方式从 1 厘米² 接触面上导出的热量。这导出的热量补偿接头上所放出的热量, 这热量由等式右侧的表达式表示。由此可见, 接头每一单位面积所放出的热量(1 秒内)等于

$$\Pi_{12} j, \text{ 此处 } \Pi_{12} = -T(\alpha_2 - \alpha_1). \quad (25.8)$$

量 Π_{12} 称为帕耳帖系数。和汤姆逊效应一样, 这效应也和电流的一次幂成正比, 而当电流反向时变号。应该指出的是, 帕耳帖系数

具有相加性，所表示为等式 $\Pi_{13} = \Pi_{12} + \Pi_{23}$ ，此处的下角标 1, 2, 3 分别指三种不同的金属。

由比较(25. 7)和(25. 8)式指明，汤姆逊系数和帕耳帖系数间的关系式为

$$\rho_2 - \rho_1 = T \frac{d}{dT} \frac{\Pi_{12}}{T}. \quad (25. 9)$$

其次，我们来研究有两个接头的开路电路，而且两端的导体为同一金属（金属 1，图 16）。假设接头（ b 点和 c 点）的温度不同，分别为 T_1 和 T_2 ，但电路两端（ a 点和 d 点）的温度一样。于是，在两端点之间有接触电势差，称为温差电动势，我们用 \mathcal{E}_T 表示。为了算出温差电动势，假设(25. 1)式中的 $\mathbf{j} = 0$ ，并对电路的全长（ x 轴）积分电场强度 $\mathbf{E} = \alpha \nabla T$ ，于是得到

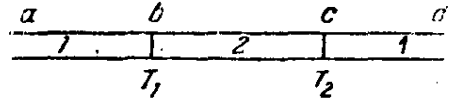


图 16

$$\mathcal{E}_T = \int_a^d \alpha \frac{dT}{dx} dx = \int_a^d \alpha dT.$$

从 c 到 d 和从 a 到 b 的积分，表明在第一种金属内从温度 T_2 积分到 T_1 ，而从 b 到 c 的积分表明在第二种金属内， dT 从 T_1 积分到 T_2 。因此，我们求得

$$\mathcal{E}_T = \int_{T_1}^{T_2} (\alpha_2 - \alpha_1) dT. \quad (25. 10)$$

与(25. 8)式比较，我们看到，温差电动势和帕耳帖系数有如下的关系式：

$$\mathcal{E}_T = - \int_{T_1}^{T_2} \frac{\Pi_{12}}{T} dT. \quad (25. 11)$$

公式(25. 9)和(25. 11)称为汤姆逊关系式。

末了，我们写出各向异性导体内的电流和热流量的公式。利

用动力系数对称原理, 和推导(25. 1)和(25. 4)式完全相似, 我們推导出这些公式为

$$E_i = \sigma_{ik}^{-1} j_k + \alpha_{ik} \frac{\partial T}{\partial x_k}, \quad (25. 12)$$

$$q_i - \varphi j_i = T \alpha_{ki} j_k - \kappa_{ik} \frac{\partial T}{\partial x_k}.$$

式中 σ_{ik}^{-1} 是电导率張量 σ_{ik} 的逆張量; 張量 σ_{ik} 和 κ_{ik} 是对称的。但在普遍情况下, 温差电張量 α_{ik} 是非对称的。

例 題

設同时存在电場、磁場以及温度陡度, 試求当电流流过时所发生的各种温差电磁效应系数間的关系式。

解. 解法和正文內对温差电現象所进行的完全相似。在現在的情况下, 直接把它写成張量形式較为便利, 这样也可以应用到各向异性导体上。我們把电流密度 \mathbf{j} 和热流密度 \mathbf{q} 写为

$$\begin{aligned} j_i &= a_{ik} \frac{E_k}{T} + b_{ik} \frac{\partial}{\partial x_k} \left(\frac{1}{T} \right), \\ q_i - \varphi j_i &= c_{ik} \frac{E_k}{T} + d_{ik} \frac{\partial}{\partial x_k} \left(\frac{1}{T} \right), \end{aligned} \quad (1)$$

式中全部系数都是磁場的函数。按照动力系数对称原理, 我們得到

$$\begin{aligned} a_{ik}(\mathbf{H}) &= a_{ki}(-\mathbf{H}), \quad d_{ik}(\mathbf{H}) = d_{ki}(-\mathbf{H}), \\ b_{ik}(\mathbf{H}) &= c_{ki}(-\mathbf{H}). \end{aligned} \quad (2)$$

把用 \mathbf{j} 和 ∇T 表示(1)式內的 \mathbf{E} 和 $\mathbf{q} - \varphi \mathbf{j}$, 我們得到

$$\begin{aligned} E_i &= \sigma_{ik}^{-1} j_k + \alpha_{ik} \frac{\partial T}{\partial x_k}, \\ q_i - \varphi j_i &= \beta_{ik} j_k - \kappa_{ik} \frac{\partial T}{\partial x_k}, \end{aligned} \quad (3)$$

式中的張量 σ^{-1} , α , β , κ 可以一定的方式用張量 a , b , c , d 来表示, 同时从关系式(2), 它們具有下列的对称性质:

$$\begin{aligned} \sigma_{ik}^{-1}(\mathbf{H}) &= \sigma_{ki}^{-1}(-\mathbf{H}), \\ \kappa_{ik}(\mathbf{H}) &= \kappa_{ki}(-\mathbf{H}), \\ \beta_{ik}(\mathbf{H}) &= T \alpha_{ki}(-\mathbf{H}). \end{aligned} \quad (4)$$

这也就是所要求的最普遍形式的关系式。这些关系式推广了 § 25 中没有磁场时和 § 21 中没有温度梯度时所得到的关系。

对于弱磁场内的各向同性导体，精确到 \mathbf{H} 的一次项，我们得到

$$\mathbf{E} = \frac{\mathbf{j}}{\sigma} + \alpha \nabla T + R[\mathbf{H}\mathbf{j}] + N[\mathbf{H}\nabla T], \quad (5)$$

$$\mathbf{q} - \varphi \mathbf{j} = \alpha T \mathbf{j} - \kappa \nabla T + NT[\mathbf{H}\mathbf{j}] + L[\mathbf{H}\nabla T]. \quad (6)$$

式中的 σ 和 κ 分别为通常的电导率和热导率， α 是 (25.1) 式内出现的温差电系数， R 为霍尔系数，而 N, L 为新系数。 $N[\mathbf{H}\nabla T]$ 这一项可以看作磁场对温差电动势的影响（即能斯特效应），而 $L[\mathbf{H}\nabla T]$ 一项可视为磁场对热导率的影响（勒杜克-里纪效应）。

在两种媒质的交界面上，矢量 \mathbf{j} 和 \mathbf{q} 的法向分量是连续的，因此矢量

$$-\kappa \nabla T + \alpha T \mathbf{j} + NT[\mathbf{H}\mathbf{j}] + L[\mathbf{H}\nabla T]$$

的法向分量也是连续的。 $NT[\mathbf{H}\mathbf{j}]$ 这一项代表磁场对帕耳帖效应的影响，称为厄廷好森效应。

1 秒内导体单位体积所放出的热量为 $Q = -\text{div } \mathbf{q}$ 。这里必须把 (6) 式的 \mathbf{q} 代入，然后用 (5) 式代替 $-\nabla \varphi = \mathbf{E}$ 。如果导体的组分是均匀的，则量 $\alpha, N, L \dots$ 只是温度的函数，于是它们的梯度与 ∇T 成正比。在计算中我们略去了所有 \mathbf{H} 的二次项；在这种近似下，可以假设 $\text{rot}\left(\frac{\mathbf{j}}{\sigma}\right) \cong \text{rot } \mathbf{E} = 0$ 。此外注意到，对外场 \mathbf{H} 而言（场源在导体外），我们有 $\text{rot } \mathbf{H} = 0$ 。最后，和通常的恒定电流的情况一样， $\text{div } \mathbf{j} = 0$ 。注意到这些并经过计算后，我们得到

$$Q = \frac{j^2}{\sigma} + \text{div}(\kappa \nabla T) - T \mathbf{j} \nabla \alpha + \\ + \frac{1}{\sigma T} \frac{d}{dT} (\sigma N T^2) [\mathbf{j} \mathbf{H}] \nabla T.$$

最后一项表示由于磁场出现而引起的汤姆逊效应的变化。

§ 26. 扩散电现象

由于扩散现象的存在，引起电解质溶液内发生一种在固体导体内观察不到的特殊现象。

① 同时我们还略去了极微弱的效应——电流本身的磁场对热量放出的影响。

为了簡明起見，我們將假設整个溶液的溫度相同。同时，我們在这里只限于研究未被溫差电效应所复杂化的純粹扩散电現象。

代替溶液的压强 p 和濃度 c ，利用压强和化学势 ζ 作为自变数更为方便。在这里我們把 ζ 定义为单位质量溶液的热力学势对其濃度 c 的导数(保持 p 和 T 不变)；这时我們將濃度理解为在給定体积元內电解质的质量与液体的总质量之比^①。應該記住，化学势不变(除了压强和溫度不变外)是热力学平衡的条件之一。

§ 25所給出的电場势定义，在現在的情况下应稍作变更，因为載流子現在不是傳导电子，而是电解质內的离子。即是說，合理的定义(參閱 149 頁的底注)应为 $\varphi = \left(\frac{\partial \Phi}{\partial \rho} \right)_c$ ，式中的 Φ 是化学势，而 ρ 是单位体积溶液离子的总电荷(当然，在取微分以后，由于溶液是电中性的，必須令 $\rho = 0$)。求微分时保持质量濃度不变，也即是保持单位体积內两种正負号的离子的总质量不变。

当存在化学势陡度时，則在电流密度的公式內必須加入与它成正比的附加項：

$$\mathbf{j} = \sigma(\mathbf{E} - \beta \nabla \zeta), \quad (26.1)$$

这和(25.2)式內的附加項相似。下面我們將证明，当化学势陡度(或溫度陡度)保持不变时， \mathbf{j} 将与压强陡度无关，因而(26.1)式內含 ∇p 的一項就不存在^②。

① 通常的化学势定义为 $\zeta_1 = \frac{\partial \Phi}{\partial n_1}$ ， $\zeta_2 = \frac{\partial \Phi}{\partial n_2}$ ，其中 Φ 是 1 克溶液的热力学势，而 n_1, n_2 是 1 克溶液內已溶解物质和溶剂的粒子数。粒子数 n_1 和 n_2 的关系为 $n_1 m_1 + n_2 m_2 = 1$ (m_1, m_2 是两种粒子的质量)，而濃度 $c = n_1 m_1$ 。因此，此处引入的化学势为

$$\zeta = \frac{\partial \Phi}{\partial c} = \frac{\partial \Phi}{\partial n_1} \frac{\partial n_1}{\partial c} + \frac{\partial \Phi}{\partial n_2} \frac{\partial n_2}{\partial c} = \frac{\zeta_1}{m_1} - \frac{\zeta_2}{m_2}$$

② 但是应着重指出，当濃度陡度不变时， \mathbf{j} 与压强陡度有关：

$$\nabla \zeta = \left(\frac{\partial \zeta}{\partial c} \right)_{p, T} \nabla c + \left(\frac{\partial \zeta}{\partial p} \right)_{c, T} \nabla p.$$

除了电流外，我們还必须研究同时发生的电解质量的轉移。这时必須注意，当电流通过溶液时伴随发生宏观的流体运动。由这种宏观的流体运动所轉移的电解质的质量流密度等于 ρcv (v 是速度， ρ 是溶液密度)。此外，电解质的轉移还通过分子的扩散形式进行。我們用 i 表示这种扩散流的密度，于是，总流量密度为 $\rho cv + i$ 。不可逆的扩散过程也导致熵的增加；总熵的变化速度由下式得出①

$$\frac{d\mathcal{S}}{dt} = \int \frac{\mathbf{E} \cdot \mathbf{j}}{T} dV - \int \frac{i \nabla \zeta}{T} dV. \quad (26.2)$$

和电流密度一样，扩散流也可以写成 \mathbf{E} 和 $\nabla \zeta$ 的綫性組合形式，或者是写成 \mathbf{j} 和 $\nabla \zeta$ 的綫性組合形式。利用动力系数的对称性，这表达式內的系数之一可以和(26.1)式的系数 β 联系起来，和前一节对 \mathbf{j} 和 $\mathbf{q} - \varphi \mathbf{j}$ 所做的完全相似。結果得到

$$\mathbf{i} = - \frac{\rho D}{\left(\frac{\partial \zeta}{\partial c}\right)_{p, T}} \nabla \zeta + \beta \mathbf{j}. \quad (26.3)$$

$\nabla \zeta$ 前面的系数在这里可用通常的扩散系数来表示②。

(26.1)和(26.3)式內不可能存在与压强陡度成正比的項，又和前一节一样，可从熵增加定律得出，因为这样的項会使总熵的导数(26.2)不为实在正值。

(26.1)和(26.3)式包含了全部的扩散电现象，我們在这里不准备詳細討論它們。

例 題

假設兩平行平板(由同一金屬 A 作成)浸在电解质溶液 AX 內。試求电流密度和兩平行平板間所加的电势差之間的关系式。

① 这个式子內第二項的推导參閱“連續介质力学”第二版 § 57。

② 如果 $\mathbf{j} = 0$ 和压强(以及温度)保持不变，我們得到 $\mathbf{i} = -\rho D \nabla c$ 。

解. 当电流流过时, 金属从一个电极上溶解, 在另一个电极上沉积。这时溶剂(水)是静止的, 而流过溶液的金属的质量流密度为 $\rho v = \frac{j m}{e}$ (j 为电流密度, m 和 e 分别为离子 A^+ 的质量和电荷)①。另一方面, 这质量流由表达式 $i + \rho v c$ 得出, 其中 i 为(26.3)式。假设流体内的压强相同②, 于是得到方程:

$$\rho D \frac{dc}{dx} = \left[\beta - \frac{m}{e}(1-c) \right] j \quad (1)$$

(x 是连接两个电极方向的坐标)。因为在溶液内, $j =$ 常数, 由此得到

$$j l = \int_{c_1}^{c_2} \frac{\rho D dc}{\beta - \frac{m}{e}(1-c)}, \quad (2)$$

式中 c_1, c_2 是两平行平面板面上的浓度, 而 l 是两板间的距离。

两板间的电势差 \mathcal{E} 可从总能量耗散 Q (1秒内) 简单地求出, 这耗散必须等于 $j\mathcal{E}$ (属于单位面积的板面)。按照(26.1)和(26.2)式, 我们有

$$Q = T \frac{d\mathcal{S}}{dt} = \int \left\{ \frac{j^2}{\sigma} + \rho D \frac{\partial \mathcal{F}}{\partial c} \left(\frac{dc}{dx} \right)^2 \right\} dx = j\mathcal{E}$$

利用(1)式, 得到

$$\mathcal{E} = \int_{c_1}^{c_2} \frac{\rho D dc}{\sigma \left[\beta - \frac{m}{e}(1-c) \right]} + \int_{c_1}^{c_2} \frac{\partial \mathcal{F}}{\partial c} \left[\beta - \frac{m}{e}(1-c) \right] dc. \quad (3)$$

由公式(2)和(3), 就可解出(在非显式形式下)所提出的问题。

如果电流 j 很小, 浓度差 $c_2 - c_1$ 也很小。用被积式与 $c_2 - c_1$ 的乘积代替积分, 就得到溶液的有效电阻率为

$$\frac{\mathcal{E}}{lj} = \frac{1}{\sigma} + \frac{1}{\rho D} \frac{\partial \mathcal{F}}{\partial c} \left[\beta - \frac{m}{e}(1-c) \right]^2.$$

(3)式的第一项给出由于电流流过时所引起的电势降 $\left(\int j \frac{dx}{\sigma} \right)$ 。第二项是由溶液内的浓度差所引起的电动势(在某种意义上, 与温差电动势相似)。后一表达式甚至和具体的一维问题的条件无关, 它是“浓差电池”电动势的普遍表达式。

① 应记住的是, 溶液内的流体力学速度 v 这样定义, 即 ρv 为流体单位体积内的动量(参阅“连续介质力学”第2版 § 27)。因此, 在现在的情况下, 只有被溶解的金属运动这一事实, 对 ρv 的计算并无影响。

② 估计到流体运动所引起的压强改变, 将导致高级小量。

第四章 恒定磁場

§ 27. 恒定磁場

描写物质內的恒定磁場是利用两个麦克斯韦方程，由把下列两个微观方程：

$$\operatorname{div} \mathbf{h} = 0, \quad \operatorname{rot} \mathbf{h} = \frac{1}{c} \frac{\partial \mathbf{e}}{\partial t} + \frac{4\pi}{c} \rho \mathbf{v} \quad (27.1)$$

求平均值，就可以得到这两个方程。平均磁場强度一般称为磁感应强度，并表示为

$$\bar{\mathbf{h}} = \mathbf{B}. \quad (27.2)$$

因此，把(27.1)中第一式求平均值的結果为

$$\operatorname{div} \mathbf{B} = 0. \quad (27.3)$$

在第二方程內，求平均值时对时间的导数变为零，因为假設平均磁場不变，于是有

$$\operatorname{rot} \mathbf{B} = \frac{4\pi}{c} \overline{\rho \mathbf{v}}. \quad (27.4)$$

微观电流密度的平均值，一般說来，無論在导体內或电介质內，都不为零。这两类物质的唯一差别是，在电介质內总是

$$\int \overline{\rho \mathbf{v}} d\mathbf{f} = 0, \quad (27.5)$$

式中积分对物体任意横截面的总面积进行；但在导体內，这积分可以不为零。首先我們假設物体內(如果它是导体)沒有总电流，也即是假設关系式(27.5)成立。

(27.5)式对物体的任何截面积分都等于零，表明矢量 $\rho \mathbf{v}$ 可以写成另一矢量(一般表示为 $c\mathbf{M}$)的旋度形式：

$$\overline{\rho \mathbf{v}} = c \operatorname{rot} \mathbf{M}, \quad (27.6)$$

而且量 \mathbf{M} 只在导体內不为零(与 § 6 中类似的討論比較)。实际上, 設有一回路包围导体并处处在导体外通过, 对这回路所圍成的表面进行积分, 我們得到

$$\int \rho \mathbf{v} d\mathbf{f} = c \int \operatorname{rot} \mathbf{M} d\mathbf{f} = c \oint \mathbf{M} d\mathbf{l} = 0.$$

矢量 \mathbf{M} 称为物体的磁化强度。把它代入(27.4)式, 得到

$$\operatorname{rot} \mathbf{H} = 0, \quad (27.7)$$

式中矢量 \mathbf{H} 和磁感应强度 \mathbf{B} 的关系为

$$\mathbf{B} = \mathbf{H} + 4\pi \mathbf{M}, \quad (27.8)$$

这式子类似于电感应强度 \mathbf{D} 和电场强度 \mathbf{E} 的关系式。虽然根据与 \mathbf{E} 的类似, 通常称矢量 \mathbf{H} 为“磁場强度”, 但是应该記住, 实际上, 磁場强度的真正平均值为 \mathbf{B} , 而不是 \mathbf{H} 。

为了闡明量 \mathbf{M} 的物理意义, 我們来研究在导体內运动的全部带电粒子所产生的总磁矩。按照磁矩的定义^①, 这即是积分:

$$\frac{1}{2c} \int [\mathbf{r} \cdot \overline{\rho \mathbf{v}}] dV = \frac{1}{2} \int [\mathbf{r} \operatorname{rot} \mathbf{M}] dV.$$

因为在导体外 $\rho \mathbf{v} \equiv 0$, 因此, 可以对包围导体的任何体积进行积分。用下列方式变换积分:

$$\int [\mathbf{r} [\nabla \mathbf{M}]] dV = \oint [\mathbf{r} [d\mathbf{f} \mathbf{M}]] - \int [[\mathbf{M} \nabla] \mathbf{r}] dV.$$

对导体外的面积分变为零。在第二項內, 我們有

$$[[\mathbf{M} \nabla] \mathbf{r}] = -\mathbf{M} \operatorname{div} \mathbf{r} + \mathbf{M} = -2\mathbf{M}.$$

这样一来, 得到結果为

$$\frac{1}{2c} \int [\mathbf{r} \cdot \overline{\rho \mathbf{v}}] dV = \int \mathbf{M} dV. \quad (27.9)$$

① 参阅“場論”第二版, § 43, 1948。

我們看到，磁化强度矢量代表物体单位体积的磁矩^①。

除了(27.3)和(27.7)式外，还應該加入一个联系 \mathbf{H} 和 \mathbf{B} 的关系式；只有这样，方程組才成为完全的，例如在不太强的磁場内的非铁磁体中， \mathbf{B} 和 \mathbf{H} 的关系是綫性的。在各向同性物体內，这种綫性关系归结为简单的比例关系：

$$\mathbf{B} = \mu \mathbf{H}. \quad (27.10)$$

系数 μ 称为磁导率。而在关系式 $\mathbf{M} = \chi \mathbf{H}$ 內的比例系数：

$$\chi = \frac{\mu - 1}{2\pi}, \quad (27.11)$$

則称为磁化率。

与介电常数 ϵ 在所有物体中都大于 1 相反，磁导率則可以大于 1，也可以小于 1。因此我們只能肯定，总是 $\mu > 0$ (关于 μ 与 ϵ 这一差别的原因，参閱 § 31；不等式 $\mu > 0$ 的证明，将在 § 30 給出)。与此相应，磁化率 χ 可为正值，也可以为負值。

另一个定量的差别是，絕大多数物体的磁化率要比它們的介电常数小得多。这种差别是由于物质(非铁磁体)的磁化是 $\frac{v}{c}$ 的二次的相对論效应(v 是原子內的电子速度^②)。

从方程 $\text{div} \mathbf{B} = 0$ 和 $\text{rot} \mathbf{H} = 0$ 得出(参照 § 6)，在两种不同媒质的边界上，应滿足条件：

$$B_{1n} = B_{2n}, \quad \mathbf{H}_{1t} = \mathbf{H}_{2t}. \quad (27.12)$$

① 只有建立了这关系式后，量 \mathbf{M} 才成为完全确定的。物体內的关系式(27.6)和物体外的 $\mathbf{M} = 0$ 本身，都还不能单值地确定这个量，因为在物体內部，可以在 \mathbf{M} 上加上一个 $\text{grad} f$ 形式的矢量，而不破坏等式(27.6)(比較 53 頁上对电极化所作的相似底注)。

② 比值 $\frac{v}{c}$ 和 \mathbf{H} 一起，一次出現在描写物体与磁場的相互作用的哈密頓函数內，再次出現在原子或分子的元磁矩內。

这方程組以及其边界条件，在形式上和自由电荷不存在时电介质內的靜电場方程組相同，所不同的只是分別用 \mathbf{H} 和 \mathbf{B} 代替了 \mathbf{E} 和 \mathbf{D} 而已。由于方程 $\text{rot}\mathbf{H}=0$ ，可以求得 \mathbf{H} 的形式为 $\mathbf{H}=-\text{grad}\psi$ ，对于电势 ψ ，得到和靜电势完全相同的式子。因此，第二章中所研究的一系列靜电場問題的解，就可以直接移用到恒定磁場上。特别是 § 8 中所得到的均匀电場內介电橢球的公式，对均匀磁場內的磁橢球來說，也是完全正确的（只要符号作相应的改变）。

磁感应强度的切向分量与其法向分量不同，在两种媒质的边界上发生突变。可以把这种突变的数值和表面的电流密度联系起来。为此，我們將(27.4)式的兩側对小綫段 Δl 积分，而 Δl 与分界面相交于法綫方向。然后令长度 Δl 趋近于零；但是，这时积分 $\int \overline{\rho v} dl$ 趋近于有限值。这样得出的量

$$\mathbf{g} = \int \overline{\rho v} dl \quad (27.13)$$

可以称为面电流密度；它定出单位時間內通过表面上单位长綫內的电荷。我們选择表面上某一点处的 \mathbf{g} 方向作为 y 軸，选择法綫方向作为 x 軸，并从媒质 1 指向媒质 2。于是由积分(27.4)式，得到

$$\int \left(\frac{\partial B_x}{\partial z} - \frac{\partial B_z}{\partial x} \right) dx = \frac{4\pi}{c} g_y = \frac{4\pi}{c} g.$$

由于 B_x 的連續性，导数 $\frac{\partial B_x}{\partial z}$ 为有限的，因此当綫段 Δl 趋近于零时，积分也趋近于零。由 $\frac{\partial B_z}{\partial x}$ 的积分，得出表面兩側的 B_z 值之差。因此，

$$B_{2z} - B_{1z} = -\frac{4\pi}{c} g.$$

这等式可以写成矢量形式：

$$\frac{4\pi}{c} \mathbf{g} = [\mathbf{n}, \mathbf{B}_2 - \mathbf{B}_1] = 4\pi [\mathbf{n}, \mathbf{M}_2 - \mathbf{M}_1], \quad (27.14)$$

式中 \mathbf{n} 是法线方向的单位矢量, 其方向指向媒质 2 内部; 在后一变换中, 我們已把 \mathbf{H} 的切向分量的連續性考虑在內。

§ 28. 晶体的磁对称性

晶体的电性质和磁性质有着重大的差别, 这是由于电荷和电流对時間变号的行为有所不同。

大家知道, 由于运动方程对時間变号的不变性, 因此, 对物体的某一热力学平衡态, 形式地以 $-t$ 代替 t 所得到的状态, 也必然是可能的平衡态之一。由此产生两种可能性: 以 $-t$ 代換 t 后得到的状态或者和原来的状态相同, 或者不相同。

在本节內, 我們用 $\rho(x, y, z)$ 和 $\mathbf{j}(x, y, z)$ 表示晶体每一点处只对時間平均得到的真正(微观)电荷密度和电流密度(不是像宏观理論一样, 对物理无限小体积求平均了)。这也就是分別确定晶体的电结构和磁结构的函数。

以 $-t$ 代換 t 时改变 \mathbf{j} 的正負号, 如果这样代換后物体的状态不变, 則表明 $\mathbf{j} = -\mathbf{j}$, 也就是 $\mathbf{j} = 0$ 。由此可見, 这也就是函数 $\mathbf{j}(x, y, z)$ 严格地为零的晶体所以存在的原因。在这种晶体內, 除了电荷密度为零外, 物体每一点处的平均磁場和磁矩(对時間平均)也严格地等于零(当然此处所指的都是沒有外磁場时的物体状态)。对于这种晶体, 我們称它为沒有“磁结构”的晶体。实际上, 絕大多数的晶体都是属于这一类。

以 $-t$ 代換 t 时, 电荷密度 ρ 一般不改变。因此不存在任何原因使这函数恒等于零。換句話說, 不存在沒有“电结构”的晶体。这也就是上面所提到的晶体的电性质和磁性质之間的重大差别。

現在我們来研究以 $-t$ 代換 t 后状态改变因而 $\mathbf{j} \neq 0$ 的晶体。我們將把这种晶体称为“磁结构”的晶体。

首先我們注意到, 尽管 \mathbf{j} 不等于零, 但在物体的平衡状态下,

不可能存在任何总电流,也即是对元晶胞体积的积分 $\int j dV$ 时必须恒为零。否则,这电流产生宏观的磁場,因而晶体将具有随物体綫度增加而迅速增加的磁能(每单位体积的)。由于这种状态在能量上是不利的,因此,十分显然,它不相应于热力学平衡状态。

但是,电流 j 可以产生不为零的宏观磁矩,也即是积分 $\int [rj] dV$ 可以不为零(再对元晶胞体积积分)。与此相应, $j \neq 0$ 的晶体可以分为两类:宏观磁矩不为零的晶体和宏观磁矩为零的晶体。第一种晶体称为铁磁体,而第二种晶体称为反铁磁体。

电流 j 分布的对称性,可以直观地看作晶体內各原子磁矩的排列和取向的对称性。若 $j=0$,则表明各磁矩随時間改变取向完全是无序的,于是,每个磁矩的平均值变为零。在铁磁体内,原子磁矩向某一方向的取向占优势,因而在每一晶胞內产生不为零的总磁矩。最后,在反铁磁体中,平均原子磁矩不为零,也即是取向是有規則的,但在每一晶胞內,它們互相抵銷了。

于是产生了有关电流 $j(x, y, z)$ 分布的对称性的可能类型(群)問題。这种对称性首先包含通常的要素——轉动、反射和平移。与此相应,在 j 的各种可能对称群中,总共有 230 种普通的結晶学的空間对称群。但是,这远远地沒有包括全部待研究的对称群。如上面已指出的,以 $-t$ 代換 t 时矢量 j 改变正負号;由此产生新的可能的对称要素——对电流反向变换的对称性;一般用 R 表示这种变换。如果电流分布本身具有 R 的对称要素,则表明 $j = -j$,也即是 $j=0$,因而晶体一般不具有磁結構。但是不为零的函数 $j(x, y, z)$,可以对 R 变换与其他对称要素——轉动、反射和平移——的各种組合是对称的。由此可見,确定电流分布的对称性的可能类型(“磁空間群”)的問題,在于构成各种可能的对称群,这些群不仅包含普通空間群內的变换,而且也包含由普通变换与 R 变换組合而成的变换。

如果电流分布的对称性已知，則我們也能求出給定晶体內粒子排列的晶軸对称性，这种晶軸对称性和函数 $\rho(x, y, z)$ 的对称性相同。如果形式地假定 R 变换是恒同的（应用到函数 ρ 上，即是这样），則从 j 的对称群得到的空間对称群，将完全决定粒子排列的晶軸对称性。

但是，如果我們感兴趣的只是晶体的宏观性质，那末就无须知道函数 $j(x, y, z)$ 的全部对称群。晶体的宏观性质只与晶体內的取向有关，而晶体点陣的平移对称則与它无关。大家知道，从純粹的晶体結構观点看来，有 32 种晶类具有“方向对称性”。这是由純粹的轉动和反射构成的对称群；如果在空間群內假定全部平移是恒同变换，而把螺旋軸和滑移面看作简单的对称軸和对称面，則从这些空間群即可得到上述的对称群。从磁性质观点看来，宏观对称性应按轉动、反射和它們与 R 要素的組合而构成的群来分类。这些群可以称为磁性晶类。它們和磁空間群的关系，与普通晶类和普通空間群的关系一样。

磁性晶类首先包括 32 种附有 R 要素的普通晶类和 32 种沒有 R 要素的晶类。前一种晶类特别是沒有磁結構的全部晶体的宏观对称群。但是有磁結構的晶体也可能有这种对称类。为此， R 要素不能单独包含在这种晶体的磁空間对称群內，而必須与平移要素組合起来。

此外有 58 种晶类，其中 R 要素只与轉动或反射組合。如果用一恒同变换代替 R ，則其中每一晶类都轉变成普通晶类^①。

① 这些晶类与 A. B. 舒布尼科夫首先发现的有两种顏色的面的几何图形（多面体）对称群是同晶的（舒布尼科夫称为“混合极化群”）。 R 要素相应于改变各面顏色的变换 [参阅 A. B. Шубников, Симметрия и антисимметрия конечных Фигур (有限图形的对称与反对称), 苏联科学院出版社, 1951]。这些晶类作为晶体磁性对称群的直接推导，已由 B. A. 塔夫格尔和 B. M. 扎依采夫給出 (ЖЭТФ 30, 564, 1956)。

磁空間群总共有 1651 种。其推导方法（作为舒氏群）参阅 H. B. 貝格夫、H. H. 涅罗諾夫、T. C. 斯米尔諾夫的論文 [晶体研究所丛刊, 11, 33 (1955)] 和 A. M. 扎莫尔扎耶夫的論文 [Кристаллография, 2, 15 (1857)]。

應該指出，磁結構的產生(鐵磁體或反鐵磁體)常常包含比較弱的相互作用^①。因此，磁性物體的晶體結構，與非磁化相的晶體結構相比較，只是代表一種小的畸變，而溫度降低時非磁化相常常變成磁化相。在這方面，鐵磁體特別不同於普通熱電體，而和鐵電體相類似。

知道了一晶體的磁晶類，就可以確定晶體宏觀磁性的特徵，其中最重要的是存在或不存在宏觀磁矩，即存在或不存在自發磁化(沒有外場時)。磁矩 M 為一矢量，它在轉動和反射變換時的行為和軸矢量(兩極矢量的矢積)一樣，而在 R 變換時改變正負號。如果晶體內有一個方向，在這方向上的具有上述性質的矢量 M ，在給定磁晶類的各種變換下保持不變，則這種晶體就具有自發磁化強度。

必須再着重指出它與宏觀電性質的差別。後者的特徵完全由普通晶類決定。特別是要使晶體成為熱電晶體，只須這種晶類容許存在極化矢量 P (電矩)。如果根據軸矢量 M 對給定晶體的純粹結構(非磁化)晶類的各種變換所有的行為，來推斷存在或不存在宏觀磁矩，則完全是不正確的。

為了舉例說明，我們來研究由相同原子組成的正方晶體點陣，原子的磁矩方向平行於正方軸^②。它的磁性晶類包含一個四次軸 C_4^z ，二個與 R 變換組合而成的二次軸($C_2^{(x)}R$ 和 $C_2^{(y)}R$)，一個與 z 軸垂直的對稱平面 $\sigma_h^{(z)}$ 和二個與 R 變換組合而成的對稱平面($\sigma_v^{(x)}R$, $\sigma_v^{(y)}R$)。這種群容許存在矢量 M ，其方向平行於正方軸。如果用 I 代替 R ，我們就得到對稱晶類，也即是晶類 D_{4h} 。這種晶體

① 原子磁矩間的交換相互作用通常使價鍵趨於飽和，形成非磁性結構。只有門捷列夫週期表過渡族內的元素，其原子內位置較深的 d 層和 f 層的电子的比較弱的交換相互作用，才形成磁結構。

② 例如，鐵的鐵磁相晶體點陣就是如此。從晶體關係方面看來，它代表有微小畸變的立方晶體點陣(沿一個四次軸發生畸變)。

本身不容許存在軸矢量 \mathbf{M} (因为分別在平面 $\sigma^{(x)}$, $\sigma^{(y)}$, $\sigma^{(z)}$ 內反射时, 其分量 M_x, M_y, M_z , 改变正負号)。

自发宏观磁矩不为零的晶体性质(铁磁体), 将在第五章內詳細討論。在其余晶体內, \mathbf{B} 和 \mathbf{H} 的关系是綫性的 (在不太強的場內):

$$B_i = \mu_{ik} H_k, \quad (28.1)$$

这关系式不包含自由項。磁导率張量 μ_{ik} 是对称的, 这从下面 § 30 內导出的热力学关系式, 可以推知这种情况, 其方式和 § 13 內证明張量 ϵ_{ik} 的对称性完全一样。

我們还应提到两种在原理上可能存在的現象。其中一种是“压磁現象”, 即在晶体的磁場和形变之間存在綫性关系(类似于压电体——参閱 § 17)。另一种現象是物质內的磁場与电場之間存在綫性关系。例如, 由这种关系可以引起物质內产生与电場成正比的磁化作用^①。这两种現象可能存在于某些磁对称晶体內。但是我們在这里不准备对它們作深入的研究, 因为到目前为止, 看来还未在任何物质中观察到这两种現象。

§ 29. 恒定电流的磁場

如果导体內有不为零的总电流流过, 則导体內的平均电流密度可以写成相加的形式:

$$\overline{\rho \mathbf{v}} = c \operatorname{rot} \mathbf{M} + \mathbf{j}.$$

第一項来自媒质的磁化, 它对总电流沒有貢獻, 因此通过导体横截面上的总电荷轉移, 只决定于第二項的积分 $\int \mathbf{j} d\mathbf{f}$ 。量 \mathbf{j} 称为传导电流密度^②。§ 20 內的討論即是指这种电流而言; 特别是单位時間

① 这种类型的二次效应, 在原理上甚至在各向同性晶体內也应存在, 但由于数值很小, 因此没有什么意义。

② 量 $c \operatorname{rot} \mathbf{M}$ 有时称为分子电流密度。但是这一名詞不完全符合于导体內电荷运动的实际物理图像。例如在金屬內, 对磁化强度 \mathcal{M} 有貢獻的不但有原子內运动的电子, 而且也有传导电子。

在单位体积内所耗散的能量等于 $\mathbf{E}\mathbf{j}$ 。

电流 \mathbf{j} 在导体体积内的分布, 由 § 20 内的方程得出, 这些方程内没有包含电流 \mathbf{j} 所产生的磁場 (假设略去場对金属电导率的影响)。因此, 确定电流的磁場問題, 必須根据該电流的分布情况来解决。这种場方程和 § 27 内所得到的場方程不同的地方, 是 (27. 7) 的右边有一項 $\frac{4\pi}{c}\mathbf{j}$, 而不是零:

$$\operatorname{div} \mathbf{B} = 0, \quad (29. 1)$$

$$\operatorname{rot} \mathbf{H} = \frac{4\pi}{c}\mathbf{j}. \quad (29. 2)$$

傳导电流密度 \mathbf{j} 与电場强度成正比, 是一个不会成为无穷大的有限量, 特别是在两种媒质的交界面上。因此, (29. 2) 式右边出現的項, 并不影响 \mathbf{H} 的切向分量为連續的边界条件。

为了求解 (29. 1) 和 (29. 2) 式, 最方便的是引入所謂矢勢 \mathbf{A} , 即令

$$\mathbf{B} = \operatorname{rot} \mathbf{A}, \quad (29. 3)$$

結果 (29. 1) 式恒被滿足。由等式 (29. 3), 还不足以唯一地决定矢勢。我們可以再添上一个 $\operatorname{grad} f$ 形式的矢量, 这并不会破坏 (29. 3) 式。由于这种非单值性, 可以在 \mathbf{A} 上加一个附加条件, 即选择

$$\operatorname{div} \mathbf{A} = 0. \quad (29. 4)$$

把 (29. 3) 代入 (29. 2) 内, 就得到 \mathbf{A} 的方程。在 $\mathbf{B} = \mu\mathbf{H}$ 的綫性关系下, 我們有

$$\operatorname{rot} \left(\frac{1}{\mu} \operatorname{rot} \mathbf{A} \right) = \frac{4\pi}{c}\mathbf{j}. \quad (29. 5)$$

写成这种形式以后, 这一方程对任何不均匀媒质都是适用的。

在均匀媒质内, $\mu = \text{常数}$, 因为 $\operatorname{rot} \operatorname{rot} \mathbf{A} = \operatorname{grad} \operatorname{div} \mathbf{A} - \Delta \mathbf{A} = -\Delta \mathbf{A}$, 因此 (29. 5) 式变为

$$\Delta \mathbf{A} = -\frac{4\pi}{c}\mu\mathbf{j}. \quad (29. 6)$$

如果我們有磁导率 μ 不同的互相接触的两种以上媒质，則在每一种均匀媒质內，普遍方程(29.5)都变成(29.6)的形式，而在它們的边界面上，必須滿足矢量 $\left(\frac{1}{\mu}\right)\text{rot } \mathbf{A}$ 的切向分量为連續的条件。此外，矢量 \mathbf{A} 本身的切向分量也必須为連續的，因为它們的突变表明磁感应强度 \mathbf{B} 在边界上变成无穷大。

如果在一个方向上(我們取它为 z 軸方向)，媒质为均匀而无限的，則求这种媒质內的平面磁場問題，可使場方程大为簡化，而且产生磁場的电流也处处指向 z 軸方向，这时电流密度 $j_z = j$ 只是 x, y 的函数。自然可以假設(已由实验证实)这种場的矢势也指向 z 軸: $A_z = A(x, y)$ [条件(29.4)这时自动滿足]，而磁場相应地处处与 xy 平面平行。我們用 \mathbf{k} 表示 z 軸上的单位矢量，于是有

$$\text{rot } \mathbf{A} = \text{rot } A\mathbf{k} = [\text{grad } A\mathbf{k}],$$

$$\text{rot}\left(\frac{1}{\mu} \text{rot } \mathbf{A}\right) = \left[\nabla \left[\frac{\nabla A}{\mu} \cdot \mathbf{k}\right]\right] = -\mathbf{k} \text{div} \frac{\nabla A}{\mu}.$$

因此，方程(29.5)变成

$$\text{div} \frac{\text{grad } A}{\mu} = -\frac{4\pi}{c} j(x, y), \quad (29.7)$$

也即是，我們实际上对一个标量 $A(x, y)$ 得到一个方程。如果是“块状均匀”的媒质，則(29.7)式变成

$$\Delta A = -\frac{4\pi}{c} \mu j(x, y), \quad (29.8)$$

边界条件是 A 和 $\frac{1}{\mu} \frac{\partial A}{\partial n}$ 在分界面上为連續的^①。

① 我們注意到，求平面的恒定磁場問題；相当于求电介质內密度为 $\rho_{\text{旁}}(x, y)$ 的旁电荷所产生的电場的平面静电学問題。后一問題要求解方程

$$\text{div}(\epsilon \text{grad } \varphi) = -4\pi \rho_{\text{旁}}$$

(φ 为場势)，它与(29.7)式不同只是分別用 $\varphi, \rho_{\text{旁}}, \frac{1}{\epsilon}$ 代替了 $A, \frac{j}{c}, \mu$ 。 A 和 φ 的边界条件也是相同的。但是，按照 ρ 或 A 分別求 \mathbf{E} 或 \mathbf{B} 时，就会发生差別。在每一点处，矢量 $\mathbf{E} = -\text{grad } \varphi$ 和 $\mathbf{B} = \text{rot } \mathbf{A}$ 的絕對值相同，但方向互相垂直。

如果电流分布对 z 軸是对称的: $j_z = j(r)$ (r 是至 z 軸的距离), 則磁場可以非常简单地求出。显然, 在这种情况下, 磁力綫为 $r = \text{常数}$ 的一族圓。磁場的绝对值直接由下式得出:

$$\oint \mathbf{H} \, d\mathbf{l} = \frac{4\pi}{c} \int \mathbf{j} \, d\mathbf{f}, \quad (29.9)$$

这个式子就是(29.2)式的积分形式。因此

$$H(r) = \frac{2J(r)}{cr}, \quad (29.10)$$

式中 $J(r)$ 是流过 $r = \text{常数}$ 的圓內的总电流。

如果圓电流的分布是軸对称的, 也即是如果在柱面坐标 r, φ, z 內电流分布的形式为

$$j_r = j_z = 0, \quad j_\varphi = j(r, z),$$

則也可以把矢量方程(29.5)化成标量方程。我們現在来求出矢势为 $A_r = A_z = 0, A_\varphi = A(r, z)$ 。这时, 磁感应 $\mathbf{B} = \text{rot } \mathbf{A}$ 的分量为

$$B_r = -\frac{\partial A}{\partial z}, \quad B_z = \frac{1}{r} \frac{\partial}{\partial r}(rA), \quad B_\varphi = 0,$$

而(29.2)式的 φ 分量給出

$$\frac{\partial}{\partial z} \left(\frac{1}{\mu} \frac{\partial A}{\partial z} \right) + \frac{\partial}{\partial r} \left(\frac{1}{\mu r} \frac{\partial}{\partial r} rA \right) = -\frac{4\pi}{c} j(r, z). \quad (29.11)$$

設在一种重要的情况下, 可以忽略媒质的磁性质, 也即是可以处处令 $\mu = 1$, 則电流的磁場方程就可在普遍形式下解出。这时得到全部空間內的矢势方程为

$$\Delta \mathbf{A} = -\frac{4\pi}{c} \mathbf{j},$$

对不同媒质的分界面(包括有电流流过的导体面), 沒有加上任何附加的条件。大家知道, 这个方程的解为^①

$$\mathbf{A} = \frac{1}{c} \int \frac{\mathbf{j}}{R} dV, \quad (29.12)$$

① 參閱“場論”第二版, § 42。

它在无穷远处变为零, 式中 R 是从我們求出 A 的点(观测点)至体积元 dV 的距离。把 rot 作用到这个式子上, 应该記住, 被积式 $\frac{\mathbf{j}}{R}$ 必須对观测点的坐标求微分(\mathbf{j} 与观测点坐标无关), 于是

$$\text{rot } \frac{\mathbf{j}}{R} = \left[\text{grad } \frac{1}{R} \cdot \mathbf{j} \right] = -\frac{1}{R^2} \left[\mathbf{R} \mathbf{j} \right],$$

式中半徑矢量 \mathbf{R} 的方向从 dV 指向观察点。由此可見

$$\mathbf{B} = \mathbf{H} = \frac{1}{c} \int \frac{[\mathbf{j} \mathbf{R}]}{R^3} dV, \quad (29.13)$$

如果电流流过的导体是非常細的(細导綫), 而我們感兴趣的只是导体周圍的磁場, 則导体的厚度可以忽略不計。以后我們將經常把它看作綫电流。在这种情况下, 对导体体积的积分, 就可以代以对其迴路的积分。即是綫电流的公式, 可从体电流的公式得到, 只要在体电流的公式內作下列代換:

$$\mathbf{j} dV \longrightarrow J d\mathbf{l},$$

式中 J 是流过导体的总电流。例如, 从(29.12)和(29.13)式, 我們得到

$$\mathbf{A} = \frac{J}{c} \int \frac{d\mathbf{l}}{R}, \quad \mathbf{H} = \frac{J}{c} \int \frac{[d\mathbf{l} \mathbf{R}]}{R^2}. \quad (29.14)$$

第二个式子就是所謂的毕奥-薩瓦尔定律。

綫电流磁場的这种简单公式, 并不是由于 $\mu=1$ 的假定。因为我們已忽略了导体的粗度, 因此对它的表面不必加上任何边界条件, 而导体材料的磁性质一般是不重要的(甚至可以是铁磁性的)。这样一来, 对于导体周圍媒质內的場, (29.6)式的解为

$$\mathbf{A} = \frac{\mu J}{c} \int \frac{d\mathbf{l}}{R}, \quad \mathbf{B} = \frac{\mu J}{c} \int \frac{[d\mathbf{l} \mathbf{R}]}{R^2}, \quad (29.15)$$

这个解当媒质的磁化率为任何值时都适用。于是, 媒质的存在只是使磁感应强度改变 μ 倍, 而磁場强度 $\mathbf{H} = \frac{\mathbf{B}}{\mu}$, 一般不发生变化。

求綫电流的磁場問題，也可以作为勢論問題来解决。因为我們忽略了导体的体积，因此实际上所求的是沒有电流的空間內的場（除开奇异綫——綫电流——外）。但是，当电流不存在时，恒定磁場具有滿足均匀媒质內拉普拉斯方程的标勢。但是，磁場勢和靜电勢之間存在重大的差別。电場勢总是单值函数，这是因为在整个空間內（包括有电荷的区域）， $\text{rot } \mathbf{E} = 0$ ，因而繞任何封閉迴路一周（即 \mathbf{E} 沿这迴路循环一次）的电勢变化等于零。但磁場繞包围綫电流的迴路循环一周并不为零，而等于 $\frac{4\pi J}{c}$ 。所以繞电流綫一周后，磁場勢值即改变这一数值，也即是說，磁場勢是多值函数。

如果电流系統集中在空間的一有限区域內（而在媒质和导体內， $\mu = 1$ ），則在离它很远处，磁場的矢勢为

$$\mathbf{A} = \frac{[\mathcal{M}\mathbf{R}]}{R^3}, \quad (29.16)$$

式中
$$\mathcal{M} = \frac{1}{2c} \int [\mathbf{r}\mathbf{j}] dV \quad (29.17)$$

为該系統的总磁矩^①。

对綫电流而言，这表达式变为

$$\mathcal{M} = \frac{J}{2c} \oint [\mathbf{r} d\mathbf{l}]$$

而且可以把它变换为对电流迴路所包围的面积积分。乘积 $d\mathbf{f} = \frac{1}{2}[\mathbf{r}d\mathbf{l}]$ 的绝对值，等于由矢量 \mathbf{r} 和 $d\mathbf{l}$ 所圍成的三角形的面积元的面积。但矢量积分 $\int d\mathbf{f}$ 与沿那一表面（迴路所包围的）进行积分无关。于是，閉合綫电流的磁矩等于

^① 参阅“場論”第二版 § 43。在那里的推导中，显式地利用了电流是带电质点的运动这一概念。当然这种推导是非常普遍的，但是利用純粹的宏观方法，也可以得到 (29.16) 式（参阅本节第 4 題）。

$$\mathbf{A} = \frac{J}{c} \int d\mathbf{f}. \quad (29.18)$$

特别是, 对于平面閉合綫电流, 磁矩简单地等于 $\frac{JS}{c}$, 其中 S 是电流所包围的平面部分的面积。

末了, 我們研究一下导体内的能流問題。导体内所耗散的能量 (以焦耳热的形式耗散) 由电磁場的能量来补充。在稳定状态下, 表示能量守恒定律的“連續性方程”为

$$-\operatorname{div} \mathbf{S} = \mathbf{jE}, \quad (29.19)$$

式中 \mathbf{S} 为能流密度。在导体内, 能流密度的表达式为

$$\mathbf{S} = \frac{c}{4\pi} [\mathbf{EH}], \quad (29.20)$$

这个式子在形式上和真空内場的坡印廷矢量的表达式相同。这由直接驗算容易证明, 即利用 $\operatorname{rot} \mathbf{E} = 0$ 和 (29.2) 式計算 $\operatorname{div} \mathbf{S}$, 就可得到 (29.19) 式。

如果考虑到 \mathbf{E}_t 和 \mathbf{H}_t 的連續性和 (29.20) 式在导体外的真空内也是正确的, 則从导体表面上 \mathbf{S} 的法向分量为連續的这一明显条件, 也可单值地得到 (29.20) 式, 而与上面的推导无关。

例 題①

1. 試求閉合綫电流的磁場的标势。

解: 把綫积分变换为对迴路所圍成的面积的积分, 得到

$$\mathbf{A} = \frac{J}{c} \oint \frac{d\mathbf{l}}{R} = \frac{J}{c} \int \left[d\mathbf{f} \nabla \frac{1}{R} \right],$$

$$\mathbf{B} = \operatorname{rot} \mathbf{A} = -\frac{J}{c} \int (d\mathbf{f} \nabla) \nabla \frac{1}{R}$$

(变换时必须考虑到 $\Delta \frac{1}{R} = 0$), 与 $\mathbf{B} = -\operatorname{grad} \phi$ 比較, 我們求得标势为

① 在 1-4 題内, 假定 $\mu = 1$ 。

$$\varphi = \frac{J}{c} \int d\mathbf{f} \nabla \frac{1}{R} = -\frac{J}{c} \int \frac{d\mathbf{f} \cdot \mathbf{R}}{R^3}.$$

式中的积分,从几何意义上說,代表迴路在場观察点处所張的立体角 Ω 。上面提到的标势的多值性表现为,当观察点描一包含导綫的閉合綫路时,立体角 Ω 达到 2π 后改变正負号,变成 -2π 。

2. 試求圓形綫电流(半徑 a)的磁場。

解. 选择柱面坐标系 r, φ, z 的原点在圓心上, φ 角从穿过 z 軸和場观察点的平面算起。于是矢势只有分量 $A_\varphi = A(r, z)$,而按照(29.14)式,我們有

$$A_\varphi = \frac{J}{c} \oint \frac{\cos\varphi dl}{R} = \frac{2J}{c} \int_0^\pi \frac{a \cos\varphi d\varphi}{(a^2 + r^2 + z^2 - 2ar \cos\varphi)^{1/2}}.$$

由 $\varphi = \pi + 2\theta$,引进新变数 θ ,于是可以把上式代为

$$A_\varphi = \frac{4J}{ck} \sqrt{\frac{a}{r}} \left[\left(1 - \frac{k^2}{2}\right) K - E \right],$$

式中

$$k^2 = \frac{4ar}{(a+r)^2 + z^2},$$

而 K 和 E 是第一种和第二种完全椭圆积分:

$$K = \int_0^{\frac{\pi}{2}} \frac{d\theta}{\sqrt{1 - k^2 \sin^2 \theta}}, \quad E = \int_0^{\frac{\pi}{2}} \sqrt{1 - k^2 \sin^2 \theta} d\theta.$$

于是我們求得感应分量为

$$B_\varphi = 0, \quad B_r = -\frac{\partial A_\varphi}{\partial z} = \frac{J}{c} \frac{2z}{r\sqrt{(a+r)^2 + z^2}} \left[-K + \frac{a^2 + r^2 + z^2}{(a-r)^2 + z^2} E \right],$$

$$B_z = \frac{1}{r} \frac{\partial}{\partial r} (r A_\varphi) = \frac{J}{c} \frac{2}{\sqrt{(a+r)^2 + z^2}} \left[K + \frac{a^2 - r^2 - z^2}{(a-r)^2 + z^2} E \right].$$

式中我們會利用了很容易验证的公式:

$$\frac{\partial K}{\partial k} = \frac{E}{k(1-k^2)} - \frac{K}{k}, \quad \frac{\partial E}{\partial k} = \frac{E-K}{k}.$$

在軸上($r=0$)

$$B_r = 0, \quad B_z = \frac{2\pi a^2 J}{c(a^2 + z^2)^{3/2}},$$

这用初等的直接計算,也可以得到。

3. 試求无限长柱形导体內柱形小孔內的磁場,导体內流过的电流均匀分

布于导体截面上(图 17)。

解. 如果柱体内没有小孔, 则柱体内的场等于

$$H'_x = -2\pi jy/c, \quad H'_y = 2\pi jx/c$$

(坐标尺度和坐标轴的符号如图 17 所示)。

如果内柱体上流过的电流密度为 $-j$, 则它在同一观察点处所产生的场为

$$H''_x = 2\pi jy'/c, \quad H''_y = -2\pi jx'/c.$$

把这两个场叠加起来, 就得到小

孔内的场。注意到 $x - x' = OO' = h, y = y'$, 我们得到

$$H_x = 0, \quad H_y = 2\pi jh/c = \frac{2hJ}{(b^2 - a^2)c},$$

也即是在 y 轴方向场是均匀的。

4. 试从(29.12)式推导距离电流很远处的场的矢势公式(29.16)。

解. 设 $\mathbf{R} = \mathbf{R}_0 - \mathbf{r}$, 其中 \mathbf{R}_0 和 \mathbf{r} 是从电流区域内某处的坐标原点分别至观察点和体积元 dV 的矢径。把被积式展开成 \mathbf{r} 的幂级数, 并注意到 $\int \mathbf{j} dV \equiv 0$, 我们得到

$$A_i \cong \frac{R_k}{cR^3} \int x_k j_i dV$$

(略去了 R 上的下角标 0)。由分部积分下列恒等式:

$$\int x_i x_k \operatorname{div} \mathbf{j} dV = 0,$$

我们得到

$$\int (j_i x_k + j_k x_i) dV = 0.$$

因此, 可以把 A_i 改写成

$$A_i = \frac{R_k}{2cR^3} \int (x_k j_i - x_i j_k) dV,$$

这和(29.16)相同。

5. 试求线电流在磁各向异性媒质内所产生的磁场。

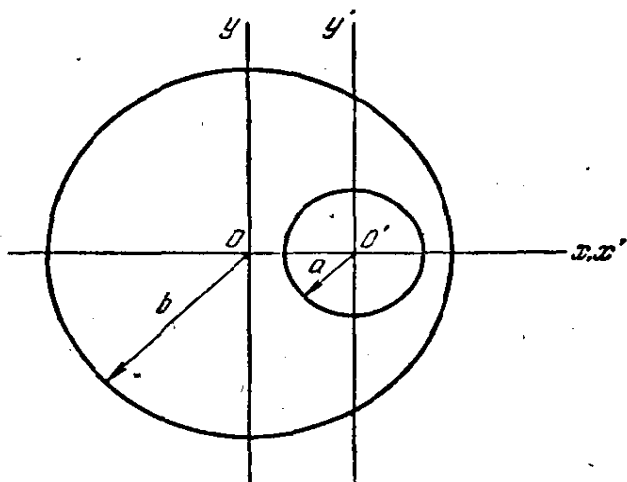


图 17

解. 在导体周圍的各向异性媒质內, 我們有

$$\operatorname{div} \mathbf{B} = \mu_{ik} \frac{\partial H_k}{\partial x_i} = 0, \quad (1)$$

式中 μ_{ik} 为媒质的磁导率張量, 代替引进矢势 $\mathbf{B} = \operatorname{rot} \mathbf{A}$, 我們在这里引入另一个矢量 \mathbf{C} , 它由下面的等式来定义:

$$H_i = e_{ikl} \mu_{km} \frac{\partial C_l}{\partial x_m} \quad (2)$$

(e_{ikl} 是反对称单位張量)。 (2) 式也恒满足 (1) 式。对这样求得的矢量 \mathbf{C} , 我們还可以加上附加条件:

$$\operatorname{div} \mathbf{C} \equiv \frac{\partial C_i}{\partial x_i} = 0. \quad (3)$$

把 (2) 式代入方程 $\operatorname{rot} \mathbf{H} = \frac{4\pi}{c} \mathbf{j}$, 我們得到

$$e_{ikl} \frac{\partial H_l}{\partial x_k} = -\mu_{kp} \frac{\partial^2 C_i}{\partial x_k \partial x_p} = \frac{4\pi j_i}{c}$$

[变换时利用了等式:

$$e_{ikl} e_{lmn} = \delta_{im} \delta_{kn} - \delta_{in} \delta_{km}$$

和条件 (3)]。这样求得的 \mathbf{C} 方程, 在形式上和各向异性媒质內电荷所产生的电場势的方程相同 (§ 13, 例題 2)。其解为

$$\mathbf{C} = \frac{1}{c} \int \frac{\mathbf{j} dV}{\sqrt{|\mu| \mu_{ik}^{-1} R_i R_k}}$$

($|\mu|$ 为張量 μ_{ik} 的行列式, \mathbf{R} 为观察点和 dV 間的矢徑)。化为綫电流, 我們最后得到

$$\mathbf{C} = \frac{J}{c \sqrt{|\mu|}} \oint \frac{d\mathbf{l}}{\sqrt{\mu_{ik}^{-1} R_i R_k}}$$

§ 30. 磁場內的热力学关系式

磁場內磁体的热力学关系式, 如我們在下面見到的, 它的最后形式和电場內电介质的相应热力学关系式非常相似。但是, 它們的推导却和 § 10 內进行的有重大差別。这种差別是由于磁場和电場不同, 磁場对在其內部运动的电荷不作功 (因为作用在电荷上的力与速度垂直)。因此, 要計算磁場加上后媒质的能量变化, 必

須研究由磁場变化所感生的电場和求出电場对电流(磁場源)所作的功。

由此可見, 必須引入确定电場和交变磁場的关系的方程。这个方程

$$\text{rot } \mathbf{E} = -\frac{1}{c} \frac{\partial \mathbf{B}}{\partial t}, \quad (30.1)$$

是把微观方程(1.3)求平均值的直接結果。

在時間 δt 內, 电場 \mathbf{E} 对电流 \mathbf{j} 所作的功等于

$$\delta t \int \mathbf{j} \mathbf{E} dV.$$

这个量取相反的正負号就是外电动势对場所作的功 δR , 外电动势是維持电流的电源。代入 $\mathbf{j} = \frac{c}{4\pi} \text{rot } \mathbf{H}$, 得到

$$\begin{aligned} \delta R &= -\delta t \frac{c}{4\pi} \int \mathbf{E} \text{rot } \mathbf{H} dV = \\ &= \delta t \frac{c}{4\pi} \int \text{div}[\mathbf{E} \mathbf{H}] dV - \delta t \frac{c}{4\pi} \int \mathbf{H} \text{rot } \mathbf{E} dV. \end{aligned}$$

第一个积分变换成对无穷远表面的积分后变成零。在第二个积分內, 代入(30.1)式的 $\text{rot } \mathbf{E}$, 并引进磁感应变化 $\delta \mathbf{B} = \delta t \frac{\partial \mathbf{B}}{\partial t}$ 后, 最后得到

$$\delta R = \frac{1}{4\pi} \int \mathbf{H} \delta \mathbf{B} dV. \quad (30.2)$$

这式子的形式和电場发生无穷小变化时所作的功的表达式(10.2)十分类似, 但是應該注意, 这两个公式間的物理类似都不是这样深刻的, 因为 \mathbf{H} 和 \mathbf{E} 不同, 它不是真实的微观磁場强度的平均值。

得到了(30.2)式以后, 就可以写出磁場內磁体的全部热力学关系式, 其方式和 § 10 內写出电場內电介质的热力学关系式完全

相似。这只要在前面得到的公式中，分別用 \mathbf{H} 和 \mathbf{B} 代替 \mathbf{E} 和 \mathbf{D} 就行了。为了以后引用方便，我們在这里写下其中一些关系式。对于总自由能和內能求微分，我們有

$$\begin{aligned}\delta\mathcal{F} &= -\mathcal{S}\delta T + \frac{1}{4\pi} \int \mathbf{H} \delta\mathbf{B} dV, \\ \delta\mathcal{U} &= T\delta\mathcal{S} + \frac{1}{4\pi} \int \mathbf{H} \delta\mathbf{B} dV,\end{aligned}\quad (30.3)$$

这些量属于单位体积的为

$$\begin{aligned}dF &= -SdT + \zeta d\rho + \frac{1}{4\pi} \mathbf{H} d\mathbf{B}, \\ dU &= TdS + \zeta d\rho + \frac{1}{4\pi} \mathbf{H} d\mathbf{B}.\end{aligned}\quad (30.4)$$

除了 F, U 之外，我們也需要热力学势：

$$\tilde{U} = U - \frac{\mathbf{H}\mathbf{B}}{4\pi}, \quad \tilde{F} = F - \frac{\mathbf{H}\mathbf{B}}{4\pi}, \quad (30.5)$$

这些热力学势的微分为

$$\begin{aligned}d\tilde{F} &= -SdT + \zeta d\rho - \frac{1}{4\pi} \mathbf{B} d\mathbf{H}, \\ d\tilde{U} &= TdS + \zeta d\rho - \frac{1}{4\pi} \mathbf{B} d\mathbf{H}.\end{aligned}\quad (30.6)$$

在 $\mathbf{B} = \mu\mathbf{H}$ 的綫性关系下，我們可以写出全部量的最后形式为

$$\begin{aligned}U &= U_0(S, \rho) + \frac{B^2}{8\pi\mu}, \quad F = F_0(T, \rho) + \frac{B^2}{8\pi\mu}, \\ \tilde{U} &= U_0(S, \rho) - \frac{\mu H^2}{8\pi}, \quad \tilde{F} = F_0(T, \rho) - \frac{\mu H^2}{8\pi}.\end{aligned}\quad (30.7)$$

我們可以把功 δR (或者溫度不变时的 δF) 通过电流密度和磁場矢势表示成另一种形式。为此，假定 $\delta\mathbf{B} = \text{rot}\delta\mathbf{A}$ ，并写出

$$\begin{aligned}(\delta\mathcal{F})_T &= \frac{1}{4\pi} \int \mathbf{H} \text{rot} \delta\mathbf{A} dV = \\ &= -\frac{1}{4\pi} \int \text{div}[\mathbf{H} \delta\mathbf{A}] dV + \frac{1}{4\pi} \int \delta\mathbf{A} \text{rot} \mathbf{H} dV.\end{aligned}$$

第一个积分重新变为零, 而从第二个积分得出

$$(\delta\mathcal{F})_T = \frac{1}{c} \int \mathbf{j} \delta\mathbf{A} dV. \quad (30.8)$$

由类似变换, 可以得到

$$(\delta\tilde{\mathcal{F}})_T = -\frac{1}{c} \int \mathbf{A} \delta\mathbf{j} dV. \quad (30.9)$$

有趣的是, 在宏观电动力学的数学表述形式中, 电流——磁场源——所起的作用类似于电场源的电势 (但不是电荷) 所起的作用。把(30.8)式和(30.9)式与电场内的类似公式:

$$(\delta\mathcal{F})_T = \int \varphi \delta\rho dV, (\delta\tilde{\mathcal{F}})_T = -\int \rho \delta\varphi dV \quad (30.10)$$

对照, 就可明显地看出这一规则 [参阅(10.13), (10.14)]。我们看到, 在这些公式内, 电荷和电势的排列次序与公式(30.8)、(30.9)内的电流和电势的排列次序相反。

由于电场和磁场的热力学关系式 (用场强和感应强度表示) 在形式上完全相同, 因此, § 18 所求得的热力学不等式也可以直接移用到磁场上。特别是我们看到, 由它们可得到不等式 $s > 0$ 。在电场的情况下, 这一不等式没有什么意义, 因为它比根据其他理由所得到的 $s > 1$ 这一条件要弱得多。但是, 在磁场情况下, 类似的不等式

$$\mu > 0$$

却是很重要的, 因为它是对磁导率的可能值所加上的唯一限制。

§ 31. 磁体的总自由能

在 § 11 中, 我们得到了电场内电介质的总自由能 \mathcal{F} 的表达式。这个量的一个热力学性质是, 总自由能的变化给出场源 (电荷) 不变时电场对导体所作的功。在磁场内, 自由能 $\tilde{\mathcal{F}}$ 起着相似的作用, 因为当场源 (电流) 不变时, 自由能的变化给出对导体所作

的功。

下面的推导过程和 § 11 內的推导完全类似。我們定义“总”自由能 $\widetilde{\mathcal{F}}$ 为

$$\widetilde{\mathcal{F}} = \int \left(\widetilde{F} + \frac{\mathcal{S}^2}{8\pi} \right) dV, \quad (31.1)$$

式中 \mathcal{S} 为磁化媒质不存在时場源所产生的磁場。括号內的“+”号 [代替 (11.1) 式的“-”号] 是由于对真空內的磁場而言, $\widetilde{\mathcal{F}}$ 的值为 $-\int \frac{\mathcal{S}^2}{8\pi} dV$ [参閱 (30.7)]。(31.1) 式的积分对整个空間进行, 包括流过电流而产生磁場的导体体积在內^①。

我們現在来計算磁場发生无穷小变化时 $\widetilde{\mathcal{F}}$ 的变化 (这时保持溫度不变, 同时不破坏媒质的热力学平衡)。因为 $\delta \widetilde{F} = -\frac{1}{4\pi} \mathbf{B} \delta \mathbf{H}$, 所以有

$$\begin{aligned} \delta \widetilde{\mathcal{F}} &= -\frac{1}{4\pi} \int (\mathbf{B} \delta \mathbf{H} - \mathcal{S} \delta \mathcal{S}) dV = -\frac{1}{4\pi} \int (\mathbf{H} - \mathcal{S}) \delta \mathcal{S} dV - \\ &\quad - \frac{1}{4\pi} \int \mathbf{B} (\delta \mathbf{H} - \delta \mathcal{S}) dV - \frac{1}{4\pi} \int (\mathbf{B} - \mathbf{H}) \delta \mathcal{S} dV. \end{aligned} \quad (31.2)$$

引进場 \mathcal{S} 的矢势 \mathcal{A} , 在第一項內写出

$$\begin{aligned} (\mathbf{H} - \mathcal{S}) \delta \mathcal{S} &= (\mathbf{H} - \mathcal{S}) \operatorname{rot} \delta \mathcal{A} = \\ &= \operatorname{div} [\delta \mathcal{A} (\mathbf{H} - \mathcal{S})] + \delta \mathcal{A} \operatorname{rot} (\mathbf{H} - \mathcal{S}). \end{aligned}$$

但是按照定义, 場 \mathbf{H} 和 \mathcal{S} 是由同一电流 \mathbf{j} 所产生的, 这电流在导体体积內的分布与其所产生的場无关 (参閱 § 29), 也即是与周圍空間內是否存在磁体无关。因此, \mathbf{H} 和 \mathcal{S} 滿足相同的方程: $\operatorname{rot} \mathbf{H} = \frac{4\pi}{c} \mathbf{j}$, $\operatorname{rot} \mathcal{S} = \frac{4\pi}{c} \mathbf{j}$, 于是 $\operatorname{rot} (\mathbf{H} - \mathcal{S}) = 0$ 。把 $\operatorname{div} [\delta \mathcal{A} (\mathbf{H} - \mathcal{S})]$ 的

^① 在 § 11 內, 我們曾假定 (11.1) 的积分是对整个空間进行的, 其中不包括产生場的带电导体的体积。在那里所以可以这样作是因为在带电导体內不存在电場, 但在有电流流过的导体內, 存在磁場, 因此在計算总自由能时不能把它除去不考虑。

积分变换为对无穷远表面的积分后变为零。

由类似方式可以证明, (31. 2) 式内的第二项也等于零, 因此

$$\delta\tilde{\mathcal{F}} = -\frac{1}{4\pi} \int (\mathbf{B} - \mathbf{H}) \delta\mathcal{S} dV = -\int \mathbf{M} \delta\mathcal{S} dV. \quad (31. 3)$$

由此可见, 我們所得到的 $\delta\tilde{\mathcal{F}}$ 的表达式, 和电场情况下 $\delta\tilde{\mathcal{F}}$ 的表达式 (11. 3) 完全相似。特别是在均匀外磁场 \mathcal{S} 内, 我們所得到的 $d\tilde{\mathcal{F}}$ 的表达式和 (11. 5) 式相似:

$$d\tilde{\mathcal{F}} = -\mathcal{F} dT - \mathcal{M} d\mathcal{S}, \quad (31. 4)$$

式中 \mathcal{M} 为导体的总磁矩。

在这里我們不去重复进一步的计算, 仿照 § 11 内的公式, 我們写出下面的一些公式。在 $\mathbf{B} = \mu\mathbf{H}$ 的线性关系下, 我們得到

$$\tilde{\mathcal{F}} - \mathcal{F}_0(V, T) = -\int \frac{1}{2} \mathcal{S} \mathbf{M} dV. \quad (31. 5)$$

特别是在均匀外场内,

$$\tilde{\mathcal{F}} - \mathcal{F}_0(V, T) = -\frac{1}{2} \mathcal{S} \mathcal{M}. \quad (31. 6)$$

在 \mathbf{B} 和 \mathbf{H} 为任意关系的普遍情况下, 我們可以利用下面的公式计算 $\tilde{\mathcal{F}}$:

$$\begin{aligned} \tilde{\mathcal{F}} &= \int \left(\tilde{F} + \frac{\mathbf{H}\mathbf{B}}{8\pi} - \frac{1}{2} \mathbf{M}\mathcal{S} \right) dV = \\ &= \int \left(F - \frac{\mathbf{H}\mathbf{B}}{8\pi} - \frac{1}{2} \mathbf{M}\mathcal{S} \right) dV. \end{aligned} \quad (31. 7)$$

§ 11 内曾给出了电介质极化率很小时的简化公式。由于上面提到的大多数导体的磁化率都很小, 因此对磁场来说, 类似情况显得特别重要。这时我們有

$$\tilde{\mathcal{F}} - \mathcal{F}_0 = -\frac{\chi}{2} \int \mathcal{S}^2 dV. \quad (31. 8)$$

对磁场而言, 也可得到与 § 14 类似的结果。这即是指磁导率 μ 发生无穷小变化时所引起的磁体的热力学量的变化: 这时假定

場源不变。由上面所述可知,代替 \mathcal{F} 的变化(如 § 14 內一样),我們現在必須研究 $\widetilde{\mathcal{F}}$ 的变化。我們在这里不去重复推导过程,它和(14.1)式的推导完全相似。于是得到下面的結果:

$$\delta\widetilde{\mathcal{F}} = - \int \delta\mu \frac{H^2}{8\pi} dV. \quad (31.9)$$

在 § 14 內曾根据上式作出結論:物质的电极化率是正的。但是在磁場的情况下,却不能作出这样的推論,因为磁化率可以有正号,也可以有負号。这一重大差別的原因是,磁場內运动电荷系統的哈密頓函数,不但包含場的綫性項(如在电場情况一样),而且也包含場的二次項。因此,按照(14.2)式,利用微扰理論求磁場內物体的自由能变化时,不但第二近似項作出貢獻,第一近似項也有貢獻。这时对变化的正負号不能作出任何一般的推論。例如在順磁体内,它取正值,而在抗磁体内則取負值。

在 § 14 內曾对导体在电場內的运动方向作出結論。从(31.9)式,也可以得到类似的推論。但是由于 μ 可以大于1,也可以小于1,因此导体在磁場內的运动方向不是一律的。例如在准均匀場內,順磁体($\mu > 1$)向場强增加方向移动,而抗磁体($\mu < 1$),則向 H 减小方向移动。

§ 32. 电流系統的能量

我們来研究通有电流的导体系統。我們假定無論导体或导体所在的媒质,都不是铁磁性的,于是处处 $B = \mu H$ 。按照 § 30,导体系統的总自由能可用电流所产生的磁場来表示,即

$$\mathcal{F} = \frac{1}{8\pi} \mathbf{H} \cdot \mathbf{B} dV. \quad (32.1)$$

我們这里略去了常数 \mathcal{F}_0 (导体溫度保持不变),因为它与电流没有关系。(32.1)式的积分对整个空間进行,既包含导体的体积,也包含导体外的空間。

这自由能也可用电流来表示,即表示为积分:

$$\mathcal{F} = \frac{1}{2c} \int \mathbf{A} \mathbf{j} dV \quad (32.2)$$

[与从(30.2)式化到(30.8)式比较]。上式的积分只对导体的体积进行,因为在导体外, $\mathbf{j}=0$ 。

由于场方程是线性的,因此可以把磁场写成由每一电流所分别产生的磁场之和的形式,这时假定其余导体内没有电流: $\mathbf{H} = \Sigma \mathbf{H}_a$ 。于是,总自由能(32.1)式的形式变为

$$\mathcal{F} = \sum_a \mathcal{F}_{aa} + \sum_{a>b} \mathcal{F}_{ab}, \quad (32.3)$$

式中

$$\begin{aligned} \mathcal{F}_{aa} &= \frac{1}{8\pi} \int \mathbf{H}_a \mathbf{B}_a dV, \\ \mathcal{F}_{ab} &= \frac{1}{4\pi} \int \mathbf{H}_a \mathbf{B}_b dV \end{aligned} \quad (32.4)$$

(在 $\mathcal{F}_{ab} = \mathcal{F}_{ba}$ 中,已考虑到 $\mathbf{H}_a \mathbf{B}_b = \mu \mathbf{H}_a \mathbf{H}_b = \mathbf{H}_b \mathbf{B}_a$, 式中 μ 是空间各点处的磁导率)。量 \mathcal{F}_{aa} 可以称为第 a 个导体内的电流的本征自由能,而 \mathcal{F}_{ab} 可称为导体 a 和 b 的相互作用能。但是必须注意,只有略去了导体本身和媒质的磁性质后,这些名称才具有原来字面的意义。反之,每一电流的场(因而其能量)也与其余导体的位置和磁导率有关。

(32.4)式内的量,按照(32.2)式,也可用每个导体内的电流 \mathbf{j}_a 来表示:

$$\begin{aligned} \mathcal{F}_{aa} &= \frac{1}{2c} \int \mathbf{j}_a \mathbf{A}_a dV_a, \\ \mathcal{F}_{ab} &= \frac{1}{c} \int \mathbf{j}_a \mathbf{A}_b dV_a = \frac{1}{c} \int \mathbf{j}_b \mathbf{A}_a dV_b. \end{aligned} \quad (32.5)$$

\mathcal{F}_{aa} 内的积分,只对第 a 个导体的体积进行,而 \mathcal{F}_{ab} 可表示为两个表达式中任何一个的形式,其中积分分别对导体 a 或导体 b 的体

积进行。

当电流密度在导体体积内的分布有一定规律时， \mathcal{F}_{ab} 值只与流过导体截面上的总电流强度 J_a 有关。这时与量 J_a 成正比的不只是电流密度 \mathbf{j} ，而且还有电流所产生的场。因此，整个积分 \mathcal{F}_{aa} 与 J_a^2 成正比。我們把它写成

$$\mathcal{F}_{aa} = \frac{1}{2c^2} L_{aa} J_a^2, \quad (32.6)$$

式中的 L_{aa} 称为导体的自感系数。由类似方式，两电流的相互作用能与 $J_a J_b$ 的乘积成正比：

$$\mathcal{F}_{ab} = \frac{1}{c^2} L_{ab} J_a J_b. \quad (32.7)$$

量 L_{ab} 称为导体的互感系数。由此可見，电流系統的总自由能为

$$\begin{aligned} \mathcal{F} &= \frac{1}{2c^2} \sum_a L_{aa} J_a^2 + \frac{1}{c^2} \sum_{a>b} L_{ab} J_a J_b = \\ &= \frac{1}{2c^2} \sum_a \sum_b L_{ab} J_a J_b. \end{aligned} \quad (32.8)$$

这个二次式必須取正值的条件，对其中的系数值加上一系列的限制。特别是，全部的 $L_{aa} > 0$ ，而

$$L_{aa} L_{bb} > L_{ab}^2.$$

在导体为任意大小的普遍情况下，电流能量的計算要求求出場方程的完全解，而这是一个很复杂的问题。但是，如果导体本身或媒质的磁导率可以假定等于 1，那末问题可得到简化。我們注意到，这时电流的能量一般不再依赖于导体的热力学状态（特别是依赖于它的温度），因此，在上面得到的全部公式内所说的自由能，也可以简单地指能量。

当 $\mu = 1$ ，电流 \mathbf{j} 所产生的場的矢势由 (29.12) 式得出。因此，我們得到导体的自由能为

$$\mathcal{F}_{aa} = \frac{1}{2c^2} \iint \frac{\mathbf{j}\mathbf{j}'}{R} dV dV', \quad (32.9)$$

式中两个积分都是对给定导体的体积进行，而 R 是 dV 和 dV' 之间的距离。由类似方式，两导体的相互作用能为

$$\mathcal{F}_{ab} = \frac{1}{c^2} \iint \frac{\mathbf{j}_a \mathbf{j}_b}{R} dV_a dV_b, \quad (32.10)$$

式中 dV_a 和 dV_b 是每个导体的体积元。

特别是两线电流的相互作用能可以极简单地计算出来。从体电流化为 (32.10) 内的线电流，只要分别用 $J_a dl_a$ 和 $J_b dl_b$ 代换 $\mathbf{j}_a dV_a$ 和 $\mathbf{j}_b dV_b$ 就可得到，而且我们发现，互感系数为

$$L_{ab} = \oint \oint \frac{dl_a dl_b}{R}.$$

因此，在这种近似内， L_{ab} 只依赖于两回路的形状、线度和相互位置，而与电流沿导线截面的分布无关。应着重指出，在线导体的情况下，要得到这样简单的式子，甚至并不需要假定 $\mu=1$ 。在我们略去导线粗度的近似内，导线材料的磁性质一般并不影响它们所产生的场，因此，也不影响它们的相互作用能。但是，如果导线周围媒质的磁导率 μ 不为 1，则按照 (29.15) 式，它简单地使磁场的矢势值（同时也使磁感应）增加 μ 倍。因此，相互感应系数也增加同样多的倍数，于是

$$L_{ab} = \mu \oint \oint \frac{dl_a dl_b}{R}. \quad (32.11)$$

计算线导体的互感系数则要困难得多。这问题将留待下一节研究。

线电流系统的总能量还可写成另一种形式。为此，我们再回到 (32.2) 的积分，在线电流的情况下，它的形式为

$$\mathcal{F} = \frac{1}{2c} \sum_a J_a \oint \mathbf{A} dl_a, \quad (32.12)$$

式中 \mathbf{A} 为第 a 个导体在 $d\mathbf{l}_a$ 点处的总場的矢势。从(32.2)式变换到(32.12)式所引起的主要誤差,在于略去了导綫横截面上的場变化(包括电流的本征場在內)。(32.12)內的每一迴路积分可以变换为面积分:

$$\oint \mathbf{A} d\mathbf{l}_a = \int \text{rot} \mathbf{A} \cdot d\mathbf{f}_a = \int \mathbf{B} d\mathbf{f}_a,$$

也即是它代表通过第 a 个电流迴路的磁感应通量(或者一般称为磁通量)。我們用 Φ_a 表示这通量。于是

$$\mathcal{F} = \frac{1}{2c} \sum_a J_a \Phi_a. \quad (32.13)$$

由类似方式,外磁場內綫电流 J 的自由能 \mathcal{F} ,也即是不包括場源本征能的能量,可用磁通量来表示,显然

$$\mathcal{F} = \frac{1}{c} J \Phi, \quad (32.14)$$

式中 Φ 是通过电流 J 迴路的外場通量。如果外場是均匀的(而在媒质內, $\mu=1$),則 $\Phi = \oint d\mathbf{f}$ 。按照(29.18)式引入电流的磁矩,我們得到 $\mathcal{F} = \mathcal{M} \mathcal{H}$ 。

知道了电流系統的能量与导綫綫度、形状和相互位置的关系式后,由简单地对相应的坐标求微分,就可求出作用在导体上的力。但是这时发生的问题是,取微分时必須假定电流的那种特性保持不变。最方便的是保持电流不变进行計算。但是在这种情况下,量 $\widetilde{\mathcal{F}}$ 表示自由能。因此,在广义坐标 q “上”所作用的广义力 F_q 为

$$F_q = - \left(\frac{\partial \widetilde{\mathcal{F}}}{\partial q} \right)_{J, T}$$

导数的下角标表示,取微分时保持电流强度和导体的溫度不变。因为在自由能內我們略去了与电流无关的不变部分,因此, \mathcal{F} 和 $\widetilde{\mathcal{F}}$ 只相差一个正負号,于是

$$F_q = - \left(\frac{\partial \tilde{\mathcal{F}}}{\partial q} \right)_J = \left(\frac{\partial \mathcal{F}}{\partial q} \right)_J = \frac{1}{2c^2} \sum_{a,b} J_a J_b \frac{\partial L_{ab}}{\partial q} \quad (32.15)$$

(在这里和下面, 为了简单起见, 我们略去了导数的下角标 T)。

特别是, 导体的本征磁场作用在导体上的力由下式得出:

$$F_q = \frac{1}{2c^2} J^2 \frac{\partial L}{\partial q}, \quad (32.16)$$

式中 L 是导体的自感。从下面所述可以预先看出这些力的作用的特征。当电流强度 (和温度) 保持给定值时, 量 $\tilde{\mathcal{F}}$ 趋近于最小值。因为在现在的情况下, $\tilde{\mathcal{F}} = -\frac{LJ^2}{2c^2}$, 因此这表明作用在导体上的力趋向于使导体的自感系数增大。但是后者是长度量纲的量, 因此与导体的长度成正比。由此可见, 在磁场的作用下, 导体的体积增加。

对于在外磁场内的电流, 我们得到^①

$$\tilde{\mathcal{F}} = -\mathcal{F} = -\mathcal{M}\mathcal{H}. \quad (32.17)$$

在上面得到的全部能量公式内, 我们假定了磁感应强度和磁场强度之间存在线性关系。在这种关系为任意形式的普遍情况下, 可以建立类似的微分关系式。场发生无穷小变化时所引起的自由能变化 (保持温度不变), 按照 (30.8) 式为

$$\delta \mathcal{F} = \frac{1}{c} \int \mathbf{j} \delta \mathbf{A} dV,$$

或者对线电流而言,

$$\delta \mathcal{F} = \frac{1}{c} \sum_a J_a \oint \delta \mathbf{A} dl_a.$$

其次, 如同从 (32.12) 式变换到 (32.13) 式一样, 变换后我们得到

^① 在这里 [与 (31.6) 式比较] 没有因子 1/2 是因为 (32.15) 式内电流的磁矩是一个常数, 与场无关。而且 (31.6) 式内出现的磁体本身的磁矩只能在场的作用下发生。

$$\delta \mathcal{F} = \frac{1}{c} \sum_a J_a \delta \Phi_a. \quad (32.18)$$

由类似方式, 从(30.9)式求得

$$\delta \tilde{\mathcal{F}} = -\frac{1}{c} \sum_a \Phi_a \delta J_a. \quad (32.19)$$

由此可以说, 对于线电流系统而言, \mathcal{F} 是对于磁通量的热力学势, 而 $\tilde{\mathcal{F}}$ 是对于电流强度的热力学势, 而且这两种势的相互关系式为

$$\tilde{\mathcal{F}} = \mathcal{F} - \frac{1}{c} \sum_a J_a \Phi_a. \quad (32.20)$$

由此可见, 对于物质的任何磁性质, 下面的热力学关系式都正确:

$$\frac{1}{c} J_a = \frac{\partial \mathcal{F}}{\partial \Phi_a}, \quad \frac{1}{c} \Phi_a = -\frac{\partial \tilde{\mathcal{F}}}{\partial J_a} \quad (32.21)$$

如果把这些公式应用到线性关系的情形中, 即当 \mathcal{F} 由(32.8)式得出时, 于是我们得到

$$\Phi_a = \frac{1}{c} \sum_b L_{ab} J_b. \quad (32.22)$$

由此可见, 感应系数是磁通量和产生磁场的电流强度之间的比例系数。乘积 $\frac{L_{ab} J_b}{c}$ 是电流 J_b ($b \neq a$) 所产生的通过电流回路 J_a 的磁通量, 而 $\frac{L_{aa} J_a}{c}$ 是由电流 J_a 所产生的通过同一回路的磁通量。

§ 33. 线导体的自感

在计算线导体的自感系数时, 不能完全略去导线的粗度, 如我们在计算两个导体的互感时所作的样子。这样做之后, 从(32.9)式, 我们得到自感为

$$L = \oint \oint \frac{dl dl'}{R},$$

式中的两个积分对相同的迴路进行;但是这积分当 $R \rightarrow 0$ 时是对数发散的。

导体的自感的精确数值,取决于导体内电流的分布状态;电流的激励方式不同,电流的分布也不同,也即是它随电动势加到导体上的方式而变化。但在綫导体的情况下,在相当大的精确程度上,自感并不依赖于导体截面上的电流分布规律^①。

我們把自感写成相加的形式: $L = L_e + L_i$, 此处的 L_e 和 L_i 是分别由导体内和导体外的磁場能所引起的。在綫导体内, 自感的主要部分是“外”部分 L_e 。这是因为閉合綫路磁場能的主要部分是在离导体很远(与它的粗度比較)的場内。实际上, 无限长的直导綫每单位长度上的能量由下列积分得出

$$\frac{\mu_e}{8\pi} \int H^2 \cdot 2\pi r dr = \frac{\mu_e}{8\pi} \int \left(\frac{2J}{cr}\right)^2 \cdot 2\pi r dr = \frac{\mu_e J^2}{c^2} \int \frac{dr}{r}$$

(r 为至导綫軸的距离, μ_e 是外部媒质的磁导率)。当 r 很大时, 这积分是对数发散的。当然, 对閉合綫路而言, 这种发散性不存在, 因为积分在与綫路綫度同数量級的距离上被“切断了”。将上面的积分乘上导綫的总长度 l , 并取 l 值为上限(下限等于导綫的半徑 a), 我們得到能量的近似值为

$$\frac{\mu_e J^2}{c^2} l \ln \frac{l}{a}.$$

由此得到自感为

$$L = 2\mu_e l \ln \frac{l}{a}. \quad (33.1)$$

^① 更精确地說, 它不依赖于电流分布, 只要这时电流密度只在与导綫粗度 a 相比的距离上有重大变化。但是, 如果电流的分布为: 在小于 a 的距离上, 电流密度也有重大变化(如由于特殊原因: 在趋肤效应和超导体内发生的情况), 则导綫的自感也发生变化。

大家知道, 这个式子具有对数精确性, 它的相对误差为 $\frac{1}{\ln\left(\frac{l}{a}\right)}$ 的数

量級, 而比值 $\frac{l}{a}$ 在假定它的对数大时也一样大^①。

綫圈(螺旋管)是綫导体的一种特例, 它是用导綫繞成螺旋形, 而相邻两匝的距离极其接近。如果我们略去导綫的粗度和相邻两匝間的距离, 我們就简单地得到一个柱形导电面, 其中有“表面”传导电流流过。适合导体內的方程 $\text{rot } \mathbf{H} = \frac{4\pi}{c} \mathbf{j}$, 在这种情况下, 可简单地代以边界条件:

$$[\mathbf{n}, \mathbf{H}_2 - \mathbf{H}_1] = \frac{4\pi}{c} \mathbf{g}. \quad (33.2)$$

式中 \mathbf{g} 是面电流密度, \mathbf{H}_1 和 \mathbf{H}_2 是螺旋管表面两边的磁場强度, 法綫 \mathbf{n} 指向媒质 2 的内部[比較(27.14)式的推导]。

如果螺旋管是无限长的柱体, 那末求出这种螺旋管所产生的磁場是非常简单的。表面电流是环流的, 而电流密度为 $\mathbf{g} = n\mathbf{J}$, 此处 \mathbf{J} 为流过导綫的电流, 而 n 为螺旋管单位长度上的匝数。柱体外的磁場为零, 而柱体内的磁場是均匀的, 指向柱体轴的方向, 并等于

$$H = \frac{4\pi}{c} nJ.$$

实际上, 在导体面外的全部空間內, 这磁場显式地滿足方程 $\text{div } \mathbf{H} = 0$ 和 $\text{rot } \mathbf{H} = 0$ 以及表面的边界条件(33.2)式。

与此相应, 柱体单位长度上的場能为

^① 上面所指出的自感不依赖于电流分布的說法, 实际上不但适用于近似式(33.1), 而且也适用于計及不包含大对数的項的以下的近似(这相当于在对数宗量內計及 $\frac{l}{a}$ 前面的系数); 參閱本节的例題。

$$\frac{\mu_0 H^2}{8\pi} \pi b^2 = \frac{2\pi^2 n^2 b^2 \mu_0 J^2}{c^2}$$

(b 为柱体半径; μ_0 属于充滿螺旋管內的媒质)。略去两端的場畸变, 也可以把这个公式应用到有限长度 h (与 b 比較) 的螺旋管上。于是我們得到自感为

$$L = 4\pi^2 n^2 b^2 h \mu_0 = 2\pi \mu_0 n b l, \quad (33.3)$$

式中 $l = 2\pi b n h$ 是綫圈內导綫的总长度。与未纏繞的同样长导綫的自感比較, 螺旋管自感的增大[比較(33.3)与(33.1)]是距离很近的綫匝之間存在互感的自然結果。

例 題①

1. 試求圓截面的閉合細导綫的自感。

解. 可以认为导綫內的磁場和无限长直柱体内的磁場一样, 設为

$$H = \frac{2Jr}{ca^2}$$

(r 是至导綫軸的距离, a 是导綫的半径)。由此求得自感的内部份为

$$L_i = \frac{2c^2 \mu_0}{J^2} \int \frac{H^2 dV}{8\pi} = \frac{l \mu_0}{2}, \quad (1)$$

式中 l 为閉合导綫的长度。

計算 L_0 时注意到, 細导綫外的場与导綫截面上的电流分布无关。特别是, 如果假定电流只在导綫表面流过, 則外磁場的能流 \mathcal{E}_0 不变。但是, 这时在导綫内部, $\mathbf{H} = 0$, 因此, 可以从(32.2)式算出作为总能量的能流 \mathcal{E}_0 。

由于假定电流沿表面分布, 因此在这个式子內的积分, 实际上变成沿导綫軸綫进行的綫积分, 于是求得自感的外部份为

$$L_0 = \frac{2c^2 J}{J^2} \oint \frac{\mathbf{A}}{2c} \Big|_{r=a} dl,$$

此处被积式內的 \mathbf{A} 值取在导体的表面上。在变换到这式子时还必須注意到, 在我們所考虑的近似下, 导綫圓截面周长上的磁場是不变的。

① 在例題 1—6 中, 假定媒质的磁化率为 $\mu_0 = 1$ 。

其次,因問題已歸結為求出 $\mathbf{A}|_{r=a}$, 因此我們對電流的分布再作一個假設: 假設全部電流都在導線的軸綫上流過。在所考慮的近似下, 導線表面上的場值, 並不因這一假定而改變(在圓截面直導線的情況下, 它也完全不改變)。於是, 按照(19.14)式, 我們有

$$\mathbf{A}|_{r=a} = \frac{J}{c} \oint \frac{d\mathbf{l}}{R}|_{r=a},$$

式中 R 是從導線的軸綫元 $d\mathbf{l}$ 至其表面一定點的距離。把積分分為兩部份, 即分別相對於 $R > \Delta$ 和 $R < \Delta$, 其中 Δ 為小於電流迴路綫度而大於導線半徑 a 的某一長度^①。在積分區域為 $R > \Delta$ 的積分內, 可以略去 a , 并把 R 簡單地理解為電流迴路上兩點間的距離。在區域為 $R < \Delta$ 的積分內, 可以假定矢量積分的方向為迴路某一點處的切綫方向。用 \mathbf{t} 表示這方向上的單位矢量, 我們寫出

$$\int_{R < \Delta} \frac{d\mathbf{l}}{R} \Big|_{r=a} \cong \mathbf{t} \int_{-\Delta}^{\Delta} \frac{dl}{\sqrt{a^2 + l^2}} = 2\mathbf{t}\Delta \operatorname{arsh} \frac{\Delta}{a} \cong 2\mathbf{t} \ln \frac{2\Delta}{a}.$$

這個式子可以重新寫成下列積分的形式:

$$2\mathbf{t} \ln \frac{2\Delta}{a} \cong \int_{\Delta > R > \frac{a}{2}} \frac{d\mathbf{l}}{R},$$

式中的 R 仍理解為電流迴路上兩點間的距離。由此可見, 與 $R > \Delta$ 區域內的積分相加, 就得到下列表达式:

$$\mathbf{A}|_{r=a} = \frac{J}{c} \int_{R > \frac{a}{2}} \frac{d\mathbf{l}}{R},$$

從這式子內已消去了任意參數 Δ , 這正是應該的。

於是, 最後得到

$$L_c = \iint_{R > \frac{a}{2}} \frac{d\mathbf{l}d\mathbf{l}'}{R}. \quad (2)$$

^① 類似方法曾應用到 § 2 例題 4 計算細圓環的電容。

这里的积分遍及迴路上其距离超过 $\frac{a}{2}$ 的所有各成对的点。

2. 試求圓截面导綫(半徑为 a)作成的細圓环(半徑为 b)的自感。

解. 例題 1 公式(2)內的被积式只与圓环上的弦 R 所張的中心角 φ 有关, 而且 $R = 2b \sin\left(\frac{\varphi}{2}\right)$, 但 $d\mathbf{l}d\mathbf{l}' = dl \cdot dl' \cos\varphi$. 因此我們得到

$$L_e = 2 \int_{\varphi_0}^{\pi} \frac{\cos\varphi \cdot 2\pi b \cdot b d\varphi}{2b \sin\frac{\varphi}{2}} = 4\pi b \left[-\ln \operatorname{tg} \frac{\varphi_0}{4} - 2 \cos \frac{\varphi_0}{2} \right].$$

积分下限由 $2b \sin\frac{\varphi_0}{2} = \frac{a}{2}$ 定出, 由此得 $\varphi_0 \cong a/2b$. 代入这个值, 并与 $L_i = \pi b \mu_i$ 相加, 就得到滿足所需的精确度的数值为

$$L = 4\pi b \left(\ln \frac{8b}{a} - 2 + \frac{\mu_i}{4} \right).$$

特别是当 $\mu_i = 1$ 时,

$$L = 4\pi b \left(\ln \frac{8b}{a} - \frac{7}{4} \right).$$

3. 設圓环导綫內通有电流, 試求圓环导綫($\mu_i = 1$)在这电流的磁場作用下的伸长。

解. 作用于导綫軸上并与导綫軸垂直的內应力, 按照(32.16)式, 分別由下式求出:

$$\pi a^2 \sigma_{\parallel} = \frac{J^2}{2c^2} \frac{\partial L}{\partial (2\pi b)}; \quad 2\pi a b \sigma_{\perp} = \frac{J^2}{2c^2} \frac{\partial L}{\partial a}.$$

代入前一題內的 L 值, 我們得到

$$\sigma_{\parallel} = \frac{J^2}{\pi a^2 c^2} \left(\ln \frac{8b}{a} - \frac{3}{4} \right), \quad \sigma_{\perp} = -\frac{J^2}{a^2 c^2}.$$

由此求得圓环的相对伸长为①

$$\frac{\Delta b}{b} = \frac{1}{E} (\sigma_{\parallel} - 2\sigma_{\perp}) = \frac{J^2}{\pi a^2 c^2 E} \left(\ln \frac{8b}{a} - \frac{3}{4} + 2\pi\sigma \right)$$

(E 为楊氏模量, σ 为导綫材料的泊松系数)。

4. 試求由圓截面(半徑为 a 和 b)的两平行直导綫($\mu_i = 1$)所組成的双导綫每单位长度上的自感, 两导綫的軸綫相距 h , 而且导綫內有大小相等、方向相反的电流 J 流过(图 18)。

① 參閱“連續介质力学”第二版, 第二部份 § 5。

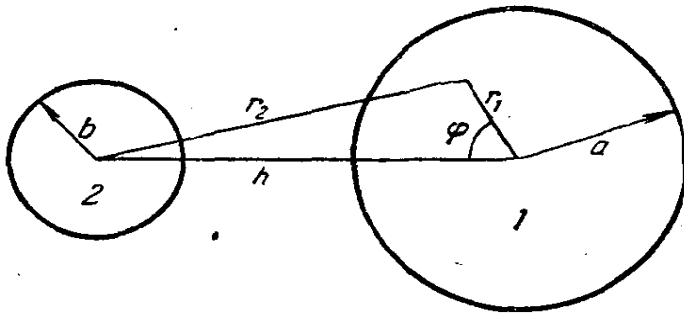


图 18

解. 每一电流的磁場的矢勢方向与导綫軸平行, 因此两磁場的矢勢可以简单地代数相加。于是我們得到电流 $+J$ 均匀分布的导綫 1 的磁場(用柱面坐标表示)为

$$A_z = \frac{J}{c} \left(C - \frac{r^2}{a^2} \right), \text{ 当 } r < a,$$

$$A_z = \frac{J}{c} \left(C - 1 - 2 \ln \frac{r}{a} \right), \text{ 当 } r > a$$

式中 C 是任意常数; 在导綫边界上, A_z 是連續的。用 b 代替 a , 并改变 J 的正負号, 就得到导綫 2 所产生的磁場的相似公式。在(32.2)式內, 对导綫 1 的截面面积进行积分, 得到

$$\begin{aligned} & \frac{J^2}{2c^2\pi a^2} \int \left\{ \left(C - \frac{r_1^2}{a^2} \right) - \left(C - 1 - 2 \ln \frac{r_2}{b} \right) \right\} df_1 = \\ & = \frac{J^2}{2c^2\pi a^2} \int_0^{2\pi} \int_0^a \left\{ 1 - \frac{r_1^2}{a^2} + \ln \frac{h^2 + r_1^2 - 2hr_1 \cos \varphi}{b^2} \right\} r_1 d\varphi dr_1 = \\ & = \frac{J^2}{2c^2} \left(\frac{1}{2} + 2 \ln \frac{h}{b} \right). \end{aligned}$$

对导綫 2 的截面进行积分, 得到相同的表达式, 只是其中用 a 代換了 b 。因此, 所求的双导綫单位长度的自感为

$$L = 1 + 2 \ln \frac{h^2}{ab}.$$

5. 試求超环面螺旋管的自感。

解. 我們把螺旋管看作超环面形的导电面, 面內流过的面电流密度为

$$g = \frac{NJ}{2\pi r}$$

(N 为导綫的总匝数, J 是其中的电流, 所取坐标和綫度如图 19 所示)。螺旋

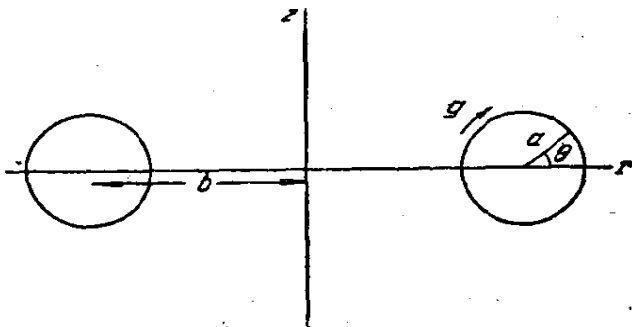


图 19

管外的磁場为 $\mathbf{H}_e = 0$, 而螺旋管內的磁場为

$$H_{ir} = H_{iz} = 0,$$

$$H_{i\varphi} = \frac{2NJ}{cr}$$

(r, z, φ 为柱面坐标)。实际上, 这解满足方程 $\text{div}\mathbf{H} = 0, \text{rot}\mathbf{H} = 0$ 以及边界条件(33.2)①。螺旋管內的磁場能为

$$\int \frac{H_i^2}{8\pi} dV = \frac{N^2 J^2}{c^2} \oint \frac{z dr}{r},$$

积分对圆环截面的周界进行, 按照 $z = a \sin \theta, r = b + a \cos \theta$ 引入 θ 角后, 这积分很容易进行。結果得到自感为

$$L = 4\pi N^2 (b - \sqrt{b^2 - a^2}).$$

6. 試求柱形螺旋管两端附近的場畸变所引起的对柱形螺旋管自感公式

(33.3)的 $\frac{l}{h}$ 为一次的改正值 ($\mu_e = 1$)。

解. 算出螺旋管的自感为对它表面的重积分:

$$L = \frac{1}{J^2} \iint \frac{\mathbf{g}_1 \mathbf{g}_2}{R} df_1 df_2,$$

式中 \mathbf{g} 是面电流密度 ($\mathbf{g} = nJ$)。采用柱面坐标表示为

$$\begin{aligned} L &= 2\pi b^2 n^2 \int_0^h \int_0^h \int_0^{2\pi} \frac{\cos \varphi d\varphi dz_1 dz_2}{\sqrt{(z_2 - z_1)^2 + 4b^2 \sin^2 \frac{\varphi}{2}}} = \\ &= 8\pi b^2 n^2 \int_0^h \int_0^\pi \frac{(h - \zeta) \cos \varphi d\varphi d\zeta}{\sqrt{\zeta^2 + 4b^2 \sin^2 \frac{\varphi}{2}}} \end{aligned}$$

① 这式子对非圆形的任意截面的环形螺旋管, 也是适用的。

(φ 为通过 df_1 和 df_2 的对角面間的夹角)。

对 dL 进行积分, 当 $h \gg b$ 时, 我們得到

$$L \cong 8\pi b^2 n^2 \int_0^\pi \left[h \ln \frac{h}{b \sin \frac{\varphi}{2}} - h + 2b \sin \frac{\varphi}{2} \right] \cos \varphi d\varphi,$$

最后有

$$L = 4\pi^2 b^2 n^2 \left[h - \frac{8}{3\pi} b \right].$$

7. 如果將平面迴路放在磁导率为 μ_e 的半无限媒质的表面上, 試求平面迴路自感改变的倍数。我們略去导綫自感的內部份。

解. 从对称性看出, 媒质不存在时, 电流的磁場对迴路平面是对称的, 而磁力綫与这平面垂直相交。令这磁場为 \mathbf{H}_0 。如果在空的半空間內, 我們令 $\mathbf{H} = \frac{2\mu_e}{\mu_e + 1} \mathbf{H}_0$, 而在媒质內, 令 $\mathbf{B} = \mu_e \mathbf{H} = \frac{2\mu_e}{\mu_e + 1} \mathbf{H}_0$, 則我們就可以使半无限媒质表面上的磁場方程和边界条件得到滿足。实际上, 这一点保证了 B_n 和 \mathbf{H}_t 在边界面上是連續的, 而將 \mathbf{H} 沿任何力綫循环一周, 与 \mathbf{H}_0 沿相同路綫循环一周相等。由此得出結論, 引入媒质后, 总場能, 因而也即是綫路的自感都增加

$$\frac{2\mu_e}{\mu_e + 1} \text{倍}。$$

§ 34. 磁場內的力

要求出磁場內物质上所受的力, 由于它和电場的情况完全相似, 因此我們几乎不需要进行新的計算。这种相似性首先是因为磁場內热力学量的表达式和电場內的表达式不同的地方, 只是分別用字母 \mathbf{H} , \mathbf{B} 代替了字母 \mathbf{E} , \mathbf{D} 而已。在 § 15 內計算应力張量时, 我們曾經利用电場是一势場(这是从方程 $\text{rot } \mathbf{E} = 0$ 得到的結果)。但磁場滿足方程:

$$\text{rot } \mathbf{H} = \frac{4\pi}{c} \mathbf{j}, \quad (34.1)$$

这方程只当傳导电流不存在时才变成 $\text{rot } \mathbf{H} = 0$ 。但是, 計算应力

張量時，一般總是假定 $\mathbf{j}=0$ 。因為 \mathbf{j} 含有磁場的導數，因此在計算應力張量時所以計及電流，表明在應力張量 σ_{ik} 內加入一個由磁場的不均勻性所引起的無限小改正項（比較 93 頁的底注）。

這樣一來，在 §§ 15 和 16 內所得到的應力張量的全部公式，就可以直接移用到磁場上。例如，在 $\mathbf{B}=\mu\mathbf{H}$ 的綫性關係下，在流體媒質內，我們得到

$$\sigma_{ik} = -p_0(\rho, T)\varepsilon_{ik} - \frac{H^2}{8\pi} \left[\mu - \rho \left(\frac{\partial\mu}{\partial\rho} \right)_T \right] \delta_{ik} + \frac{\mu H_i H_k}{4\pi}. \quad (34.2)$$

根據 $f_i = \frac{\partial\sigma_{ik}}{\partial x_k}$ ，由此可以算出體積力。如果媒質是導電的，並且有電流流過，則計算工作和 § 15 的不同處，只在於以方程 (34.1) 代替方程 $\text{rot}\mathbf{H}=0$ 。

把 (34.2) 式微分，並考慮到恆等式 $\text{div}\mathbf{B}=\text{div}(\mu\mathbf{H})=0$ ，我們得到

$$\mathbf{f} = -\nabla p_0 + \frac{1}{8\pi} \nabla \left[H^2 \rho \left(\frac{\partial\mu}{\partial\rho} \right)_T \right] - \frac{H^2}{8\pi} \nabla\mu - \frac{\mu}{8\pi} \nabla H^2 + \frac{\mu}{4\pi} (\mathbf{H}\nabla)\mathbf{H}.$$

但是，由熟知的矢量分析公式：

$$(\mathbf{H}\nabla)\mathbf{H} = \frac{1}{2} \text{grad} H^2 - [\mathbf{H}\text{rot}\mathbf{H}] = \frac{1}{2} \text{grad} H^2 + \frac{4\pi}{c} [\mathbf{j}\mathbf{H}],$$

因此最後有

$$\mathbf{f} = -\nabla p_0 + \frac{1}{8\pi} \text{grad} \left[H^2 \rho \left(\frac{\partial\mu}{\partial\rho} \right)_T \right] - \frac{H^2}{8\pi} \nabla\mu + \frac{\mu}{c} [\mathbf{j}\mathbf{H}]. \quad (34.3)$$

與類似的公式 (15.12) 比較，這裡多增加了一項（最後一項）。但是，如果認為這一項的出現表明，在物理上可以從 \mathbf{f} 內將傳導電

流所引起的力与其他的效应区分开来，这却是不正确的。問題在于，由于方程(34.1)，我們不可能将电流 \mathbf{j} 与場的不均匀性分开，而磁場对坐标的导数也包含在(34.3)式的其他項內。因此，当物质的磁导率显著地大于1时，(34.3)式的各項，一般說来为同一数量級。

但是如通常的情况一样，若 μ 接近1，則傳导电流存在时，(34.3)式內的最后一項对力作出主要貢獻，而其余各項与它比較，都不过是很微小的修正。于是計算磁場內的力，可以假定 $\mu=1$ ，因而簡單地我們有

$$\mathbf{f} = \frac{1}{c} [\mathbf{j}\mathbf{H}] \quad (34.4)$$

($-\nabla p_0$ 这一項在这里和下面，我們都不感兴趣，因此把它略去了)。当 $\mu=1$ 时，物质的性质一般对磁現象无任何影响，因此，磁場內力的表达式(34.4)，無論对液态导体或固态导体，都同样适用。于是作用在磁場內通有电流的导体上的总力，由下列积分得出：

$$\mathbf{F} = \frac{1}{c} \int [\mathbf{j}\mathbf{H}] dV. \quad (34.5)$$

当然，直接根据熟知的洛倫茲力的表达式，也可以非常簡單地得到(34.4)式。磁場內靜止导体所受的宏观力，不外乎是由微观磁場 \mathbf{h} 作用在导体內带电粒子上的洛倫茲力的平均值：

$$\mathbf{f} = \frac{1}{c} [\overline{\rho\mathbf{v} \cdot \mathbf{h}}].$$

但是，若 $\mu=1$ ，則磁場 \mathbf{h} 和平均磁場 \mathbf{H} 相等，而平均值 $\rho\mathbf{v}$ 和傳导电流密度相等。

当导体运动时，(34.4)式的力就对导体作一定的机械功。初看起来好像表明，这和洛倫茲力对运动的电荷不作功有矛盾。实际上，当然不存在任何矛盾，因为在运动的导体內，洛倫茲力所作的功不但包含机械功，而且也包含导体运动时导体內所感应的电

动势所作的功，这两种功大小相等，而正負号相反（參閱第 284 頁上的底注）。

在(34.4)式內， \mathbf{H} 是外电源和受到(34.4)式的力所作用的电流本身所共同产生的磁場的真实值。但是从(34.5)式計算总力时，我們可以把 \mathbf{H} 简单地理解为是通有电流的导体所在的外磁場 \mathfrak{S} 。該导体本身所产生的場，由于动量守恒定律，对导体所受到的总力沒有贡献。

对綫导体而言，力的計算尤其簡單。物质的磁性质一般不重要；如果在媒质內 $\mu=1$ ，則作用在綫导体上的总力由綫积分得出：

$$\mathbf{F} = \frac{J}{c} \oint [d\mathbf{l}\mathfrak{S}]. \quad (34.6)$$

这个式子也可以写成对电流迴路所圍成的面积的积分形式。按照斯托克斯定理，用算符 $[d\mathbf{l}\nabla]$ 代替 $d\mathbf{l}$ ，我們得到

$$\oint [d\mathbf{l}\mathfrak{S}] = \int [[d\mathbf{l}\nabla]\mathfrak{S}].$$

其次写出

$$\begin{aligned} [[d\mathbf{l}\nabla]\mathfrak{S}] &= -d\mathbf{l} \operatorname{div} \mathfrak{S} + \nabla(d\mathbf{l}\mathfrak{S}) = \\ &= -d\mathbf{l} \operatorname{div} \mathfrak{S} + [d\mathbf{l} \operatorname{rot} \mathfrak{S}] + (d\mathbf{l}\nabla)\mathfrak{S}. \end{aligned}$$

但是 $\operatorname{div} \mathfrak{S} = 0$ ，而在电流外的空間內， $\operatorname{rot} \mathfrak{S} = 0$ ，于是

$$\mathbf{F} = \frac{J}{c} \int (d\mathbf{l}\nabla)\mathfrak{S}. \quad (34.7)$$

特別是，在准均匀外磁場內，可以将 \mathfrak{S} 和算符 ∇ 从积分符号下取出。再按照(29.18)式引进电流的磁矩，于是我們得到必然的結果：

$$\mathbf{F} = (\mathcal{M}\Delta)\mathfrak{S}. \quad (34.8)$$

因为在这式子內， \mathcal{M} 是常数量，因此也可以把 \mathbf{F} 写成

$$\mathbf{F} = \operatorname{grad}(\mathcal{M}\mathfrak{S}). \quad (34.9)$$

[这和电流能量的表达式(32.17)符合一致]。在准均匀場內，电流

所受到的力矩, 容易证明等于普通的式子:

$$\mathbf{K} = [\mathbf{M} \mathbf{S}]. \quad (34.10)$$

例 題

試求电流为 J 的直导綫上所受的力, 假設这导綫平行于半徑为 a 的无限长圓柱导体(磁导率为 μ), 并且至柱体軸的距离为 l 。

解. 由于 169 頁上所指出的平面靜电学与靜磁学問題間的对应关系, 改变 § 7 例題 3 的解內的符号, 就可求出电流的磁場。柱体周圍空間內的場, 和真空內的电流 J 与分別通过 A 点和 O' 点 (參閱图 11) 的电流 $+J'$ 和 $-J'$ 所产生的場相等, 而且

$$J' = J \frac{\mu - 1}{\mu + 2}.$$

柱体内的場, 則与通过 O 点的电流

$$J'' = J \frac{2}{\mu + 1}$$

所产生的場相等。于是导体单位长度上所受的力为

$$F = \frac{1}{c} J B = \frac{2JJ'}{c^2} \left(\frac{1}{OA} - \frac{1}{OO'} \right) = \frac{2J^2 a^2 (\mu - 1)}{b(b^2 - a^2)(\mu + 1)c^2}.$$

由类似方式, 可以求得(參閱 § 7 中的例題 4)通过磁性媒质內的柱形小孔的导綫被吸向最近的小孔表面的力为

$$F = \frac{2J^2 b(\mu - 1)}{(a^2 - b^2)(\mu + 1)c^2}.$$

§ 35. 迴轉磁現象

沒有外加磁場时物体(非铁磁体)受到磁化的可能性, 由于要求对時間变号的不变性, 受到很大的限制。例如, 有許多物体, 虽然沒有外加电場, 但由于受到形变, 也可以发生电极化現象(压电体)。但是, “压磁現象”即使存在的話, 也是非常稀少的現象(參閱 § 28 末), 而且在任何情况下, 都不会发生在沒有磁性結構的物体內。

沒有外加磁場的磁化, 一般說来, 要求使物体发生运动。当

然, 由于伽利略的相对性原理, 匀速运动不会得出什么結果。但匀速轉动却可以引起物体的磁化, 这种磁化与角速度 Ω 成綫性关系(称为巴尔涅特效应)。矢量 \mathcal{M} 和 Ω 之間所以有这种关系, 是因为時間变号时两者都改变正負号。因为两者都是軸矢量, 因此在各向同性物体內, 这种相依关系也可能存在(这时归結为 \mathcal{M} 与 Ω 之間的比例关系)。

除了这种效应外, 还应该存在相反的效应, 即自由悬挂的导体受到磁化时应开始轉动(爱因斯坦-德·哈阿斯效应)。在这两种效应間存在簡單的热力学关系, 可以由以下方式得到。

大家知道^①, 在与物体一道轉动的坐标系內, 物体的自由能 $\tilde{\mathcal{F}}$ 是相对于角速度的热力学势(保持温度和物体的体积不变)。这时物体的动量矩 L 等于

$$L = - \frac{\partial \tilde{\mathcal{F}}}{\partial \Omega}. \quad (35.1)$$

描写迴轉磁現象, 是在自由能內加入一个附加項, 这一項代表自由能展开成 Ω 和导体每点处的磁化强度 \mathcal{M} 的幂級数內的第一項, 这一項既包含有 Ω , 也包含有 \mathcal{M} 。这一項是 Ω 和 \mathcal{M} 的綫性項, 即其形式为

$$\tilde{\mathcal{F}}_{\text{迴轉磁}} = - \int \lambda_{ik} \Omega_i \mathcal{M}_k dV = - \lambda_{ik} \Omega_i \mathcal{M}_k, \quad (35.2)$$

式中 λ_{ik} 为恒定張量, 在普遍情况下不是对称的。

按照(35.1)和(35.2)式, 物体由于磁化所得到的动量矩与物体总磁矩的关系为

$$(L_{\text{迴轉磁}})_i = \lambda_{ik} \mathcal{M}_k.$$

通常代替 λ_{ik} 是采用由下式定义的逆張量:

$$g_{ik} = \frac{2mc}{e} \lambda_{ik}^{-1},$$

① 参閱“統計物理学”第三版, § 26。

(e 和 m 是电子的电荷和质量); 无量綱的量 g_{ik} 称为迴轉磁系数。于是

$$\mathcal{M}_i = \frac{e}{2mc} g_{ik} (L_{\text{迴轉磁}})_k. \quad (35.3)$$

另一方面, (35.2) 式指出, 从对磁性质的影响来說, 物体的迴轉等效于場强为 $\mathcal{S}_i = \lambda_{ki} \Omega_k$ 或場强为

$$\mathcal{S}_i = \frac{2mc}{e} g_{ki}^{-1} \Omega_k \quad (35.4)$$

的外磁場的作用。因此在原則上, 我們能够算出由迴轉所引起的磁化。例如, 若物体的磁化率 χ_{ik} 很小, 則物体所得到的磁矩与物体的形状无关, 而等于

$$\mathcal{M}_i = \chi_{ik} \mathcal{S}_k = \frac{2mc}{e} \chi_{ik} g_{ik}^{-1} \Omega_i.$$

公式(35.3) 和 (35.4) 分別对应于爱因斯坦-德·哈阿斯效应与巴尔涅特效应。我們看到, 这两种效应由同一張量 g_{ik} 决定。

第五章 铁磁性

§ 36. 居里点附近的铁磁体

铁磁体的磁性质和铁电体的电性质之間，有着极深刻的相似性。在宏观体积內，两者都具有自发极化——磁极化或电极化。在两种情况下，当溫度改变时，在第二种相变点(居里点)处，这种极化都消失。

但是铁磁现象和铁电现象之間也存在重大的差别，这种差别是由于引起自发极化的微观相互作用力的性质有所不同。在铁电体内，晶体点陣內分子間的相互作用完全是各向异性的，因而自发极化矢量与晶体內的一定取向結合得相当牢固。但在铁磁体内，自发极化的发生基本是由于原子的交换相互作用，这种相互作用一般与总磁矩相对于点陣的取向无关^①。誠然，除了交换相互作用外，在原子磁矩之間还存在直接的磁相互作用。但是这种相互作用的效应为 $\sim \frac{v^2}{c^2}$ (v 为原子速度)，因为原子磁矩本身包含有因子 $\frac{1}{c}$ 。属于这一类相互作用的，还有原子磁矩与晶体点陣的电場的相互作用。所有这些相互作用(由于其中出現因子 $\frac{1}{c^2}$ ，可以称为“相对論”的相互作用)，都比交换相互作用微弱得多，因而只导至

^① 大家知道，交换相互作用是由于粒子系統的波函数对粒子换位具有某种对称性而产生的特别量子效应。波函数的换位对称性以及交换相互作用，只与系統的总自旋有关，而与其方向无关(参阅“量子力学”§ 60)。交换相互作用在铁磁体中的作用是由 J. H. 弗兰克耳, Я. Г. 多尔夫曼和 B. 金兹堡最先指出的(1928)。

晶体能量极微弱地依赖于磁化方向^①。

因此，铁磁体的磁化，在第一近似下，也即是相对于基本(交换)相互作用而言，是一个守恒量。这种情况给予下面所阐述的热力学理论以更深刻的物理意义，在热力学理论内，磁化强度 \mathbf{M} 被视为自变数，它的实际数值(作为温度、场等的函数)以后可从相应的热平衡条件求出。

我们用 Φ_0 表示 $\mathbf{H}=0$ 时物质的单位体积的热力学势，并将它看作自变数 \mathbf{M} (和其他热力学变数)的函数。现在我们暂时忽略相对论的相互作用，也即是只考虑基本的交换相互作用。于是， Φ_0 只是矢量 \mathbf{M} 的绝对值的函数，而不是它的方向的函数。

为了得到磁场 \mathbf{H} 不为零时的热力学量，我们从下列关系式出发：

$$\frac{\partial \tilde{\Phi}}{\partial \mathbf{H}} = -\frac{1}{4\pi} \mathbf{B} = -\frac{\mathbf{H} + 4\pi \mathbf{M}}{4\pi}$$

保持自变数 \mathbf{M} 的值不变(并考虑到 $\mathbf{H}=0$ 时， $\tilde{\Phi} = \Phi = \Phi_0$)，将上式积分，我们得到

$$\tilde{\Phi} = \Phi_0(M) - \mathbf{M}\mathbf{H} - \frac{H^2}{8\pi}. \quad (36.1)$$

由此得到热力学势 Φ 为

$$\Phi = \tilde{\Phi} + \frac{\mathbf{H}\mathbf{B}}{4\pi} = \Phi_0 + \frac{H^2}{8\pi} = \Phi_0 + \frac{1}{8\pi} (\mathbf{B} - 4\pi \mathbf{M})^2. \quad (36.2)$$

如果忽略铁磁体的磁各向异性，当然，矢量 \mathbf{M} 和 \mathbf{H} 的方向相同；因此，在(36.1)和(36.2)式内，代替矢量本身，可以写出它们的绝对值。

① 相对论相互作用与交换相互作用的比值的数量级由下列比值得出：

$$\frac{U_{\text{各向异性}}}{N\Theta},$$

式中 $U_{\text{各向异性}}$ 称为物质单位体积的磁各向异性能(参阅下一节)， N 为单位体积内的原子数， Θ 为居里点温度。这比值通常为 10^{-4} — 10^{-5} 。

在居里点附近，磁化强度 M 很小。仿照第二种相变的普遍理论^①，我们把 $\Phi_0(M)$ 展开为这小量的幂级数。在各向同性函数展开为矢量 M 的幂级数内，只包含偶次幂的项：

$$\tilde{\Phi} = \Phi_{00} + \frac{a}{2} M^2 + \frac{b}{4} M^4 - MH - \frac{H^2}{8\pi}, \quad (36.3)$$

式中 Φ_{00} , a , b 只是温度(和压强)的函数。

居里点 $T = \Theta$ 由系数 a 等于零定出，而且 $T > \Theta$ 时， $a > 0$ ， $T < \Theta$ 时， $a < 0$ ^②。在居里点附近，可以将函数 $a(T)$ 展开为差值 $(T - \Theta)$ 的幂级数，即写为

$$a = \alpha(T - \Theta), \quad (36.4)$$

式中 α 是与温度无关的一个正量。在居里点附近，系数 b 是正的，并可以代以它在 $T = \Theta$ 时所取的值。

当 $H = 0$ 时，在居里点以上，即 $a > 0$ 时，热力学势的极小值相应于 $M = 0$ ，也即是不存在自发极化。在居里点以下， M 的值由下列条件求出

$$\frac{\partial \tilde{\Phi}}{\partial M} = [\alpha(T - \Theta) + bM^2]M = 0.$$

Φ 的最小值相应于方括号内的式子变为零，由此得到

$$M = \sqrt{\frac{\alpha}{b} (\Theta - T)}. \quad (36.5)$$

由此可见，在趋近于居里点时，自发磁化与 $\sqrt{\Theta - T}$ 成正比地减小。

和任何第二种相变一样，在居里点处 ($H = 0$ 时) 的转变，伴随有热容量的突变。略去 M 的高次幂，我们得到熵为

$$S = -\frac{\partial \tilde{\Phi}}{\partial T} = S_{00} - \frac{M^2}{2} \frac{\partial \alpha}{\partial T} = S_{00} - \frac{\alpha M^2}{2}.$$

① 参阅“统计物理学”第三版，第十四章。

② 相的这种温度关系，发生于所有已知的铁磁体内，虽然在热力学上不是必然的。

在非铁磁相内, $M=0$ 和 $S=S_{00}$, 而在铁磁相内, M 由(36.5)式给出, 于是

$$S = S_{00} + \frac{\alpha^2}{2b}(T - \Theta).$$

由此求得热容量 $C_p = T \frac{\partial S}{\partial T}$ 的突变值为

$$\Delta C_p = \frac{\alpha^2 \Theta}{2b}. \quad (36.6)$$

现在设 $H \neq 0$. 于是确定磁化的条件 $\frac{\partial \tilde{\Phi}}{\partial M} = 0$ 变为

$$\alpha(T - \Theta)M + bM^3 = H. \quad (36.7)$$

我们定义磁化率为

$$\chi = \left(\frac{\partial M}{\partial H} \right)_{H \rightarrow 0}.$$

从(36.7)式, 我们有

$$\frac{\partial M}{\partial H} [\alpha(T - \Theta) + 3bM^2] = 1.$$

在居里点以上, 当 $H=0$ 时, $M=0$, 于是

$$\chi = \frac{1}{\alpha(T - \Theta)}, \quad (36.8)$$

也即是我們得到順磁性, 它的磁化率与 $T - \Theta$ 成反比(称为居里-外斯定律)。

在居里点以下, 当 $H=0$ 时, M 由(36.5)式得出, 于是我們得到

$$\chi = \frac{1}{2\alpha(\Theta - T)}. \quad (36.9)$$

應該記住, 这个量不是一般意义上的磁化率(即 M 与 H 之間的比例系数), 因为当 $H=0$ 时, $M \neq 0$ ①。

① 从定量方面說, (36.8), (36.9)式, 在 $\chi \lesssim 1$ 的区域内, 只是对立方系的晶体是正确的。对单轴晶体还必须考虑到所謂各向异性能量(参閱 § 37), 在这种情况下, 它与 M^2 成正比, 而当 M 值很小时, 可与 M^2 比較, 甚至超过(36.3)式內的 $\frac{\alpha M^2}{2}$ 項。

事实上, (36. 9)式的磁化率, 只在居里点的紧邻近才达到 1 的数量级。除去这个意义很小的区域, 我们可以假定, 磁化强度 M 在磁场作用下只有很微小的变化, 而在温度不变时, 可以视为不变量。这也就是下一节将要作的假定。

在这一方面, 铁磁体和铁电体也有很大的差别, 在铁磁体内, 一般说来, 甚至离居里点很远, $\frac{\partial P}{\partial E}$ 也不是小值。这原因仍然在于原子磁矩比分子的电偶极矩小得多的缘故。

§ 37. 磁各向异性能

如上面已指出的, 铁磁体的磁性所以是各向异性的, 是因为其原子之间存在较弱的相对论相互作用。在宏观理论中, 描写这种各向异性, 是在热力学势内引入相应的项——称为磁各向异性能, 它依赖于磁化方向。

从微观理论出发, 各向异性能的计算, 需要应用量子力学的微扰理论, 其中晶体的哈密顿函数内描写相对论相互作用的项代表微扰能量。但是不必进行这些计算, 根据简单的对称性, 也可以得到这些式子的一般形式。

相对论相互作用的哈密顿函数, 包含电子自旋矢量算符的一定幂次的项——一次项和二次项, 称为“自旋轨道”相互作用和自旋-自旋相互作用。因此, 应用微扰理论时, 自然地得到各向异性能展开为磁化矢量方向余弦的幂级数的形式。另一方面, 和热力学势 Φ 本身一样, 各向异性能 $U_{\text{各向异性}}$ 对时间变号也为不变量, 但在这种变换中, 磁化强度 M 改变正负号。由此得出, 各向异性能必须是矢量 M 的方向余弦的偶函数。因此, 在微扰论的不为零的第一近似下, 我们得到下面的表达式:

$$U_{\text{各向异性}} = \frac{\beta_{ik}}{2} M_i M_k, \quad (37. 1)$$

式中 β_{ik} 是无量纲的二秩对称张量, 其分量为温度的函数。在居里点附近, (37.1) 式也可以视为各向异性能展开为矢量 \mathbf{M} 的幂级数内的第一项, 而矢量 \mathbf{M} 在这一温度区域内为一小量 (但是应该着重指出, 在其他温度下, 这一观点是不正确的)。由此得出, 当 $T \rightarrow \Theta$ 时, β_{ik} 趋向于不为零的有限值。

在单轴和双轴晶体内, 二秩对称张量分别有二个和三个独立分量, 但是在现在的情况下, 还必须注意到, 二次的组合式, 即 $M_x^2 + M_y^2 + M_z^2 = M^2$, 并不与矢量 \mathbf{M} 的方向有关, 因而可以从各向异性能内消去。所以对于单轴和双轴晶体而言, (37.1) 式总共包含一个或二个独立系数。

例如, 单轴晶体的各向异性能可以写为

$$U_{\text{各向异性}} = \frac{\beta}{2} (M_x^2 + M_y^2) = \frac{\beta}{2} M^2 \sin^2 \theta, \quad (37.2)$$

式中 θ 是 \mathbf{M} 和 z 轴之间的夹角, 这里选择 z 轴为晶体的主对称轴。如果常数 β 是正的, 则在 z 轴方向磁化时, 各向异性能为极小值; 这个轴通常称为易磁化方向。

如果 $\beta < 0$, 则易磁化方向在 xy 平面内; 在这种情况下, 自然可以把各向异性能写为

$$U_{\text{各向异性}} = \frac{|\beta|}{2} M_z^2, \quad (37.3)$$

这种形式和 (37.2) 等效, 但其中 $U_{\text{各向异性}} = 0$ 仍然对应于易磁化方向^①。(37.3) 式在 xy 平面内是各向同性的。因此, 在这种情况下, 易磁化方向决定于更高次的项 (参阅本节的例题 1)。

我们现在来研究单轴铁磁体的磁化强度与铁磁体内的磁场之间的关系。为明确起见, 假定 $\beta > 0$ ^②。我们记住假定了 \mathbf{M} 的绝对

①. 六角形晶系的钴是单轴铁磁体的一个例子, 在这种钴内, 当温度为 -200°C 时 β 变号, 而且 $\beta > 0$ 和 $\beta < 0$, 分别在这一点的下面或上面。在室温下, $\beta = 4.2$ 。

② 当讨论单轴晶体时, 即是指这种情况。

值与 H 无关, 因而只須考虑矢量 M 的旋轉。从对称性明显看出, 矢量 M 在通过 z 軸和 H 方向的平面内 (由于在各向异性能内未考虑高次項, 这些項在 xy 平面内是各向异性的); 我們选择这一平面为 x, z 平面, 于是計及各向异性能的热力学势等于^①

$$\begin{aligned}\tilde{\Phi} &= \Phi_0(M) + \frac{\beta}{2} M_x^2 - HM - \frac{H^2}{8\pi} = \\ &= \Phi_0(M) + \frac{\beta M^2}{2} \sin^2\theta - M(H_x \sin\theta + H_z \cos\theta) - \frac{H^2}{8\pi}.\end{aligned}\quad (37.4)$$

M 对 H 的依賴关系由平衡条件 $\frac{\partial \tilde{\Phi}}{\partial \theta} = 0$ 求出, 由此得

$$\beta M \sin\theta \cos\theta = H_x \cos\theta - H_z \sin\theta. \quad (37.5)$$

对未知量 $\xi = \sin\theta$ 而言, 这是四次的代数方程:

$$(\beta M \xi - H_x)^2 (1 - \xi^2) = H_z^2 \xi^2,$$

当 ξ 为奇次幂时, 式中的系数不为零。这个方程或者有二个实根, 或者有四个实根 (而且都 < 1)。因为这些根都对应于函数 $\tilde{\Phi}(\theta)$ 的极值, 因此, 十分显然, 在第一种情况下, 这函数有一极小值和一极大值, 而在第二种情况下, 有两个极小值和两个极大值。換句話說, 在第一种情况下, 对应于 H 的給定值, 有一个磁化方向。而在第二种情况下, 对应于 H 的給定值, M 有两个不同的方向, 其中一个方向 (对应于 $\tilde{\Phi}$ 的极小值中的最小值) 在热力学上是完全稳定的, 而第二个方向 (对应于 $\tilde{\Phi}$ 的极小值中的最大值) 在热力学上是亚稳定的。

取决于 H_x 和 H_z 值的不同, 可发生这种情况或那种情况。当

^① 在下面的討論中, 对于各向异性能, 我們利用(37.2)式。但是應該指出, 以(37.2)式为第一項的展开式, 在实际情况下, 通常收敛性相当坏。因此, 为了对現象作出滿意的定量描写, 还必须考虑下一項 (即四次項, 对于六角形晶体, 它与 $\sin^4\theta$ 成正比)。

这些参量逐渐变化时,若其中一个极大值恰与其中一个极小值重合,就会从一种情况转变为另一种情况。这时曲线 $\tilde{\Phi}(\theta)$ 代替有一极值点而有一拐点,即除了 $\frac{\partial \tilde{\Phi}}{\partial \theta}$ 为零外,二次导数 $\frac{\partial^2 \tilde{\Phi}}{\partial \theta^2}$ 也变为零。把 (37.5) 写成

$$\frac{H_x}{\sin \theta} - \frac{H_z}{\cos \theta} = \beta M,$$

再对 θ 微分一次,我们得到

$$\frac{H_x}{\sin^3 \theta} = -\frac{H_z}{\cos^3 \theta}.$$

从这两个式子内消去 θ , 我们得到

$$H_x^{\frac{2}{3}} + H_z^{\frac{2}{3}} = (\beta M)^{\frac{2}{3}}. \quad (37.6)$$

在 H_x, H_z 图上, 方程 (37.6) 给出如图 20 所示的闭合曲线。这条曲线把 H_x, H_z 平面分成两部分, 其中一部分可能存在亚稳定状态, 另一部分则不可能。不必进行补充的研究, 可以明显看出, 亚稳状态不存在的区域是曲线外的区域。因为当 $H \rightarrow \infty$ 时, M 只有沿磁场 H 的一个方向是稳定的。

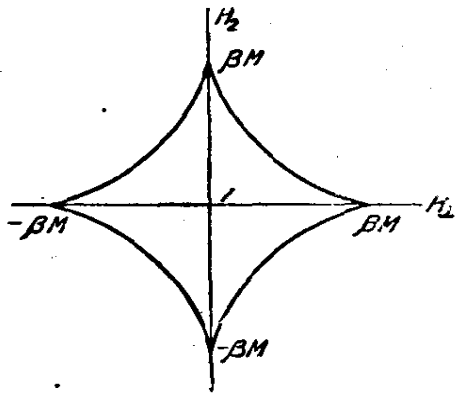


图 20

亚稳状态的存在导致可能存在所谓磁滞现象, 这种现象是当外磁场变化时铁磁体的状态发生不可逆变化而产生的。因此, 图 20 所示的曲线表示磁滞的“绝对界线”, 如果磁场值在这曲线以外, 则在任何情况下都不会有磁滞现象发生^①。

^① 在这一章的叙述中, 我们只限于研究铁磁体的热力学平衡态以及其中的可逆过程。特别是我们完全不讨论磁滞现象的机构, 这种现象和晶体的缺陷、样品的内应力、多晶性以及其它原因有关。

磁場强度 H 垂直于易磁化軸的状态 ($H_x = H, H_z = 0$), 需要作特别的研究。这时热力学势为

$$\tilde{\Phi} = \Phi_0 - \frac{H^2}{8\pi} + \frac{\beta M^2}{2} \sin^2 \theta - HM \sin \theta, \quad (37.7)$$

如果 $H > \beta M$, 則 $\tilde{\Phi}$ 只有一极小值——当 $\theta = \frac{\pi}{2}$, 也即是当磁化强度平行于磁場方向。如果 $H < \beta M$, 則当

$$M_x = M \sin \theta = \frac{H}{\beta} \quad (37.8)$$

时, $\tilde{\Phi}$ 有一极小值, 这相应于矢量 M 的两个可能位置 (在角度 θ 和 $\pi - \theta$ 下), 它們对 x 軸是对称的。由此可知, 在这种情况下, 有两个平衡状态, 而且 $\tilde{\Phi}$ 的值相同, 因而稳定程度也相同。

这一情况是非常重要的, 因为可能引起两“相”互相接触而存在。其中場强 H 相同, 但磁化强度 M (因而也是磁感应强度 B) 不同。結果出現新的可能性, 使物体的总热力学势减小; 物体的体积可以分成許多单个的小区域, 在每一小区域内, 磁化有两个容許方向中的一个方向; 这些区域称为自发磁化区域或称为磁疇。实际上, 确定铁磁体的热力学平衡机构, 需要研究整个的物体, 并考虑到它的具体形状和大小。我們将在 § 39 內再回头討論这个問題。

我們現在研究铁磁体的一小段, 这小段比物体的总体积小, 但大于磁疇的綫度。在这一小段內, 磁場强度 H_x 可以假定是不变的, 我們用 \bar{M} 和 \bar{B} 表示按它的体积而求得的 M 和 B 的平均值。和 H_x 一样, 磁化强度的横向分量 $M_x = \frac{H_x}{\beta}$ 也是不变的。在不同的磁疇內, 纵向分量 M_z 相差一个正負号, 因而, 在任何情况下, 其平均值都不会超过 $|M_z|$ 。同时还考虑到处处 $H_z = 0$, 于是得到平均磁感应为

$$\bar{B}_x = H_x \left(1 + \frac{4\pi}{\beta} \right), \quad \bar{B}_z < 4\pi \sqrt{M^2 - \frac{H_x^2}{\beta^2}}. \quad (37.9)$$

由这些式子，可以求出相应于单轴铁磁体磁畴结构的平均磁感应值的区域。

现在我们转到研究立方系的铁磁晶体。它们的性质和单轴（以及双轴）晶体有重大差别。问题在于，由矢量 \mathbf{M} 的分量构成的唯一的二次组合式是 $M_x^2 + M_y^2 + M_z^2$ 之和，它对立方对称变换是不变式，并且与 \mathbf{M} 的方向无关。因此，在立方晶体内，各向异性性能展开式内不为零的第一项不是二次项而是四次项。由于这一原因，立方晶体内的磁各向异性效应，一般说来，要比单轴晶体或双轴晶体弱得多。

立方对称有两个由矢量 \mathbf{M} 的分量所构成的四次不变量：

$$(M_x^2 M_y^2 + M_x^2 M_z^2 + M_y^2 M_z^2) \text{ 和 } \frac{1}{2}(M_x^4 + M_y^4 + M_z^4).$$

但是这些不变量在现在的情况下不是独立的，因为它们相加之和是与方向无关的量： $\frac{1}{2}(M_x^2 + M_y^2 + M_z^2)^2$ 。所以，立方铁磁体的各向异性性能只包含一个常数（在所考虑的近似下^①），并且可以写为

$$U_{\text{各向异性}} = \beta(M_x^2 M_y^2 + M_x^2 M_z^2 + M_y^2 M_z^2) \quad (37.10)$$

或者写成等价形式：

$$U_{\text{各向异性}} = -\frac{\beta}{2}(M_x^4 + M_y^4 + M_z^4). \quad (37.11)$$

当 $\beta > 0$ ^② 时，对矢量 \mathbf{M} 的三个位置——平行于立方体的三个棱（ x, y, z 轴；晶向 $[100]$ 、 $[010]$ 、 $[001]$ ），磁各向异性性能在数值上有相同的极小值。由此可见，在这种情况下，晶体有三个等价的易磁化轴。

① 以下的近似相应于六次项。在计算六次的独立不变量的数目时，不但应该消去与方向无关的量 M^6 ，而且也应该消去与四次不变式只差一个因子 M^2 的表达式。结果只剩下了一个不变量，可以选择为 $M_x^2 M_y^2 M_z^2$ 。

② 例如在铁内就存在这种情况。

如果 $\beta < 0$ ^①, 則当 $M_x^2 = M_y^2 = M_z^2 = \frac{1}{3}M^2$, 也即是当矢量 \mathbf{M} 平行于立方体的四个空間对角綫的任一个时(晶向 $[111]$ 、 $[\bar{1}11]$ 等等), 磁各向异性能取极小值。在这种情况下, 它們也就是易磁化方向。

應該注意到, 立方铁磁晶体, 在它的任何一个易磁化方向自发磁化后, 严格說来, 将失去它的立方对称性(由此原子发生相应的移动, 即晶体点陣发生畸变)。在立方体的棱方向磁化的晶体, 成为弱正方形的, 而在立方体空間对角綫方向磁化的晶体, 則成为菱面体。在这方面, 立方系晶体和单軸晶体不同的地方, 是它的易磁化方向平行于主对称軸; 十分显然, 在这个方向的磁化, 不会改变晶体的对称性。

研究立方晶体的 \mathbf{M} 对 \mathbf{H} 的依賴关系, 在原則上和上面研究单軸晶体的方法相似。但是, 由于数学方程更为复杂, 因此要得到显式的分析式是不可能的, 我們將不深入討論这一問題。

例 題

1. 試写出单軸晶体的 U 各向异性 展开式內导至 xy 平面內的各向异性的二次以下的項。

解. 这个問題归结为求出由矢量 \mathbf{M} 的分量所組成的最低次(偶次)冪的独立組合式, 这些組合式对晶体的对称变换是不变量, 并且所包含的 M_x 和 M_y 不是 $M_x^2 + M_y^2$ 之和的形式。在正方对称系內, 有一个这样的組合式, 可以选择为

$$M_x^2 M_y^2$$

[組合式 $\frac{1}{2}(M_x^4 + M_y^4)$ 和上面所指出的組合式一起, 給出 $\frac{1}{2}(M_x^2 + M_y^2)^2$ 之和, 因此不是独立的]。

在六角对称情况下, xy 平面內的各向异性只出現在六次項內, 我們选择

① 例如在鎳內。

六次的独立不变组合式为

$$\begin{aligned} & \frac{1}{6i} [(M_x + iM_y)^6 - (M_x - iM_y)^6] = \\ & = 2M_x M_y (M_x^4 - \frac{10}{3} M_x^2 M_y^2 + M_y^4). \end{aligned}$$

菱面体对称性容许有一个这样的六次项和一个四次的独立组合式, 例如

$$\frac{M_z}{2} [(M_x + iM_y)^3 + (M_x - iM_y)^3] = M_x M_z (M_x^2 - 3M_y^2).$$

但是, 求出 xy 平面内的易磁化方向 (由于 M_z 很小), 需要同时计及四次项和六次项。

2. 假设单轴铁磁晶体为迴轉椭球形状 (其易磁化轴与迴轉轴相合), 放在外磁场 \mathfrak{S} 内, 试求晶体具有磁畴结构时的 \mathfrak{S} 值区域。

解. 根据均匀外磁场内椭球的一般性质 (§8), 对磁畴结构平均而得到的磁感应平均值 $\bar{\mathbf{B}}$ 和磁场强度 $\bar{\mathbf{H}} = \mathbf{H}$ 与 \mathfrak{S} 的关系为

$$\begin{aligned} n\bar{B}_z + (1-n)H_z &= \mathfrak{S}_z, \\ \frac{1-n}{2}\bar{B}_x + \frac{1+n}{2}H_x &= \mathfrak{S}_x, \end{aligned}$$

式中 n 为椭球主轴方向 (z 轴) 的退磁化系数。令 $H_z = 0$, 并利用 (37.9) 式, 我們得到

$$H_x = \frac{\mathfrak{S}_x}{1 + 2\pi(1-n)/\beta}, \quad \bar{B}_z = \frac{\mathfrak{S}_z}{n} < 4\pi \sqrt{M^2 - \frac{H_x^2}{\beta^2}}.$$

由此消去 H_x , 求得所求的不等式为

$$\frac{\mathfrak{S}_z^2}{(4\pi n)^2} + \frac{\mathfrak{S}_x^2}{[\beta + 2\pi(1-n)]^2} < M^2,$$

这个式子确定了磁畴结构存在的区域。

3. 试为强磁场内 ($H \gg 4\pi M$) 的多晶体求出对各晶粒求平均而得到的平均磁化强度, 晶粒具有单轴对称性。

解. 设在一晶粒内, θ 和 ψ 为易磁化方向分别与矢量 \mathbf{M} 和 \mathbf{H} 所成的夹角。可以预先看出, 在强磁场内, \mathbf{M} 的方向将接近于 \mathbf{H} 的方向, 也即是角 $\vartheta = \theta - \psi$ 很小。在 (37.4) 式内写出 $\mathbf{M}\mathbf{H} = MH \cos(\theta - \psi)$, 并令导数 $\frac{\partial \Phi}{\partial \theta}$ 等于零, 于是我們得到

$$\vartheta \cong \sin \vartheta = -\frac{\beta M}{H} \sin \theta \cos \theta.$$

十分显然, 平均磁化强度平行于 \mathbf{H} 方向, 并且等于

$$\bar{M} = M \overline{\cos \theta} = M \left[1 - \frac{1}{2} \overline{\theta^2} \right] = M \left[1 - \frac{\beta^2 M^2}{2H^2} \overline{\sin^2 \theta \cos^2 \theta} \right],$$

式中的短横线表示对各晶粒求平均值。假定各晶粒的易磁化轴方向都是同等几率的, 我們得到

$$\bar{M} = M \left(1 - \frac{\beta^2 M^2}{15H^2} \right).$$

由此可見, 平均磁化强度按定律 $\bar{M} - M \sim \frac{1}{H^2}$ 趋近于飽和。

4. 所求与上題相同, 但晶粒具有立方对称性。

解. 当附加条件为 $M_x^2 + M_y^2 + M_z^2 = \text{常数}$ 时, 表达式

$$-\frac{\beta}{2}(M_x^4 + M_y^4 + M_z^4) - (H_x M_x + H_y M_y + H_z M_z)$$

取极小值的条件为

$$2\beta M_x^3 + H_x = \lambda M_x,$$

$$2\beta M_y^3 + H_y = \lambda M_y,$$

$$2\beta M_z^3 + H_z = \lambda M_z,$$

式中 λ 是拉格朗日未定因子。当 H 很大时, 由此得

$$M_x \cong \frac{1}{\lambda} H_x + \frac{2\beta}{\lambda^4} H_x^3 + \dots,$$

将这三个等式的平方相加, 我們得到 $M^2 \cong \frac{H^2}{\lambda^2}$, 也即是 $\lambda \cong \frac{H}{M}$, 于是求得 \mathbf{M} 和

\mathbf{H} 間的夹角为

$$\theta^2 \cong \sin^2 \theta = \frac{[\mathbf{MH}]^2}{M^2 H^2} = \frac{4\beta^2 M^6}{H^{10}} \Sigma H_x^2 H_y^2 (H_x^2 - H_y^2)^2,$$

式中求和时循环交换下角标 x, y, z 。将这表达式对各晶粒的各种取向求平均值, 等价于对矢量 \mathbf{H} 的各方向求平均值。对确定 \mathbf{H} 方向的球面角进行积分, 就得到后一平均值为①

① 对于立方晶体也存在一个場区域, 其中 MH 大于各向异性能, 但小于 $4\pi M^2$ 。所得到的公式在这里不能应用, 因为在推导它时沒有考虑到在不同晶粒內由于磁化方向不同而出現的場。在这种情况下, 更精确的研究也导致定律 $\frac{1}{H^2}$, 但系数不同。我們不去詳細研究这个問題, 因为得到的結果, 由于目前尚不明白的原因, 和实验数据是分歧的。

$$\bar{M} = M \left(1 - \frac{\overline{\vartheta^2}}{2} \right) = M \left(1 - \frac{8\beta^2 M^6}{105H^2} \right).$$

§ 38. 铁磁体的磁致伸縮

磁場內铁磁体磁化强度的改变,引起铁磁体发生形变,这种现象称为磁致伸縮现象。这种现象的产生既和物体內的交换相互作用有关,也和相对論的相互作用有关。因为交换能只与磁化强度的绝对值有关,因而它的变化也只依赖于磁場內 M 量的变化。虽然,一般說来,后者非常之小,但是,另一方面,交换能本身却比各向异性能大得多。因此,两种相互作用所引起的磁致伸縮效应,在数量級上是可以相互比較的。

这种情况存在于单軸晶体內。由于 M 方向的改变所产生的显著形变,发生在 $H \sim \beta M$ 的場內;在 $H \sim 4\pi M$ 的場內,量 M 的改变成为主要的。这两个区域实际上是相合的,因此,研究单軸铁磁体的磁致伸縮现象时,一般說来,必須同时考虑到两种效应。在这里我們不准备詳細去求这些相当复杂的公式。

在立方晶体內,由于各向异性能較小(四次量),情况截然不同。由于 M 方向的改变所引起的显著磁致伸縮,甚至也发生于比較弱的場內,其中 M 的绝对值的变化,可以完全忽略不計。我們現在来研究这些效应。

描写形变物体內相对論相互作用能的变化,是在热力学势 $\tilde{\Phi}$ 內添入附加的“磁彈性”項,这些項依赖于彈性应力張量 σ_{ik} 的分量和矢量 M 的方向 [阿庫洛 (H. C. АКУЛОВ), 1928]。其不为零的头几項对 σ_{ik} 是綫性的,对矢量 M 的方向余弦則是二次的(因为后者对時間变号是对称的)。因此,在一般情况下,对于磁彈性能,我們得到表达式为

$$U_{\text{磁彈}} = -\lambda_{iklm} \sigma_{ik} M_l M_m, \quad (38.1)$$

式中 λ_{iklm} 是四秩张量, 对两对下角标 i, k 和 l, m 是对称的(但对 i, k 与 l, m 的换位不对称)。在居里点附近, 展开为矢量 \mathbf{M} 的方向余弦的幂级数与展开为其分量的幂级数等效, 因而量 λ_{iklm} 趋近于一常数。

在计算张量 λ_{iklm} 的独立分量的数目时, 必须注意到, (38.1) 内的项包含 \mathbf{M} 分量的组合式: $M_x^2 + M_y^2 + M_z^2$, 这些项与 \mathbf{M} 的方向无关, 因而可以从磁弹性能内消去^①。注意到这一点, 我们得到, 在立方晶体内, 磁弹性能包含二个独立的系数; 方便的是把它写成下面的形式:

$$U_{\text{磁弹}} = -\lambda_1(\sigma_{xx}M_x^2 + \sigma_{yy}M_y^2 + \sigma_{zz}M_z^2) - 2\lambda_2(\sigma_{xy}M_xM_y + \sigma_{xz}M_xM_z + \sigma_{yz}M_yM_z). \quad (38.2)$$

把 $\tilde{\Phi}$ 对 σ_{ik} 的相应分量求微分, 就得到形变张量:

$$u_{ik} = -\frac{\partial \tilde{\Phi}}{\partial \sigma_{ik}},$$

而且 $\tilde{\Phi}$ 内还必须包含通常的弹性能(正负号相反, 参阅 107 页的底注)。在立方晶体内, 后者包含三个独立的弹性系数, 其形式为

$$U_{\text{弹}} = \frac{k_1}{2}(\sigma_{xx}^2 + \sigma_{yy}^2 + \sigma_{zz}^2) + k_2(\sigma_{xx}\sigma_{yy} + \sigma_{xx}\sigma_{zz} + \sigma_{yy}\sigma_{zz}) + k_3(\sigma_{xy}^2 + \sigma_{xz}^2 + \sigma_{yz}^2). \quad (38.3)$$

我们得到形变张量为^②

$$\left. \begin{aligned} u_{xx} &= k_1\sigma_{xx} + k_2(\sigma_{yy} + \sigma_{zz}) + \lambda_1 M_x^2, \\ u_{xy} &= k_3\sigma_{xy} + \lambda_2 M_x M_y. \end{aligned} \right\} \quad (38.4)$$

(对其余分量, 有类似的式子)。

① 由此而引起的对选择 λ_{iklm} 的某种任意性, 只不过表明选择 \mathbf{M} 的方向是有条件的, 这时(没有外加的机械力)我们假定晶体是未形变的。

② 在把 Φ 微分时, 必须注意到 110 页上的底注。

这些公式包含了全部的磁致伸縮效应（在所研究的場区域内）。特别是沒有内应力时，由公式

$$u_{xx} = \lambda_1 M_x^2, \quad u_{xy} = \lambda_2 M_x M_y, \dots$$

可求出磁化方向改变时的形变变化。我們應該記住，由于假定形变不存在的 M 的方向是有条件地选择的，因此形变的絕對值在一定的意义上也是有条件的。

既然在立方晶体內各向异性性能很小，因此就发生了一个問題，除了各向异性性能外，是否还需要同时也考虑到磁致伸縮（例如当求磁化强度对場的依賴关系时），而这常常会使問題极其复杂化。但实际上并不如此，因为各向异性性能总是大于磁化强度改变时所引起的磁彈性形变能。各向异性性能是自旋-自旋相互作用的微扰理論的二次效应，其数量級为这些相互作用能的平方除以交换能（全部量都屬於单位体积）。但磁彈性能虽然也是这种平方的数量級，但其除数較大（除以晶体的彈性模量）。

現在来研究如此强的磁場內（ $H \gg 4\pi M$ ）磁体的磁致伸縮效应，这时各向异性性能不重要，而磁畴結構也不存在，于是 M 的方向可以假定与 H 的方向相合。

由于略去了各向异性性能，因而晶体的具体对称性也就成为不重要，于是下面得到的公式，可以同样地应用于任何铁磁体上。

假設铁磁体在均匀的外磁場 \mathcal{S} 內，它的总热力学势 $\tilde{\mathcal{F}}^{\text{①}}$ 由下式得出：

$$\tilde{\mathcal{F}} = -\mathcal{M}\mathcal{S} = -MV\mathcal{S}, \quad (38.5)$$

式中 $\mathcal{M} = MV$ ，为在磁場方向受到均匀磁化的物体的总磁矩；在这里我們略去了与磁場无关系的 \mathcal{S}_0 項。形变張量对物体的体积求平均由下式得出：

①、这里 \mathcal{S} 的定义是根据 § 12 內的定义。只当物体的形变存在很大的不均匀性时，这个式子才不能应用。

$$\bar{u}_{ik} = -\frac{1}{V} \frac{\partial \tilde{\mathcal{P}}}{\partial \sigma_{ik}},$$

由此得

$$\bar{u}_{ik} = \frac{\mathcal{S}}{V} \frac{\partial (VM)}{\partial \sigma_{ik}}. \quad (38.6)$$

由此可見，形变决定于磁化强度对内应力的依賴关系。

当晶体为立方对称时，表征晶体性质的任何二秩对称張量，都变成一标量乘上 δ_{ik} 。这种情况也适用于張量 $\frac{\partial (VM)}{\partial \sigma_{ik}}$ ，于是在这种情况下，磁致伸縮形变变成各向压縮或伸长。

如果我们感兴趣的只是物体总体积的变化 δV ，則只要将 $\tilde{\mathcal{P}}$ 对压强微分，就得到 δV 为

$$\delta V = \frac{\partial \tilde{\mathcal{P}}}{\partial p} = -\mathcal{S} \frac{\partial (MV)}{\partial p}, \quad (38.7)$$

式中 p 必須理解为加在物体上的均匀压强。

例 題

試求在外磁場 $\mathcal{S} \sim 4\pi M$ 內的铁磁体椭球发生磁致伸縮时的体积变化，磁場方向与椭球的一个軸平行，铁磁体假定是立方的^①。

解。略去各向异性能不計，磁疇結構存在的区域由不等式 $\bar{B} < 4\pi M$ 求出，这时 $H=0$ (短綫表示对物体体积求平均值，参照 § 37)。在椭球內， $n\bar{B} + (1-n)\bar{H} = \mathcal{S}$ ，并令 $H=0$ ，于是得到磁疇結構存在的区域为

$$\mathcal{S} < 4\pi_n M$$

这时 $n\bar{B} = 4\pi n \bar{M} = \mathcal{S}$ ，也即是平均磁化强度为

$$\bar{M} = \frac{\mathcal{S}}{4\pi n}.$$

由此得到热力学势为

^① 在单軸铁磁体内，当 $H \sim 4\pi M$ 时，还必须考虑到各向异性能，但在立方晶体內則不須如此。

$$\tilde{\mathcal{F}} = -V \int_0^{\mathcal{S}} \bar{M} d\mathcal{S} = -\frac{\mathcal{S}^2}{8\pi n} V. \quad (1)$$

如果 $\mathcal{S} > 4\pi nM$, 則椭球完全沿磁場方向磁化: $\bar{M} = M$ 。这时

$$\tilde{\mathcal{F}} = -M\mathcal{S}V + 2\pi M^2 V n \quad (2)$$

(当 $\mathcal{S} = 4\pi nM$ 时, (1) 式和 (2) 式相合)。

将 $\tilde{\mathcal{F}}$ 对压强进行微分, 于是得到所求的体积改变为

$$\delta V = -\frac{\mathcal{S}^2}{8\pi n} \frac{\partial V}{\partial p}, \text{ 如果 } \mathcal{S} < 4\pi nM,$$

$$\delta V = -H \frac{\partial(MV)}{\partial p} + 2\pi n \frac{\partial(M^2V)}{\partial p}, \text{ 如果 } \mathcal{S} > 4\pi nM.$$

当 $\mathcal{S} \gg 4\pi nM$ 时, 我們又得到正文內的 (38.7) 式。

§ 39. 铁磁体的磁畴结构

在 § 37 中曾經指出, 存在一个宽广的状态区域, 其中铁磁体具有所謂磁畴结构, 也即是分解成为許多具有不同磁化方向的小区域^①。不在外磁場內的铁磁体, 尤其是如此。

直接根据磁場的边界条件, 可以对磁畴間分界面的形状作出若干推論。因为相邻磁畴的磁場强度 H 相同, 因而磁感应强度的法向分量 B_n 为連續的条件, 就归结为 M_n 为連續的条件。在单軸晶体內, 当 M_x, M_y 相同时, 不同磁畴的磁化强度只是相差 M_z 的正負号。在这些条件下, M_n 的連續性表明, 分界面必須与 z 軸平行, 即与易磁化軸平行。

我們首先来研究与磁畴的具体形状无关的分界面的性质。这些分界面实际上是一些很狹的过渡层, 其中磁化方向从一个磁畴內的方向改变到另一个磁畴內的方向是連續地改变的。这种层的“寬度”和其中 M 变化的过程, 由热力学平衡条件决定。这时必須

^① 磁畴的概念是由維依斯(1907)最先提出的。Л. Д. 朗道和 E. M. 栗弗席茲給出了磁畴的热力学理論。

考虑到由于磁化不均匀而引起的附加能量。这种“不均匀能”的最大贡献，来自交换相互作用。从宏观观点看来，这能量可以表示为 M 对坐标的导数。如果假定 M 方向的陡度相当小，则可以在普遍形式下作到这一点；这条件表明，磁矩方向的重大变化只发生在大于原子间距的距离上。在现在的情况下，这一条件显然满足，因为相邻原子磁矩方向的重大差别，会使交换能量大大增加，因而这在热力学上是不利的。

我们用 $U_{\text{不均匀}}$ 表示“不均匀性能”的密度。在 $U_{\text{不均匀}}$ 展开为 M 分量的不同次导数的幂级数内，其最大项是一次导数的二次项（由于对时间变号是对称的，因而不可能是线性项）。其次，由于 $U_{\text{不均匀}}$ 是由交换作用所产生的，因而在晶体的一定点处，它与 M 的绝对方向无关。满足这些条件的普遍式子为

$$U_{\text{不均匀}} = \frac{1}{2} \alpha_{ik} \frac{\partial M_i}{\partial x_i} \frac{\partial M_i}{\partial x_k}, \quad (39.1)$$

式中 α_{ik} 是对称张量。此外，这二次（对导数而言）式应取实在正值。在单轴晶体内，张量 α_{ik} 有二个独立分量，于是不均匀性能的形式为

$$U_{\text{不均匀}} = \frac{1}{2} \alpha_1 \left[\left(\frac{\partial M}{\partial x} \right)^2 + \left(\frac{\partial M}{\partial y} \right)^2 \right] + \frac{1}{2} \alpha_2 \left(\frac{\partial M}{\partial z} \right)^2, \quad (39.2)$$

而 α_1 和 α_2 是正值。在立方晶体内，有 $\alpha_1 = \alpha_2$ 。

对于(39.1)式，必须作如下的说明。具有实际热力学意义的并不是 $U_{\text{不均匀}}$ 本身，而是 $U_{\text{不均匀}}$ 对物体体积的积分。由于这一原因，我们无须写出 $U_{\text{不均匀}}$ 内含有 M 的分量和它对坐标的二次导数的乘积的各项，虽然在形式上这些项的数量级也和(39.1)式内的各项相同。问题在于，对体积进行积分时，它们变换为一次导数的乘积，也即是已由(39.1)①式考虑在内。

① 由于晶体的对称性，可以容许存在包含一次幂导数 $\frac{\partial M_i}{\partial x_i}$ 和 M_i 分量相乘的项。但是，在对物体的体积积分时，这些项变成只依赖于物体表面性质的式子。

举一个例子, 我们来研究单轴晶体的磁畴壁, 这时我们假定矢量 \mathbf{M} 完全与易磁化轴 (z 轴) 平行 (或反平行)。没有外加磁场时的磁畴特别是这样的。

过渡层的结构由总自由能为极小值的条件决定^①。这时, 交换能倾向于使层的厚度增加 (即使 \mathbf{M} 方向的改变更为平坦); 而各向异性能则有相反的作用, 因为 \mathbf{M} 与易磁化方向的任何偏离, 都会使各向异性能增加。

选择 x 轴的方向垂直于层平面; \mathbf{M} 的分布只与这一坐标有关。矢量 \mathbf{M} 沿层厚度的转动发生在 yz 平面内, 也即是处处 $M_x = 0$ 。这可从下面的简单考虑明显看出。不均匀性能和各向异性能, 一般与磁化强度在哪一平面内发生转动无关。不为零的分量 M_x 的存在, 必然引起产生磁场, 因为由此而引起附加的磁能, 因此在热力学上显然是不利的。实际上, 在磁畴体积内, $M_x = 0$, 如果在过渡层内 $M_x \neq 0$, 则 $\operatorname{div} \mathbf{M} = \frac{\partial M_x}{\partial x}$ 也不为零。既然 $\operatorname{div} \mathbf{B} = \operatorname{div} \mathbf{H} + 4\pi \operatorname{div} \mathbf{M} = 0$, 因此, 除了 $\operatorname{div} \mathbf{M} \neq 0$ 外, 也应该 $\operatorname{div} \mathbf{H} \neq 0$, 即 $\mathbf{H} \neq 0$ 。

设 θ 为 \mathbf{M} 与 z 轴间的夹角。于是 \mathbf{M} 的分量为

$$M_x = 0, \quad M_y = M \sin \theta, \quad M_z = M \cos \theta.$$

不均匀性能和各向异性能之和由下列积分给出:

$$\begin{aligned} \int_{-\infty}^{+\infty} \left[\frac{\alpha_1}{2} (M_y'^2 + M_z'^2) + \frac{\beta M_y^2}{2} \right] dx = \\ = \frac{M^2}{2} \int_{-\infty}^{+\infty} (\alpha_1 \theta'^2 + \beta \sin^2 \theta) dx \end{aligned} \quad (39.3)$$

(撇表示对 x 取微分), 自由能内的其余各项与层的结构无关, 因此

^① 这里更正确地应称为总自由能, 而不是总热力学势, 是因为注意到在层内可能有很不均匀的形变。

在这里可以略去。为了求出使这积分为极小值的函数 $\theta(x)$ ，我們写出相应的欧拉方程：

$$\alpha_1 \theta'' - \beta \sin \theta \cos \theta = 0,$$

第一次积分后得

$$\theta'^2 - \frac{\beta}{\alpha_1} \sin^2 \theta = \text{常数}。$$

假设过渡层的厚度比磁畴本身的厚度小，于是我們可以写出这个方程的边界条件为

$$\left. \begin{aligned} \text{当 } x = -\infty \text{ 时, } \theta = 0, \\ \text{当 } x = +\infty \text{ 时, } \theta = \pi, \\ \text{当 } x = \pm\infty, \text{ 即 } \theta = 0, \pi \text{ 时, } \theta' = 0. \end{aligned} \right\} \quad (39.4)$$

这些边界条件表明，相邻磁畴在相反方向磁化。于是式中的常数 = 0，把下列方程积分：

$$\theta'^2 = \frac{\beta}{\alpha_1} \sin^2 \theta,$$

我們得到

$$\cos \theta = -\text{th} \sqrt{\frac{\beta}{\alpha_1}} x, \quad (39.5)$$

由这个式子可以求出过渡层内磁化强度方向改变的过程，这层的“厚度”为 $\delta \sim \sqrt{\frac{\alpha_1}{\beta}}$ 。

把(39.5)式再代入(39.5)，我們得到

$$M^2 \beta \int_{-\infty}^{+\infty} \frac{dx}{\text{ch}^2 \sqrt{\frac{\beta}{\alpha_1}} x},$$

或者进行积分后，得

$$2M^2 \sqrt{\alpha_1 \beta}. \quad (39.6)$$

如果把磁畴壁视为几何平面，則(39.6)式为“表面張力”，为了計及形成这种磁畴壁所需的能量，必須添上这一項。

在热力学平衡下的磁畴形状和大小，由总热力学势为极小值的条件求出。它们主要依赖于物体的具体形状和大小。在铁磁体为平行平板的最简单情况下，原则上磁畴形状可以为平行层，或为从物体一面穿过另一面的“纤维状”结构。为明确起见，下面我们将称之为“层”^①。

磁畴间任何新畴壁的形成，都会使“表面张力”的总能量增加。因此，这一因素使磁畴数目减少，也即是使磁畴的厚度增加。

设物体内有磁畴，则在物体外表面附近所产生的多余能量，有着相反的作用。在物体内部，磁场 $H=0$ ，由于矢量 M 在易磁化方向，因而各向异性也等于零。但在表面附近，则情况不相同。

在各向异性内的系数 β 为很大的极限情况下，层应该伸展到物体表面，而 M 的方向保持不变(图 21, a, 为明确起见，图中假定物体表面与易磁化方向垂直)。但这时在表面附近产生磁场，这种磁场透入周围空间和透入物体内部的距离为层的厚度 a 的数量级。

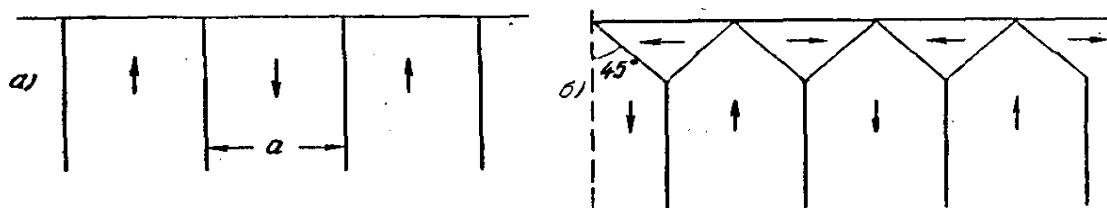


图 21

在 β 值很小的相反情况下，更为有利的磁化强度的分布是 M 与易磁化方向发生偏离而不产生磁场的分布。当 $H=0$ 时，必须处处 $\text{div } B = 4\pi \text{div } M = 0$ ，而在全部的磁畴壁上和物体的自由面上， M_n 必须为连续的。这一点可由形成三角形截面的“闭合磁畴”来达到(图21, b)，在这种磁畴内，磁化方向与物体表面平行。这些区

^① 层状的磁畴结构看来是最普遍的。

域的总容积以及其中的各向异性能,都与层的厚度 a 成正比。

由此可见,在任何情况下,磁畴伸展到物体表面时总引起多余的能量——磁畴厚度越大,这多余的能量也越大。因此这种效应会使磁畴的厚度减小。

形成的磁畴的厚度,取决于这两种相反趋势的平衡作用。例如,我们假定磁畴(在薄板内)的形状为厚度不变的平行平面层。磁畴的数目与 $\frac{1}{a}$ 成正比,而在磁畴间分界面上的表面张力能量,与总面积成正比,即 $\sim \frac{L}{a}$, 其中 L 是物体在磁畴方向的长度(即板的厚度)。磁畴伸展到板表面的“脱出能”与 a 成正比。这两种能之和作为 a 的函数,在 a 取与 \sqrt{L} 成正比的某一值时为极小值。

由此可见,磁畴厚度随物体线度的增加而增加。但是表示这种增加的定量定律 $a \sim L^{\frac{1}{2}}$, 由于假定了磁畴厚度不变,显然并不是对任何的 L 值都正确。问题在于,当磁畴伸展到物体表面时,它的厚度不可能超过某一极限值 a_k , 这 a_k 值依赖于铁磁体本身的性质,但和整个物体的形状和大小无关。 a_k 的数值决定于当 a 增加时在深度为 $\sim a$ 的物体表面附近,磁畴的“分裂”成为热力学上有利。因为一磁畴的“脱出能”随 a^2 而增加,而磁畴分裂时所产生的多余表面张力能则随 a 而增加,因而这种时刻必然会到来。

于是我们得到结论,随着物体线度以及磁畴厚度的增加,当磁畴伸展到物体表面时,磁畴应发生向前发展的“分支”(E. 栗弗席兹, 1948)。但我们在这里不准备详细研究存在的各种可能性,因为到目前为止,还有许多情况尚未明了^①。

① 参阅 С. В. Вонсовский 和 Я. С. Шур 的“Ферромагнетизм”(铁磁性)苏联技术出版社(1948)。K. Kittel: Review of Modern Physics, 21 541, (1949)。E. M. Лифшиц, ЖЭТФ, 15, 97(1945)。

随着物体綫度的减小, 任何磁疇的形成最后都变成热力学上不利的, 于是相当細小的铁磁体粒子代表均匀磁化的“单疇”结构。将均匀磁化的粒子的磁能与由于粒子体积內磁化分布的极不均匀性所形成的“不均匀性能”加以比較, 就可以得到对它們的大小 L 的判据。第一种能量的数量級为 M^2V , 而第二种能量的数量級为 $\sim \frac{\alpha M^2V}{L^2}$ 。因此, “单疇”的条件为

$$L^2 \ll \alpha. \quad (39.7)$$

在公式

$$\tilde{\mathcal{F}} = \iint \left[\tilde{\Phi} + \frac{\mathbf{H}\mathbf{B}}{8\pi} - \frac{1}{2} \mathcal{S}\mathbf{M} \right] dV$$

內, 令 $\mathcal{S} = 0$ [与(31.7)式比較], 并用(36.1)式和各向异性能 $U_{\text{各向异性}}$ 之和来代替 $\tilde{\Phi}$:

$$\tilde{\mathcal{F}} = VU_{\text{各向异性}} - \frac{M}{2} \int \mathbf{H} dV \quad (39.8)$$

(我們略去了不重要的常数 $\tilde{\mathcal{F}}_0$), 我們就得到沒有外加磁場时的均匀磁化粒子的热力学势。由于 \mathbf{M} 与 \mathbf{H} 的关系为綫性的, 第二項为 \mathbf{M} 分量的二次式:

$$\tilde{\mathcal{F}} = VU_{\text{各向异性}} + \frac{V}{2} a_{ik} M_i M_k, \quad (39.9)$$

式中对称張量 a_{ik} 只与粒子的形状有关。例如, 当粒子为椭球形状时, \mathbf{H} 在整个椭球体积內为定值, 而与 \mathbf{M} 的关系(当 $\mathcal{S} = 0$ 时)为

$$H_i + n_{ik}(B_k - H_k) = H_i + 4\pi n_{ik} M_k = 0$$

[与(8.10)式比較]。因此, 在这种情况下, a_{ik} 可用退磁系数張量的分量来表示为

$$a_{ik} = 4\pi n_{ik}.$$

在外磁場 \mathcal{S} 內, 粒子的磁化方向由 $\tilde{\mathcal{F}}$ 为极小值的条件得出, 这时在 $\tilde{\mathcal{F}}$ 內还必须增添一項 $-V\mathcal{S}\mathbf{M}$ 。对于立方晶体, 可以简单地

写为

$$\mathcal{F} = V \frac{a_{ik} M_i M_k}{2} - V \mathcal{S} M, \quad (39.10)$$

其中沒有考虑各向异性性能。在单軸(和双軸)铁磁体内, 各向异性性能的数量級和其余各項相同。把它写为(37.1)的形式后, 我們有

$$\mathcal{F} = \frac{V}{2} (a_{ik} + \beta_{ik}) M_i M_k - V \mathcal{S} M. \quad (39.11)$$

这样提出的問題在数学上与 § 37 內所討論的局部磁化 \mathbf{M} 依赖于局部磁場 \mathbf{H} 的問題相同, 所不同的只是用 \mathcal{S} 代替了 \mathbf{H} , 用 a_{ik} 或 $a_{ik} + \beta_{ik}$ 代替了 β_{ik} 而已。

例 題

1. 試求立方晶体內磁畴壁上的“表面張力系数”, 假設壁与平面(100)(yz 平面)組成的夹角为 α , 而磁畴沿易磁化軸方向[001](z 軸)磁化。

解. 除了晶軸 x, y, z 外, 我們再引进坐标系 x', y', z' , 并且 z 軸和 z' 軸重合, $y'z'$ 平面与 yz 平面組成的夹角为 α 。由于必須避免引起强磁場的出現(如单軸晶体的情况一样), 因而必須使矢量 \mathbf{M} 保持在 $y'z'$ 平面的过渡层內。 $x'y'$ 平面內存在的磁各向异性, 使 \mathbf{M} 与 $y'z'$ 平面略为分开。但是由于立方晶体內磁各向异性性能很小, 因而分量 $M_{x'}$ 为一小量, 在相当的精确度內, 可以忽略不計。于是

$$M_{x'} = 0, \quad M_{y'} = M \sin \theta, \quad M_{z'} = M \cos \theta$$

(θ 是 \mathbf{M} 与 z 軸間的夹角), 或者在 x, y, z 坐标系內,

$$M_x = M \sin \theta \sin \alpha, \quad M_y = M \sin \theta \cos \alpha, \quad M_z = M \cos \theta.$$

我們求得过渡层內的不均匀性能和各向异性性能之和为

$$\int_{-\infty}^{+\infty} \left\{ \frac{\alpha M^2}{2} \left(\frac{d\theta}{dx'} \right)^2 + \beta M^4 (\sin^2 \theta \cos^2 \theta + \frac{1}{4} \sin^4 \theta \sin^2 2\alpha) \right\} dx'. \quad (1)$$

利用与(39.4)相同的边界条件, 求这积分的极小值, 我們得到

$$\operatorname{sh} \sqrt{\frac{2\beta M^2}{\alpha}} x' = -\frac{2}{\sin 2\alpha} \operatorname{ctg} \theta. \quad (2)$$

把上式再代入(1)內, 进行积分后, 我們求得所求的表面張力为

$$M^3 \sqrt{2\alpha\beta} \left\{ 1 + \frac{\sin^2 2\chi}{2\sqrt{4 - \sin^2 2\chi}} \operatorname{Arch} \frac{2}{|\sin 2\chi|} \right\}. \quad (3)$$

(3)式当 χ 角取任何值时都适用。但是描写过渡层结构的方程 (2), 在 $\chi \cong 0$ 或 $\frac{\pi}{2}$ 时不能应用。在这种情况下, 只有考虑到过渡层内的磁致伸缩, 才能求得过渡层的有限宽度。

2. 設与铁磁体表面垂直的平行平面磁畴伸展到铁磁体表面而不改变其磁化方向(图 21, a), 試求铁磁体表面附近的磁場能。

解. 求这种表面附近的磁場問題, 等效于靜电学中求面电荷密度为 $\sigma = \pm M$ 并交替带正电和負电的条带所組成的平面产生的电場問題。

假設物体的表面与平面 $z=0$ 相合, 并选择 x 軸方向与磁畴平面垂直。于是“面电荷密度” $\sigma(x)$ 是周期为 $2a$ (a 为磁畴厚度) 的周期函数, 而在一个周期上, σ 等于

$$\begin{aligned} \sigma &= -M, \text{ 若 } -a < x < 0, \\ \sigma &= +M, \text{ 若 } 0 < x < a. \end{aligned}$$

把它展开为傅立叶級数:

$$\sigma(x) = \sum_{n=0}^{\infty} c_n \sin \frac{(2n+1)\pi x}{a}, \quad c_n = \frac{4M}{\pi(2n+1)}.$$

場势滿足拉普拉斯方程:

$$\frac{\partial^2 \varphi}{\partial x^2} + \frac{\partial^2 \varphi}{\partial z^2} = 0;$$

于是求得場势为級数形式:

$$\varphi(x, z) = \sum_{n=0}^{\infty} b_n \sin \frac{(2n+1)\pi x}{a} e^{\mp(2n+1)\pi z/a}$$

(指数內的“ \mp ”号分別相当于半空間 $z > 0$ 和 $z < 0$)。系数 b_n 由边界条件决定:

$$-\frac{\partial \varphi}{\partial z} \Big|_{z=+0} + \frac{\partial \varphi}{\partial z} \Big|_{z=-0} = 4\pi\sigma,$$

由此得

$$b_n = \frac{2a}{2n+1} c_n.$$

因此, 所求的場能是对“带电表面”的积分 $\frac{1}{2} \int \sigma \varphi df$ 。把能量化到单位面

积,我們有

$$\frac{1}{2} \frac{1}{2a} \int_{-a}^a (\sigma\varphi) \Big|_{z=0} dx = \frac{1}{4} \sum_{n=0}^{\infty} c_n b_n = \frac{8aM^2}{\pi^2} \sum_{n=0}^{\infty} \frac{1}{(2n+1)^3}.$$

式中的总和等于 1.052, 于是得到 $0.852M^2a$.

§ 40. 反铁磁体的居里点

和在铁磁体中一样, 物体从反铁磁状态转变为顺磁状态, 通常是通过第二种相变。因为反铁磁状态和顺磁状态都不存在自发磁化, 因此, 通过反铁磁的居里点时, 物质的宏观磁性质的改变只是改变其磁化率。按照第二种相变的普遍性质, 张量 μ_{ik} 的分量在相变点处是连续的, 而它们对温度的一次导数则发生突变。

对反铁磁转变进行定量研究, 必须利用第二种相变的普遍理论。在相变点附近, 展开热力学势的参量, 为元晶胞各结点处的平均磁矩 $m_1, m_2 \dots$ 的某种 (取决于晶体点阵的具体磁对称性) 线性组合。当趋近相变点时, 和通常一样, 这些参量与 $\sqrt{\Theta - T}$ 成比例而趋近于零。

反铁磁体的热力学势, 可以包含来源不同的项, 既包含磁矩的交换相互作用的项, 也包括磁矩的“相对论”相互作用的项 (参照 § 36 的起始)。前者所包含的磁矩 $m_1, m_2 \dots$ 的组合式, 只依赖于它们的相对取向, 而与它们对晶体点阵的总取向无关。但后者则依赖于晶体的磁矩方向, 也即是引起晶体的磁各向异性。

和在铁磁体中一样, 强交换作用是建立反铁磁体内磁矩有序排列的基本因素。但相对论的相互作用, 则使反铁磁体的磁性质变成各向异性的。

有一些磁对称类型容许铁磁性的存在, 但其中的交换相互作用本身, 并不会单独引起反铁磁性。在这些情况下, 自发磁化只是由于相对论相互作用的结果, 因而是很小的。这种物体是反铁磁

体,但其中磁矩的排列与純粹的反铁磁体有所差别;以致在一定方向上,磁矩不完全互相抵銷(И. Е. 迪亚洛希斯基, 1957)^①。“铁磁磁矩”与铁磁体在純粹铁磁有序化时所取的数值之比,和相对論能量密度与交换能密度之比($\sim 10^{-3}—10^{-5}$)为同一数量級。

在相当强的磁場內,晶体的反铁磁結構在热力学上是不稳定的,只有全部磁矩的取向与磁場方向平行时,在能量上才变成有利。这种取向的变化通常与晶体点陣磁結構內晶胞的改变(减小)有关,而且和对称性质的任何改变一样,这种变化也只能发生在一定的相变点处。这在大多数情况下是第二种相变点。破坏反铁磁性的“临界場” $H_{\text{临界}}$ 为溫度的函数,当 $T=0$ 时变为零,其中 0 是沒有外場时的相变点。由此可見,在 T, H 图上,反铁磁相存在的区域被一曲綫所包围。

^① 参閱 И. Е. Дзялошинским, ЖЭТФ, 32, 1517, 1957.

第六章 超导电性

§ 41. 超导体的磁性质

許多金屬在溫度接近絕對零度時轉變為一種特殊狀態，這種狀態最明顯的一個特性（由卡末林-奧涅斯在 1911 年最先發現）是所謂超导电性，即對恒定電流完全不存在電阻。對超导电性的發生，每一種金屬有一定的溫度，稱為超导态轉变点。

但是，不存在電阻實際上並不是超導体的主要性質。轉變為超導狀態所發生的最深刻變化，是金屬的磁性質。如我們將見到的，電性質是這些變化的必然結果。

超導性金屬的磁性質可以描寫如下。磁場永遠不會透入超導體內部。因為按照定義，媒質內的平均磁場強度為磁感應強度 B ，因而可以換一種說法，在超導體內，

$$B=0 \quad (41.1)$$

（B. 邁斯厄，P. 奧克塞菲耳特，1933 年）。這性質的存在與實際上在何種條件下轉變為超導狀態無關。例如，如果金屬在磁場內冷卻，則在轉變點處，磁力綫將從物體上“被逐出去”。

但是應該着重指出， $B=0$ 並不是屬於超導體很薄的表面層。實驗指出，磁場能夠透入超導體的一定深度，這深度比原子的間距大得多（通常為 10^{-5} 厘米的數量級），並且和金屬的種類及溫度有關。由於這一原因，在厚度或綫度和透入深度同數量級的金屬薄膜或膠態粒子內，等式 $B=0$ 一般地不成立。

下面我們只研究相當大的重超導體，並且完全略去磁場透入

薄表面层的事实^①。

我們知道,在任何两种媒质的分界面上,磁感应强度的法向分量必須是連續的(这条件是方程 $\text{div } \mathbf{B} = 0$ 总是正确的必然結果)。因为在超导体內, $\mathbf{B} = 0$, 因此在超导体表面,外磁场的法向分量也等于零,也即是超导体外的磁场处处与超导体表面相切;磁力綫繞过超导体。

考虑到这种情况后,很容易求出磁场內的超导体所受的力。和 § 5 內对电场內的普通导体所进行的类似,我們求得这力为 $\sigma_{ik}n_k$ (属于单位面积), 其中

$$\sigma_{ik} = \frac{1}{4\pi} \left(H_i H_k - \frac{H^2}{2} \delta_{ik} \right)$$

是真空內磁场的麦克斯韦应力張量。因为在現在的情况下, $\mathbf{n} \cdot \mathbf{H}_e = 0$ (\mathbf{H}_e 是物体表面外的磁场), 于是我們得到

$$\mathbf{F}_{\text{表面}} = -\mathbf{n} \frac{H_e^2}{8\pi}, \quad (41.2)$$

即作用在物体表面的力是压缩力,其数值等于場能密度。

根据方程(27.4)

$$\text{rot } \mathbf{B} = \frac{4\pi}{c} \overline{\rho \mathbf{v}}; \quad (41.3)$$

于是从方程 $\mathbf{B} = 0$ 得出,超导体內的平均电流密度也处处等于零。換句話說,在超导体內,不可能有任何宏观的体电流。在此应着重指出的是,在超导体內,要和在普通导体中一样,从 $\overline{\rho \mathbf{v}}$ 內分出传导电流是沒有意义的。由于这一原因,在我們的理論內引入磁化

^① 在这里我們不討論磁场透入超导体內的“透入深度”的理論,因为它不具有唯象的特征。

應該着重指出,在我們的討論中,我們所指的都是“純”超导体——金屬元素和具有确定化学組分的化合物。在超导合金內,迈斯厄效应的表現不完全,因为透入深度有重大增加。在这里我們也不去研究这些問題。

强度 M 以及矢量 H , 也是沒有物理意义的。

由此可見, 超导体內流过的任何电流都是面电流。面电流密度 g , 按照(27.14)式, 由超导体边界上感应强度的切向分量的突变值得出。因为在超导体內, $B=0$, 而在超导体外, B 与 H 相等, 因而,

$$g = \frac{c}{4\pi} [nH_e]. \quad (41.4)$$

面电流本身的存在, 并不只是超导体的特征。在任何通常的磁化物体内, 也存在这种电流, 它們的密度为

$$g = \frac{c}{4\pi} [n, H_e - B].$$

因为在正常导体表面(非超导体), 矢量 $H = \frac{B}{\mu}$ 的切向分量是連續

的, 因此得到 $[nH_e] = \frac{1}{\mu} [nB]$, 于是 g 的表达式可以写成

$$g = \frac{c}{4\pi} [nB] \frac{1-\mu}{\mu}. \quad (41.5)$$

但是, 研究物体横截面上流过的总电流时, 超导体和普通导体就显现出原則性的差别。在非超导体內, 表面电流总是互相抵銷的, 因而不存在任何总电流; 这可由条件(41.5)看出, 它把电流密度 g 与导体內的磁感应强度联系起来, 并通过磁感应强度把表面各点处的电流 g 联系起来。但是, 在超导体內, 条件(41.5)失去意义。实际上, 磁导率为 μ 的普通导体轉变为超导体, 在形式上表明必須同时令 $B \rightarrow 0$ 和 $\mu \rightarrow 0$ 。但是这时(41.5)式的右側变成不确定的, 因而实质上并不存在任何限制电流的可能数值的条件。

这样一来, 我們得到一个重要的結果: 流过超导体表面的电流, 可以使超导体內有不为零的总电流流过。当然, 只有在多联物体(例如环)或构成閉合电路一部分的单联超导体內, 才会有这种

情况，而在这种闭合电路内接有电动势源来维持电路内非超导体部分的电流。

重要的是，即使没有外加电场，在超导体内也可能有稳定的总电流流过。这表明，电流流过时不发生能量耗散，因为要补充这种能量耗散，必须有外场做功。超导体的这种性质，也可以描写为超导体内不存在电阻，由此可见，这是超导体磁性质的必然结果。

§ 42. 超导电流

我们更深入地来研究一下与形状有关的超导体的某些性质。

如果超导体是单联物体，则没有外磁场时，在超导体内一般不可能有任何稳定的面电流流过。

这由下面的讨论可以证明这一点。表面电流在超导体周围空间内产生恒定的磁场，这磁场在无穷远处变为零。和真空内的恒定磁场一样，它是一种势场，由于超导体上的边界条件，在超导体表面，场势的法向导数 $\frac{\partial \varphi}{\partial n}$ 必须为零。但是，由势论可知，如果在单联物体表面和无穷远处， $\frac{\partial \varphi}{\partial n} = 0$ ，则在物体外的整个空间内， $\varphi = 0$ 。由此可见，不可能存在恒定磁场以及表面电流。

外磁场在单联超导体表面感生出电流，这电流可从整个超导体产生一定的磁矩观察出来。对椭球状的超导体，我们很容易算出这种“磁化”^①。

设 \mathcal{H} 为与椭球一个主轴平行的外磁场。对于非超导椭球内的磁场，存在下列关系式：

$$(1-n)H + nB = \mathcal{H},$$

式中 n 是该主轴上的退磁系数[参阅(8.7)式]。在超导体内，如上

① 在这一节内假定磁场的数值不超过使超导电状态破坏的数值(参阅 § 43)。

面所指出的,“場强” H 沒有物理意义,因此磁化强度

$$M = \frac{B-H}{4\pi}$$

也失去通常的意义。尽管如此,在現在的情况下,我們从純粹形式的观点引进 H 和 M 作为輔助量,来計算具有实际物理意义的总磁矩 $\mathcal{M} = MV$ (V 是橢球的体积),仍是很方便的。对于超导橢球,令 $B=0$, 我們得到

$$H = \frac{\mathcal{S}}{1-n}, \quad (42.1)$$

于是

$$\mathcal{M} = -\frac{VH}{4\pi} = -\frac{V\mathcal{S}}{4\pi(1-n)}. \quad (42.2)$$

特别是对纵向場內的长柱体而言, $n=0$, 因而 $H = \mathcal{S}$ 和

$$\mathcal{M} = -\frac{V\mathcal{S}}{4\pi} \textcircled{1},$$

\mathcal{M} 的这些数值和仿佛超导体具有体积抗磁化率 $-\frac{1}{4\pi}$ 时所得到的相同。

橢球表面外的磁場 H_e , 处处与表面相切, 因而它的数值可直接由 H 的切向分量为連續的条件得出。在橢球內, $H = \frac{\mathcal{S}}{(1-n)}$; 把这一矢量投影到切綫方向, 我們得到

$$H_e = \frac{\mathcal{S}}{1-n} \sin\theta, \quad (42.3)$$

式中 θ 为外磁場 \mathcal{S} 的方向与橢球面給定点处的法綫之間的夹角。在橢球的赤道上, H_e 具有最大值, 等于 $\frac{\mathcal{S}}{(1-n)}$ 。

① 超导柱体的这些关系式是 H 为連續的这一条件的直接結果, 因此, 对于截面为任何形状的柱体(不一定是圓截面的), 这些关系式都正确。

还必须着重指出，引起超导体“磁化”的电流和在超导体内产生总电流的电流之间，并没有任何原则性的差别：它们的物理性质完全相同。特别是从这种重要情况，可以直接求出任何超导体的迴轉磁系数。实际上，产生“磁化”电流的粒子(电子)的动量密度，与这些电流密度的差别只是多一个因子 $\frac{m}{e}$ (e 和 m 分别为电子的电荷和质量)。根据迴轉磁系数的定义[参阅(35.3)式]，由此立即得出，在超导体内，总是

$$g_{ik} = \delta_{ik}.$$

我们来研究多联超导体。它们的性质与单联物体有很重大的差别——这首先是因为对于多联超导体，不再适用外磁场不存在时不可能有稳定的表面电流流过这一推论。其次是表面电流不再相互抵销，因而即使没有外加电动势，也会引起超导体内有稳定的总“超导”电流流过。

我们来研究没有外加磁场的双联超导体(环)，并且证明它的状态完全由其中流过的总电流 J 决定。求这种环所产生的磁场的問題，也可当作势論問題来解决，只是場势 φ 現在是多值函数，当繞穿过环孔的任何閉合綫路一周时，这函数改变 $\frac{4\pi J}{c}$ (参照§ 29)。

为了使問題的提出在数学上更为精确，我們必須沿跨越环孔的任何面作一空間的“剖面”。于是問題就变成解拉普拉斯方程，而其边界条件为：在环面上， $\frac{\partial \varphi}{\partial n} = 0$ ，在无穷远处， $\varphi = 0$ ，以及在所选择的

剖面上， $\varphi_2 - \varphi_1 = \frac{4\pi J}{c}$ ，其中 φ_2 和 φ_1 是这面两侧的場势值。由势論可知，这問題具有单值的解(与所选择的剖面形状无关)。根据环表面附近的場分布，也可以单值地求出环内面电流的分布。

除了电流的分布外，超导环的自感系数也是一个完全确定的

量。在这方面，与普通导体有重大的差别，在普通导体内，电流分布以及自感的精确数值，与电流的激发方式有关 (§ 33)①。

在 § 32 内，我們曾引进了通过綫导体迴路内的磁通量 Φ 的概念，并且证明了 $\Phi = \frac{LJ}{c}$ ，其中 L 为导体的自感。对于超导环，磁通量的概念，当环为任何厚度时（并不一定限于很小），都不失去意义。实际上，由于磁場指向切綫方向，因而通过环表面任何部分的磁通量等于零。因此，通过跨越超导体环孔的表面的磁通量，与这面的选择无关。

而且公式

$$\Phi = \frac{1}{c} LJ \quad (42.4)$$

也仍然有效，自感 L 和前面一样，可由电流磁場的总能量得出。超导体磁場的总能量，由对超导体外的整个空間进行的积分 $\int \frac{H^2}{8\pi} dV$ 给出。如上面已指出的，沿某一表面 C 作一空間的“剖面”后，我們可以引进場势，并写为

$$\int \frac{H^2}{8\pi} dV = - \int \frac{\mathbf{H} \nabla \varphi}{8\pi} dV = \int \frac{\varphi \operatorname{div} \mathbf{H}}{8\pi} dV - \int \frac{H_n \varphi}{8\pi} df.$$

第一个积分等于零，因为 $\operatorname{div} \mathbf{H} = 0$ 。第二积分对无穷远表面、环面以及表面 C 的兩側进行。在头两个积分内，被积式变为零，因而剩下积分：

$$\int \frac{H^2}{8\pi} dV = \frac{1}{8\pi} \int_C H_n (\varphi_2 - \varphi_1) df = \frac{J}{2c} \int_C H_n df = \frac{J\Phi}{2c},$$

① 由圓截面导綫（半徑为 a ）作成的細超导体环（半徑为 b ）的自感和非超导体环自感的外部分相同，并由下式得出：

$$L = 4\pi b \left(\ln \frac{8b}{a} - 2 \right)$$

（參閱 § 33. 例題 2）。关于超导圓电流問題的精确解，已由 B. A. 福克 (Φ_{OK}) 得出 (Phys Zs. d. Sowjetunion 1, 215, 1932)。

式中 Φ 是通过表面 C 的磁通量。把这个式子与 $\frac{LJ^2}{2c^2}$ 比较 (按照自感定义), 我们就得到所求的 (42.4) 式。

如果环在外磁场内, 则总磁通量 Φ 包括本身的磁通量 $\frac{LJ}{c}$ 和外场的磁通量 Φ_0 。超导体环最重要的一个性质是, 当外场和电流发生任何变化时, 通过环的总磁通量仍然不变:

$$\frac{1}{c}LJ + \Phi_0 = \text{常数} \equiv \Phi_0. \quad (42.5)$$

这可从导体外空间内的麦克斯韦方程的积分形式直接得出:

$$\frac{1}{c} \frac{\partial}{\partial t} \int_C \mathbf{H} d\mathbf{l} = - \oint_C \mathbf{E} d\mathbf{l}.$$

如果对跨越环孔的表面 C 进行积分, 则等式右侧的积分回路为环面上的直线。但是在超导体面上, \mathbf{E} 的切向分量等于零 (因为在超导体内, $\mathbf{E} = 0$, 而 \mathbf{E}_t 在表面上是连续的)。因此, 等式右侧变为零, 于是我们求得 $\frac{d\Phi}{dt} = 0$ 。

由关系式 (42.5), 可以求出外磁场改变时环内电流的变化。例如, 如果环在通量为 Φ_0 的外磁场内转变为超导状态, 然后除去这磁场, 则在环内将感生出稳定的电流, 等于 $J = c\Phi_0/L$ 。

通过超导环的磁通量不变, 不但外磁场改变时如此, 就是环的形状改变或环在空间内移动时, 也是如此^①。可以形象地说, 磁力线永远不会与超导体表面相交, 因而也不可能从超导环孔内“伸出”。

上面的结果可以直接推广到任何次联的超导体情况, 其中包括任何数目的环。没有外加磁场时的 n 联系统的状态, 由总电流

^① 从感应电动势与导体移动时所引起的回路内磁通量变化的关系式, 可以直接证明这一论断 (§ 49)。

J_a 的 n 个值决定。于是(42.5)式可以推广为方程組:

$$\sum_b L_{ab} J_b + \Phi_a^{(e)} = \Phi_{a0}. \quad (42.6)$$

这些方程不但当外加磁場改变时正确,而且当物体的形状或相互位置改变时也是正确的。

例 題

試求与外磁場垂直的超导盘的磁矩①。

解。恒定磁場內的超导体問題,在形式上与介电常数为 $\epsilon=0$ 的电介质的靜电学問題相同。我們把圓盘看作 $c \rightarrow 0$ 时的迴轉椭球的极限情况(参照 § 4 例題 4),利用(8.9)式,并对符号作相应的改变(場 \mathcal{H} 指向 z 軸),于是得到

$$\mathcal{M} = -\frac{2a^3}{3\pi} \mathcal{H}.$$

§ 43. 临界場

纵向磁場內的柱形超导体,具有附加的磁能,并等于

$$-\frac{\mathcal{H}\mathcal{M}}{2} = \frac{\mathcal{H}^2 V}{8\pi}.$$

在正常状态下(非超导态),加上外磁場时柱体的总能量实际不变(这里和下面,我們略去非超导金屬的弱抗磁性和順磁性,也即是假定 $\mu=1$)。由此看出,在相当强的磁場內,金屬的超导态比起正常态在热力学上更为不利,因此,超导性必然遭到破坏。

在柱形超导体內,使超导性遭到破坏的纵向磁場强度的数值,决定于金屬的种类及其溫度(以及压强)。这种磁場值称为临界場

① 在这里研究这一問題,主要是为了在后面应用(§ 75, 例題 2)。对于超导圓盘,实际上所指的是相当微弱的磁場,因为在这样的条件下,超导性很容易受到破坏(參閱 § 43)。

($H_{\text{臨界}}$); 它是超导体的重要特性之一^①。

当磁场达到临界值后, 整个柱体内的超导性遭到破坏, 这是因为在这种柱体的全部表面上, 磁场是均匀的。但是, 在其他形状的超导体内, 超导性遭到破坏是一个更为复杂的过程, 其中物质在正常态下所占的体积, 在 \mathcal{H} 值的整个范围内逐渐增加(关于这一点将在下一节内更详细地讨论)。

由此可知, 在低于转变点的任何温度下, 金属可为超导态(s), 也可为正常态(n)。我们用 $\mathcal{F}_{s0}(V, T)$ 和 $\mathcal{F}_n(V, T)$ 分别表示没有外加磁场时超导体和正常物体的总自由能。这些表征物质特性的量, 当然只和物体的体积有关, 而与导体的形状无关。在 n 态内的自由能, 在加上外磁场后一般不改变(因此我们在 \mathcal{F}_n 的下角标上不添上 0)。但在 s 态内, 磁场使自由能发生重大的改变。当 T 与 V 为给定时, 在纵向外磁场 \mathcal{H} 内, 柱形超导体的自由能为

$$\mathcal{F}_s = \mathcal{F}_{s0}(V, T) + \frac{\mathcal{H}^2}{8\pi} V. \quad (43.1)$$

由此可以求得其余的热力学量。将(43.1)式对体积求微分, 求得超导体上所受到的压强为

$$p = p_0(V, T) - \frac{\mathcal{H}^2}{8\pi}, \quad (43.2)$$

式中 $p_0(V, T)$ 为没有外加磁场时的压强(保持 V, T 不变)。由等式(43.2)可以求得 p, V 和 T 之间的关系式, 也即是(43.2)式是外磁场内的超导柱体的状态方程。我们看到, 有外加磁场时的体积 $V(p, T)$, 和没有外加磁场而压强为 $p + \frac{\mathcal{H}^2}{8\pi}$ 时的体积相同。当然, 这结果和磁场内超导体表面所受到的力(41.2)式是符合一致的。

^① 只在我們所研究的“純”超导体内, 从超导态转变为正常态才是急剧的(参阅 232 頁上的底注), 在合金内, 超导性受到破坏和磁场透入到合金内部是逐渐发生的, 并且场的范围较广 因而正文内所指的临界场, 对于这些超导性不存在。

超导柱体的热力学势^① 等于

$$\mathcal{F}_s = \mathcal{F}_s + pV = \mathcal{F}_{s0}(V, T) + p_0V,$$

在这里体积 V 必須按照 (43. 2) 式用 p 和 T 表示。因此, 可以把 $\mathcal{F}_s(p, T)$ 写成下面的形式:

$$\mathcal{F}_s(p, T) = \mathcal{F}_{s0}\left(p + \frac{\mathcal{H}^2}{8\pi}, T\right), \quad (43. 3)$$

式中 $\mathcal{F}_{s0}(p, T)$ 是沒有外加磁場时的热力学势。将这等式对 T 和 p 求微分, 得到熵和体积間的相似关系式:

$$\mathcal{S}_s(p, T) = \mathcal{S}_{s0}\left(p + \frac{\mathcal{H}^2}{8\pi}, T\right), \quad (43. 4)$$

$$V_s(p, T) = V_{s0}\left(p + \frac{\mathcal{H}^2}{8\pi}, T\right). \quad (43. 5)$$

現在可以写出确定临界場的条件。当 \mathcal{F}_n 小于 \mathcal{F}_s 时(保持 p 和 T 不变), 柱体从 s 态轉变为 n 态。在轉变点处必須 $\mathcal{F}_s = \mathcal{F}_n$, 即

$$\mathcal{F}_{s0}\left(p + \frac{H_{kn}^2}{8\pi}, T\right) = \mathcal{F}_n(p, T). \quad (43. 6)$$

这是精确的热力学关系式^②。在磁場內热力学势的改变通常是代表对 $\mathcal{F}_{s0}(p, T)$ 的一个小改正。于是 (43. 6) 式的右側可以展开为級数, 展开式的头几項为

$$\mathcal{F}_{s0}(p, T) + \frac{H_{kn}^2}{8\pi} V_{s0}(p, T) = \mathcal{F}_n(p, T), \quad (43. 7)$$

式中 $V_{s0}(p, T) = \frac{\partial \mathcal{F}_{s0}(p, T)}{\partial p}$, 是沒有外加磁場时的超导柱体的体积。由此可見, 在这种近似內, 可以說, 物质在正常状态的热力学

① 这里 \mathcal{F} 的定义和 § 12 內相同。

② 我們計算的精确度比通常所要求的高, 为的是更为明显地显现出不同热力学量間的相互关系。

势(属于单位体积)比在超导态大 $\frac{H_{\text{临界}}^2}{8\pi}$ 。

我们用 $T_{\text{临界}} = T_{\text{临界}}(p)$ 表示没有外加磁场时的转变温度。实验指明,在这点上的转变是第二种相变。因此,特别是,当 $T = T_{\text{临界}}$ 时, $H_{\text{临界}}(T)$ 必须连续地趋近于零。从第二种相变的普遍理论可知^①,在转变点附近,热力学势的改变与温度差 $(T - T_{\text{临界}})$ 的平方成正比。因而从(43.7)式可以作出结论,在 $T_{\text{临界}}$ 附近,临界场按下列线性规律随温度而变化:

$$H_{\text{临界}} = \text{常数} \cdot (T_{\text{临界}} - T). \quad (43.8)$$

根据 $H_{\text{临界}}$ 对 T 的关系曲线,我们将(43.6)等式两侧对温度求微分(保持压强不变)。这时考虑到(43.4)和(43.5)式,我们得到

$$\mathcal{S}_n - \mathcal{S}_s = -V_s \frac{\partial}{\partial T} \left(\frac{H_{\text{临界}}^2}{8\pi} \right), \quad (43.9)$$

式中全部的 $\mathcal{S}_n, \mathcal{S}_s, V_s$ 系对物体的两种态间的转变点而言(也即是对磁场 $H = H_{\text{临界}}$ 而言)。将上面的等式乘上 T ,我们求得转变热为

$$Q = T(\mathcal{S}_n - \mathcal{S}_s) = -\frac{V_s H_{\text{临界}} T}{4\pi} \left(\frac{\partial H_{\text{临界}}}{\partial T} \right)_p. \quad (43.10)$$

当在 $T = T_{\text{临界}}$ 的点处发生转变时(没有外加磁场),则 Q 与 $H_{\text{临界}}$ 一道变为零,这和我们在这里所遇到的是第二种相变的事实相符合。 $T < T_{\text{临界}}$ 时(在磁场内)的转变,引起热量的吸收或放出,也即是为第一种相变。实验指出,从 $T_{\text{临界}}$ 到0的范围内, $H_{\text{临界}}$ 随温度的降低单调地增加。因此,导数 $\frac{dH_{\text{临界}}}{dT}$ 总是负的,而且从(43.10)式看出, $Q > 0$,也即是从超导态(等温地)转变为正常态时吸收热量。

按照能斯脱定律,当 $T \rightarrow 0$ 时,任何物体的熵都必须变为零。

① 参阅“统计物理学”第三版, § 131, 1951。

因此从(43.9)式看出, 当 $T=0$ 时, 必須 $\frac{\partial H_{\text{临界}}}{\partial T}=0$, 也即是曲綫 $H_{\text{临界}}=H_{\text{临界}}(T)$ 与 H 軸正交。

我們將(43.9)式內的 $\mathcal{S}_n - \mathcal{S}_s$ 之差再对溫度求微分一次, 并再利用等式(43.4)和(43.5)。这时还考虑到

$$\left(\frac{\partial \mathcal{S}}{\partial p}\right)_T = -\left(\frac{\partial V}{\partial T}\right)_p,$$

結果得到

$$\begin{aligned} \frac{\partial \mathcal{S}_n}{\partial T} - \frac{\partial \mathcal{S}_s}{\partial T} = & -V_s \frac{\partial^2}{\partial T^2} \left(\frac{H_{\text{临界}}^2}{8\pi} \right) - 2 \frac{\partial V_s}{\partial T} \frac{\partial}{\partial T} \left(\frac{H_{\text{临界}}^2}{8\pi} \right) - \\ & - \frac{\partial V_s}{\partial p} \left(\frac{\partial}{\partial T} \left(\frac{H_{\text{临界}}^2}{8\pi} \right) \right)^2. \end{aligned} \quad (43.11)$$

在等式兩側乘上 T , 我們就得到兩相的热容量之差(保持压强不变)。包含有物质热膨脹系数和压缩系数的項, 通常比其余各項小得多; 略去这些項以后, 我們得到

$$\mathcal{C}_s - \mathcal{C}_n = \frac{V_s T}{4\pi} H_{\text{临界}} \frac{\partial^2 H_{\text{临界}}}{\partial T^2} + \frac{V_s T}{4\pi} \left(\frac{\partial H_{\text{临界}}}{\partial T} \right)^2. \quad (43.12)$$

直接把(43.7)的近似关系式求微分, 也可以得到这一公式。在这种近似內, V_s 和 V_{s0} 的差別不重要; 还可以假定 \mathcal{C}_s 和 \mathcal{C}_{s0} 相等。

当 $T=T_{\text{临界}}$ 时, (43.12)式內的第一項变为零, 于是我們就得到下面的公式, 它把第二种相变时所发生的热容量突变(沒有外加磁場)和 $H_{\text{临界}}$ 的溫度依賴关系联系起来:

$$\mathcal{C}_s - \mathcal{C}_n = \frac{V_s T}{4\pi} \left(\frac{\partial H_{\text{临界}}}{\partial T} \right)^2 \quad (43.13)$$

(卢盖斯, 1933年)。由此看出, 特别是在这种情况下, $\mathcal{C}_s > \mathcal{C}_n$ 。当溫度降低时(也即是当超导电性被磁場破坏时), 差值 $\mathcal{C}_n - \mathcal{C}_s$ 改变正負号, 这是因为差值 $\mathcal{S}_n - \mathcal{S}_s$ 在 $T=0$ 或 $T=T_{\text{临界}}$ 时变为零, 因而在这一範圍內必須有一极大值。

由相似方式, 可以研究轉变时由体积变化所引起的效应。为

此, 根据 $H_{\text{临界}}$ 对 p 的关系曲线, 将 (43.6) 式对压强取微分 (保持温度不变); 于是得出

$$V_n = V_s \frac{\partial}{\partial p} \left(p + \frac{H_{\text{临界}}^2}{8\pi} \right),$$

或

$$V_n - V_s = \frac{V_s H_{\text{临界}}}{4\pi} \frac{\partial H_{\text{临界}}}{\partial p}, \quad (43.14)$$

由这些式子可以求出转变时的体积变化^①。在 $T = T_{\text{临界}}$ 的点处, 这个差值和熵的差值一样, 变为零。于是在 $T < T_{\text{临界}}$ 的温度下的转变, 伴随发生体积的变化, 根据导数 $\left(\frac{\partial H_{\text{临界}}}{\partial p} \right)_T$ 的正负号, 这体积变化可以有两个号。当 $T = T_{\text{临界}}$ 时, 体积不发生变化, 但压缩系数有突变, 由把 (43.14) 式微分, 很容易求出这种突变值。

我们注意到, 如果在 (43.14) 式内代入下式:

$$\left(\frac{\partial H_{\text{临界}}}{\partial p} \right)_T = - \left(\frac{\partial H_{\text{临界}}}{\partial T} \right)_p \left(\frac{\partial T}{\partial p} \right)_{H_{\text{临界}}}$$

[由把方程 $H_{\text{临界}}(p, T) = \text{常数}$ 微分, 即可得到它], 则我们就得到“克拉珀龙-克劳修斯方程”:

$$\left(\frac{\partial p}{\partial T} \right)_{H_{\text{临界}}} = \frac{Q}{T(V_n - V_s)}, \quad (43.15)$$

式中的导数 $\left(\frac{\partial p}{\partial T} \right)_{H_{\text{临界}}}$ 给出温度改变时使外加磁场恰为临界场所需的压强变化。

临界场 $H_{\text{临界}}$ 的物理意义, 要比用超导柱体的行为来定义它

^① 不言而喻, 应该把这差值与场从零变到 $H_{\text{临界}}$ 时超导体体积的改变 (磁致伸缩) 区别开来。后者可由 (43.5) 式求得

$$V_s(p, T) - V_{s0}(p, T) \cong \frac{H_{\text{临界}}^2}{8\pi} \left(\frac{\partial V_s}{\partial p} \right)_T.$$

所体现出来的更为广泛。等式 $H = H_{\text{临界}}$ 是同一物体內超导相(s)和正常相(n)的分界面上各点所必須滿足的平衡条件。这可从下面的简单討論明显看出。如果柱体在恰好等于 $H_{\text{临界}}$ 的纵向磁場內, 則磁場的边界条件以及热力学稳定条件, 对于物体的內柱体部分在超导态內而外部分在正常态的全部状态都必須同样得到滿足。这时在分界面上, $H = H_{\text{临界}}$ 。由此可知, $H = H_{\text{临界}}$ 的分界面相对于它的位置而言处于“中性平衡”。这也就是表征相平衡的特性。

在交变磁場內, 超导相和正常相的分界面是移动的。这种移动过程的动力学是相当复杂的, 对它进行研究, 需要同时解电动力学方程和导热方程, 并考虑到相变时所放出的热量。我們在这里不作深入的研究^①, 只是指出 n 相和 s 相間的运动分界面所应滿足的边界条件。

为了导出这一边界条件, 我們来研究以速度 \mathbf{v} (两相間的分界面的移动速度)运动的坐标系 K' 。按照熟知的場变换公式, 在坐标系 K' 內的电場 \mathbf{E}' , 可用靜止坐标系內的場 \mathbf{E} 和 \mathbf{B} 来表示, 即

$$\mathbf{E}' = \mathbf{E} + \frac{1}{c}[\mathbf{v}\mathbf{B}]$$

[参閱(49.1)式]。因为在坐标系 K' 內分界面是靜止的, 因此在分界面上, 适用 \mathbf{E}' 的切向分量为連續的普通条件, 即

$$[\mathbf{n}\mathbf{E}'] = [\mathbf{n}\mathbf{E}] - \frac{v}{c}\mathbf{B}$$

(\mathbf{n} 是表面法綫方向的单位矢量, 指向速度 \mathbf{v})。在超导相內, $\mathbf{E} = 0$, $\mathbf{B} = 0$, 而在正常相內(在边界上), $B = H_{\text{临界}}$ 。因此我們发现, 在运动的分界面上出現切向电場, 它与磁場垂直, 并且等于

^① И. М. 栗弗席兹对这問題进行了全面的研究(ЖЭТФ), 20, 834, 1950; ДАН СССР 90, 363, 1953)。

$$E = \frac{v}{c} H_{\text{临界}} \quad (43.16)$$

§ 44. 中間态

如果任意形状的超导体在場强逐渐增加的外磁場内，那末最后在超导体表面的某一点处，磁場值将达到临界值 $H_{\text{临界}}$ ，而 \mathcal{S} 本身則仍小于 $H_{\text{临界}}$ 。例如，在橢球面上(位于与橢球一軸平行的磁場 \mathcal{S} 内)，磁場在赤道上具有最大值[参閱(42.3)式]；而当 $\mathcal{S} = H_{\text{临界}}(1-n)$ 时它已經达到 $H_{\text{临界}}$ 值。

当 \mathcal{S} 进一步增加，物体已不可能全部在超导态内。它也不可能完全轉变为正常态，因为这时磁場处处等于 \mathcal{S} 。因此超导电性一部分遭到破坏。

初看起来，似乎可以这样来設想这种破坏过程。随着 \mathcal{S} 的增加，在导体体积逐渐增加的部分，超导性遭到破坏，而在相应减小的部分仍然是超导态；当 $\mathcal{S} = H_{\text{临界}}$ 时，整个物体都轉变为正常态。但是，容易看出，物体的这种状态在热力学上是不稳定的。为此我們記住，在超导相和正常相的分界面上，磁場与表面相切(其值等于 $H_{\text{临界}}$)，換句話說，磁力綫在这表面内。如果分界面向正常相一边凹凸，則場的等势面垂直于磁力綫，将向正常相区域内散开(如图 22a 内虚綫所示)。但是在等势面散开的方向上，磁場值减小，

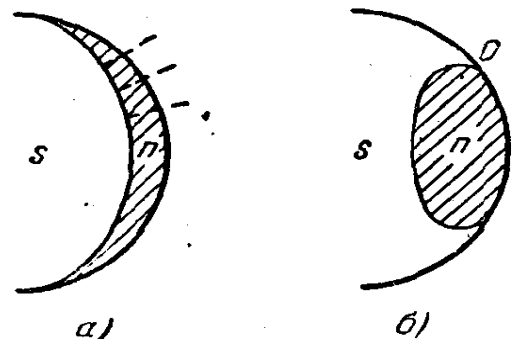


图 22

于是在斜綫区域内为 $H_{\text{临界}} < H$ ，这和在这区域内存在正常态的假設矛盾。如果超导相的边界是凹向的，則这边界上的磁力綫过渡到超导区域的自由面上(磁場与它相切)有一拐点(图 22b 上的 O 点)。但是在力綫的拐点处，磁場

变为无穷大, 这又和超导体面上的边界条件矛盾。

上面的討論实质上代表铁电体和铁磁体内形成磁畴结构的另一方面。而且根据热力学的稳定条件, 若在物体表面的某一点处磁场达到了临界值 $H_{\text{临界}}$, 则物体即分解为许多平行而薄的相互交叠的正常层和超导层 (Л. 朗道, 1937)。超导体的这种奇异态称为中間态。随着 \mathcal{H} 的增加, 正常层的总体积也增大, 一直到 $\mathcal{H} = H_{\text{临界}}$ 时物体全部转变为正常态为止。

应着重指出, 在物体为任意形状的普遍情况下, 全部体积不一定都在中間态内。其中也可能有純粹的超导态区域和純粹的正常态区域, 它們都与中間态区域相連, 但彼此并不直接接触。在这方面, 上面提到的橢球体是最简单的情况。在与橢球軸平行的磁场内, 中間态发生在下面的范围内:

$$H_{\text{临界}}(1-n) < \mathcal{H} < H_{\text{临界}}, \quad (44.1)$$

而且全部橢球体积都在这状态内^①。

中間态内 n 层和 s 层的形状和大小, 取决于整个物体的热力学平衡条件, 这和确定铁磁体内磁畴形状的情况相似 (§ 39)。对前面一样, 层的厚度决定于两种相反作用的因素。 n 相与 s 相的分界面上的“表面張力”趋向于减少层的数目, 即增加层的厚度。层在物体自由面上的“脫出能”则起着相反的作用。物体的綫度增加, 层的厚度也增加, 結果在接近物体表面时^②, 必須发生层的分支現

① 例如, 在球体内, $n = \frac{1}{3}$, 中間态的区域扩展到 $\frac{2}{3}H_{\text{临界}} < \mathcal{H} < H_{\text{临界}}$ 的范围, 在横向場内的柱体, $n = \frac{1}{2}$, 中間态的范围为 $\frac{1}{2}H_{\text{临界}} < \mathcal{H} < H_{\text{临界}}$ 。在纵向場内的柱体, $n = 0$, 中間态一般不存在, 而当 $\mathcal{H} = H_{\text{临界}}$ 时, 超导电性完全被破坏。末了, 对于横向場内的平行平板, $n = 1$, 在 $\mathcal{H} < H_{\text{临界}}$ 的任何場内, 它都在中間态内。

② 未分支层的厚度的計算, 參閱本节例題 2。多分支层模型的計算, 參閱 Л. 朗道的論文, ЖЭТФ, 13, 377, 1943。

E. M. 栗弗席茲和 Ю. В. 沙尔維的論文, 研究了两模型的相互关系 ДАН СССР 79 783, 1951。

在一定的条件下(外場接近于零或 $H_{\text{临界}}$), 热力学上更为有利的不是层状結構, 而是“綫状”結構, 參閱 E. R. Andrew, Proc. Roy. Soc. 194A 98, 1948。

象(其原因和铁磁体磁畴相同)。

如果所研究的物体内的区域大于层的厚度, 则描写中间态也可采用取平均值的方式(P. 派耳斯, F. 伦敦, 1936)。在这种描写方式中, 假定物体内部有磁感应强度 $\bar{\mathbf{B}}$, $\bar{\mathbf{B}}$ 的值从零(在纯粹超导态内)增到 $H_{\text{临界}}$ (在纯粹正常态内)。如果对中间态的物质我们添上一个不为零的感应强度, 则我们也必须对它添上一定的磁场“强度” $\bar{\mathbf{H}}$ 。为了求出这两个量的关系, 必须研究中间态的真实结构。

在正常层与超导层的交界面上, 正常层内的磁场等于 $H_{\text{临界}}$, 由于假定了层很薄, 因此可以认为, 在整个正常层内, 磁场都是这个值。在超导层内, $\mathbf{B}=0$ 。因此, 对比层的厚度大的体积求磁场的平均值, 我们得到, 平均感应强度为 $\bar{\mathbf{B}}=x_n H_{\text{临界}}$, 式中 x_n 是在正常态内的体积部分, 其次, 我们来求出物体单位体积的热力学势, 并且从相应于纯超导态的值算起。在没有外加磁场时, 正常态的单位体积具有多余的热力学势 $\frac{H_{\text{临界}}^2}{8\pi}$ ①。当存在外磁场时, 还必须加上磁场能量, 于是得到 $\frac{H_{\text{临界}}^2}{4\pi}$ 。因而在中间态内, 单位体积的平均热力学势等于

$$\Phi = \frac{H_{\text{临界}}^2}{4\pi} x_n = \frac{H_{\text{临界}} \bar{\mathbf{B}}}{4\pi}. \quad (44.2)$$

按照普遍规则, 由热力学关系式得到 $\bar{\mathbf{B}}$ 和 $\bar{\mathbf{H}}$ 的关系为

$$\bar{\mathbf{H}} = 4\pi \frac{\partial \Phi}{\partial \bar{\mathbf{B}}}.$$

在现在的情况下, 我们得到, 矢量 $\bar{\mathbf{H}}$ 与 $\bar{\mathbf{B}}$ 平行, 而它的绝对值等于

$$\bar{H} = H_{\text{临界}}, \quad (44.3)$$

① 这里我们略去了全部磁致伸缩效应。在这些条件下, 代替热力学势的改变, 我们可以说成是与它相等的自由能的改变。

即有不依赖于感应强度的恒定值。

如果将 \bar{B} 对 \bar{H} 的关系用图表示 (图 23), 则超导态相应于横坐标轴的 OA 段; 正常态相应于 BC 直线 ($\bar{B} = \bar{H}$)。竖直线 AB 段 ($\bar{H} = H_{\text{临界}}$) 相应于中間态。

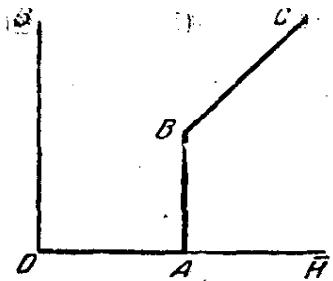


图 23

设 \mathbf{n} 为平均磁场力线方向上的单位矢量。我们写出 $\bar{\mathbf{H}} = H_{\text{临界}} \mathbf{n}$, 并代入方程 $\text{rot } \bar{\mathbf{H}} = 0$ (没有体电流时是正确的) 后, 于是得到 $\text{rot } \mathbf{n} = 0$ 。另一方面, 因为 $\mathbf{n}^2 = 1$, 所以

$$\text{grad } \mathbf{n}^2 = 2(\mathbf{n} \nabla) \mathbf{n} + 2[\mathbf{n} \text{rot } \mathbf{n}] = 0,$$

由此得到结论, $(\mathbf{n} \nabla) \mathbf{n} = 0$ 。但这表明矢量 \mathbf{n} 的方向不变。由此可见, 平均磁场的力线为直线。

把所得到的结果应用到中間态内的椭球上。对椭球内的均匀磁场, 存在下列关系式:

$$(1-n)\bar{H} + n\bar{B} = \mathcal{S},$$

B 和 H 为任何关系时, 这公式都正确。这里令 $\bar{H} = H_{\text{临界}}$, 我们得到

$$\bar{B} = \frac{\mathcal{S}}{n} - \frac{1-n}{n} H_{\text{临界}}. \quad (44.4)$$

由此可见, 椭球内的平均感应强度, 按照线性定律随外加磁场强度而改变, 从 $\mathcal{S} = (1-n)H_{\text{临界}}$ 时的零值增到 $\mathcal{S} = H_{\text{临界}}$ 时的 $H_{\text{临界}}$ 值。

我们也可以写出中間态内的椭球的总热力学势 $\tilde{\mathcal{F}}$ 的表达式。为此, 我们从普遍公式

$$\tilde{\mathcal{F}} = \iint \left[\Phi - \frac{\mathbf{H} \cdot \mathbf{B}}{8\pi} - \frac{(\mathbf{B} - \mathbf{H}) \cdot \mathcal{S}}{8\pi} \right] dV$$

出发[与(31.7)式比较], 这个式子当 \mathbf{B} 和 \mathbf{H} 为任何关系时都适用。把(44.2)—(44.4)式中的 Φ, H, B 值代入上式, 我们得到

$$\tilde{\mathcal{F}}_t = \frac{V}{8\pi} \left[H_{\text{临界}}^2 - \frac{1}{n} (H_{\text{临界}} - \mathcal{S})^2 \right]. \quad (44.5)$$

(V 为椭球体积); 这个值从没有外加磁场时的纯超导椭球的热力学势算起。对于外磁场 \mathcal{H} 内的超导椭球, 我们有

$$\tilde{\mathcal{F}}_s = -\frac{\mathcal{H}\mathcal{V}}{2} = \frac{V\mathcal{H}^2}{8\pi(1-n)}$$

[按照(31.6)和(42.2)式]。当 $\mathcal{H} = H_{\text{临界}}(1-n)$ 时, 这两式应该给出相同结果。

最后, 我们着重指出, 上面对中间态取平均值的描写方式, 由于层的厚度比较大, 实际上其精确度并不大。由于同一原因, 从上面的描写中, 一般漏去了与层状结构的特性有关的一些现象。其中一个事实是, 当外加磁场增加时, 从超导态转变为中间态, 实际上并不是恰在 $\mathcal{H} = (1-n)H_{\text{临界}}$ 时发生, 而是要稍迟一些。这种“延迟”的原因如下。当这状态成为热力学上稳定的, 也即当 $\tilde{\mathcal{F}}_i < \tilde{\mathcal{F}}_s$ 时, 才转变为中间态。但是层状结构, 除了取平均值的描写中所添上的纯“体积”能(44.5)外, 还有由于各层间存在分界面和在物体表面附近层的形状发生变化所引起的附加能。这种情况也使转变点向磁场较强的一侧移动^①。

例 题

1. 试求中间态内的椭球的热容量。

解. 将(44.5)式的热力学势对温度取微分, 我们即得到熵和热容量。略去含有物体热膨胀系数的项, 我们得到

$$\mathcal{C}_i - \mathcal{C}_s = \frac{VT}{4\pi n} \left[(1-n)(H_{\text{临界}}'^2 + H_{\text{临界}} H_{\text{临界}}'') - \mathcal{H} H_{\text{临界}}'' \right]$$

(撇表示对 T 取微分); \mathcal{C}_s 是物体在超导态内的热容量(它对 \mathcal{H} 的微弱依赖关系, 我们这里略去不考虑)。由此看出, 在 $\mathcal{H} = (1-n)H_{\text{临界}}$ 的点处, \mathcal{C} 变化时(温度不变), 物体的热容量从 \mathcal{C}_s 突变到

$$\mathcal{C}_s + \frac{VT(1-n)}{4\pi n} H_{\text{临界}}'^2,$$

① 关于这一点参阅 247 页所指出的文献。

然后,按綫性定律随 \mathcal{S} 而改变到下列值(当 $\mathcal{S} = H_{\text{临界}}$ 时)

$$\mathcal{E}_s - \frac{VT}{4\pi} \left(H_{\text{临界}}'^2 + H_{\text{临界}} H_{\text{临界}}' \right) + \frac{VT}{4\pi n} H_{\text{临界}}'^2 = \mathcal{E}_n + \frac{VT}{4\pi n} H_{\text{临界}}'^2,$$

由此消去了增到 \mathcal{E}_n 的突变。

2. 設平行平面板垂直于外加磁場 \mathcal{S} , 試求中間态內平行平面板的 n 层和 s 层的形状和大小; 假設层不分支(И. 朗道, 1937)。

解. n 相和 s 相的区域代表与磁場方向平行的层, 只在板面附近, 层的平行平面性才遭到破坏。

磁力綫(图 24 上的虛綫) 只穿过 n 层, 而且 s 层的边界也是磁力綫(由于在其上条件 $B_n = 0$)。同时还考虑到在 n 相和 s 相的分界面上, 必須 $H = H_{\text{临界}}$, 于是在 s 层的边界上的条件可写为

在 BC 段上: $H_x = 0$

在 BA 段和 CD 段上: $H_x^2 + H_y^2 = H_{\text{临界}}^2$

(1)

(坐标軸的选择如图 24 所示)。在离板很远处, 場 \mathbf{H} 必須与外場 \mathcal{S} 相等, 即

$$\text{当 } x \rightarrow -\infty \text{ 时 } H_x = \mathcal{S}, H_y = 0. \quad (2)$$

按照下列公式引进場的标势和矢势:

$$H_x = -\frac{\partial \varphi}{\partial x} = \frac{\partial A}{\partial y}, \quad H_y = -\frac{\partial \varphi}{\partial y} = -\frac{\partial A}{\partial x}$$

以及复数势 $w = \varphi - iA$ (与 § 3 的第 3 节比較)。

在每条磁力綫上, $A = \text{常数}$ 。假設一力綫达到 O 点后分支为 OCD 和 OBA , 并形成一个 s 层的边界, 令在这力綫上 $A = 0$ 。在两相邻 s 层的边界上, A 值之差等于通过綫段 $a = a_s + a_n$ 的磁通量, 即等于 $\mathcal{S}a$ 。因此在全部 s 层的边界上, A 值等于 $\mathcal{S}a$ 值的整倍数。再引进“复数場强”:

$$\eta = H_x - iH_y = -\frac{dw}{dz},$$

$$z = x + iy,$$

我們把条件(1)写成

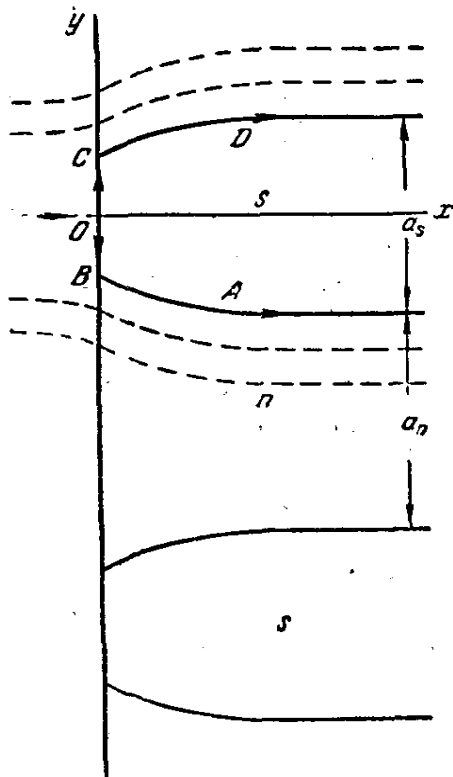


图 24

$$\text{在 } BC \text{ 上: } \operatorname{Re}\eta = 0, \quad (3)$$

$$\text{在 } BA \text{ 和 } CD \text{ 上: } |\eta| = H_{\text{临界}},$$

引进一个新的量:

$$\zeta = e^{-\frac{2\pi\varphi}{\Phi_0}} - 1 \quad (4)$$

并把 η 看作 ζ 的函数。在全部的边界力綫上(以及在板外的延长綫上), 量 ζ 为实值: $\zeta = e^{-\frac{2\pi\varphi}{\Phi_0}} - 1$ 。

因为除一个常数外, φ 是完全确定的, 因而可以任意地选择一点处的 φ 值。设在 O 点处, $\varphi = 0$ 。于是在这点处, $\zeta = 0$ 。在所研究的边界力綫上, 在离板很远处, $\zeta = -1$ (因当 $x \rightarrow -\infty$ 时, 我們有 $\varphi \rightarrow -\frac{\Phi_0}{2} x \rightarrow +\infty$)。在 B 点处 (或 c 点), 磁力綫透入板内, 我們把这点处的 ζ 表示为 ζ_0 。在 CD 和 BA 的分支上, ζ 从 ζ_0 变到 ∞ 。于是条件(1)和(3)可以写成

$$\text{当 } \zeta = -1, \eta = \frac{\Phi_0}{2}, \quad (5)$$

$$\text{当 } 0 < \zeta < \zeta_0, \operatorname{Re}\eta = 0;$$

$$\text{当 } \zeta_0 < \zeta, |\eta| = H_{\text{临界}}. \quad (6)$$

此外, 函数 $\eta(\zeta)$ 必須处处有限。

条件(6)满足函数

$$\eta = H_{\text{临界}} \left[\sqrt{1 - \frac{\zeta_0}{\zeta}} - \sqrt{-\frac{\zeta_0}{\zeta}} \right]. \quad (7)$$

在 ζ 为实負值时, 两根为实根, 并取此处写出的正負号。当 $0 < \zeta < \zeta_0$; 两根为虛根, 而且取为

$$\eta = \mp H_{\text{临界}} i \left[\sqrt{\frac{\zeta_0}{\zeta}} - \sqrt{\frac{\zeta_0}{\zeta} - 1} \right]$$

“ $-$ ”号或“ $+$ ”号分別相应于 OC 段和 OB 段。当 $\zeta > \zeta_0$, 必須写为

$$\eta = H_{\text{临界}} \left[\sqrt{1 - \frac{\zeta_0}{\zeta}} \mp i \sqrt{\frac{\zeta_0}{\zeta}} \right].$$

“ $-$ ”号或“ $+$ ”号分別相应于 CD 段和 BA 段。 ζ_0 值由条件(5)求出, 并等于

$$\zeta_0 = \frac{1}{4} \left(\frac{1}{h} - h \right)^2, \quad (8)$$

此处引用了符号 $h = \frac{\Phi_0}{H_{\text{临界}}}$ 。

将关系式 $dz = -\frac{dw}{\eta}$ 对 ζ 的实值进行积分, 我們得到层的形状也即是边界力綫的方程为

$$z = -\int \frac{dw}{\eta} = \frac{ah}{2\pi} \int \frac{d\xi}{\eta(\xi+1)}.$$

把 $\eta(\xi)$ 代入, 分开实值部分与虚值部分, 并适当地选择积分常数, 得到 CD 力綫的参量方程为

$$\begin{aligned} x &= \frac{ha}{2\pi} \int_{\xi_0}^{\xi} \sqrt{1 - \frac{\xi_0}{\xi}} \frac{d\xi}{\xi+1} = \\ &= \frac{ha}{\pi} \left\{ \text{Arch} \sqrt{\frac{\xi}{\xi_0}} - \sqrt{\xi_0+1} \text{Arch} \sqrt{\frac{\xi(\xi_0+1)}{\xi_0(\xi+1)}} \right\}, \end{aligned} \quad (9)$$

$$y = Y - \frac{ha}{\pi} \int_{\xi}^{\infty} \sqrt{\frac{\xi_0}{\xi}} \frac{d\xi}{\xi+1} = Y - \frac{ha}{\pi} \sqrt{\xi_0} \left(\frac{\pi}{2} - \text{arctg} \sqrt{\xi} \right)$$

($Y = \frac{a_s}{2}$, 是 $x \rightarrow \infty$ 时的 y 坐标值, 参閱图 24)。

层状结构的周期 a 与 s 层和 n 层的厚度 a_s 和 a_n 的关系为 $a = a_s + a_n$, $a_s \Phi = a_n H_{\text{临界}}$ 。第二个式子为完全通过 n 层的磁通量为連續的必然結果。由此得

$$a_s = a(1-h), \quad a_n = ha.$$

周期 a 由板的总热力学势取极小值的条件定出。在 n 相和 s 相的边界上, 由于“表面張力”的存在, 使板表面单位面积的热力学势內出現下面一項:

$$\mathcal{D}_1 = \frac{2l}{a} \frac{H_{\text{临界}}^2}{8\pi} \Delta.$$

其中 l 是板的厚度, 而表面張力系数表示为 $H_{\text{临界}}^2 \frac{\Delta}{8\pi}$ (Δ 为长度的量綱)。在計算这一部分能量时, 在板面附近的层弯曲, 当然可以略去不計。

在板的表面上, 层的“脫出能”可以写为两部分之和。第一, n 层的体积比在整个范圍內保持平行平面性时所占的体积要增加, 这就导致附加的能量为

$$\mathcal{D}_2 = \frac{4}{a} \int_0^x (Y-y) dx \frac{H_{\text{临界}}^2}{8\pi}$$

(因子 4 是考虑到在每一个 $\frac{1}{a}$ s 层的兩側上有四个角——例如 图 24 上的 B 和 C)。

第二, 在板的表面上, 层的伸出引起磁場內的系統的能量改变, 即改变能

量 $-\frac{1}{2} \mu \mathcal{H}$ 。板的磁矩由 s 层表面上的电流所产生。当磁感应的切向分量从 H 突变到 0 时, 面电流密度为 $g = \pm \frac{cH}{4\pi}$ 。因此, 在 z 轴的单位长度上, 在 s 层的每一边界面上的磁矩为

$$- \int_{OCD} \frac{H}{4\pi} y ds \quad (ds = \sqrt{dx^2 + dy^2}).$$

如果层不伸出到表面, 则 OC 段不存在, 而在 CD 上, 处处 $y = Y$ 。因此, 四个角中每一角的多余磁矩等于

$$- \int_{OCD} \frac{H}{4\pi} y ds + \int_0^{\infty} \frac{H_{\text{临界}}}{4\pi} Y dx.$$

相应地多余的能量为

$$\begin{aligned} \mathcal{P}_3 &= -\frac{\mathcal{H}}{2} \frac{4}{a} \left[\int_0^{\infty} \frac{H_{\text{临界}}}{4\pi} Y dx - \int_{OCD} \frac{H}{4\pi} y ds \right] = \\ &= \frac{\mathcal{H}}{2a\pi} \left[H_{\text{临界}} \int_{CD} (-Y dx + y ds) + \int_{OC} H_y dy \right]. \end{aligned}$$

用 ξ 表示的坐标 x 和 y 与 a 成正比。因此, $\mathcal{P}_1 + \mathcal{P}_2$ 内的全部积分与 a^2 成正比, 于是这部分热力学势与 a 成正比。因而 $\mathcal{P}_1 + \mathcal{P}_2 + \mathcal{P}_3$ 之和为①

$$\mathcal{P} = \frac{H_{\text{临界}}^2}{4\pi} \left[\frac{l\Delta}{a} + af(h) \right].$$

由上式取极小值的条件得出

$$a = \sqrt{\frac{l\Delta}{f(h)}}.$$

应该指出, 在板面附近的 n 层内, 磁场可以比 $H_{\text{临界}}$ 小得多, 即存在相当于图 22, a 所示的情况。在现在的情况下, 它在热力学上的不利, 可由阻止层厚度进一步减小的表面张力能来抵销。

① \mathcal{P}_2 和 \mathcal{P}_3 内的积分不能用基本函数来表示, 函数 $f(h)$ 在 E. 栗弗席兹和 Ю. 沙尔维的论文内已列成表(参阅 247 页上的底注)。

第七章 准静态电磁场

§ 45. 傅科电流

到目前为止, 我們只是研究了恒定电场和恒定磁场, 而应用麦克斯韦方程

$$\operatorname{rot} \mathbf{E} = -\frac{1}{c} \frac{\partial \mathbf{B}}{\partial t}, \quad (45.1)$$

只是出于附带的目的, 即推导磁场能量的表达式 (§30)。

物质内的交变电磁场的特征, 主要决定于物质的种类和场频率的数量级。在本节内, 我們来研究在外加交变磁场内的大导体内所发生的现象。这时我們假定, 场的变化速度不很大, 而且满足下面所提出的一系列条件。满足这些条件的电磁场和电流, 称为准静态的。

首先我們假定对应于(真空内或导体周围媒质内)场频率 ω 的波长 $\lambda \sim \frac{c}{\omega}$ 大于导体的綫度 l :

$$\omega \ll \frac{c}{l}.$$

于是在任何时刻, 描写导体外的磁场分布可利用静磁场方程:

$$\operatorname{div} \mathbf{B} = 0, \quad \operatorname{rot} \mathbf{H} = 0, \quad (45.2)$$

其中略去了由于电磁扰动传播速度有限所引起的各种效应。不言而喻, 只在离导体不大的距离(小于 λ)内, 才容許这种忽略(这在任何情况下对确定导体内的场是完全足够的)。

导体内的完全场方程组包括(45.1)式和下列方程^①:

① 在各向异性物体內, 在(45.4)式右侧, 代替 $\sigma \mathbf{E}$, 应为具有分量 $\sigma_{ik} E_k$ 的矢量。

$$\operatorname{div} \mathbf{B} = 0, \quad (45.3)$$

$$\operatorname{rot} \mathbf{H} = \frac{4\pi}{c} \sigma \mathbf{E}. \quad (45.4)$$

严格说来，其中第二式只是对恒定电流和恒定磁场而引进的。因此，还必须指出能够相当精确地应用这方程于交变电场的条件。在(45.4)式内，电流与电场强度的关系由关系式 $\mathbf{j} = \sigma \mathbf{E}$ 得出，其中 σ 为常数，属于静态情况。如果场的变化周期大于微观导电机构的特征时间，即存在这种关系。换句话说，场的频率必须小于导体内电子自由路程时间的倒数。对典型的金属而言（在室温下），这条件所容许的临界频率，在光谱的红外区域内^①。

但是除此以外，在现在的情况下还有另一个条件限制着场方程的应用。因为这些方程是宏观方程，因而假定了电子的自由路程长度小于场发生显著变化的距离。下面我们将再讨论这一条件。

在(45.1)和(45.4)式内， \mathbf{E} 是由交变磁场所引起的感应电场强度。如果已知 \mathbf{H} ，则由(45.4)式可直接求出场 \mathbf{E} 。从(45.1)和(45.4)式内消去 \mathbf{E} ，得到 \mathbf{H} 的方程为

$$\frac{4\pi}{c^2} \frac{\partial \mathbf{B}}{\partial t} = - \operatorname{rot} \frac{\operatorname{rot} \mathbf{H}}{\sigma}. \quad (45.5)$$

在电导率 σ 和磁导率 μ 为常数的均匀媒质内，可以将因子 $\frac{1}{\sigma}$ 从符号 rot 内取出，而按照(45.3)式，我们有 $\operatorname{div} \mathbf{B} = \mu \operatorname{div} \mathbf{H} = 0$ 。因此， $\operatorname{rot} \operatorname{rot} \mathbf{H} = -\Delta \mathbf{H}$ ，于是我们得到方程：

^① 对于不良导体（例如半导体），(45.4)式的应用还要求遵守另一个条件，它甚至更强的条件。在这种导体内，同时引进电导率和介电常数是有意义的。于是在(45.4)式的右侧，应添上一项 $-\frac{\epsilon}{c} \frac{\partial \mathbf{E}}{\partial t}$ ，它比 $\frac{4\pi}{c} \sigma \mathbf{E}$ 小的条件为 $\frac{\sigma}{\omega} \gg \epsilon$ 。在良导体内（金属），在电导率仍可假定为常数全部频率区域内，实际上 $\frac{\sigma}{\omega} \gg 1$ （参阅 260 页上的底注）。

$$\Delta \mathbf{H} = \frac{4\pi\mu\tau}{c^2} \frac{\partial \mathbf{H}}{\partial t}, \quad (45.6)$$

这个方程和方程 $\operatorname{div} \mathbf{H} = 0$ 构成了确定磁场的完全方程组。应该指出, (45.6) 式具有导热方程的形式, 而且 $\frac{c^2}{4\pi\sigma\mu}$ 起着测温系数 χ 的作用。

在导体表面上, 磁场的边界条件可从方程本身的形状明显看出, 和前面一样, 这些边界条件为

$$B_{n1} = B_{n2}, \quad H_{t1} = H_{t2}. \quad (45.7)$$

(45.4) 右侧的表达式, 由于它本身的局限性, 并不影响其中的第二个条件。当 $\mu = 1$ 时, 可以简单地写为^①

$$\mathbf{H}_1 = \mathbf{H}_2. \quad (45.8)$$

H_t 为连续的条件导致 $(\operatorname{rot} \mathbf{H})_n$ 也是连续的, 而且按照 (45.4) 式, 导致 $(\sigma \mathbf{E})_n$ 也是连续的。但在导体外, $\sigma = 0$, 因此我们得到结论, 在导体表面上,

$$E_n^{(i)} = 0,$$

式中的上角标 (i) 系指导体内的场而言。和 E_n 一样, $j_n = \sigma E_n$ 也变为零。由此可见, 我们所研究的方程组自动地使电流密度的法向分量变为零 (在导体表面上)。换句话说, 在所考虑的近似内, 交变磁场的存在, 并不会引起导体表面上出现自由电荷。

如果导体是复合导体, 而且它的各段的电导率不相同, 则仅由 (45.8) 式的边界条件, 并不足以对问题作出完全的表述。在两段导体的分界面上, 除了 \mathbf{H} 为连续外, 还必须考虑到 \mathbf{E}_t 的连续性条

① 对于通常的抗磁体或顺磁体, μ 非常接近于 1, 在下面的公式内计入 μ , 对精确度的提高没有意义。与 1 相差很大的 μ 值, 出现在铁磁金属内, 描写这种金属的磁性质 (在很弱的场内) 是利用它的磁导率。但是在这些物质内, μ 的色散 (μ 对频率 ω 的依赖关系) 出现很早, 从而使 μ 实际上减小到 1。由于这一情况, 在本章各节内, 我们假定 $\mu = 1$ 。

件;对磁場而言,这个条件表明

$$\frac{(\text{rot } \mathbf{H})_{t_1}}{\sigma_1} = \frac{(\text{rot } \mathbf{H})_{t_2}}{\sigma_2} \quad (45.9)$$

建立了基本方程后,我們进而来研究它們所描写的交变場的特征。

假定导体是在某一时刻已移去了場源的磁場内。这时导体內的以及导体周圍的場并不是立刻变为零,場随時間的衰减过程由(45.6)式决定。要求出这种問題的解,仿照数学物理中的普遍方法,必須按下列方式进行。我們求出(45.6)式的解为

$$\mathbf{H} = \mathbf{H}_m(x, y, z)e^{-\gamma_m t},$$

其中 γ_m 为常数。对于函数 $\mathbf{H}_m(x, y, z)$, 得到方程

$$\frac{c^2}{4\pi\sigma}\Delta\mathbf{H}_m = -\gamma_m\mathbf{H}_m. \quad (45.10)$$

在給定的导体形状下,这些方程只对 γ_m 的一定值有不为零的解(滿足必要的边界条件),这些 γ_m 值构成(45.10)式的“本征值”。全部 γ_m 值均为实正值^①,而与它們对应的函数 $\mathbf{H}_m(x, y, z)$, 則組成相互正交的完全的矢量函数組。設在起始時刻的場分布为函数 $\mathbf{H}_0(x, y, z)$ 所給出。把它按函数組 \mathbf{H}_m 展开:

$$\mathbf{H}_0(x, y, z) = \sum_m c_m \mathbf{H}_m(x, y, z),$$

于是我們得到問題的解为

① 这点由下列方法容易证明。为了避免必須計及导体表面的边界条件,我們从(45.5)式出发,其中可以假定,在导体外, σ 以連續方式趋近于零,在方程

$$-\frac{4\pi}{c^2}\gamma_m\mathbf{H}_m = -\text{rot} \frac{\text{rot } \mathbf{H}_m}{\sigma}$$

的兩側乘上 \mathbf{H}_m^* , 并对整个空間进行积分,我們得到

$$\frac{4\pi}{c^2}\gamma_m \int |\mathbf{H}_m|^2 dV = \int \mathbf{H}_m^* \text{rot} \frac{\text{rot } \mathbf{H}_m}{\sigma} dV = \int \frac{1}{\sigma} |\text{rot } \mathbf{H}_m|^2 dV,$$

由此可以看出, γ_m 取实正值。

$$\mathbf{H}(x, y, z, t) = \sum_m c_m e^{-\gamma_m t} \mathbf{H}_m(x, y, z), \quad (45.11)$$

这个解给出场随时间的衰减方式。

场的衰减速度主要由上述和数中相应于 γ_m 的最小值的项决定；设这个最小值为 γ_1 。于是场的“衰减时间”可定义为 $\tau = \frac{1}{\gamma_1}$ 。

从(45.10)式可以看出这一时间的数量级。因为 $\Delta \mathbf{H} \sim \frac{\mathbf{H}}{l^2}$ (其中 l 为导体的线度)，因此，

$$\tau \sim \frac{4\pi\sigma l^2}{c^2}. \quad (45.12)$$

另一类问题是导体在频率为 ω 的外加交变磁场内的行为问题。透入导体内的磁场在导体内感生出交变电场，而这电场又引起电流的出现(称为傅科电流)。从上面所指出的方程(45.6)与导热方程的相似性出发，对于磁场透入导体内部的特征，可以得到一般的概念。从导热理论得知，满足这个方程的量，在时间 t 内在空间中“传播”的距离约为 $\sqrt{\chi t}$ 。因此，我们可以立即得出结论，磁场“透入”导体内的距离 δ 的数量级为

$$\delta \sim \sqrt{\frac{c^2}{\sigma\omega}}.$$

当然对由它所感生的电场和电流而言，情况也是一样。

在频率为 ω 的交变场内，全部量对时间的关系由因子 $e^{-i\omega t}$ 给出。这时(45.6)式的形式变为

$$\Delta \mathbf{H} = -\frac{4\pi i\sigma\omega}{c^2} \mathbf{H}. \quad (45.13)$$

我们来研究两种极限情况。如果“透入深度” δ 大于导体的线度(频率很小)，则在第一近似下，可以令(45.13)式的右侧为零。于是，在任何时刻的磁场分布，将和高导体很远处的外磁场保持给定值时的稳定情况的场分布完全相同。我们把这个解表示为 $\mathbf{H}_{\text{稳定}}$ ；

这解与频率无关(更精确一点说,频率只包含在时间因子 $e^{-i\omega t}$ 内)。于是,只在 ω 的下一级近似下,才出现感生电场,因为在稳定情况下,这种感生电场一般不存在。这相应于下列事实:按照(45.4)式从 $\mathbf{H}_{\text{稳定}}$ 计算 \mathbf{E} 时,我们得到零,因为 $\text{rot } \mathbf{H}_{\text{稳定}} = 0$ 。因此,要算出 \mathbf{E} ,必须应用(45.1)式,按照这个式子,

$$\text{rot } \mathbf{E} = i \frac{\omega}{c} \mathbf{H}_{\text{稳定}}. \quad (45.14)$$

于是这个方程和方程 $\text{div } \mathbf{E} = 0$ [当 σ 在导体内不变时,由(45.4)式得出]就完全确定了电场的分布。应该指出,它与频率 ω 成正比。

现在转到相反的极限情况: $\delta \ll l$ (频率很大)。本节开头所提到的宏观场方程的应用条件,要求 δ 必须大于传导电子的自由路程长度 $\textcircled{1}$ 。

当 $\delta \ll l$ 时,磁场只能透入导体很薄的表面层内。在计算导体外的场时可以略去这层的厚度,也即是假定磁场一般不会透入导体内部。在这种意义上,高频磁场内的导体,其行为和恒定场内的超导体相同,而要计算出超导体外的场,必须解相同形状的超导体的相应的稳定问题。

如果把导体面的各小区域看作平面,就可以在普遍形式下研究导体表面层内实际的场分布。于是必须对平面所包围的导电媒质,求出(45.13)式的解,在平面外的场具有给定值,我们用 $\mathbf{H}_0 e^{-i\omega t}$ 表示它。如上面所示,由对半无限媒质求出这问题的解,就可以得到这一矢量,这个矢量与导体面平行。由于边界条件(45.8),导体表面的磁场也等于 $\mathbf{H}_0 e^{-i\omega t}$ 。

选择导体面为 xy 平面,而且导电媒质充满一半空间 $z > 0$ 。由

$\textcircled{1}$ 在金属内,实际上正是这个条件最先被破坏(当频率增加时)。条件 $\omega \ll \frac{1}{\tau}$ 对于电导率小的半导体,是一个更强的条件,其中 τ 是自由路程时间。

于问题的条件对于方向 x 和 y 是齐次的, 因而所求的磁场 \mathbf{H} 只依赖于 z 坐标(和时间)。所以我们得到 $\operatorname{div} \mathbf{H} = \frac{\partial H_z}{\partial z} = 0$, 因为在边界上 $H_z = 0$, 因而处处 $H_z = 0$ 。按照(45.13)式, 我们得到 \mathbf{H} 的方程为

$$\frac{\partial^2 \mathbf{H}}{\partial z^2} + k^2 \mathbf{H} = 0,$$

式中

$$k = \sqrt{\frac{4\pi\sigma\omega}{c^2}} i = \frac{\sqrt{2\pi\sigma\omega}}{c} (1+i).$$

这个方程的解在离导体面很远处 ($z \rightarrow \infty$) 变为零, 它与 e^{ikz} 成正比。

再考虑到 $z=0$ 时的边界条件, 我们得到

$$\mathbf{H} = H_0 e^{-\frac{z}{\delta}} e^{i\left(\frac{z}{\delta} - \omega t\right)}, \quad (45.15)$$

式中“透入深度” δ 定义为

$$\delta = \frac{c}{\sqrt{2\pi\sigma\omega}}, \quad k = \frac{1+i}{\delta}. \quad (45.16)$$

现在利用(45.4)式求出电场。引进 z 方向的单位矢量 \mathbf{n} , 我们得到

$$\mathbf{E} = \sqrt{\frac{\omega}{8\pi\sigma}} (1-i) [\mathbf{Hn}]. \quad (45.17)$$

注意到 $E \sim \left(\frac{\delta}{\lambda}\right) H$.

如果磁场 $H_0 e^{-i\omega t}$ 是“线极化的”, 则由适当选择时间的计算原点, 可以使 H_0 为实值。然后, 我们选择这矢量的方向为 y 轴方向。取(45.16)和(45.17)式的实数部分, 我们得到

$$\begin{aligned} H_y = H &= H_0 e^{-\frac{z}{\delta}} \cos\left(\frac{z}{\delta} - \omega t\right), \\ E_x = E &= H_0 \sqrt{\frac{\omega}{4\pi\sigma}} e^{-\frac{z}{\delta}} \cos\left(\frac{z}{\delta} - \omega t - \frac{\pi}{4}\right). \end{aligned} \quad (45.18)$$

于是傅科电流密度 $\mathbf{j} = \sigma \mathbf{E}$ 的分布定律和电场的相同。

傅科电流的发生,引起场能量的耗散,它以焦耳热的形式放出来。在 1 秒内导体内所耗散的平均(对时间而言)能量 Q 等于

$$Q = \int \mathbf{j} \mathbf{E} dV = \int \sigma \overline{E^2} dV.$$

也可以作为 1 秒内从外部流入导体内的平均场能来算出 Q , 也就是积分:

$$Q = \oint \bar{\mathbf{S}} d\mathbf{f} = \frac{c}{4\pi} \int [\overline{\mathbf{E}\mathbf{H}}] d\mathbf{f}, \quad (45.19)$$

这积分对导体的表面进行①。

我们从上面看到,在 $\delta \gg l$ 的极限情况下,导体内的磁场的振幅与频率无关,而电场的振幅则与 ω 成正比。因此,在小频率时,耗散能量 Q 与 ω^2 成正比。

在 $\delta \ll l$ 的情况下,导体表面的磁场和电场,由(45.15)式和(45.17)式求出,其中 $z=0$ 。坡印廷矢量垂直于导体表面,而它的平均值为

$$\mathbf{S} = \frac{c}{16\pi} \sqrt{\frac{\omega}{2\pi\sigma}} |\mathbf{H}_0|^2,$$

而且如上面所指出的, \mathbf{H}_0 沿导体表面的变化,可以由解相同形状

① 如果把任何两个量 $a(t)$ 和 $b(t)$ 写成复数形式(与 $e^{-i\omega t}$ 成正比),则在计算它们的乘积时,首先当然必须取实值部份。但是,如果我们感兴趣的只是这乘积的平均值(对时间取平均),则可以算出为

$$\frac{1}{2} \operatorname{Re}\{ab^*\}.$$

实际上,含有因子 $e^{\pm 2i\omega t}$ 的项在平均后变为零,因此得

$$\frac{1}{4} \overline{(a+a^*)(b+b^*)} = \frac{1}{4} (ab^* + a^*b).$$

特别是,按照下式

$$\bar{\mathbf{S}} = \operatorname{Re} \left\{ \frac{c}{4\pi} \frac{1}{2} [\mathbf{E}\mathbf{H}^*] \right\}. \quad (45.19a)$$

可以算出 $\bar{\mathbf{S}}$ 为“坡印廷复数矢量”的实值部分。

的超导体外的磁場問題求出。能量耗散为

$$Q = \frac{c}{16\pi} \sqrt{\frac{\omega}{2\pi\sigma}} \oint |\mathbf{H}_0|^2 df. \quad (45.20)$$

注意到, 当高频率时, Q 与 $\sqrt{\omega}$ 成正比。

能量耗散也可以用导体在磁場内所得到的总磁矩 \mathcal{M} 来表示。在周期場内, 磁矩也是频率相同的时间的周期函数。按照(3.14)式, 导体自由能随时间的变化由下列导数得出:

$$-\mathcal{M} \frac{d\mathcal{S}}{dt},$$

式中 \mathcal{S} 是导体所在的外均匀磁場。

从这个式子还不能直接给出所求的能量耗散, 因为导体的能量改变, 不但由于耗散作用, 而且也由于导体与周围場之间的周期性的能量转移。如果我们对于时间求平均值, 则后一部分为零, 由此可见, 单位时间内的平均能量耗散为

$$Q = -\overline{\mathcal{M} \frac{d\mathcal{S}}{dt}}. \quad (45.21)$$

如果将 \mathcal{M} 和 \mathcal{S} 写为复数形式, 则 $\dot{\mathcal{S}} = -i\omega\mathcal{S}$, 而 Q 可以算出为

$$Q = -\frac{1}{2} \operatorname{Re}\{i\omega \mathcal{M}\mathcal{S}^*\} = \frac{\omega}{2} \operatorname{Im}\{\mathcal{M}\mathcal{S}^*\} \quad (45.22)$$

(关于这里出现的因子 $\frac{1}{2}$, 参阅 262 頁上的底注)。

磁矩 \mathcal{M} 的分量是外磁場的线性函数:

$$\mathcal{M}_i = V \alpha_{ik} \mathcal{S}_k, \quad (45.23)$$

式中无量纲系数 $\alpha_{ik}(\omega)$ 决定于导体的形状和它在外場中的取向(但与它的体积 V 无关); 假定这个式子内的 \mathcal{M} 和 \mathcal{S} 写为复数形式, 于是量 α_{ik} 一般說来也是复数。張量 $V\alpha_{ik}$ 可以称为整个导体的磁极化率張量。下面将证明 (§ 88), 这張量是对称的:

$$\alpha_{ik} = \alpha_{ki}. \quad (45.24)$$

利用这一性质, 可以写为

$$\begin{aligned} \mathcal{M} \mathcal{S}^* &= V \alpha_{ik} \mathcal{S}_i^* \mathcal{S}_k = \frac{V}{2} \alpha_{ik} (\mathcal{S}_i^* \mathcal{S}_k + \mathcal{S}_i \mathcal{S}_k^*) = \\ &= V \alpha_{ik} \operatorname{Re} \{ \mathcal{S}_i \mathcal{S}_k^* \}. \end{aligned}$$

此外, 如果把复数量 α_{ik} 写为

$$\alpha_{ik} = \alpha'_{ik} + i \alpha''_{ik},$$

则对于耗散能量(45.22), 我們得到

$$Q = \frac{V}{2} \omega \alpha''_{ik} \operatorname{Re} \{ \mathcal{S}_i \mathcal{S}_k^* \}. \quad (45.25)$$

由此可見, 能量耗散由物体磁极化率的虚数部分决定。我們从上面已看到, 当频率低时, Q 与 ω^2 成正比, 而频率高时则与 $\sqrt{\omega}$ 成正比。因此, 可以作出結論, 在这两种极限情况下, 量 α''_{ik} 分别与 ω 和 $\omega^{-\frac{1}{2}}$ 成正比。当 $\omega \rightarrow 0$ 或 $\omega \rightarrow \infty$ 时, α''_{ik} 都减少, 因而在中間区域内必有一极大值。

在交变磁場内, 导体的磁矩主要是由于导体内的传导电流所产生的; 甚至当 $\mu=1$, 靜磁矩变为零时, 它也不为零。取 $\omega \rightarrow 0$ 的极限, 于是后者可从 $\mathcal{M}(\omega)$ 得到。由此得出, 磁极化率的实值部分 α'_{ik} , 当 $\omega \rightarrow 0$ 时, 趋近于定值 ($\mu=1$ 时趋于零), 这定值相应于恒定磁場内的磁化强度。在 $\omega \rightarrow \infty$ 的极限情况下, 这时磁場不透入导体内部, 于是量 α'_{ik} 趋近于另一极限值, 相应于相同形状的超导体的靜磁化强度。

例 題

1. 試求均匀的周期的外磁場内半徑为 a 的各向同性导电球的磁极化率。

解. 球内的磁場 $\mathbf{H}^{(i)}$ 满足方程:

$$\Delta \mathbf{H}^{(i)} + k^2 \mathbf{H}^{(i)} = 0, \quad \operatorname{div} \mathbf{H}^{(i)} = 0$$

$$\left(k = \frac{1+i}{\delta} \right).$$

我們把这場写为 $\mathbf{H}^{(i)} = \text{rot} \mathbf{A}$, 同时 \mathbf{A} 满足方程 $\Delta \mathbf{A} + k^2 \mathbf{A} = 0$; 因为 \mathbf{H} 是軸矢量, 因而 \mathbf{A} 是极矢量。由于球是对称的, 于是唯一与解有关的恒定矢量是外磁场的强度 \mathcal{S} 。我們用 f 表示标量方程: $\Delta f + k^2 f = 0$ 的球对称的解:

$$f = \frac{\sin kr}{r}.$$

于是满足矢量方程 $\Delta \mathbf{A} + k^2 \mathbf{A} = 0$ 、而且与恒定軸矢量 \mathcal{S} 为綫性关系的极矢量 \mathbf{A} , 可以写为

$$\mathbf{A} = \beta \text{rot}(f\mathcal{S})$$

(β 为常数)。由此可見, 求得 $\mathbf{H}^{(i)}$ 的形式为

$$\begin{aligned} \mathbf{H}^{(i)} &= \beta \text{rot rot}(f\mathcal{S}) = \\ &= \beta \left(\frac{f'}{r} + k^2 f \right) \mathcal{S} - \beta \left(\frac{3f'}{r} + k^2 f \right) \mathbf{n}(\mathbf{n}\mathcal{S}), \end{aligned}$$

式中 \mathbf{n} 是 \mathbf{r} 方向的单位矢量(利用方程 $\Delta f + k^2 f = 0$, 二次导数 f'' 被消去)。

球外的磁场 $\mathbf{H}^{(e)}$ 满足方程 $\text{rot} \mathbf{H}^{(e)} = 0$ 和 $\text{div} \mathbf{H}^{(e)} = 0$ 。我們把它写为 $\mathbf{H}^{(e)} = -\text{grad} \varphi + \mathcal{S}$, 而且 φ 满足方程 $\Delta \varphi = 0$, 但在无穷远处变为零。这函数 φ 与恒定矢量 \mathcal{S} 为綫性相依, 其形式为

$$\varphi = -\alpha V \mathcal{S} \nabla \frac{1}{r}$$

($V = \frac{4\pi a^3}{3}$)。由此可見, 求得 $\mathbf{H}^{(e)}$ 的形式为

$$\mathbf{H}^{(e)} = V\alpha \text{grad} \left(\mathcal{S} \nabla \frac{1}{r} \right) + \mathcal{S} = \frac{V\alpha}{r^3} [3\mathbf{n}(\mathbf{n}\mathcal{S}) - \mathcal{S}] + \mathcal{S}.$$

显然地, $\alpha V \mathcal{S}$ 是球的磁矩, 于是 $V\alpha$ 是球的磁极化率(由于球的对称性, 張量 a_{ik} 变成标量 $a_{ik} = \alpha \delta_{ik}$)。

在球面上($r = a$), \mathbf{H} 的全部分量为連續的。分別令与 \mathbf{n} 平行和垂直的各分量相等, 我們就可得到确定 α 和 β 的两个方程。对于我們感兴趣的磁极化率(属于单位体积), 得到

$$\alpha = \alpha' + i\alpha'' = -\frac{3}{8\pi} \left[1 - \frac{3}{a^2 k^2} + \frac{3}{ak} \text{ctg} ak \right],$$

$$\alpha' = -\frac{3}{8\pi} \left[1 - \frac{3}{2} \frac{\delta}{a} \frac{\text{sh}\left(\frac{2a}{\delta}\right) - \sin\left(\frac{2a}{\delta}\right)}{\text{ch}\left(\frac{2a}{\delta}\right) - \cos\left(\frac{2a}{\delta}\right)} \right],$$

$$\alpha'' = -\frac{9\delta^2}{16\pi a^2} \left[1 - \frac{a}{\delta} \frac{\operatorname{sh}\left(\frac{2a}{\delta}\right) + \sin\left(\frac{2a}{\delta}\right)}{\operatorname{ch}\left(\frac{2a}{\delta}\right) - \cos\left(\frac{2a}{\delta}\right)} \right].$$

在小频率的极限情况下($\delta \gg a$),

$$\alpha' = -\frac{1}{105\pi} \left(\frac{a}{\delta}\right)^4 = -\frac{4\pi a^4 \sigma^2 \omega^2}{105 c^4},$$

$$\alpha'' = \frac{1}{20\pi} \left(\frac{a}{\delta}\right)^2 = \frac{a^2 \sigma \omega}{10c^2}.$$

对于频率很高的情况($\delta \ll a$),

$$\alpha' = -\frac{3}{8\pi} \left[1 - \frac{3\delta}{2a} \right] = -\frac{3}{8\pi} \left[1 - \frac{3c}{2a\sqrt{2\pi\sigma\omega}} \right],$$

$$\alpha'' = \frac{9}{16\pi} \frac{\delta}{a} = \frac{9c}{16\pi a\sqrt{2\pi\sigma\omega}}.$$

极限值 $\nabla\alpha' = -\frac{a^3}{2}$ 相应于超导球的磁矩, 而 α'' 的值借助于(45.20)式, 利用超导球表面的磁场公式(42.3), 即可求得。

2. 与上题相同, 试求导电柱体(半径为 a) 在与其轴垂直的均匀周期外磁场内的磁极化率。

解. 这个问题是例题 1 的“二维类似”; 下面的全部矢算是在垂直于柱体轴的平面内的二维运算, 而 \mathbf{r} 是这平面内的径向矢量。柱体内的磁场为

$$\begin{aligned} \mathbf{H}^{(i)} &= \beta \operatorname{rot} \operatorname{rot}(f\mathcal{S}) = \\ &= \beta \left(\frac{f'}{r} + k^2 f \right) \mathcal{S} - \beta \left(\frac{2f'}{r} + k^2 f \right) \mathbf{n}(\mathbf{n}\mathcal{S}), \end{aligned}$$

式中 $f = J_0(kr)$ 是二维方程 $\Delta f + k^2 f = 0$ 的对称解, 它在 $r=0$ 时取有限值。柱体外的场为

$$\begin{aligned} \mathbf{H}^{(e)} &= -2\alpha V \operatorname{grad}(\mathcal{S} \nabla \ln r) + \mathcal{S} \\ &= \frac{2\alpha V}{r^2} [2\mathbf{n}(\mathbf{n}\mathcal{S}) - \mathcal{S}] + \mathcal{S} \end{aligned}$$

($V = \pi a^2$)。柱体单位长度的磁矩为 $\nabla\alpha\mathcal{S}$ (参阅 § 3 例题 2)。和例题 1 一样, 当 $r=a$ 时, 从条件 $\mathbf{H}^{(i)} = \mathbf{H}^{(e)}$, 我们得到

$$\alpha = -\frac{1}{2\pi} \left[1 - \frac{2 J_1(ka)}{ak J_0(ka)} \right]$$

[此处利用了关系式 $J_0'(kr) = -kJ_1(kr)$]。

当 $\delta \gg a$ 时, 按 ka 幂展开貝塞耳函数, 我們得到

$$\alpha' = -\frac{1}{24\pi} \left(\frac{a}{\delta}\right)^4 = -\frac{\pi a^4 \sigma^2 \omega^2}{6c^4},$$

$$\alpha'' = \frac{1}{8\pi} \left(\frac{a}{\delta}\right)^2 = \frac{a^2 \sigma \omega}{4c^2}.$$

当 $\delta \ll a$ 时, 利用貝塞耳函数的渐近表达式, 我們得到

$$\alpha' = -\frac{1}{2\pi} \left(1 - \frac{\delta}{a}\right) = -\frac{1}{2\pi} \left(1 - \frac{c}{a\sqrt{2\pi\sigma\omega}}\right),$$

$$\alpha'' = \frac{1}{2\pi} \frac{\delta}{a} = \frac{c}{2\pi a\sqrt{2\pi\sigma\omega}}.$$

3. 所求与上題相同, 但磁場与柱体軸平行。

解. 在整个空間內, 磁場与柱体軸平行. 在柱体外, $\mathbf{H}^{(e)} = \mathcal{S}$, 而在柱体内, $\mathbf{H}^{(i)} = f\mathcal{S}$, 式中 f 是二維方程 $\Delta f + k^2 f = 0$ 的对称解, 当 $r = a$ 时这解变为 1:

$$\mathbf{H}^{(i)} = \mathcal{S} \frac{J_0(kr)}{J_0(ka)}.$$

柱体内的傅科电流是环流的(即在柱坐标系中, \mathbf{j} 只有分量 j_φ), 按照

$$\frac{4\pi j}{c} = -\frac{\partial H}{\partial r},$$

从 $\mathbf{I}_z = H$, 可以求得傅科电流的值. 柱体单位长度的磁矩 $\mathcal{M} = \pi a^2 \alpha \mathcal{S}$ 是由传导电流所产生的, 其方向与柱体軸平行, 并且等于

$$\mathcal{M} = \frac{1}{2c} \int j r dV = -\frac{1}{4} \int \frac{\partial H}{\partial r} r^2 dr.$$

計算积分后, 我們得到

$$\alpha = -\frac{1}{4\pi} \left[1 - \frac{2 J_1(ka)}{ka J_0(ka)} \right].$$

由此可見, 柱体的纵向极化率只有例題 2 所求出的横向极化率的二分之一。

4. 試求导体球內磁場衰减系数中的最小值。

解. 球导体的(45.10)式的解中, 包含不同对称性的函数. 其中最对称性的解是由任意恒定标量所定义的解. 但是由于下列原因, 它不可能存在。

因为这种解是球对称的: $H = H_r(r)$, 而且由于方程 $\text{div } \mathbf{H} = \frac{1}{r} \frac{\partial}{\partial r}(rH) = 0$ (这

式子無論在球內或球外都正确), 因而 $H = \frac{\text{常数}}{r}$. 但是, 这函数不滿足在球中

心上为有限的条件。

γ 的最小值相应于由任意恒定矢量所定义的解之一。显然, 这些解的形式与例题 1 内所得到的相同, 所不同的只是, 在 $\mathbf{H}^{(e)}$ 场内, 必须略去常数项, 因为在无穷远处, 必须 $\mathbf{H}=0$ 。这时 k 是实数量 ($k^2 = \frac{4\pi\sigma\gamma}{c^2}$), 而矢量 \mathcal{S} 为任意的恒定矢量。当 $r=a$ 时, 从边界条件 $\mathbf{H}^{(i)} = \mathbf{H}^{(e)}$, 我们得到二个方程, 从其中消去 α 和 β 后, 得到 $\sin ka = 0$ 。这个方程不为零的最小根是 $ka = \pi$, 于是 γ 的最小值为

$$\gamma = \frac{\pi c^2}{4\sigma a^2}.$$

§ 46. 趋肤效应

我们现在来研究导体内流过不为零的总交变电流时, 电流密度在导体截面上的分布。根据前一节内所得到的结果, 我们可以预见到, 当频率增加时, 电流将主要集中在导体表面附近。这种现象称为趋肤效应。

精确地求解趋肤效应问题, 一般说来, 不但依赖于导体的形状, 而且也依赖于导体内电流的激发方式, 也即是依赖于产生感应电流的外加交变磁场的特性。但是一种重要的情况是假定电流的分布与电流的激发方式无关。这就是导线粗度小于其长度的细导线内的电流。

计算细导线截面上的电流分布, 可以假定细导线为直线。这时电场与导线轴平行, 而磁场矢量 \mathbf{H} 在与轴垂直的平面内。

我们研究圆截面的导线。这种情况特别简单, 因为导线外的场形式可以预先知道。实际上, 由于导体表面上的对称性, $E = \text{常数}$ (在任何给定时刻)。但是在这种边界条件下, 在导线外的空间内, 方程 $\text{div } \mathbf{E} = 0, \text{rot } \mathbf{E} = 0$ 在整个空间内只有一个解: $E = \text{常数}$ 。根据类似的原因, 导线周围的磁场, 将和流过的恒定电流等于交变电流瞬时值时的导线周围的磁场相同。

在导线内, 电场满足方程:

$$\Delta \mathbf{E} = \frac{4\pi\sigma}{c^2} \frac{\partial \mathbf{E}}{\partial t},$$

这个方程和 \mathbf{H} 的方程(45.6)相同[我们从(45.1)和(45.4)式内消去 \mathbf{H} , 即可得到这个方程, 和由消去 \mathbf{E} 得到方程(45.6)一样]。在 z 轴为导线轴的柱面坐标系内, 场 \mathbf{E} 只有 z 分量, 而且只依赖于坐标 r 。对于频率为 ω 的周期场, 我们得到方程:

$$\frac{1}{r} \frac{\partial}{\partial r} \left(r \frac{\partial E}{\partial r} \right) + k^2 E = 0, \quad k = \frac{\sqrt{2i}}{\delta} = \frac{1+i}{\delta}, \quad (46.1)$$

式中 δ 是前一节内引入的“透入深度”(45.16)。这方程的解在 $r=0$ 处为有限, 这解为

$$E = E_z = \text{常数} \cdot J_0(kr) e^{-i\omega t} \quad (46.2)$$

(J_0 是贝塞耳函数)。电流密度 $j = \sigma E$ 按相同的定律分布。

按照(45.1)式, 从电场求得磁场 $H_\varphi = H$ 为

$$\frac{i\omega}{c} H_\varphi = (\text{rot } \mathbf{E})_\varphi = -\frac{\partial E_z}{\partial r}. \quad (46.3)$$

注意到 $J'_0(u) = -J_1(u)$, 我们得到

$$H = H_\varphi = -i \cdot \text{常数} \cdot \sqrt{\frac{4\pi\sigma i}{\omega}} J_1(kr) e^{-i\omega t} \quad (46.4)$$

其中的常数和(46.2)内的相同。在导体表面上必须 $H = \frac{2I}{ca}$, 由这一条件可以很容易地定出这一常数, 式中 a 是导线的半径, 而 I 为流过导线的总电流。

在频率很低的极限情况下 ($\frac{a}{\delta} \ll 1$), 在导线的整个截面上, 可以只取贝塞耳函数展开式的头几项:

$$\begin{aligned} E_z &= \text{常数} \cdot \left[1 - \frac{i}{2} \left(\frac{r}{\delta} \right)^2 - \frac{1}{16} \left(\frac{r}{\delta} \right)^4 \right] e^{-i\omega t}, \\ H_\varphi &= \text{常数} \cdot \frac{2\pi\sigma}{c} r \left[1 - \frac{i}{4} \left(\frac{r}{\delta} \right)^2 - \frac{1}{48} \left(\frac{r}{\delta} \right)^4 \right] e^{-i\omega t}. \end{aligned} \quad (46.5)$$

E 的振幅和电流密度的振幅, 随远离导线轴与 $\left[1 + \left(\frac{r}{2\delta}\right)^2\right]$ 成正比地增加。

在相反的高频率的极限情况下 $\left(\frac{a}{\delta} \gg 1\right)$, 在大部分的导线截面上, 可以利用熟知的渐近式:

$$J_0(u\sqrt{2i}) \sim \frac{1}{\sqrt{u}} e^{(1-i)u}, \quad (46.6)$$

这个式子当贝塞耳函数的宗量为大值时可以应用。只保留变化得最快的指数因子, 我们得到

$$\begin{aligned} E_z &= \text{常数} \cdot e^{-\frac{a-r}{\delta}} e^{i\left(\frac{a-r}{\delta} - \omega t\right)}, \\ H_\varphi &= \text{常数} \cdot (1+i) \sqrt{\frac{2\pi\sigma}{\omega}} e^{-\frac{a-r}{\delta}} e^{i\left(\frac{a-r}{\delta} - \omega t\right)}. \end{aligned} \quad (46.7)$$

这些式子当然与(45.15)—(45.17)式相同, 在强趋肤效应时, 对任何形状的导体表面都能应用。

在导线截面不为圆截面的普遍情况下, 精确计算趋肤效应是一个非常复杂的问题, 因为这时需要同时求出导线内和导线外的场。只有在强趋肤效应的极限情况下, 问题才又得到简化, 因为这时导线外的场可以定义为相同形状的超导体外的静态场 (§45)。

还应该注意到, 在强趋肤效应的情况下, 导体内的电流分布, 不但在细导线内, 而且在任何粗度的导体内, 都完全是单值的(不依赖电流的激发方式)。这从 §42 内所指出的超导体圆环内面电流分布的单值性, 可以得知。

§ 47. 复数电阻

只要交变电流的频率很低, 线性回路内电流强度的瞬时值 $J(t)$, 就可由同一时刻的电动势的值 $\mathcal{E}(t)$ 求出:

$$\mathcal{E}(t) = RJ(t), \quad (47.1)$$

式中 R 是导线对恒定电流的电阻。

但是, 在任意的频率下, 我們沒有任何理由期望在同一时刻的 \mathcal{E} 值和 J 值之間存在綫性关系。我們只能断言, 在以前任何时刻內, $J(t)$ 值必須为 $\mathcal{E}(t)$ 值的綫性函数。这种綫性关系可用符号表示为 $J = \hat{Z}^{-1}\mathcal{E}$, 或者写成逆关系式:

$$\mathcal{E} = \hat{Z}J, \quad (47.2)$$

式中 \hat{Z} 为某一綫性算符^①。如果将函数 $\mathcal{E}(t)$ 和 $J(t)$ 展开为傅里叶級数, 則对于其中每一“单色”分量(与時間的关系由因子 $e^{-i\omega t}$ 表示), 由于算符 \hat{Z} 是綫性的, 因而由算符 \hat{Z} 作用的结果归结为乘上某一个量 Z , 它与频率值的关系为

$$\mathcal{E} = Z(\omega)J. \quad (47.3)$$

函数 $Z(\omega)$ 一般說来是复数, 称为导体的复数电阻或阻抗。

由比較 (47.3) 与 (47.1) 式明显看出, 通常的电阻 R 为函数 $Z(\omega)$ 展开为 ω 的幂級数內的零次項。要求出其次的一項, 除了考虑到 R 外, 还必须考虑到导体的自感 L ^②。

我們来研究接有交变电动势 $\mathcal{E}(t)$ 的綫性迴路。按照电动势的定义, 1 秒內电场对导体內的运动电荷所作的功为 $\mathcal{E}J$ 。这功一部分轉变为焦耳热, 一部分消耗于改变电流的磁能。按照 R 和 L 的定义, 1 秒內导线內放出的焦耳热为 RJ^2 , 而电流的磁能为 $\frac{LJ^2}{2c^2}$ 。

因此, 能量守恒定义可表示为

$$\mathcal{E}J = RJ^2 + \frac{d}{dt} \frac{LJ^2}{2c^2} = RJ^2 + \frac{1}{c^2} LJ \frac{dJ}{dt},$$

或

① 我們在这里不詳細地討論这算符的普遍性质, 因为它們和将在 §§58 和 62 內詳細討論的 $\hat{\mathcal{E}}$ 的算符的性质完全相似。

② 在这里和以后, 我們把 R 和 L 理解为对恒定电流而言的量。

$$\mathcal{E} = RJ + \frac{1}{c^2} L \frac{dJ}{dt}. \quad (47.4)$$

为了运用二项式(\mathcal{E}, J^2), 必须把 \mathcal{E} 和 J 写成实函数形式。但是, 在导出了线性方程(47.4)以后, 我们可以取复数形式的单色分量: $\mathcal{E} = \mathcal{E}_0 e^{-i\omega t}$, $J = J_0 e^{-i\omega t}$ 。于是(47.4)式变成代数关系式:

$$\mathcal{E} = \left(R - \frac{i}{c^2} \omega L \right) J,$$

由此得

$$Z = R - \frac{i}{c^2} \omega L. \quad (47.5)$$

在关系式 $J = \frac{\mathcal{E}}{Z}$ 中取出实数部分, 我们得到

$$J(t) = \frac{\mathcal{E}_0}{\sqrt{R^2 + \frac{\omega^2 L^2}{c^4}}} \cos(\omega t - \varphi), \quad \text{tg} \varphi = \frac{\omega L}{c^2 R} \quad (47.6)$$

由这个公式可以求出电流的振幅和电流与电动势间的相差。

(47.5)式的实数部分和决定电路内能量耗散的电阻 R 相同。容易看出, 在 $Z(\omega)$ 为任意关系的普遍情况下, 在 $\text{Re}Z$ 和能量耗散之间存在类似的关系(保持电流强度不变)。

将回路内维持周期电流所消耗的功率 $\mathcal{E}J$ 对时间求平均值, 我们就得到不断地补偿耗散损失的那部分功率。于是, 回路中 1 秒内的能量耗散 Q 为

$$Q = \frac{1}{2} \text{Re} \{ \mathcal{E} J^* \},$$

式中 \mathcal{E} 和 J 表示为复数形式(比较 262 页上的底注)。将 $\mathcal{E} = ZJ$ 代入, 并分别将 Z 的实数部分和虚数部分表示为 Z' 和 Z'' ^①:

$$Z = Z' + iZ'', \quad (47.7)$$

① 有时称它们为有效电阻和电抗。

我們得到

$$Q = \frac{1}{2} Z' |J|^2$$

或者利用实函数 $J(t)$,

$$Q = Z'(\omega) \bar{J}^2, \quad (47.8)$$

由这个式子可得到所求的关系式。

應該注意, 既然 Q 为实在正值, 因而 Z' 也总是正的:

$$Z' > 0. \quad (47.9)$$

我們来計算任意頻率^① 时圓截面导綫的 $Z(\omega)$, 也即是这时不略去趋肤效应。为此, 我們再利用写成另一种形式的能量守恒定律。

把功率 $\mathcal{E}J$ (\mathcal{E} 和 J 是实数式) 分为兩項, 其中一項表示导綫外的磁場能的变化, 而另一項表示导綫內所消耗的总能量(包括場能变化以及热量放出所消耗的能量)。第二部分可以計算为 1 秒內通过导体表面流入导体內的总能量流。由此可見, 我們得到

$$J\mathcal{E} = \frac{d}{dt} \left(\frac{L_e J^2}{2c^2} \right) + \frac{cEH}{4\pi} 2\pi a l = \frac{L_e}{c^2} J \frac{dJ}{dt} + \frac{1}{2} cEHal,$$

式中 L_e 是导綫自感的外部分, E 和 H 是导綫表面的电場强度和磁場强度, a 为导綫的半徑, l 为长度。磁場 H 与电流 J 的关系为

$$H = \frac{2J}{ca}. \quad \text{因此, 用 } J \text{ 除上面的等式, 我們得到}$$

$$\mathcal{E} = \frac{1}{c^2} L_e \frac{dJ}{dt} + El.$$

这个方程是綫性方程, 因此, 可以化为复数形式。于是

$$\mathcal{E} = ZJ = -\frac{i\omega L_e}{c^2} J + El,$$

由此得

^① 但是, 当然滿足准靜态的条件。

$$Z = -\frac{i\omega}{c^2}L_e + \frac{lE}{J} = -\frac{i\omega}{c^2}L_e + \frac{2El}{caH}. \quad (47.10)$$

在任意频率时, 必须代入(46. 2)和(46. 4)式内的 E 和 H , 于是得

$$Z = -\frac{i\omega}{c^2}L_e + R \frac{ak}{2} \frac{J_0(ak)}{J_1(ak)} \quad (47.11)$$

($R = \frac{l}{\pi a^2 \sigma}$)。在弱趋肤效应的情况下, 我们利用展开式(46. 5), 计算精确到 $(\frac{a}{\delta})^4$ 次的项, 并取出实数部分, 我们得到

$$Z' = R \left[1 + \frac{1}{48} \left(\frac{a}{\delta} \right)^4 \right] = R \left[1 + \frac{1}{12} \left(\frac{\pi \sigma \omega a^2}{c^2} \right)^2 \right]. \quad (47.11a)$$

相反地, 在强趋肤效应的情况下, 由(46. 7)式, 我们得到

$$Z' = R \frac{a}{2\delta} = \frac{l}{ca} \sqrt{\frac{\omega}{2\pi\sigma}},$$

$$Z'' = -\frac{\omega}{c^2} \left[L_e + L_i \frac{2\delta}{a} \right] = -\frac{\omega}{c^2} \left[L_e + \frac{lc}{a\sqrt{2\pi\sigma\omega}} \right]. \quad (47.12)$$

从(47.11a)式看出, 当

$$\left(\frac{\pi \sigma \omega a^2}{c^2} \right)^2 \ll 12$$

时, 可以假定 $Z' = R$, 同时

$$\frac{Z''}{Z'} = \frac{\omega L_i}{c^2 R} = \left(\frac{\pi \sigma \omega a^2}{c^2} \right) 2 \ln \frac{l}{a}$$

[L 从(33. 1)式得出]。与上面的不等式比较, 我们看到, 设在某频率区域中可以利用(47. 5)式而不必略去其中的自感, 则这区域, 依赖于比值 $\frac{l}{a}$, 而且是比较狭窄的。

但是实际上, 最重要的情况是电路内自感的主要负载者为接入电路内的线圈, 这线圈的自感比拉长导线的自感大得多 (参阅 § 33)。在这种电路内, 可以应用(47. 5)式[也即是(47. 4)式, 其中

R 和 L 为常数] 的频率区域是相当宽的。

我們設外加交变磁場 H_0 可以用任何方式产生, 来研究这磁場內的迴路。我們用 E_0 表示导体不存在时由交变磁場 H_0 所感生的电場。和 H_0 相同, 在細导綫的粗度範圍內, E_0 的变化也很小 (这与导綫內流过的电流的場相反)。因此, 可以研究 E_0 沿电流迴路的循环, 而不必表示出这迴路通过导綫內的精确位置。这种循环量即是外加交变磁場在迴路內所感生的电动势 \mathcal{E} 。按照麦克斯韦方程的积分形式, 我們有

$$\mathcal{E} = \oint E_0 \cdot dl = -\frac{1}{c} \frac{\partial}{\partial t} \int H_0 \cdot df = -\frac{1}{c} \frac{d\Phi_0}{dt}, \quad (47.13)$$

式中 Φ_0 是通过所研究迴路的外場的磁通量。把这表达式代入方程 (47.4), 我們得到

$$RJ + \frac{1}{c^2} L \frac{dJ}{dt} = -\frac{1}{c} \frac{d\Phi_0}{dt}. \quad (47.14)$$

如果把含有自感的項移到等式右側, 則这方程可以写为

$$RJ = -\frac{1}{c} \frac{d\Phi_0}{dt} - \frac{L}{c^2} \frac{dJ}{dt} = -\frac{1}{c} \frac{d\Phi}{dt},$$

式中 $\Phi = \Phi_0 + \frac{1}{c} LJ$, 是外加磁場和电流的磁場的总磁通量。这种形式的方程表示全电路的欧姆定律, 也即是表示在电路內 RJ 等于总电动势。

表示欧姆定律的 (47.14) 式的表述形式, 也可以推广到电路形状随時間而变化的情况。这时自感 L 为時間的函数, 而 (47.14) 式变为

$$RJ = -\frac{1}{c^2} \frac{d}{dt} (LJ) - \frac{1}{c} \frac{d\Phi_0}{dt}. \quad (47.15)$$

从能量守恒定律推导这个式子时, 还必须考虑到导体发生形变时所消耗的功。

如果有若干个互相靠近的迴路，其中的电流为 J_a ，则对每一迴路而言，(47.14)式中的 Φ_e 为其余各迴路（以及外磁场，如果存在的话）所产生的磁通量之和。由电流 J_b 所产生的通过电流为 J_a 的迴路的磁通量为 $L_{ab} \frac{J_b}{c}$ ，式中 L_{ab} 是两迴路的互感系数。因此，我們得到迴路内交变电流的方程组为

$$R_a J_a + \frac{1}{c} \sum_b L_{ab} \frac{dJ_b}{dt} = \mathcal{E}_a. \quad (47.16)$$

对 b 的求和包含自感项 ($b=a$)，而 \mathcal{E}_a 为在电流系统外的场源在第 a 个迴路内所产生的电动势。

对周期电流（单色电流）而言，微分方程组(47.16)变为代数方程组：

$$\sum_b Z_{ab} J_b = \mathcal{E}_a, \quad (47.17)$$

式中量

$$Z_{ab} = \delta_{ab} R_a - \frac{i\omega}{c^2} L_{ab} \quad (47.18)$$

构成“阻抗矩阵”。和(47.5)式类似，(47.18)式代表函数 $Z_{ab}(\omega)$ 展开为频率的幂级数的头两项。

应该注意到，在这种近似下，不存在迴路对阻抗的实数部分的相互影响。这种影响的产生是由于一导体内的交变电流的磁场在另一导体内产生傅科电流，因而引起附加的能量耗散。对线性导体，这种效应可忽略不计。但是在导线附近存在大导体时，这种效应就能察觉出来。

末了，我们来研究一个问题，即本节所得到的线性迴路内交变电流的方程和任意导体内交变磁场的普遍方程的联系如何。我们从最简单的例子来研究这种联系，即研究 $t=0$ 时移去了迴路内的

恒定电动势 \mathcal{E}_0 所产生的电流。从(47.4)式, 我們有①

$$J = \frac{\mathcal{E}_0}{R} \quad \text{当 } t < 0, \quad (47.19)$$

$$J = \frac{\mathcal{E}_0}{R} e^{-\frac{c^2 R}{L} t} \quad \text{当 } t > 0.$$

我們看出, 在电动势移去以后, 电流按指数定律随時間而衰减, 其衰减率为

$$\gamma = \frac{c^2 R}{L}. \quad (47.20)$$

从精确表述问题的观点看来, 这个 γ 值是由解给定导体的精确方程(45.10)所得到的 γ_m 值中的最小值。在綫性导体的 γ_m 值中, 有一个最小值, 其数量級比其余的值小 $\ln\left(\frac{l}{a}\right)$ 倍; 这也就是(47.20)的值。

§ 48. 准稳定态电流电路内的电容

交变电流和恒定电流不同, 不但可以在閉合电路内流过, 也可以在开电路内流过。我們来研究綫性迴路, 这电路的两端和电容器的两板連接 (两板間的距离很小)。迴路内有交变电流流过时, 电容器的两板将周期性地充电和放电, 同时起着开电路内电流的“发源点”和“汇合点”的作用。

由于电容器两板間的距离很小, 因而和前面一样, 可以令电流的磁能等于 $\frac{LJ^2}{2c^2}$, 其中 L 是用一短导綫联接电容器的两板所得到的

① 严格說来, 这些公式当 t 很小时不能应用, 由于这时在函数的傅立叶展开式内, 高頻率項也很重要, 因而不能利用(47.4)式。但是在很短的时间間隔内, 电流 J 来不及显著改变, 因而由(47.19)式可以相当精确地求出以后时刻的电流值。

闭合电路内的自感。但是应用能量守恒定律时,除了考虑磁能外,还必须考虑电容器内的电场能。后者等于 $\frac{e^2}{2C}$,其中 C 为电容器的电容,而 $\pm e(t)$ 是电容器两板上的电荷。和推导(47.4)式一样,我們得到^①

$$\mathcal{E}J = RJ^2 + \frac{d}{dt} \frac{LJ^2}{2c^2} + \frac{d}{dt} \frac{e^2}{2C} = RJ^2 + \frac{1}{c^2} LJ \frac{dJ}{dt} + \frac{e}{C} \frac{de}{dt}.$$

但是电流强度 J 等于一板上电荷的减少率或另一板上电荷的增加率:

$$J = -\frac{de}{dt}.$$

用 J 除前一方程的两侧,并将其中的 J 用 e 表示,我們得到

$$\frac{1}{c^2} L \frac{d^2 e}{dt^2} + R \frac{de}{dt} + \frac{e}{C} = \mathcal{E}. \quad (48.1)$$

这也就是所求的接有电容的电路内交变电流的方程。

如果 \mathcal{E} 是频率为 ω 的时间的周期函数,則方程(48.1)变成 \mathcal{E} 与电荷 e 間的代数关系式,或者是 \mathcal{E} 与电流 $J = -i\omega e$ 間的代数关系式。因此我們有 $JZ = \mathcal{E}$,其中阻抗 Z 由下式决定:

$$Z = R - i \left(\frac{\omega L}{c^2} - \frac{1}{\omega C} \right). \quad (48.2)$$

从关系式 $J = \frac{\mathcal{E}}{Z}$ 內取出实数部分,我們得到

$$J(t) = \frac{\mathcal{E}_0 \cos(\omega t - \varphi)}{\sqrt{R^2 + \left(\frac{\omega L}{c^2} - \frac{1}{\omega C} \right)^2}}, \quad (48.3)$$

$$\operatorname{tg} \varphi = \left(\frac{\omega L}{c^2} - \frac{1}{\omega C} \right) \frac{1}{R},$$

由这个式子可求出有外加电动势 $\mathcal{E} = \mathcal{E}_0 \cos \omega t$ 的电路内的电流

^① 在这一节內略去了趋肤效应。

强度。

如果 $\mathcal{E}=0$, 则电路内的电流代表“自由的”电振荡。这种振荡的频率(复数形式)由条件 $Z=0$ 得出, 由此得

$$\omega = -i \frac{Rc^2}{2L} \pm \sqrt{\frac{c^2}{LC} - \left(\frac{Rc^2}{2L}\right)^2}. \quad (48.4)$$

根据根号前正负号的不同, 我们或者得到衰减振荡(衰减率为 $\frac{Rc^2}{2L}$), 或者得到纯粹的非周期性的衰减放电。在 $R \rightarrow 0$ 的极限情况下, 我们得到非衰减振荡, 振荡频率由熟知的汤姆逊公式得出:

$$\omega = \frac{c}{\sqrt{LC}}.$$

(48.1)式可以直接推广到带有电容器的有几个电感耦合的迴路的系统上。第 a 个迴路内的电流 J_a 与相应的电容器两板上的电荷 $\pm e_a$ 的关系为

$$J_a = \frac{de_a}{dt},$$

代替(48.1)式, 我们得到方程组:

$$\sum_b \frac{1}{c^2} L_{ab} \frac{d^2 e_b}{dt^2} + R_a \frac{de_a}{dt} + \frac{e_a}{C_a} = \mathcal{E}_a. \quad (48.5)$$

对于周期(单色)电流, 这些方程变成代数方程:

$$\sum_b Z_{ab} J_b = \mathcal{E}_a, \quad (48.6)$$

而且矩阵之 Z_{ab} 由下式得出:

$$Z_{ab} = \delta_{ab} \left(R_a + \frac{i}{\omega C_a} \right) - \frac{i\omega}{c^2} L_{ab}. \quad (48.7)$$

电流系统的本征频率由 $\mathcal{E}_a=0$ 时方程(48.6)的联立条件得出, 也是由下列行列式等于零的条件得出:

$$|Z_{ab}| = 0. \quad (48.8)$$

如果电阻 R 不为零, 则全部“频率”有虚数部分, 也即是电振荡是衰减的。

我們注意到, 方程(48. 5)在形式上与有几个自由度并作着小衰减振荡的系统的力学运动方程相同。这时起广义坐标作用的是电荷 e_a , 起广义速度作用的是电流 $J_a = \dot{e}_a$ 。系统的“拉格朗日函数”为

$$\mathcal{L} = \sum_{a,b} \frac{1}{2c^2} L_{ab} \dot{e}_a \dot{e}_b - \sum_a \frac{e_a^2}{2C_a} + \sum_a e_a \mathcal{E}_a. \quad (48. 9)$$

电流系统的磁能和电能分别起着力学系统的动能和势能的作用, 而 \mathcal{E}_a 相应于使系统发生受迫振荡的外力。 R_a 包含在“耗散函数”内:

$$R = \sum_a \frac{R_a \dot{e}_a^2}{2}. \quad (48. 10)$$

方程(48. 5)与拉格朗日方程相同:

$$\frac{d}{dt} \frac{\partial \mathcal{L}}{\partial \dot{e}_a} - \frac{\partial \mathcal{L}}{\partial e_a} = - \frac{\partial R}{\partial \dot{e}_a}. \quad (48. 11)$$

例 題

1. 試求含有自感 L_1 和 L_2 以及电容 C_1 和 C_2 的两个电感耦合迴路内电振荡的本征频率; 我們略去电阻 R_1 和 R_2 不計。

解. 所求的频率从下列条件得出:

$$|Z_{ab}| = Z_{11}Z_{22} - Z_{12}^2 = 0,$$

式中

$$Z_{11} = -i \left(\frac{\omega}{c^2} L_1 - \frac{1}{\omega C_1} \right), \quad Z_{22} = -i \left(\frac{\omega}{c^2} L_2 - \frac{1}{\omega C_2} \right),$$

$$Z_{12} = -\frac{i\omega}{c^2} L_{12}.$$

由計算給出:

$$\omega_{1,2}^2 = c^2 \frac{L_1 C_1 + L_2 C_2 \mp [(L_1 C_1 - L_2 C_2)^2 + 4C_1 C_2 L_{12}^2]^{1/2}}{2C_1 C_2 (L_1 L_2 - L_{12}^2)}.$$

两个频率都是纯实数,这是略去电阻 R_1 和 R_2 的结果。当 $L_{12} \rightarrow 0$ 时,频率 ω_1 和 ω_2 趋近于 $\frac{C}{\sqrt{L_1 C_1}}$ 和 $\frac{C}{\sqrt{L_2 C_2}}$, 这相应于两个回路分开振荡。

2. 与上题相同,但电路由电阻 R 、电容 C 和自感 L 并联而成。

解. 电路的三个分路的阻抗等于

$$Z_1 = R, \quad Z_2 = \frac{i}{\omega C}, \quad Z_3 = -\frac{i\omega}{c^2} L,$$

分路内的电流的关系式为

$$J_1 + J_2 + J_3 = 0, \\ Z_1 J_1 = Z_2 J_2 = Z_3 J_3.$$

由此得到方程:

$$\frac{1}{Z_1} + \frac{1}{Z_2} + \frac{1}{Z_3} = 0,$$

这个方程的解给出

$$\omega = -\frac{i}{2RC} \pm \sqrt{\frac{c^2}{LC} - \frac{1}{4R^2 C^2}}.$$

3. 试研究由无限个相同网孔依次串联而成的电路内电振荡的传播,网孔的阻抗为

$$Z_1 = -i\left(\frac{\omega}{c^2} L_1 - \frac{1}{\omega C_1}\right), \\ Z_2 = -i\left(\frac{\omega}{c^2} L_2 - \frac{1}{\omega C_2}\right),$$

电路如图 25 所示。试求电路内电振荡无衰减地传播的频率区域^①。

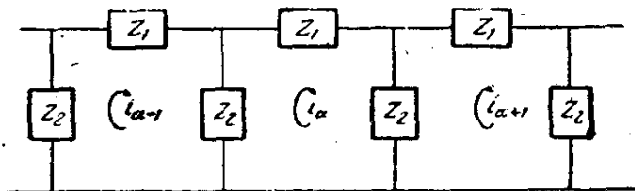


图 25

解. 我们定义电流 i_α 为每一网孔内的回路电流(图 25)。第 α 回路的克

① 准稳定态理论应用于这种周期电路的条件是每一网孔的尺度小于“波长”

希霍夫方程为

$$Z_1 i_\alpha + Z_2 (2i_\alpha - i_{\alpha-1} - i_{\alpha+1}) = 0.$$

这是常系数的线性差分方程（对整数变数 α 而言）。于是求得它的解的形式为

$$i_\alpha = \text{常数} \cdot q^\alpha$$

对于参量 q ，我們得到特性方程为

$$q^2 - \left(2 + \frac{Z_1}{Z_2}\right)q + 1 = 0. \quad (1)$$

設

$$-4 \leq \frac{Z_1}{Z_2} \leq 0,$$

这相应于 ω^2 的值在

$$\frac{c^2}{L_1 C_1} \text{ 和 } c^2 \frac{4/C_2 + 1/C_1}{4L_2 + L_1}.$$

之間。因此方程(1)有两个复数共轭根，其模量为 $|q| = 1$ 。这表明从电路的一个网孔轉到下一个网孔时，电流的振幅不衰减，也即是电振荡在电路内无衰减地傳播。在这种情况下，如果我們令 $q = e^{ikl}$ (l 是电路内一网孔的长度)，則 k 为电路内傳播的电振荡的“波矢量”。按照普遍法則，算出傳播速度 u 为导数：

$$u = \frac{d\omega}{dk}.$$

如果 ω 在所指出的范围外，則方程(1)有两个实根： q_1 和 q_2 ；因为 $q_1 q_2 = 1$ ，因而其中一根（設为 q_2 ）的绝对值小于 1，而另一根（設为 q_1 ）大于 1。容易看出，这表明电路内的电振荡不可能无衰减地傳播。为了查明其中的原因，我們来研究一很大而有限长的电路。在电路的起端注入初始振荡脉冲，而将电路的另一端用某种方式閉合起来。在数学上描写电路一端的閉合性是利用某种边界条件，由这种边界条件，在通解

$$i_\alpha = c_1 q_1^{-(\alpha_k - \alpha)} + c_2 q_2^{-(\alpha_k - \alpha)}$$

（ α_k 为电路一端的“坐标”）内，可以求出系数的比值 $\frac{c_1}{c_2}$ ，当通解取上面的形式时，这比值的数量級为 1。但是这时随着 $(\alpha_k - \alpha)$ 的增加，第二項（其中 $|q_2| < 1$ ）很快地变得比第一項小。这样一来，差不多在全电路内，除了端点附近的一小段外，解的形式都为 $i_\alpha = c_1 q_1^{-(\alpha_k - \alpha)}$ ，其中 (i_α) 从电路起端向末端而减小。

應該着重指出, 这种衰减不具有耗散吸收的特征(由于电路內无电阻, 不存在产生它的原因); 可以把它形象地描写为振蕩脉冲从电路下一网孔反射的結果。

§ 49. 导体在磁場內的运动

在前一节的叙述中, 暗中假定了导体在电磁場內是靜止的(对参考系 K 而言, \mathbf{E} , \mathbf{H} 等即是在这参考系內定义的)。特别是, 电流与电場之間的关系 $\mathbf{j} = \sigma \mathbf{E}$, 一般說来, 只适用于靜止的导体。

为了求出运动导体內电流和电場的关系式, 我們从参考系 K 变换到另一参考系 K' , 其中导体(或者它的某一部分)在所考虑的时刻是靜止的。在这参考系內, 我們有 $\mathbf{j} = \sigma \mathbf{E}'$, 其中 \mathbf{E}' 是 K' 內的电場强度。但是按照熟知的場变换公式, \mathbf{E}' 用 K 系內的場表示为^①

$$\mathbf{E}' = \mathbf{E} + \frac{1}{c} [\mathbf{v} \mathbf{B}], \quad (49.1)$$

式中的 \mathbf{v} 为参考系 K' 相对于参考系 K 的速度, 也即在現在的情况下, 为导体的速度(自然, 我們假定它小于光速)。这样一来, 我們得到

$$\mathbf{j} = \sigma \left(\mathbf{E} + \frac{1}{c} [\mathbf{v} \mathbf{B}] \right). \quad (49.2)$$

这也就是确定运动导体內的电流与电場的关系的公式。对于它的推导还必須作如下的說明。从一参考系变换到另一参考系时, 我們只是变换了場, 而电流 \mathbf{j} 則保持不变。当 $v \ll c$ 时, 电流密度的变换可能导至出現高次小的附加項。但在(49.2)式內, 由場变换产生的第二項, 一般說来不小于第一項, 虽然它包含有因子 $\frac{v}{c}$ 。例

^① 參閱“場論”第二版, § 23。电場强度和磁場强度的微观值用它們的平均值 $\bar{\mathbf{e}} = \mathbf{E}$, $\bar{\mathbf{h}} = \mathbf{B}$ 来代替。

如, 如果电场是由交变磁场的电磁感应而产生的, 则它的数量级与磁场比较, 将多包含一个因子 $\frac{1}{c}$ 。

当导体内有给定的电流流过时, 导体内的能量耗散当然可以与导体的运动无关。因此, 运动导体单位时间内所放出的焦耳热的密度, 用电流密度来表示的式子 $\frac{j^2}{\sigma}$, 和静止导体的相同。但代替乘积 \mathbf{jE} , 我们现在得到^①

$$\frac{j^2}{\sigma} = \mathbf{j} \left(\mathbf{E} + \frac{1}{c} [\mathbf{vB}] \right).$$

由此可见, 在运动导体内, $\mathbf{E} + \frac{1}{c} [\mathbf{vB}]$ 之和为产生传导电流的“有效”电场强度。因此, 在闭合电路 C 内所作用的电动势由下列积分给出:

$$\mathcal{E} = \oint_C \left(\mathbf{E} + \frac{1}{c} [\mathbf{vB}] \right) d\mathbf{l}. \quad (49.3)$$

按下列方式变换上式。根据麦克斯韦方程: $\text{rot } \mathbf{E} = -\frac{1}{c} \frac{\partial \mathbf{B}}{\partial t}$, 我们有

$$\oint_C \mathbf{E} d\mathbf{l} = \int_S \text{rot } \mathbf{E} d\mathbf{f} = -\frac{1}{c} \frac{\partial}{\partial t} \int_S \mathbf{B} d\mathbf{f},$$

或者我们用 Φ 表示通过由电流回路 C 所围成的 S 表面的磁通量, 则

^① 从这公式看出, 当导体在磁场内运动时, 导体在 δt 时间内所放出的附加热为

$$\delta t \frac{1}{c} \int \mathbf{j} [\mathbf{vB}] dV = -\frac{1}{c} \int \mathbf{u} [\mathbf{jB}] dV,$$

式中 $\mathbf{u} = \mathbf{v} \delta t$, 为 δt 时间内的位移。这量与同一时间内由体积力 $\mathbf{f} = \frac{1}{c} [\mathbf{jB}]$ 对导体所作的功大小相等, 而正负号相反, 由此可以解释 198 页上所指出的表面矛盾。

$$\oint_C \mathbf{E} d\mathbf{l} = -\frac{1}{c} \left(\frac{\partial \Phi}{\partial t} \right)_{v=0}$$

下角标为 $v=0$ 的时间导数, 表示迴路 C 的位置不变时由磁场的变化所引起的磁通量变化。

在第二項内, 我們写出 $\mathbf{v} = \frac{d\mathbf{u}}{dt}$, 其中 $d\mathbf{u}$ 为迴路元的无穷小位移。于是

$$\oint_C [\mathbf{v}\mathbf{B}] d\mathbf{l} = \int \frac{[d\mathbf{u}\mathbf{B}] d\mathbf{l}}{dt} = -\frac{\int \mathbf{B} df}{dt},$$

式中 $df = [d\mathbf{u} \cdot d\mathbf{l}]$ 为电流迴路在时刻 t 与时刻 $t+dt$ 时所占据的两无限靠近位置 C 和 C' 之间的“侧”面 S 上的面积元(图 26)。因为通过任何闭合面的总磁通量等于零, 因而十分显然, 通过“侧”面的磁通量, 等于通过 C 和 C' 所围成的表面的磁通量之差。由此可見,

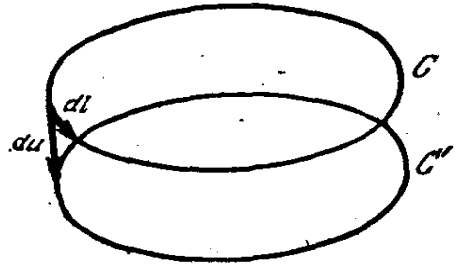


图 26

$$\oint_C [\mathbf{v}\mathbf{B}] d\mathbf{l} = -\left(\frac{\partial \Phi}{\partial t} \right)_{B=\text{常数}},$$

式中对时间的导数表示磁场不变时由导体移动所引起的磁通量变化。

把这两項相加, 最后得到

$$\mathcal{E} = -\frac{1}{c} \frac{d\Phi}{dt}, \quad (49.4)$$

式中对时间的导数现在表示通过运动迴路的磁通量的总变化。由此可見, 由(49.4)式所表示的法拉第定律, 对任何原因引起的磁通量变化都是适用的——無論是由磁场本身的变化引起的 [这已在 § 47 内討論过, 公式(47.13)], 或由导体的运动所引起的, 都是

一样。

在恒定磁场内，磁通量的变化只由迴路的移动所引起。如果迴路运动时迴路上的各点都与磁力綫平行移动，永远不与磁力綫相交，則通过迴路的磁通量也不会改变。这种情况显然是下列事实的必然结果：通过任何闭合面的磁通量为零，而通过由运动迴路所描成的“侧”面的磁通量，在这种情况下也恒等于零（因为其中 $B_n = 0$ ）。这样一来，可以说，要产生感应电动势，在任何情况下，导体都必须横穿过磁力綫而运动。

在运动导体内的电磁场由下列方程组定出：

$$\operatorname{rot} \mathbf{E} = -\frac{1}{c} \frac{\partial \mathbf{B}}{\partial t},$$

$$\operatorname{rot} \mathbf{H} = \frac{4\pi}{c} \mathbf{j} = \frac{4\pi}{c} \sigma \left(\mathbf{E} + \frac{1}{c} [\mathbf{vB}] \right),$$

$$\operatorname{div} \mathbf{B} = 0.$$

将第二式内的 \mathbf{E} 用 \mathbf{H} 表示，并代入第一式，我們得到

$$\frac{\partial \mathbf{B}}{\partial t} - \operatorname{rot} [\mathbf{vB}] = -\frac{c^2}{4\pi} \operatorname{rot} \left(\frac{\operatorname{rot} \mathbf{H}}{\sigma} \right). \quad (49.5)$$

在电导率 σ 和磁化率 μ 为常数的均匀导体内，我們有

$$\frac{\partial \mathbf{H}}{\partial t} - \operatorname{rot} [\mathbf{vH}] = \frac{c^2}{4\pi\sigma\mu} \Delta \mathbf{H}, \quad \operatorname{div} \mathbf{H} = 0. \quad (49.6)$$

这些方程推广了 § 45 内得到的结果。

但是，应该指出，如果只有一个导体完整地（即没有形变）在外磁场内运动，則采用与导体牢固連結的坐标系，可使问题的解答大为简化。在这种坐标系内，导体是静止的，而外磁场随时间的变化按照給定的定律，于是我們又回到了 § 45 内所研究的傅科电流类型的问题。但是这种变换的可能性并不是由于伽利略（或爱因斯坦）的相对性原理，因为一般说来，新坐标系不是惯性系。这两个问题的等效性是由于上面所指出的电磁感应与引起磁通量变化的

原因无关的结果。用純粹的数学方法可以证明这一点。为此，我們展开表达式 $\text{rot}[\mathbf{v}\mathbf{B}]$ ，并考虑到 $\text{div } \mathbf{B} = 0$ 和导体整个地运动时 $\text{div } \mathbf{v} = 0$ (这等式表示导体的“不可压缩性”)。于是(49.5)式的右边变为

$$\frac{\partial \mathbf{B}}{\partial t} + (\mathbf{v}\nabla)\mathbf{B} - (\mathbf{B}\nabla)\mathbf{v}. \quad (49.7)$$

但是这总和不是别的，乃是 \mathbf{B} 对时间的导数，它给出 \mathbf{B} 相对于轉动导体的变化。实际上，头两项之和为对时间的“实在”导数 $\frac{d\mathbf{B}}{dt}$ ，这导数给出以速度 \mathbf{v} 运动的点处的 \mathbf{B} 的变化。第三项为 \mathbf{B} 相对于导体的取向的变化：在导体作純粹的平动时 ($\mathbf{v} = \text{常数}$)，它等于零，当导体轉动时 ($\mathbf{v} = [\boldsymbol{\Omega}\mathbf{r}]$ ，其中 $\boldsymbol{\Omega}$ 为角速度)，它等于 $[\boldsymbol{\Omega}\mathbf{B}]$ 。

末了，我們来研究磁化导体轉动时所发生的奇异现象，称为单极感应现象。它的实质是，如果利用两滑动接头(图 27 上的 A 和 B)，将一靜止导线接到轉动的磁体上，则在导线内就会有电流流过。计算产生这种电流的电动势并不困难。为此，我們首先变换到与磁体一道轉动的坐标系。如果 $\boldsymbol{\Omega}$ 是磁体轉动的角速度，则在新坐标系内，导线轉动的角速度为 $\boldsymbol{\Omega}$ (而磁体靜止)。这样一来，我們得到：导体在由靜止磁体所产生的给定恒定磁場 \mathbf{B} 内运动；导体本身所引起的場畸变，我們略去不計。按照(49.3)式，在导线两端間作用的电动势由下列积分给出：

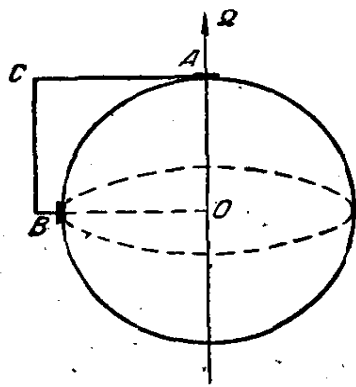


图 27

$$\mathcal{E} = \frac{1}{c} \int_{ACB} [\mathbf{v}\mathbf{B}] dl = \frac{1}{c} \int_{ACB} [\mathbf{B}[\mathbf{r}\boldsymbol{\Omega}]] dl, \quad (49.8)$$

并对导线长度进行积分。由这个公式就可以求出所提问题的解。

例 題

1. 試求在均匀恒定磁場內匀速轉动的导电球的磁矩($\mu=1$); 并求出作用在球上的力矩。

解. 設在靜止坐标系內(z 軸沿角速度矢量 Ω 的方向), 外磁場的分量为 $\mathfrak{H}_x, 0, \mathfrak{H}_z$ 。在与球一起轉动的坐标系 ξ, η, z 內, 磁場分量为

$$\mathfrak{H}_\xi = \mathfrak{H}_x \cos \Omega t, \quad \mathfrak{H}_\eta = -\mathfrak{H}_x \sin \Omega t, \quad \mathfrak{H}_z$$

或者写成复数形式

$$\mathfrak{H}_\xi = \mathfrak{H}_x e^{-i\Omega t}, \quad \mathfrak{H}_\eta = -i\mathfrak{H}_x e^{-i\Omega t}, \quad \mathfrak{H}_z$$

由此可見, 在 ξ 軸和 η 軸上作用着频率为 Ω 的交变場, 这交变場所感生的磁矩为

$$\mathcal{M}_\xi = V \operatorname{Re} \{ \alpha \mathfrak{H}_\xi \} = V \mathfrak{H}_x (\alpha' \cos \Omega t + \alpha'' \sin \Omega t),$$

$$\mathcal{M}_\eta = V \operatorname{Re} \{ \alpha \mathfrak{H}_\eta \} = V \mathfrak{H}_x (-\alpha' \sin \Omega t + \alpha'' \cos \Omega t),$$

式中 $V\alpha$ 是 § 45 例題 1 所求得的球的复数磁极化率。在 z 軸方向, 磁場保持不变, 因而不产生磁矩($\mu=1$)。磁矩相对于靜止坐标系的分量为

$$\mathcal{M}_x = V\alpha' \mathfrak{H}_x, \quad \mathcal{M}_y = V\alpha'' \mathfrak{H}_x, \quad \mathcal{M}_z = 0.$$

由此可見, 在本題內, α' 和 α'' 分別給出导电球的平行于和垂直于矢量 Ω , \mathfrak{H} 平面的磁矩分量。

作用在球上的力矩为 $\mathbf{K} = [\mathcal{M} \mathfrak{H}]$ 。力矩相对于靜止坐标軸的分量为

$$K_x = V\alpha'' \mathfrak{H}_x \mathfrak{H}_z, \quad K_y = -V\alpha' \mathfrak{H}_x \mathfrak{H}_z, \quad K_z = -V\alpha'' \mathfrak{H}_x^2.$$

2. 設一均匀磁化球繞与磁化方向相合的軸而匀速轉动, 試求均匀磁化球的一极和赤道間所发生的单极感应电动势(參閱图 27)。

解. 球所产生的磁場对于轉动軸是对称的, 而且矢量 \mathbf{B} 处处在子午面內(即矢量 \mathbf{B} , Ω 和 \mathbf{r} 是共面的)。由直接的計算可知或简单地注意到, 在恒定場內, $\operatorname{rot}[\mathbf{vB}]$ 和給出矢量 \mathbf{B} 相对于轉动物体的变化的(49.7)式相同。在現在的情况下, 場的对称性使这种变化等于零。对轉动軸的 AO 段和半徑 OB 进行积分, 我們得到

$$\mathfrak{E} = \frac{1}{c} \int_0^a B_0 \Omega r dr = \frac{B_0 \Omega a^2}{2c}$$

(a 为球的半徑, B_0 为球內的磁感应)。在均匀磁化球內(沒有外加磁場), 磁感应和磁化强度的关系由方程 $B_0 + 2H = 0$ [与 (8.1) 式比較] 与 $B_0 - H = 4\pi M$

得出, 由此得到 $B_0 = \frac{8\pi M}{3}$ 。引进球的总磁矩 \mathcal{M} , 我們最后得到

$$\mathcal{E} = \frac{\Omega \mathcal{M}}{ca}.$$

3. 試求通过閉合綫性电路內的磁通量从某一定值 (Φ_1) 变化到另一定值 (Φ_2) [不管由任何原因引起] 时流过这电路內的总电荷。

解. 所求的总电荷为积分 $\int_{-\infty}^{+\infty} J dt$, 其中 $J(t)$ 为电路內的感应电流。从数学观点看来, 这积分是频率为 $\omega = \theta$ 的函数 $J(t)$ 的“傅立叶分量”。因此, 它与电动势的相应分量的关系式为

$$\int_{-\infty}^{+\infty} \mathcal{E} dt = Z(0) \int_{-\infty}^{+\infty} J dt$$

[参閱(47.3)式]。代入 $Z(0) = R$ (R 为电路对恒定电流的电阻) 和 $\mathcal{E} =$

$-\frac{1}{c} \frac{d\Phi}{dt}$, 我們得到

$$\int_{-\infty}^{+\infty} J dt = \frac{1}{cR} (\Phi_1 - \Phi_2).$$

§ 50. 加速度对电流的激发

在前一节內研究导体的运动时, 我們忽略了加速度(如果存在的话)可能产生的影响。但是金屬的加速运动, 等效于产生一个附加的慣性力作用在傳导电子上。如果 \mathbf{v} 是导体的加速度, 而 m 是电子的质量, 則这力等于 $-m\dot{\mathbf{v}}$ 。它对电子的作用和强度为 $\frac{m}{e}\dot{\mathbf{v}}$ 的电场所产生的作用相同, 式中的 $-e$ 是电子的电荷。由此可見, 在加速运动的金屬內, 作用在傳导电子上的“有效”电場为

$$\mathbf{E}' = \mathbf{E} + \frac{m}{e}\dot{\mathbf{v}}. \quad (50.1)$$

相应地, 电流密度为

$$\mathbf{j} = \sigma \mathbf{E}' = \sigma \left(\mathbf{E} + \frac{m}{e} \dot{\mathbf{v}} \right). \quad (50.2)$$

把 \mathbf{E} 用(50.1)式的 \mathbf{E}' 表示, 并代入方程

$$\text{rot } \mathbf{E} = -\frac{1}{c} \frac{\partial \mathbf{H}}{\partial t}$$

(处处令 $\mu=1$), 于是

$$\text{rot } \mathbf{E}' = -\frac{1}{c} \frac{\partial \mathbf{H}}{\partial t} + \frac{m}{e} \text{rot } \dot{\mathbf{v}}. \quad (50.3)$$

把 \mathbf{v} 写成相加形式:

$$\mathbf{v} = \mathbf{u} + [\boldsymbol{\Omega} \mathbf{r}],$$

式中 \mathbf{u} 为平动速度, 而 $\boldsymbol{\Omega}$ 为导体转动的角速度。对时间取微分, 我們求得加速度为

$$\dot{\mathbf{v}} = \dot{\mathbf{u}} + [\boldsymbol{\Omega} \mathbf{v}] + [\dot{\boldsymbol{\Omega}} \mathbf{r}] = \dot{\mathbf{u}} + [\mathbf{u} \boldsymbol{\Omega}] + [\boldsymbol{\Omega} [\boldsymbol{\Omega} \mathbf{r}]] + [\dot{\boldsymbol{\Omega}} \mathbf{r}].$$

头两项与 \mathbf{r} 无关, 因而在对坐标取微分时等于零。第三项可以写为

$$[\boldsymbol{\Omega} [\boldsymbol{\Omega} \mathbf{r}]] = -\text{grad} \frac{[\boldsymbol{\Omega} \mathbf{r}]^2}{2},$$

因此, 它的旋度也变为零。最后, $\text{rot} [\dot{\boldsymbol{\Omega}} \mathbf{r}] = 2\dot{\boldsymbol{\Omega}}$ 。由此可见, 把 $\dot{\mathbf{v}}$ 代入(50.3)式后, 我們得到

$$\text{rot } \mathbf{E}' = -\frac{1}{c} \frac{\partial \mathbf{H}}{\partial t} + \frac{2m}{e} \dot{\boldsymbol{\Omega}},$$

或者

$$\text{rot } \mathbf{E}' = -\frac{1}{c} \frac{\partial \mathbf{H}'}{\partial t}, \quad (50.4)$$

式中已引入符号:

$$\mathbf{H}' = \mathbf{H} - \frac{2mc}{e} \boldsymbol{\Omega}. \quad (50.5)$$

因为 $\dot{\boldsymbol{\Omega}}$ 与坐标无关, 因而方程

$$\text{rot } \mathbf{H} = \frac{4\pi}{c} \mathbf{j}$$

仍保持其形式不变, 若把其中的 \mathbf{H} 用 \mathbf{H}' 来表示:

$$\operatorname{rot} \mathbf{H}' = \frac{4\pi}{c} \sigma \mathbf{E}'. \quad (50.6)$$

从(50.4)和(50.6)式内消去 \mathbf{E}' , 我們得到 \mathbf{H}' 的方程为

$$\Delta \mathbf{H}' = \frac{4\pi\sigma}{c^2} \frac{\partial \mathbf{H}'}{\partial t}, \quad (50.7)$$

这个式子和静止导体内 \mathbf{H} 所满足的方程相同。

在导体外, 磁場满足方程 $\Delta \mathbf{H} = 0$ (假定波长大于导体綫度); 而 \mathbf{H}' 也满足这一方程。

最后, 在导体面上, 除 \mathbf{H} 外, \mathbf{H}' 也是連續的。不同的只是在无穷远处的条件; 这时 \mathbf{H} 趋近于零, 而 \mathbf{H}' 趋近于一有限的极限值 —— $2mc \frac{\Omega}{e}$ 。

由此可見, 求非匀速轉动的导体周圍的交变磁場 \mathbf{H} 的問題, 与求場强为

$$\mathcal{S} = -\frac{2mc}{e} \Omega \quad (50.8)$$

的均匀外磁場内静止导体周圍的磁場 \mathbf{H}' 的問題完全等效。由后一問題的解 \mathbf{H}' 减去 \mathcal{S} , 就可得到所求的导体外的磁場 $\mathbf{H}^{(e)}$ 。①

这样产生的磁場, 和任何交变磁場一样, 在导体内感生出电流。在单联导体内, 这种电流表现为导体获得磁矩。在非匀速轉动的圓环内, 这种效应表现为产生电动势 (称为斯迪瓦特-托耳曼效应)。

例 題

1. 試求非匀速轉动球的磁矩(球的半徑为 a)。假定轉动速度很小, 以致

① 虽然公式(50.8)内包含角速度 Ω , 而不是它对时间的导数, 但上面的全部推导以及所得到的結果, 只是对非匀速轉动而言。在匀速轉动时由于迴轉磁效应所产生的恒定磁場为一小量, 此处我們不予考虑。

透入深度 $\delta \gg a$ 。

解. 球在磁场 $\mathcal{S}(t)$ (50.8) 内获得的磁矩为

$$\mathcal{M} = V \hat{\alpha} \mathcal{S},$$

式中 $\hat{\alpha}$ 为一算符, 它对函数 $\mathcal{S}(t)$ 的傅立叶分量的作用, 由 § 45 例题 1 所得到的公式得出。如果频率 ω 使 $\delta \gg a$ 则对这一频率的分量, 我们有

$$\mathcal{M} = V \alpha(\omega) \mathcal{S} \cong -i \omega \frac{4\pi m a^5 \sigma}{15 c e} \Omega.$$

这个式子改写成下列形式

$$\mathcal{M} = \frac{4\pi m a^5 \sigma}{15 c e} \frac{d\Omega}{dt}$$

后并不显式地包含 ω , 因而对未按傅立叶级数展开的函数 $\Omega(t)$ 、 $\mathcal{M}(t)$, 也是适用的(假定它们的展开式内主要只包含满足上述条件的频率)。

2. 假设细圆环绕与环面垂直的轴而匀速地转动, 试求匀速转动停止时细圆环内流过的总电荷。

解. 在 § 49 例题 3 所得到的公式内, 必须把 Φ 理解为 \mathcal{S} 场的通量 (50.8)。于是角速度从 Ω 变化到零时流过细圆环的总电荷为

$$\int_{-\infty}^{+\infty} J dt = \frac{2mc}{eRc} \Omega \pi b^2 = \frac{m\sigma V}{2\pi e} \Omega$$

(b 为圆环半径, V 为导线的体积)。

3. 试求匀速转动停止时超导圆环内所发生的电流。

解. 从通过圆环的总磁通量不变的条件 [参阅 (42.5)], 我们得到

$$J = \frac{2mc^2}{eL} \Omega \pi b^2 = \frac{mc^2 b \Omega}{2e \left[\ln \frac{8b}{a} - 2 \right]}$$

(L 的值参阅 237 页上的底注)。